

11-59 | 3  
3791

# ПРОБЛЕМЫ СТРАТИГРАФИИ ОРДОВИКА И СИЛУРА СИБИРИ



ИЗДАТЕЛЬСТВО «НАУКА»  
СИБИРСКОЕ ОТДЕЛЕНИЕ

АКАДЕМИЯ НАУК СССР  
СИБИРСКОЕ ОТДЕЛЕНИЕ  
ТРУДЫ ИНСТИТУТА ГЕОЛОГИИ И ГЕОФИЗИКИ  
Выпуск 372

ПРОБЛЕМЫ  
СТРАТИГРАФИИ  
ОРДОВИКА И СИЛУРА  
СИБИРИ

Ответственные редакторы  
академик Б. С. Соколов  
и кандидат геол.-мин. наук А. В. Кацыгин

189245



ИЗДАТЕЛЬСТВО «НАУКА»  
СИБИРСКОЕ ОТДЕЛЕНИЕ  
Новосибирск · 1977

Сборник посвящен наиболее актуальным проблемам стратиграфического расчленения и корреляции ордовикских и сибирских отложений, распространенных на территории Северо-Востока СССР, Сибирской платформы и Алтас-Саянской складчатой области. Дается обстоятельный анализ новейших материалов по корреляции среднего ордовика Сибирской платформы, проводится ревизия фаунистических данных по основным разрезам, предлагается новая номенклатура стратиграфических подразделений.

Проведен биостратиграфический анализ новых данных по различным группам фауны, в том числе по малоизученным (конодонты, ракообразные, моноплакфоры). Отдельная статья посвящена совершенно не разработанному вопросу стратиграфического контроля полезных ископаемых. Материалы, изложенные в сборнике, помогут в составлении новых унифицированных схем ордовика и силура Средней Сибири.

Книга представляет интерес для геологов-стратиграфов и палеонтологов, занимающихся изучением отложений раннего палеозоя.

А. В. Каныгин, Т. А. Москаленко,  
А. Г. Ядренкина, В. С. Семенова

## О СТРАТИГРАФИЧЕСКОМ РАСЧЛЕНИЕНИИ И КОРРЕЛЯЦИИ СРЕДНЕГО ОРДОВИКА СИБИРСКОЙ ПЛАТФОРМЫ

В первой региональной стратиграфической схеме ордовика Сибирской платформы, утвержденной в 1956 г. (Решения Межведомственного совещания по разработке стратиграфических схем Средней Сибири, 1956), в качестве основной стратиграфической единицы был принят ярус, понимаемый как провинциальный или региональный эквивалент яруса Международной стратиграфической шкалы. На основании изучения этапов осадконакопления и изменения комплексов фауны во времени (Никифорова, 1955; Андреева, 1955) средний ордовик был расчленен на два яруса: криволуцкий и мангазейский.

Позднее, после монографического изучения различных групп фауны, прежде всего брахиопод, эти подразделения получили более полное палеонтологическое обоснование (Никифорова, Андреева, 1961) и вошли в ныне действующую схему, принятую на последнем Межведомственном совещании по стратиграфии Средней Сибири (Новосибирск, 1965 г.). По сравнению с предшествующей эта схема была значительно детализирована. Для верхней части нижнего и для среднего ордовика, помимо ярусов, введены дробные стратиграфические подразделения — горизонты, выделенные ранее О. Н. Андреевой (1959). Криволуцкий ярус по этой схеме подразделен на волгинский, киренский и кудринский горизонты, мангазейский ярус — на чертовской и баксанский.

Таким образом, сложившаяся к настоящему времени стратиграфическая схема ордовика Сибирской платформы включает одновременно и ярусы, и горизонты. Однако в соответствии с современными номенклатурными требованиями ярус из региональной схемы должен быть исключен, так как он рассматривается только как подразделение Международной (общей) стратиграфической шкалы. По рекомендациям МСК (Проект стратиграфического кодекса СССР, 1970, 1974) и по примеру региональных схем, разработанных для других регионов страны (Прибалтики, Казахстана, Урала, Северо-Востока СССР) в региональной схеме ордовика Сибирской платформы также следует сохранить в качестве основной номенклатурной единицы горизонты.

Выделенные в среднем ордовике Сибирской платформы горизонты в целом отвечают и рекомендуемым критериям «Проекта кодекса». Однако по степени своей обоснованности они неравнозначны. Наиболее бесспорным в настоящее время является выделение волгинского горизонта, который по комплексу фауны и литолого-фациональным особенностям легко опознается почти повсеместно в пределах Сибирской платформы. Волгинский горизонт хорошо сопоставляется с нижней частью лачугского горизонта Северо-Востока СССР, с которым он имеет много общих фаунистических элементов.

Вышележащий киренский горизонт также имеет отчетливую фаунистическую характеристику, а в пределах отдельных структурно-фациональных зон хорошо прослеживается по литолого-фациональным



П 20801—862  
055(02)—77 БЗ—84—29—76

© Издательство «Наука», 1977.

особенностям. Самостоятельность этого горизонта не вызывает сомнений, но верхняя граница его нуждается в уточнении. Это связано с тем, что выделенный над ним кудринский горизонт в стратотипическом обнажении на р. Лене против дер. Кудрино, так же, как и в других обнажениях в бассейне р. Лены (у дер. Кривая Лука, Балашово, Половинка), представлен песчаниками, в которых найдены только остатки лингулид и ракообразных *Obrutschewia*. За пределами стратотипического района кудринский горизонт из-за отсутствия достаточных палеонтологических данных определялся условно — по стратиграфическому положению над палеонтологически характеризованными слоями киренского горизонта.

Перечисленные горизонты в совокупности составляют криволуцкий «ярус», стратотип которого находится на р. Лене у дер. Кривая Лука, т. е. там же, где находятся стратотипы составляющих его подразделений (стратотип кудринского горизонта, хотя и находится в другом обнажении, может быть легко сопоставлен почти послойно с криволуцким обнажением).

Стратотип вышележащего мангазейского «яруса» находится на р. Подкаменной Тунгуске, между устьями р. Листвянкой и р. Столбовой. Его нижнее подразделение — чертовской горизонт выделен в объеме одноименной свиты, стратотип которой находится на левом берегу р. Лены, примерно в 10 км ниже дер. Чертовская. Это стратотипическое обнажение имеет серьезные дефекты. Нижняя часть свиты представлена сероцветными аргиллитами с очень редкими органическими остатками. Средняя часть, истинную мощность которой оценить трудно, задернивается. Плохо обнажена и верхняя часть свиты. Верхняя граница чертовского горизонта по фауне здесь не определена, так как вышележащие пестроцветные породы макаровской свиты не содержат палеонтологических остатков.

В стратотипе мангазейского «яруса» на р. Подкаменной Тунгуске к чертовскому горизонту О. И. Никифорова и О. Н. Андреева (1961, с. 35) условно отнесли слои 1—6 на основании того, что подстилающие их отложения были приняты за аналоги кудринского горизонта. Как показали дальнейшие исследования, брахиоподы *Mimella rappa*, по появлению которых обычно проводилась подошва мангазейского яруса, встречаются в этом обнажении и несколько ниже (Марков, 1970, а также описание разреза здесь), а на указанной границе между слоями 6 и 7 не происходит заметной смены фаунистических комплексов. По существу фаунистические характеристики мангазейского «яруса» и баксанского горизонта в указанном объеме стратотипа оказались совпадающими.

Из приведенного выше краткого обзора видно, что палеонтологическое обоснование кудринского и чертовского горизонтов, как подразделений региональной шкалы, нельзя признать удовлетворительным. Из-за разобщенности стратотипов мангазейского «яруса» и чертовского горизонта, а также из-за недостаточной палеонтологической характеристики последнего неясным остается даже соотношение этих двух подразделений. В частности, пока нет убедительных доказательств того, что чертовская свита (и соответственно чертовской горизонта) является возрастным аналогом нижней части мангазейского «яруса» в объеме его стратотипа. Это обстоятельство явилось источником путаницы в определении палеонтологической характеристики чертовского и баксанского горизонтов и породило разногласия в корреляции соответствующих отложений Сибирской платформы и других регионов (Северо-Востока СССР; Чугаева и др., 1964; Каныгин, 1967, 1971).

В последние годы благодаря, главным образом, изучению конодонтов (Москаленко, 1970, 1973) и уточнению стратиграфического положения комплексов остраракод (Каныгин, 1975), ранее изученных

и опубликованных в серии статей В. А. Ивановой, палеонтологическая характеристика ряда подразделений среднего ордовика была уточнена и дополнена. Однако вопросы, касающиеся кудринского и чертовского горизонтов не были сняты, так как отсутствовали данные по некоторым стратотипическим обнажениям.

Авторы настоящей статьи в течение нескольких полевых сезонов провели детальное изучение стратотипических и пастратотипических обнажений среднего ордовика на реках Лене и Подкаменной Тунгуске, а также на р. Кулюмбэ, где все эти отложения представлены непрерывными, хорошо охарактеризованными фауной разрезами. В этих разрезах изучены трилобиты (В. С. Семенова), остраракоды (А. В. Каныгин), конодонты (Т. А. Москаленко), брахиоподы (А. Г. Ядренкина) и прослежено распространение сопутствующих групп фауны.

В статье приводится послойное описание изученных обнажений, а также собранных в них брахиопод и конодонтов (табл. I—V, VIII—XI); для трилобитов даны только изображения (табл. VI и VII). Остраракоды, собранные во всех обнажениях послойно, удалось изучить пока только выборочно, главным образом, из пограничных отложений горизонтов. Остраракоды, наряду с конодонтами, наиболее многочисленны и практически повсеместны в изученных отложениях, за исключением кудринских и чертовских слоев стратотипических участков, где остраракоды встречаются значительно реже. Поэтому списки остраракодов, приведенные в статье, лишь частично отражают разнообразие и распределение их комплексов по слоям.

Из основных разрезов среднего ордовика, изученных авторами, не приводится пастратотипический разрез криволуцкого «яруса», находящийся на р. Лене у дер. Половинка. Достаточно подробное описание его дано в статье Г. П. Абаймовой и А. В. Каныгина (1975). Изучение собранной в этом обнажении фауны еще не завершено и здесь приводится описание только двух новых видов брахиопод, дополняющих комплекс фауны киренского горизонта.

Корреляция основных разрезов и распространение в них изученных групп фауны приведены на рис. 1—3. Поскольку объем и корреляция волгинского и баксанского горизонтов не вызывают существенных разногласий, здесь подробно рассматриваются только киренский, кудринский, чертовской и низы баксанского горизонта. Именно с ними связаны в настоящее время главные проблемы стратиграфического расчленения и корреляции среднего ордовика.

Описанные виды брахиопод хранятся в СНИИГГиМСе, коллекция № 709; конодонтов — в Музее Института геологии и геофизики СО АН СССР (ИГиГ), коллекция № 537.

Фотографии трилобитов и брахиопод выполнены Е. А. Заколюкиной, конодонтов — В. А. Кашиным.

## СТРАТОТИПИЧЕСКИЙ РАЙОН БАССЕЙНА Р. ЛЕНЫ

### Стратотип киренского горизонта

Обнажение ВК-741<sup>1</sup> находится на левом берегу р. Лены у дер. Кривая Лука (против дер. Волгино). Здесь почти полностью вскрываются отложения волгинского, киренского и кудринского горизонтов, а также базальные слои чертовского горизонта. Лишь в средней части крутого, частично залесенного склона небольшой по мощности интервал закрыт осипями и вскрывался расчистками (пачка 13).

<sup>1</sup> Описание разрезов дается снизу вверх.

Кудринский горизонт, хотя и обнажен хорошо, находится в верхней, обрывистой части высокого склона и труднодоступен для детального изучения. Поэтому его стратотип выбран несколько ниже по р. Лене, против дер. Кудрино.

Отложения киренского горизонта залегают на волгинском (слой 1—10, здесь не рассматриваются) совершенно согласно. Нижняя граница киренского горизонта проводится по первому появлению караваебразных известковистых стяжений (слой 11а). В этих стяжениях в большом количестве встречаются остракоды, конодонты и наутилоиды. Они представлены видами, которые в подстилающих отложениях не встречаются. Хотя граница волгинского и киренского горизонтов литологически выражена отчетливо, состав и характер переслаивания пород указывают на постепенную, закономерную смену условий осадконакопления. В составе волгинского горизонта вблизи кровли происходит постепенное возрастание количества алевроаргиллитов и сокращение мощностей известняковых прослоев вплоть до их полного исчезновения. Заметно сокращается и количество органических остатков.

11а. Алевролиты зеленовато-серые с редкими известковистыми конкрециями в основании. В конкрециях встречаются наутилоиды, остракоды *Quadrilobella recta*<sup>2</sup>, конодонты *Bryantodina lenaica*, *Dichognathus* sp., *Microcoelodus tunguskaensis*, *Ptiloconus anomalis*, *Subcordylodus* sp., фрагментарные остатки ракообразных.

11б, в, г. Алевролиты зеленовато-серые, с тремя уровнями караваебразных известковистых стяжений, находящимися примерно в 30 см друг от друга. В стяжениях встречаются наутилоиды, остракоды *Quadrilobella recta*, конодонты *Bryantodina lenaica*, *Plectodina* sp., *Microcoelodus* sp., *Ptiloconus anomalis*, *Subcordylodus* sp.

11д. Алевролиты серые и буровато-серые, с редкими караваебразными стяжениями в основании. В стяжениях встречаются остракоды *Quadrilobella recta*, *Fidelitella unica*.

11е. Алевролиты зеленовато-серые, с несколькими уровнями караваебразных известковистых стяжений с остракодами *Quadrilobella recta*. В основании найдены брахиоподы *Rostricellula lenaensis* (табл. II, фиг. 6—11).

11ж. Алевролиты зеленовато-серые, с большим количеством караваебразных известковистых стяжений в основании. Встречаются наутилоиды, многочисленные остракоды *Quadrilobella recta*, *Fidelitella unica*, *Primitia annae* и конодонты *Stereococonus* sp., *Dichognathus* sp., *Plectodina* sp., *Ptiloconus anomalis*, *Subcordylodus aculeatus*, обломки ракообразных.

11з. Алевролиты буровато-серые, с немногочисленными караваебразными известковистыми стяжениями в основании. Найдены остракоды *Fidelitella unica*.

12а. Алевролиты буровато-серые, с караваебразными стяжениями известняков в основании. Остракоды *Quadrilobella recta*, *Primitia annae*, *Schmidtella dorsilobata*; конодонты *Stereococonus* sp., *Bryantodina lenaica*, *Plectodina* sp., *Ptiloconus anomalis*, *Amorphognathus* sp., обломки ракообразных.

12б. Слой подобен предыдущему. Найдены остракоды *Quadrilobella recta*, *Primitia annae*, *Schmidtella dorsilobata* и конодонты *Euenecodus* sp., *Ptiloconus anomalis*, *Trichonodella* (?) *prominens*.

12в. Мергели зеленовато-серые, алевритистые, с редкими известковистыми стяжениями.

12г. Мергели зеленовато-серые до зеленых, плотные, алевритистые, с редкими известковистыми стяжениями с остракодами *Quadrilobella recta*, *Fidelitella unica*, *Primitia annae*.

12д. Аргиллиты светлые, зеленовато-серые, тонкощебеччатые. Встречаются отпечатки остракод *Quadrilobella recta*, *Primitia annae*, *Ginella primiformis*, *Schmidtella dorsilobata*, а также единичные конодонты *Trichonodella* (?) *prominens*.

12е. Алевроаргиллиты зеленовато-серые, известковистые, сравнительно плотные. К более известковистым прослойям приурочены находки конодонтов *Stereococonus* sp., *Bryantodina lenaica*, *Microcoelodus tunguskaensis*, *Ptiloconus anomalis*, *Ptiloconus* sp., *Trichonodella* (?) *prominens*.

<sup>2</sup> Здесь и далее авторы видов и подвидов не указаны; они приведены в объяснении к рис. 1.

Мощность, м	
0,20	12ж. Алевроаргиллиты зеленовато-серые, с редкими известково-алевритовыми стяжениями каравасобразной формы в основании. Найдены редкие конодонты <i>Dichognathus</i> sp., <i>Microcoelodus tunguskaensis</i> , <i>Phragmodus</i> sp., <i>Ptiloconus anomalis</i> , <i>Subcordylodus</i> sp., <i>Amorphognathus</i> cf. <i>inaequalis</i> . 1,00
0,75	12з. Алевроаргиллиты зеленовато-серые, пятнистые, плотные, с несколькими уровнями известковистых стяжений. Остракоды <i>Quadrilobella recta</i> , <i>Fidelitella unica</i> , <i>Primitia annae</i> , <i>Schmidtella dorsilobata</i> ; конодонты <i>Stereococonus</i> sp., <i>Bryantodina lenaica</i> , <i>Ptiloconus anomalis</i> , <i>Subcordylodus aculeatus</i> , <i>Trichonodella</i> (?) <i>prominens</i> ; мелкие гастроподы 1,60
1,00	12и. Песчаники светло-серые, сильноизвестковистые, микрополосчатые, параллельно-слоистые, с обильными остракодами. <i>Quadrilobella recta</i> , <i>Primitia annae</i> , <i>Ginella primiformis</i> , <i>Schmidtella dorsilobata</i> , а также конодонтами <i>Bryantodina lenaica</i> , <i>Gyrognathus primus restrictus</i> , <i>Ptiloconus anomalis</i> , <i>Ptiloconus</i> sp., <i>Subcordylodus aculeatus</i> , <i>Trichonodella</i> (?) <i>prominens</i> 0,50
0,60	12к. Алевроаргиллиты серо-зеленые, тонкослоистые, с мелкими кварцевыми гальками 0,90
0,55	12л. Алевроаргиллиты, обогащенные известковистыми стяжениями, образующими четкий уровень. Конкрементидные стяжения содержат остракоды <i>Quadrilobella recta</i> , <i>Primitia annae</i> и конодонты <i>Ptiloconus anomalis</i> , <i>Trichonodella</i> (?) <i>prominens</i> 0,30
0,80	Характер вышеизложенных пород прослежен с помощью расчисток.
0,70	12м. Алевроаргиллиты зеленовато-серые, с остракодами <i>Quadrilobella recta</i> , <i>Fidelitella unica</i> , <i>Primitia annae</i> , <i>Schmidtella dorsilobata</i> и с единичными обломанными конодонтами, среди которых определены <i>Ptiloconus anomalis</i> 0,40
1,00	12н. Алевроаргиллиты зеленовато-серые, плотные и комковатые 1,60
0,90	12о. Алевроаргиллиты темно-серые с зеленоватым оттенком, плотные, толстослоистые 0,30
0,50	12п. Известняки темные, зеленовато-серые, пятнистые, тонкокристаллические, вверху сменяющиеся алевроаргиллитами. В известняках очень редкие конодонты <i>Ptiloconus anomalis</i> 0,75
0,60	12р. Алевроаргиллиты зеленовато-серые, глинистые и известковистые, комковато-слоистые, с единичными конодонтами <i>Ptiloconus anomalis</i> 0,45
0,55	12с. Алевроаргиллиты, подобные в слое 12р 0,50
0,35	12т. В основании выдержаный горизонт известковистых стяжений, затем алевраргиллиты светло-серые с зеленоватым оттенком; в известковистых стяжениях содержатся остракоды <i>Quadrilobella recta</i> , <i>Fidelitella unica</i> , <i>Primitia annae</i> , <i>Ginella primiformis</i> и конодонты <i>Stereococonus costatus</i> , <i>Stereococonus</i> sp., <i>Microcoelodus</i> sp., <i>Ptiloconus anomalis</i> , <i>Subcordylodus aculeatus</i> , <i>Trichonodella</i> (?) <i>prominens</i> ; изредка мелкие гастроподы 0,35
0,50	12у. Аргиллиты светло-серые, известковистые, в основании с горизонтом известковистых стяжений, к которым приурочены конодонты <i>Stereococonus nodosicostatus</i> , <i>Chirognathus</i> sp., <i>Gyrognathus primus restrictus</i> , <i>Microcoelodus</i> sp., <i>Ptiloconus anomalis</i> , <i>Subcordylodus aculeatus</i> , <i>Trichonodella</i> (?) <i>prominens</i> 0,50
0,90	12ф. Начинается горизонтом известковистых стяжений, основная же часть представлена известковистыми аргиллитами. Органические остатки редки: единичные мелкие гастроподы и конодонты <i>Chirognathus</i> (?) sp., <i>Ptiloconus anomalis</i> , <i>Trichonodella</i> (?) <i>prominens</i> 0,90
1,00	12х. Алевролиты темно-зеленовато-серые, глинистые и известковистые, комковато-слоистые 1,00
0,25	12ц. Алевролиты темно-серые, глинистые, комковатые, линзовидно-слоистые 0,25
0,05—0,07	13а. Алевролиты серые, глинистые, комковатые, с прослойем (0,02—0,03 м) зеленой глины в основании, с многочисленными желваками темно-серого цвета. Найдены остракоды <i>Quadrilobella recta</i> , <i>Fidelitella unica</i> , <i>Primitia annae</i> , <i>Schmidtella dorsilobata</i> ; мелкие гастроподы; конодонты <i>Euenecodus</i> sp., <i>Stereococonus nodosicostatus</i> , <i>Chirognathus</i> sp., <i>Dichognathus</i> sp., <i>Phragmodus</i> cf. <i>inflexus</i> , <i>Ptiloconus anomalis</i> , <i>Subcordylodus aculeatus</i> , <i>Amorphognathus</i> cf. <i>inaequalis</i> , <i>Amorphognathus</i> sp., <i>Ambalodus</i> sp., склеродонты 0,25
0,40	13б. Алевропесчаники темные, зеленовато-серые, комковатые, с остракодами <i>Primitia annae</i> , <i>Schmidtella dorsilobata</i> 0,40
0,07	13в. Песчаники зеленовато-серые, известковистые, желваковидные, в которых обнаружены конодонты <i>Stereococonus nodosicostatus</i> , <i>Stereococonus</i> sp., <i>Dichognathus</i> sp., <i>Ptiloconus anomalis</i> , <i>Subcordylodus</i> cf. <i>aculeatus</i> ; неопределенные ядра остракод и гастропод. 0,07
0,30	13г. Песчаники зеленовато-, пятнистые, известковистые, глинистые, комковато-слоистые 0,30
0,05—0,07	13д. Глина зеленая, с мелкими песчанистыми желваками 0,05—0,07

Мощность, м

13е. Алевропесчаники зеленовато-серые, глинисто-известковистые, комковатые, с единичными мелкими гастроподами, фрагментарными остатками ракообразных, редкими конодонтами *Stereococonus bicostatus*, *S. circulus*, *Ptilococonus anomalis*.

13ж. Аргиллиты зеленовато-серые, известковистые, волнисто-слоистые.

13з. Песчаники светло-зеленовато-серые, известковистые, с примазками темной зеленовато-серой глины.

13и, к. Алевропесчаники и песчаники светлые, зеленовато-серые, комковатые, с остракодами *Quadrilobella recta*, *Fidelitella unica*, *Primitia annae*, *Ginella primitiformis* и конодонтами *Evencodus furcatus*, *Stereococonus corrugatus*, *S. turaensis*, *Chirognathus* sp., *Dichognathus* sp., *Gyrognathus primus restrictus*, *Ptilococonus anomalis*, *Subcordylodus* sp., *Trichonodella* (?) *prominens*, *Amorphognathus* cf. *inaequalis*.

13н. Алевропесчаники зеленовато-серые с темно-серыми пятнами, известковистые, глинистые, рыхлые, комковатые.

13м. Песчаники зеленовато-серые, глинистые, сверху переходящие в алевроаргиллиты такого же цвета.

13и, о, п. Песчаники внизу темные, зеленовато-серые, с глинистыми примазками, сверху более светлые, глинистые, с прослойми красновато-бурых алевроаргиллитов. Очень редкие конодонты принадлежат *Stereococonus bicostatus*, *S. turaensis*, *Dichognathus* sp., *Ptilococonus anomalis*.

13р. В основании прослой со стяжениями известковистых песчаников, выше развиты алевроаргиллиты красно-бурые, с прослойем песчаников зеленовато-серых, известковистых, комковатых. Остракоды *Primitia annae*, *Ginella primitiformis*, *Schmidtella dorsilobata* и конодонты *Stereococonus corrugatus*, *S. turaensis*, *Microcoelodus tunguskaensis*, *Ptilococonus anomalis*, *Subcordylodus aculeatus*.

13с. В основании песчаники светлые зеленовато-серые, крепкие, смягчающиеся алевроаргиллитами красновато-бурыми, тонкослонистыми. Найдены конодонты *Stereococonus corrugatus*, *S. cf. quadrangularis*, *Chirognathus* sp., *Ptilococonus anomalis*, *Subcordylodus* sp., *Trichonodella* (?) *prominens*; мелкие фрагменты ракообразных.

13т. Алевроаргиллиты темно-красно-бурые, с двумя прослойями песчаников светлых зеленовато-серых.

13у. В основании прослой (0,04 м) песчаников темных буровато-серых, крепких, выше алевроаргиллиты песчанистые, темно-красно-бурые, комковато-слоистые.

14а. Песчаники светло-серые с зеленым оттенком, тонкослонистые, полосчатые.

14б. Песчаники светло-серые, с неправильными буро-фиолетовыми пятнами и разводами, с линзами белых песчаников.

14в. Песчаники темно-серые, с зелеными и фиолетовыми пятнами, комковатые, сверху сильно разрушены.

14г. Песчаники очень светлые, почти белые, с зеленовато-серыми пятнами, толстослонистые.

14д. Алевроаргиллиты темно-красно-бурые, иногда с фиолетовым оттенком, с прослойями, линзами и желваками песчаников и ярко-зеленых алевропесчаников.

14е. Песчаники темно-фиолетово-серые, пятнами зеленовато- и желтовато-серые, рыхлые, комковатые.

14ж. Песчаники красно-бурые, переходящие постепенно в алевроаргиллиты светло-зеленовато-серые.

14з. Алевроаргиллиты светлые буровато-серые, тонкослонистые, прослойми известковистые.

14и. Алевролиты темные, зеленовато-серые, глинистые, комковато-слоистые.

14к. Алевроаргиллиты зеленовато-серые, с прослойми песчаников буровато-серых, пятнистых, иногда глинистых, комковатых; единичные конодонты *Evencodus* sp.

14л. Песчаники светлые зеленовато-серые с фиолетовыми пятнами и разводами, глинистые, комковатые.

14м. Песчаники зеленовато-серые, с фосфоритовыми гальками, с редкими гладкими остракодами.

Залегающие выше зеленые, тонкоплитчатые аргиллиты с редкими мелкими гальками принадлежат чертовскому горизонту. Они обнажаются у самой бровки III надпойменной террасы, которая задернована и залесена. Видимая мощность 2—3 м.

Стратотип кудринского горизонта

Обнажение ВК-747 расположено на левом берегу р. Лены, почти напротив дер. Кудрино (в 1—2 км ниже по течению). В невысоком береговом склоне вскрывается верхняя часть киренского, кудринского и низы чертовского горизонтов.

Пачка 1 (киренский горизонт) представляет характерную циклическую толщу, состоящую преимущественно из алевроаргиллитов, в которых через определенные интервалы встречаются уровни с многочисленными сферическими известковистыми стяжениями (карачаевообразными). К этим стяжениям приурочены многочисленные остатки остракод и наутилондей, конодонты, а также более редкие лингулиды и чешуйки ракообразных.

0,15
0,04—0,07
0,45
1,20
0,90
0,93
0,80
1,10
0,75
1,35
0,80
0,60
0,90
0,55
1,30
3,10
2,16
1,35
0,50
0,40
0,70
1,25
0,20

Мощность, м

1а. Алевролиты зеленовато-серые, известковистые, песчанистые, с караваебразными стяжениями известняков в основании. В 0,10 м от основания — тонкий пласт (0,08 м) алевритистых зеленовато-серых известняков. В конкрециях и известняковом прослое — многочисленные остракоды *Quadrilobella recta*, *Primitia annae* и другие, а также конодонты *Chirognathus* sp., *Dichognathus* — *Plectodina*, *Gyrognathus primus restrictus*, *Microcoelodus tunguskaensis*, *Ptilococonus anomalis*, *Subcordylodus aculeatus*, *Trichonodella* (?) *prominens*.

1б. Те же алевролиты с караваебразными стяжениями известняков в основании, с остракодами и редкими обломками лингулид.

1в. Аналогичен по составу пород и органических остатков слою 1б, но остракоды становятся более редкими. Среди них определена *Fidelitella unica*

1г. Подобен предыдущему. Встречаются остракоды *Fidelitella unica* и конодонты *Gyrognathus primus restrictus*, *Microcoelodus tunguskaensis*, *Ptilococonus anomalis*, *Subcordylodus aculeatus*, *Trichonodella* (?) *prominens*.

1д. Подобен предыдущему. В основании — редкие плохо выраженные сильноалевритистые конкреции, часто трещиноватые. В них встречаются редкие ядра и отпечатки остракод *Quadrilobella recta* и др.

1е. Алевролиты зеленовато-серые. В основании конкреции, образованные плотными скрытокристаллическими известняками серыми, иногда с фиолетовым оттенком; они отличаются более крупными, чем обычно, размерами, четким концентрическим строением, распадаются на скользуловатые сферы, часто растресканные. Трещины выполнены кальцитом. Выше встречаются небольшие линзочки глинистых известняков. В конкрециях заключены редкие остракоды *Quadrilobella recta* и конодонты *Gyrognathus primus restrictus*, *Ptilococonus anomalis*, *Subcordylodus aculeatus*, *Trichonodella* (?) *prominens*.

1ж. Пролегает в верхней части бичевника. Крепкие песчаники и алевропесчаники светло- и зеленовато-серые, неоднородные, мелкозернистые, с мелкими темными включениями. Изредка встречаются крупные пелепиды, редкие остракоды, лингулиды, наутилондеи, конодонты *Ptilococonus anomalis*.

1з. Перемятые комковатые алевропесчаники, очень неоднородные, известковистые, от светло- до темно-, иногда зеленовато-серых. В нижней части алевритисто-песчанистые конкреции известняков. Встречаются многочисленные наутилондеи, обломки раковин лингулид, фрагменты ракообразных и остракоды.

1и. Аргиллиты зеленовато-серые, мелкощебечатые. В основании редкие конкреции, в которых содержатся лингулиды, обломки ракообразных, остракоды *Quadrilobella recta*, *Fidelitella unica*, проблематичные трубочки; конодонты *Evencodus* sp., *Stereococonus* sp., *Microcoelodus tunguskaensis*, *Ptilococonus anomalis*, *Trichonodella* (?) *prominens*.

1к. Аргиллиты зеленовато-серые, рассыпающиеся в мелкую щебенку. В нижней половине прослой (0,1 м) мергелий, содержащий многочисленные остатки остракод *Fidelitella unica* и мелкие фрагменты ракообразных.

1л. Слабо обнажен, особенно в средней части. Сложен преимущественно аргиллитами серыми с коричневатым оттенком. В 0,6 м от кровли прослой коричневых с зелеными пятнами алевритистых известняков, к которым приурочены многочисленные остракоды *Eoleperditia* sp., *Fidelitella unica* и другие, а также конодонты *Evencodus* spp., *Stereococonus* spp., *Chirognathus* spp., *Dichognathus* — *Plectodina*, *Gyrognathus primus restrictus*, *Microcoelodus tunguskaensis*, *Ptilococonus anomalis*, *Subcordylodus aculeatus*.

0,80

1,10

0,30

0,50

0,35

1,70

0,70

1,00

0,90

0,90

*Trichonodella (?) prominens*, *Amorphognathus* cf. *inaequalis*, *Polyplacognathus* sp. Выше этого прослоя коричневатые песчанисто-известковистые алевролиты, в кровле (0,10—0,15 м) комковатые . . . . . 1,60

Мощность пачки 9,0—9,5 м.

По кровле слоя О. Н. Андреевой была проведена граница киренского и кудринского горизонтов. Кудринский горизонт в данном обнажении более доступен для изучения, чем в обнажении (ВК-741) у дер. Кривая Лука, поэтому оно было рекомендовано в качестве стратотипического для этого горизонта (Андреева, 1959; Никифорова, Андреева, 1961).

Пачка 2 (основание кудринского горизонта) залегает согласно на пачке 1 и представлена песчаниками и алевропесчаниками светло- и зеленовато-серыми, пестрыми, иногда сахаровидными, изредка известковистыми. Остатки фауны встречаются редко.

2а. Алевропесчаники коричневые, неслоистые, иногда слабоизвестковистые . . . . .

2б. Песчаники пятнистые, преимущественно зелено-серые и белые, сахаровидные, со следами оплыивания. Встречаются включения темно-шоколадных алевроаргиллитов, обычно с оплывшими краями и изредка мелкие полигональные трещины растрескивания. Верхняя поверхность слоя неровная, сильно «оплывшая» . . . . .

2в. Чередование песчаников, аналогичных предыдущим, и шоколадно-коричневых алевропесчаников. В кровле развиты преимущественно зеленые и пятнистые песчаники . . . . .

2г. Алевропесчаники темно-коричневые, комковатые с тонкими линзовидными прослоями известковистых зеленовато-серых и пятнистых песчаников, к которым приурочены остатки наутилоидей, двусторонек, гастропод, лингулид, моноплаффор *Archinacella*, остракод и конодонты *Evencodus sibiricus*, *Ptiloconus anomalis*, *Subcordylodus aculeatus* . . . . .

2д. Слабо обнажен, за исключением самой нижней части. В основании залегает хорошо выдержаный по мощности (0,15—0,20 м) пласт крепких песчаников светлых, сахаровидных и зеленовато-серых с бирюзовым оттенком. Заметен мелкий темный дегрит. Верхняя поверхность неровная, «оплывшая», с бирюзово-зелеными алевритисто-песчанистыми примазками, с трещинами-растескивания. Встречены редкие остракоды *Primitia annae* и значительное количество конодонтов *Evencodus sibiricus*, *E. trilobatus*, *Stereoconus quadrangularis*, *Microcoelodus tunguskaensis*, *Plectodina* sp., *Ptiloconus anomalis*, *Subcordylodus aculeatus*, *Trichodella (?) prominens*. Выше следуют плохо обнаженные рыхлые алевропесчаники. В средней части выделяются два прослоя (0,10—0,15 и 0,08 м) темно-коричневых с зелеными пятнами песчаников . . . . .

Мощность пачки 5 м.

Пачка 3 (средняя часть кудринского горизонта) представлена песчаниками и алевропесчаниками, зеленовато-серыми и пестрыми, неоднородно сцементированными иногда кавернозными, участками косослоистыми, в некоторых прослоях слабоизвестковистыми. Органические остатки редкие.

За. Монолитный пласт песчаников, четко выраженный в рельефе. Песчаники светло-серые, иногда сахаровидные, участками буроватые, кавернозные. Каверны в виде длинных вертикальных трубочек диаметром обычно 2—3 мм, иногда до 1 см и даже 3—4 см, и длиной до 15—30 см. Иногда они сливаются в сплошную цепочку. Возможно, это остатки нор лингулид. В верхней части наблюдается волнистая микрополосчатость за счет тонких вишневых полос. Верхняя поверхность резко «оплывшая». Обломки вышележащих алевролитов наблюдаются в песчаниках на глубине до 5—10 см, а по вертикальным трубкам алевролитистый материал проникает на глубину до 25 см . . . . .

3б. Пересланывание алевролитов темно-сириевых, иногда пятнистых, и песчаников светло-серых, слабоизвестковистых. Иногда встречаются мелкие включения известняков серых и коричневатых, содержащих большое

количество дегрита. В них найдены редкие остракоды *Fidelitella* sp., много обломков лингулид, конодонты *Ptiloconus anomalis*, *Trichonodella (?) prominens*. В верхней части преобладают листовато-сланцеватые алевролиты . . . . .

3в. Сложен двумя пластами песчаников светло-серых, косослоистых, участками известковистых, разделенных прослоем (0,1 м) алевроаргиллитов темно-сириевых. Характерны зеркала скольжения со штриховкой. Пласти песчаников распадаются на призматические отдельности. В известковистых разностях содержатся редкие остракоды плохой сохранности, большое количество мелких обломков лингулид, единичные конодонты *Stereoconus* sp., *Ptiloconus anomalis*, *Trichonodella (?) prominens* . . . . .

3г. Песчаники пестрые, в основании преимущественно коричневые с зелеными пятнами. В кровле отчетливо виден прослой (0,08 м) темно-коричневых известковистых алевропесчаников, содержащих редкие остракоды плохой сохранности, единичные наутилоиды плохой сохранности и единичные конодонты *Stereoconus turaensis*, *Ptiloconus anomalis* . . . . . 1,05

Мощность пачки 5 м.

Пачка 4 (верхняя часть кудринского горизонта) сложена массивными толстопластовыми песчаниками, обычно четко выделяющимися в рельефе. Фаунистические остатки встречаются редко.

Мощность, м  
0,40  
0,35  
0,50  
1,00  
2,85

Мощность, м  
1,65

4а. Песчаники преимущественно коричневые, с зелеными пятнами, крупнозернистые, с хорошо окатанными зернами кварца, с обильным мелким дегритом, вероятно, из раковин лингулид. Насчитываются до 9 хорошо выраженных пластов песчаников, разделенных комковатыми разностями песчаников, часто разрушенными до дресвы. Пласт 4 отличается четко выраженной микрополосчатостью. На верхней поверхности его — обильные зеленые пятна. Пласт 9 сложен наиболее крепкими разновидностями песчаников. Видна четкая крупная полосчатость. Органические остатки очень редкие, в виде отпечатков остракод, неопределенных даже до рода, лингулид (в пласте 2 найдена раковина лингулы, захороненной в приживленном положении), обломанных неопределенных конодонтов . . . . .

4б. Песчаники темно-фиолетовые и яблочно-зеленые, комковато-древесные. В верхней части наблюдается тонкое линзовидное пересланывание слабоизвестковистых песчаников и рыхлых алевритистых разностей. Изредка встречаются раковины лингулид . . . . .

4в. В основании слоя крепкие пятнистые песчаники, сменяющиеся выше алевроаргиллитами комковатыми, с включениями более известковистых разностей. В кровле появляются линзочки и желваки песчанистых и алевритистых известняков, содержащих обломки раковин, лингулид, единичные конодонты *Evencodus* spp. . . . .

4г. Песчаники светло-зеленые с темно-вишневыми пятнами, средние и тонконеравноглазчатые, неоднородно сцементированные, в верхней части с линзовидными прослоями и желваками алевритистых и песчанистых известняков. Верхняя поверхность неровная. Найдены ядро гладкой острокоды, единичная мшанка, конодонты *Evencodus* spp., *Ptiloconus anomalis* . . . . .

4д. Песчаники светло-зеленые, крепкие, хорошо выражены в рельефе в виде уступа из двух пластов, разделенных прослоем (0,05—0,08 м) сланцевато-слоистых алевролитов. Выше наблюдается пересланывание тонких линзовидных прослоев светло-зеленых песчанисто-алевритистых известняков и алевролитов. Обнаружены единичные и плохой сохранности наутилоиды, мшанки, остракоды, конодонты *Stereoconus quadrangularis* . . . . . 1,15

Мощность пачки 6,5 м.

По кровле слоя 4д проводится верхняя граница кудринского горизонта. Общая мощность его в этом обнажении 21 м.

Пачка 5 согласно залегает на четвертой и относится к базальным слоям чертовского горизонта. В основании пачки залегает пласт фосфоритовых гравелитов мощностью 5—6 см. Фосфоритовые желваки размером до 0,5 см, изредка до 1 см. Количество фосфоритовых желваков достигает 50% от основной массы породы. Заполняющий материал — белый слабо сцементированный песок, в виде отдельных гнезд встречаются массовые скопления мелких гастропод.

Фосфоритовый пласт в основании чертовского горизонта прослеживается и в других обнажениях на р. Лене и является хорошим

маркёром. Выше этого пласта залегают алевролиты темно-зеленые, известковистые, тонкослоистые, мелкощебечатые. Через интервалы в 0,4—0,5 м встречаются маломощные (1—4 см) пропластки сильноизвестковистых песчаников, реже мергелей с неопределенными обломками трилобитов, остатками ракообразных, остракодами, среди которых определена *Aparchitella* sp.

Выходы алевролитов прослеживаются до задернованной и залесенной бровки II надпойменной террасы. Видимая мощность пачки 6 м.

### Стратотип чертовского горизонта

Обнажение BK-748 расположено на левом берегу р. Лены, в 1 км ниже дер. Кудрино, находящейся на противоположном берегу. Составляет продолжение обн. BK-747, но отделено от него значительным задернованным интервалом. Таким образом, нижняя часть чертовской свиты в этом обнажении не вскрыта.

#### Мощность, м

1а. Слой слабо обнажен. На отдельных уровнях в бичевнике наблюдаются выходы аргиллитов темных зеленовато-серых, известковистых, с тончайшими редкими пропластками известняков песчанистых, с фосфоритовыми включениями. Найдены трилобиты *Isalaux* cf. *bifolius*, остракоды плохой сохранности. Видимая мощность . . . . .  
 1б. Аргиллиты и алевроаргиллиты зеленовато-серые с тонкими известковистыми прослойками, с дегритом, в средней части наиболее известковистые. На плоскостях наслойния найдены трилобиты *Isalaux stricta*, *I. bifolius*, остракоды плохой сохранности, разнообразны гастроподы (плоско-свернутые, башенковидные). Изредка встречаются пелепицоды, наутилоиды, лингуиды  
 1в. Известняки серые, органогенно-обломочные, ракушняковые, переслаивающиеся с аргиллитами темно- и зеленовато-серыми, тонкосланцеватыми, рассыпающимися в мелкую щебенку. Известняки сложены раковинами брахиопод *Atelelasma carinatum*, *Mimella panna*, *Oepikina tojoni*, *Strophomena mangazeica*, *Rostricellula* ex gr. *transversa*. Кроме того найдены трилобиты *Isalaux bifolius*, *I. stricta*, редкие остракоды и гастроподы. Конодонты представлены *Drepanodiscodus victrix*, *Chirognathus* spp., *Cyrtioniodus complicatus*, *Periodon sibiricus*, *Phragmodus inflexus*, *Prioniodus gratus*, *Ptiloconus anomalis*, *Trichonodella* (?) *prominens*, *Ambalodus* (?) *insolens*  
 1г. Аргиллиты темно-бордовые (мелкоосколчатые), с редкими обломками трилобитов *Isalaux bifolius*, *I. stricta*  
 1д. Известняки у основания зеленые, выше преимущественно коричневые, иногда серые, органогенно-обломочные, ракушняковые. Отчетливо выделяются два пласта (по 0,10—0,12 м) — в основании и в кровле; между ними до 6 пропластков песчанистых дегритовых известняков, разделенных тонкими аргиллитовыми прослойками, смятых в крупные оползневые складочки. Верхняя поверхность слоя с оползневыми текстурами. Характерно обилие брахиопод *Mimella panna* (массовые), *Atelelasma carinatum*, *Strophomena mangazeica*, *Oepikina tojoni*, *Rostricellula* ex gr. *transversa*. В нижней части встречаются участки, сложенные преимущественно мелкими обломками трилобитовых панцирей, лингуид и ракообразных. Встречаются остракоды и большое количество конодонтов: *Chirognathus* spp., *Cyrtioniodus complicatus*, *Periodon sibiricus*, *Phragmodus inflexus*, *Prioniodus gratus*, *Ptiloconus anomalis*, *Trichonodella* (?) *prominens*, *Ambalodus* (?) *insolens*, *A. mitratus*, *Amorphognathus quinquiradiatus*, *Polyplacognathus sweeti*

1е. Аргиллиты темно-бордовые, рассыпающиеся в мелкую щебенку

1ж. В основании находится пласт (0,04—0,07 м) песчаников темно-бурых, оливковых, железистых, над которым прослеживается пласт (0,01 м) известняков зелено-бирюзовых, песчанистых, с плойчатой пологой оползневой структурой, со следами илоедов на верхней поверхности. В обоих пластиах содержится большое количество темных фосфоритовых зерен величиной до 1 см. Остальная часть слоя образована темно-бордовыми аргиллитами с прослойем (0,1 м) бирюзово-зеленых аргиллитов в 0,2 м от кровли

1з. В основании находится пласт (0,02—0,03 м) известняков светло-коричневых, органогенно-обломочных, ракушняковых, песчанистых. Иногда в них наблюдаются полости с кальцитовыми щетками — следы выщелоченных головоногих. Характерно обилие брахиопод *Mimella panna* и *Rostricellula* ex gr. *transversa*, много мелкого трилобитового дегрита, среди которого

найдены обломки *Isalaux* cf. *bifolius* и *I. stricta*; конодонты единичные: *Cyrtioniodus complicatus*, *Periodon sibiricus*, *Prioniodus gratus*. Основная часть слоя образована аргиллитами зелеными и темно-бордовыми, с редкими тонкими (до 0,01 м) линзовидными прослойками известняков песчанистых, дегритовых . . . . .

1и. В основании тонкий пласт (0,15 м) известняков светло-серых, зеленовато-серых и коричневых тонов с брахиоподами *Mimella panna* и *Rostricellula* ex gr. *transversa*, трилобитами *Isalaux* cf. *bifolius* и *I. stricta*, редкими остракодами *Leperdilella* sp. и довольно многочисленными конодонтами *Drepanodiscodus victrix*, *Oistodus petalooides*, *Panderodus gracilis*, *Chirognathus* spp., *Cyrtioniodus complicatus*, *Periodon sibiricus*, *Phragmodus inflexus*, *Prioniodus gratus*, *Ptiloconus anomalis*, *Trichonodella* (?) *prominens*, *Ambalodus* (?) *insolens*, *A. mitratus*, *Amorphognathus quinquiradiatus*.

Выше аргиллиты бурье и зеленые, рассыпающиеся в мелкую щебенку . . . . .

1к. Аргиллиты темно-бордовые и зеленые, в основании с редкими мало-мощными (0,05—0,07 м) линзами зеленоватых известняков . . . . .

1л. В основании пласт (0,35 м) известняков неравномерно окрашенных, пестрых, иногда полосчатых, тонкоплитчатых, песчанистых, обогащенных мелким дегритом, смятых в плойчатые складочки, с первыми «оползневыми» поверхностями напластования. Органические остатки очень редкие и плохой сохранности (брахиоподы *Mimella panna* и остракоды *Aparchitella* sp.). Выше развиты темно-бордовые аргиллиты . . . . .

1м. Пересяживание аргиллитов темно-бордовых, мелкоосколчатых, с песчаниками бурыми, тонкоплитчатыми. Найдены редкие, гладкие остракоды и единичные конодонты *Chirognathus* sp., *Ptiloconus anomalis*, *Ambalodus mitratus* . . . . .

2а. Песчаники светло- и темно-серые, тонкоплитчатые, неоднородно сцепментированные, вверху известковистые, с тонкими прослойками аргиллитов. Найдены брахиоподы *Mimella panna*, *Oepikina tojoni*, *Rostricellula* ex gr. *transversa*; конодонты *Drepanodiscodus victrix*, *Cyrtioniodus complicatus*, *Dichognathus* sp., *Periodon sibiricus*, *Phragmodus inflexus*, *Prioniodus gratus*, *Ptiloconus anomalis*, *Subcordylodus aculeatus*, *Ambalodus mitratus* . . . . .

2б. Песчаники светло-серые, сахаровидные, с темными точечными включениями, толстоплитчатые, нередко кавернозные, косо- и воднисто-слоистые, с редкими брахиоподами *Mimella panna*, *Rostricellula* ex gr. *transversa* и конодонтами *Cyrtioniodus complicatus*, *Periodon sibiricus*, *Phragmodus* sp., *Prioniodus gratus*. Отмечены находки остракод . . . . .

2в. В основании песчаники (0,4 м) светло-, зеленовато- и буровато-серые, с редкими невыдержаными прослойками органогенно-обломочных известняков, переполненными раковинами брахиопод *Mimella panna*, *Rostricellula* ex gr. *transversa*. Обнаружены редкие остракоды и конодонты *Chirognathus* sp., *Phragmodus* sp., *Prioniodus gratus*, *Ptiloconus anomalis*. Над песчаниками залегают темно-бордовые аргиллиты . . . . .

2г. Аргиллиты темно-бордовые и зеленые, легко рассыпающиеся в щебенку, с тонкими невыдержаными прослойками известковистых песчаников. Найдены единичные трилобиты *Monorakos lopatini* . . . . .

2д. В основании песчаники неоднородные по цвету и составу, смешивающиеся выше аргиллитовыми темно-бордовыми и зелеными, тонкоплитчатыми; встречены трилобиты *Monorakos lopatini* . . . . .

2е, ж. Аргиллиты бурые, легко разрушающиеся в мелкую щебенку, с редкими прослойками полосчатых песчаников . . . . .

2з. Аргиллиты бурые, с тонкими прослойками песчаников зеленых, тонкоплитчатых до листоватых. Найдены редкие трилобиты *Monorakos* sp. . . . .

2и. Преимущественно песчаники серые и темно-серые, тонкоплитчатые . . . . .

2к, л. Обнажены слабо, верхняя часть значительно закрыта осью . . . . .

Аргиллиты бурые, легко разрушающиеся в щебенку. В основании прослой песчаников зеленовато-серых, полосчатых. Видимая мощность . . . . .

Выше задерновано.

Видимая мощность чертовской свиты в описанном обнажении 23,5 м.

Верхняя часть киренского, кудринский и низы чертовского горизонтов обнажаются также на левом берегу р. Лены, против дер. Чечеткино, в 0,8 км выше дер. Балашово. Этот разрез почти послойно совпадает с соответствующими отложениями, описанными в обнажениях у дер. Кривая Лука и против дер. Кудрино, но логические отложения киренского и кудринского горизонтов здесь обнажены хуже.

Отложения киренского и кудринского горизонтов, обнажающиеся на р. Лене против дер. Половинка, литологически и по комплексу фаунистических остатков очень сходны с соответствующими отложениями, описанными в верхнем течении р. Лены у деревень Кривая Лука, Кудрино и Балашово и отличаются от них несколько повышенной карбонатностью. Таким образом, в бассейне р. Лены на большом протяжении и литологический состав и фаунистическая характеристика этих горизонтов сохраняются в основном почти однотипными, и они легко опознаются в обнажениях.

Отложения чертовского горизонта в наиболее полном объеме вскрываются в обнажении, расположеннем в 10 км ниже дер. Чертовской, в других местах (у дер. Кривая Лука, Балашово, Половинка) вскрываются только базальные слои.

#### СТРАТОТИПИЧЕСКИЙ РАДОН БАССЕЙНА Р. ПОДКАМЕННОЙ ТУНГУСКИ

На левом берегу р. Подкаменной Тунгуски между устьями рч. Листвянкой и р. Столбовой, а также на левом берегу р. Столбовой, вблизи ее устья располагается группа обнажений, в которых вскрываются отложения мангазейского «яруса». Здесь же прослеживаются отложения, относящиеся к криволукскому «ярусу», начиная от его базальных слоев, залегающих непосредственно на байкитских песчаниках. Помимо указанных обнажений приводится описание обн. М-6518, находящегося в бассейне среднего течения р. Подкаменной Тунгуски, в котором собран комплекс конодонтов, дополняющих список характерных форм чертовского горизонта.

#### Стратотип мангазейского «яруса» (обн. К-731 и К-732)

Обнажение К-731 расположено на правом берегу р. Подкаменной Тунгуски, между устьями ее притоков рч. Листвянкой и р. Столбовой, в нижней части высокого берегового обрыва. Особенность этого и соседних с ним обнажений заключается в том, что породы здесь обнажаются в оползневых блоках четвертичного возраста. Эти блоки морфологически выражены в виде увалов на высоком склоне долины реки. Увалы частично залесены, встречается «пьяный лес», характерный для оползневых склонов.

Ордовикские отложения в оползневых блоках обнажаются с разной степенью полноты, так как некоторые слои оказываются «срезанными». Оползневую природу контактов можно установить только при детальном изучении; обычно они закрыты осыпями, а проследить засыпанные интервалы в соседних блоках-увалах не всегда удается, поскольку одни и те же слои могут находиться в них на разных гипсометрических уровнях. Эти особенности, вероятно, не всегда принимались во внимание в предыдущих описаниях и слои с *Bodenia aspera*, залегающие непосредственно под пластом конгломератов мангазейского «яруса», иногда пропускались.

Для послойного описания разреза нами в некоторых интервалах обнажения были сделаны расчистки, а для контроля и более полной фаунистической характеристики изучены расположенные поблизости разрезы на р. Столбовой, где непрерывность и последовательность слоев не вызывает сомнений.

В основании обнажения К-731 залегают байкитские песчаники видимой мощностью около 7 м. Непосредственно над ними обнажаются разнообразные терригенные породы (слои 2—6), преимущественно

аргиллиты, алевролиты, песчаники, реже гравелиты, в различной степени известковистые с типичной, довольно многочисленной фауной волгинского горизонта. По комплексу фаунистических остатков корреляция этой части обнажения со стратотипическим обнажением горизонта на р. Лене не вызывает сомнений. Мощность волгинского горизонта здесь 3,0—3,2 м.

Непосредственно выше залегают породы, которые по комплексу фауны и по литологическим особенностям почти полностью аналогичны киренскому горизонту стратотипического обнажения на р. Лене.

Мощность, м

7. Аргиллиты зеленовато-серые, слюдистые с мелкой фосфоритовой галечкой с редкими тонкими (0,03—0,08 м) линзовидными и конкрециевидными прослоями известняков серых, пелитоморфных, с многочисленными остракодами *Fidelitella unica*, *Quadrilobella recta*, *Primitia annae*, *Ginella primitiformis*, *Schmidtella dorsilobata*. В верхней части прослеживается линзовидный прослой, образованный обильным скоплением наутилондей *Stolboceras borealis* Bal., которые изредка встречаются и в других частях слоя. К верхней части приурочены основные находки конодонтов *Bryantodina lenaica*, *Chirognathus* sp., *Dichognathus* — *Plectodina*, *Gyrognathus primus restrictus*, *Microcoelodus tunguskaensis*, *Ptiloconus anomalis*, *Subcordylodus aculeatus*, *Trichonodella* (?) *prominens*, *Amorphognathus* cf. *inaequalis*.

1,95

8. В основании расположен, образующий небольшой уступ, пласт (0,07—0,10 м) известняков серых с зеленоватым оттенком, пелитоморфных с галечками, с многочисленными остракодами *Fidelitella unica*, *Quadrilobella recta*, *Primitia annae*, *Schmidtella dorsilobata*, *Ginella primitiformis*. Выше развиты темно-вишневые алевролиты и алевроаргиллиты с редкими тонкими прослоями (0,03—0,05 м) пелитоморфных известняков, с многочисленными остракодами того же состава.

0,15

Граница слоев 8 и 9 принимается за кровлю киренского горизонта. Здесь меняется литологический состав пород и полностью обновляется комплекс фауны. Лимонитизация в кровле слоя 8 свидетельствует, возможно, о кратковременном перерыве в осадконакоплении. Мощность отложений киренского горизонта 5,3—5,4 м.

Мощность, м

9. Алевролиты темно-серые, сланцеватые, с линзовидными прослоями мелкозернистых, известковистых песчаников. К верхней части слоя степень известковистости пород возрастает, появляются крупные линзовидные или караваеобразные стяжения темно-серых, песчано-глинистых известняков с трилобитами *Isotelus maximus sibiricus*, *Isalaux stricta*, *Ceraurinus icarus*; остракодами *Bodenia aspera*, *Egorovella captiosa*, *Coelochilina laccochiloides*, *Bolbinella cumulata*; брахиоподами *Mimella panna*, *Platymera amara*, *Strophomena mangazeica*, гастropодами; пелециподами; фрагментами мшанок; отдельными членниками крионидей; многочисленными сколекондитами, а также конодонтами *Oistodus petaloideus*, *Drepanodiscodus vinctrix*, *Drepanoistodus suberectus*, *Panderodus compressus*, *P. gracilis*, *Cyrtionodus complicatus*, *Periodon sibiricus*, *Prioniodus gratus*, *Ambalodus* (?) *insolens*, *A. mitratus*, *Amorphognathus* sp., *Polyplacognathus sweeti*.

В кровле слоя выделяется прослой (2) темно-вишневых аргиллитов.

0,75

Комплекс слоя 9 отражает совершенно новый этап в развитии ордовикской фауны Сибирской платформы. Он не имеет ни одного общего вида с комплексом из подстилающих отложений, а из вышележащих известны только брахиоподы *Mimella panna* и трилобиты *Ceraurinus icarus*. Судя по описанию, приведенному в монографии О. И. Никифоровой и О. Н. Андреевой (1961), эта часть обнажения была принята первоначально за аналог кудринского горизонта, и описание отложений мангазейского «яруса» началось ими с вышележащего слоя 10 (соответствует слою 1 в описании стратотипа мангазейского «яруса» в указанной работе). В то же время, исходя из первоначальной фаунистической характеристики мангазейского «яруса», все исследователи в настоящее время определяют нижнюю границу этого

«яруса» по появлению брахиопод *Mimella panna*, которые повсеместно встречаются на Сибирской платформе и на Северо-Востоке СССР.

В связи с тем, что это представление прочно укрепилось в литературе и на нем основана корреляция соответствующих отложений не только в пределах Сибирской платформы, но и со смежными регионами, предлагается за подошву мангейского «яруса» принять не 10, а 9 слой. Такое уточнение объема стратотипа позволит избежать существенного пересмотра устоявшейся номенклатуры стратиграфических подразделений всего среднего ордовика Сибирской платформы.

Чертовской горизонт как нижнее подразделение мангейского «яруса» должен рассматриваться в объеме 9, 10 слоев и, возможно, 11. Этому не противоречат фаунистические данные по стратотипу чертовской свиты (см. рис. 1).

Основание баксанского горизонта может быть проведено в кровле слоя 10, так как в нем наблюдается массовое развитие брахиопод *Mimella panna*. В слое 11 вместе с этим видом появляется комплекс остракод, типичный для баксанского горизонта.

Мощность, м

10. Алевролиты, песчаники и гравелиты преимущественно вишиевые. В основании — галька фосфоритовая, мелкая, рассеяна в массе песчаников и алевролитов рыхлых, комковатых. Выше количество и размер галек возрастают, они состоят из хорошо окатанных обломков известковистых фосфоритов, кварца и кремния. Порода приобретает конгломератовидный облик. Органические остатки представлены трилобитами *Ceraurus icarus*, брахиоподами *Mimella panna*.

11. В основании аргиллиты (0,65 м) зеленые, мелкощебечатые, с редкими мелкими гальками, переходящие затем в гравелитовый прослой (0,12 м). Верхняя часть состоит из зеленых аргиллитов, переслаивающихся с органогенными известняками, к которым приурочены остатки трилобитов *Ceraurus kaspis armata*, *Ceraurus icarus*, остракоды *Parajonesites notabilis*, *Euprimilites helena* и другие формы, а также брахиоподы *Mimella panna*, мишанки *Pachydictya foliata*, членники стеблей криптоидей, грантолиты плохой сохранности, конодонты *Drepanodiscodus victrix*, *Scandodus sibiricus*. В гравелитовом прослое в массовом количестве встречаются *Stereococonus aculeiformis* и *S. bicostatus*. Видимая мощность.

Перерыв в обнажении. Описание вышележащих пород продолжено в обнажении К-732.

Обнажение К-732 расположено в 60 м от обн. К-731 ниже по течению р. Подкаменной Тунгуски, но гипсометрически выше него, в крутом обрывистом склоне. По-видимому, закрытый интервал между этими двумя обнажениями незначительный по мощности.

Мощность, м

1. Аргиллиты зеленые. В отдельных прослоях встречается большое количество остатков трилобитов *Ceraurus icarus*, *Monorakos mutabilis*, *Isoielus maximus sibiricus*, *Carinopyge abscisa*; остракод *Aparachitella procer*, *Euprimilites helena*, *Parajonesites notabilis*, *Costoprimilites textilis*, *Planusella bicornis*; мишанок; брахиопод *Mimella panna*, *Rostricellula transversa* (ракушняк). Конодонты редкие, представлены видами *Scandodus serratus*, *Phragmodus inflexus*. Видимая мощность.

2. Ритмичное переслаивание аргиллитов и органогенно-обломочных известняков. Преобладают аргиллиты. Остракоды *Parajonesites notabilis*, *Euprimilites helena*, *Costoprimilites textilis*, *Planusella bicornis* многочисленные, но плохой сохранности, образуют спорадические скопления. Из трилобитов встречены *Ceraurus icarus*; брахиоподы представлены *Rostricellula transversa*, *Leptellina carinata*, *Oepikina parvula*, *Hesperorthis australis*; конодонты *Drepanodiscodus victrix*, *Scandodus serratus*, *Scandodus (?) sibiricus*.

3. Аргиллиты темно-серые с коричневатым оттенком в ритмичном переслаивании с подчиненными прослоями известняков серых, пелитоморфных, равноплитчатых. Аргиллиты при выветривании раскалываются на тонкие пластины, на плоскостях которых наблюдаются скопления остракодов *Parajonesites notabilis*, *Planusella bicornis*. Найдены трилобиты *Monorakos magnus*; брахиоподы *Rostricellula transversa*, *Leptellina carinata*, *Oepikina*

*parvula*, *Hesperorthis australis*; конодонты *Drepanodiscodus victrix*, *Scandodus spp.*, *Scandodus serratus*.

4. Ритмичное чередование аргиллитов зеленовато-серых и известняков глинистых, пелитоморфных и органогенных. Органические остатки представлены остракодами *Glandites laticornis*, *Parajonesites notabilis*; трилобитами *Evenkaspis*; брахиоподами *Leptellina carinata*, *Oepikina parvula*, *Hesperorthis australis*

Описание вышележащих пород не приводится.

1,50

2,00

Обнажение К-733 расположено на левом берегу р. Столбовой, в 4—5 км выше ее устья, в обрывистом склоне и прослеживается до его верхней бровки.

Здесь у самого уреза воды в развалих и разобщенных коренных выходах обнажаются байкитские песчаники (слои 1—2). Над ними залегает пачка (слои 3—8) песчаников и алевролитов с маломощными прослоями гравелитов. По комплексу фауны, среди которой особенно в большом количестве встречаются остатки остракод и конодонты, эта пачка хорошо сопоставляется со стратотипом волгинского горизонта. Мощность около 3 м.

Граница с киренским горизонтом из-за недостатка фаунистических данных в слое 9 может быть проведена по его подошве или кровле. Авторы данной статьи за границу этих горизонтов принимают подошву слоя 9.

Мощность, м

9. Песчаники серые, зеленовато- и желто-серые дегритовые, в верхней части с гравелитовыми гальками. Найдены единичные остракоды плохой сохранности и обломки раковин лингуид. Мощность не выдержана.

0,25—0,60

10. Алевролиты зеленовато-серые, часто переходящие по простиранию в аргиллиты или песчаники. К средней части слоя приурочена цепочка крупных караваеобразных известковистых конкреций (диаметром до 15—25 см) обычно плотных, песчанистых с мелким дегритом трилобитов или раковинами остракодов. Аналогичные, но более мелкие, конкреции встречаются и на других уровнях. В 1,6 м от основания слоя прослеживается прослой остракодовых известняков. Верхняя поверхность слоя неровная, отмечается повышенная лимонитизация. Среди органических остатков преобладают остракоды *Primitia annae* и *Quadrilobella recta*. В нижней части они еще единичны, затем количество их возрастает и достигает максимума в верхней половине. К известковистым конкрециям и прослою остракодовых известняков приурочен богатый комплекс конодонтов: *Bryantodina lenaica*, *Dichognathus sp.*, *Microcoelodus tunguskaensis*, *Phragmodus sp.*, *Plectodina sp.*, *Plioconus anomalis*, *Subcordylodus aculeatus*, *Trichonodella prominens*.

11. Преимущественно аргиллиты и алевроаргиллиты пестрые, зеленовато- и красновато-серые, в нижней части преимущественно серовато-зеленые, выше преобладают темно-вишиевые разности. В нижней половине прослеживаются 3—4 прослоя известняков серых, очень крепких. В 1 м от кровли отмечено большое скопление остатков наутилоидей, с которыми ассоциируются пеленциды плохой сохранности. Остракоды *Fidelicella unica*, *Quadrilobella recta*, *Primitia annae*, *Ginella primitiformis* встречаются по всему слою, в аргиллитах концентрируются пятнами. В верхней части найден трилобит *Monorakos lopalini*.

Слои 10 и 11 содержат типичную фауну киренского горизонта. Вышележащие слои 12 и 13 литологически очень сходны со слоем 9 в обн. К-731, но породы здесь менее известковистые. По этой причине, видимо, фаунистические остатки здесь более редкие и плохой сохранности, главным образом в виде отпечатков.

12. Аргиллиты зеленовато-серые, с тонкими линзовидными прослоями алевроаргиллитов и песчаников, листоватые. Найдены остатки гладких остракод и наутилоидей неудовлетворительной сохранности.

0,60

13. Песчаники темно-вишиевые с буроватым оттенком, сильнообожженные, кавернозные, рыхлые, слюдистые.

0,03

Выше залегают породы, соответствующие баксанскому горизонту.

14. Конгломератовидные гравелиты, темно-вишиевые. В цементирующую песчано-аргиллитовую массу хорошо окатанные обломки нижележащих пород и неравномерно распределенные крупные гальки до 10 см величиной. В интервале 1,15—1,35 м четко прослеживается гравелитовый прослой, состоящий почти полностью из мелких хорошо окатанных галек, среди кото-

рых изредка встречаются крупные валуны. В 1 м от основания наблюдаются скопления крупных ветвистых мицанок, составляющих местами до 50% породы. Встречаются наутилоиды плохой сохранности. Этот слой соответствует слою 10 в обн. К-731. Отличается от него резким преобладанием грубообломочных разностей.

15. В основании прослой (0,20 м) алевролитов темно-вишневых, выше которого наблюдается переслаивание аргиллитов зеленовато-серых, рассланцевывающихся на тонкие мелкие пластинки, и мергелей зеленовато-серых, волнисто-слонистых, сланцеватых. В верхней половине слоя на отдельных уровнях прослеживаются невыдержаные линзовидные прослои органогенно-обломочных известняков. Изредка встречаются зерна фосфорита. Остракоды *Parajonesites notabilis*, *Euprimilites helena*, *Planusella bicornis*, *Costoprimilites texensis*, *Aparchitella major* распространены во всех разностях пород, но особенно они многочисленны в известняках, к которым приурочены и находки брахиопод *Mimella panna* (единичные экземпляры), *Leptellina carinata*, *Rostricellula transversa* (ракушняк). В верхней части слоя найдены также трилобиты *Carinopyge abscisa*, *Ceratovenkaspis armata*, *Monorakos lopatini*, *Carinopyge cf. spinifera*; конодонты *Drepanodiscodus victrix*, *Drepanostodus subrectus*, *Scandodus (?) sibiricus*, *Phragmodus inflexus*, *Ph. tunguskaensis*.

16. Аргиллиты зеленовато-серые и зеленые, легко рассыпающиеся в мелкую щебенку, ритмично переслаивающиеся с известняками серыми, равномерно-слонистыми, глинистыми. Мощность прослоев известняков 0,02–0,10 м, аргиллитов 0,15–0,25 м. Отдельные прослои известняков переполнены остракодами *Costoprimilites texensis*, *Parajonesites notabilis*. На отдельных уровнях встречаются мицанки *Fimbriapora gregaria*; брахиоподы *Lepellina carinata*, *Rostricellula transversa*, *Strophomena lethea*, *Triplesta sibrica*, *Oepikina parvula*, иногда членники стеблей криноидей. Конодонты единичные — *Panderodus sp.*, *Phragmodus inflexus*.

17. Аргиллиты зеленовато-серые, иногда с линзовидными прослоями алевролитов и алевроаргиллитов, ритмично чередующиеся с органогенно-обломочными известняками. Мощность аргиллитовых прослоев 0,3–0,5 м, известняков 0,02–0,08 м. Известияки в значительной мере состоят из раковин брахиопод *Strophomena lethea*, *Oepikina parvula*. Увеличивается количество мицанок и криноидей и сокращается количество трилобитов (найден *Isoleius maximus sibiricus*) и остракод. Комплексе конодонтов характеризуется появлением акантодонтных форм — *Acanthodina aff. regalis*, *Acanthodus aff. compositus*, *Acanthodus comptus*.

18–22. Ритмичное чередование аргиллитов зеленовато-серых и известняков, часто органогенно-обломочных. Органические остатки обильные и разнообразные, принадлежат баксанскому комплексу фауны. Видимая мощность

Обнажение М-6518 расположено на правом берегу р. Чуни — правом притоке р. Подкаменной Тунгуски, в 4–4,5 км выше устья р. Амутканы. Здесь обнажаются породы, соответствующие, вероятно, чертовскому и баксанскому горизонтам.

1. Алевролиты зеленовато- и голубовато-серые, оскольчатые, с редкими прослоями и небольшими рассеянными включениями мергелистых известняков, заключающих фосфоритовые галечки и обломки раковин. В 0,5 м от подошвы в известняках обнаружены конодонты *Panderodus compressus*, *P. gracilis*, *Chirognathus cf. gradata*, *Cyrtoniodus complicatus*, *Periodon sibiricus* sp. nov., *Prioniodus gratus*, *Polyplacognathus sweeti*, редкие сколекондиты. Видимая мощность

2. Известияки темно-серые, вверху желтовато-серые, среднеплитчатые, фосфоритоносные, содержащие обильные фосфоритовые галечки. Найдены конодонты *Drepanodiscodus victrix*, *Scandodus (?) sibiricus*, *Evenodus bicostatus*, *Stereoconus* sp., *Phragmodus inflexus*.

3. Алевролиты зеленовато-серые, оскольчатые, с прослойми и крупными лепешковидными включениями известняков серых и желтовато-серых, обогащенных фосфоритовыми галечками. В известняках редкие конодонты *Drepanodiscodus victrix*, *Scandodus (?) sibiricus*, *Phragmodus inflexus*, значительное количество сколекондитов.

4. Песчаники розовато- и светло-серые, слабо цементированные, кварцевые, переслаивающиеся с бурыми и темно-вишневыми алевролитами. В них найдены брахиоподы *Mimella panna*, единичные конодонты *Drepanodiscodus victrix*, *Evenodus* sp.

1,65

3,10

7,50

5,10

около 25

Мощность, м

1,50

0,30

1,30

2,70

5. Известияки серые, равноплитчатые, крепкие, вверху комковатые. В большом количестве встречаются двустворки. Более редкими являются конодонты, которые принадлежат *Drepanodiscodus victrix*, *Acanthodus cf. elegans*, *Panderodus* sp.

Вышележащие отложения обнажены здесь плохо, однако ниже по течению, в 0,5 км ниже устья р. Амутканы, они отчетливо прослеживаются в обн. М-6519, залегая на розоватых песчаниках (слой 4) и известняках, переполненных двустворками (слой 5).

6. Известияки серые и желтовато-серые, органогенно-обломочные, с прослоями неструйных аргиллитов. В них найдены брахиоподы *Rostricellula* sp., остракоды *Euprimilites helena*, единичные конодонты *Drepanodiscodus victrix*

7. Аргиллиты внизу вишнево-красные, вверху зеленые. Перерыв в обнажении 0,5–1,0 м.

8. Известияки серые с редкими брахиоподами *Rostricellula* sp. и мицанками.

9. Переслаивание известняков серых, иногда органогенных и аргиллитов темно-серых, часто слонистых. Конодонты редкие, в основном обломанные, среди них определены *Drepanodiscodus victrix*.

10. Ритмичное чередование аргиллитов зеленых, оскольчатых и известняков серых, мергелистых и органогенных, содержащих многочисленные и разнообразные органические остатки.

Вышележащие породы не описываются.

Мощность, м

0,60

5,70

2,00

0,40

около 7,00

около 10,00

### СТРАТОТИПИЧЕСКИЙ РАЙОН БАССЕЙНА Р. КУЛЮМБЭ

Бассейн р. Кулюмбэ предлагается в качестве гипостратотипического района всех горизонтов среднего ордовика. Разрез ордовикских отложений на р. Кулюмбэ является наиболее полным на Сибирской платформе. Здесь в почти непрерывных обнажениях по обоим берегам реки прослеживаются пограничные отложения кембрия и ордовика, нижний и средний ордовик. В отличие от бассейнов рек Лены и Подкаменной Тунгуски, где расположены стратотипы среднего ордовика, условия осадконакопления здесь были более стабильными. Они характеризуют нормально-морской бассейн, преимущественно с карбонатным осадконакоплением. Породы содержат большое количество остатков разнообразной фауны.

Недостатками этого разреза являются отсутствие непосредственного контакта между чертовским и баксанским горизонтами (на р. Кулюмбэ он приходится на задернованный интервал) и отсутствие достоверных аналогов долборского горизонта, из-за чего верхняя граница баксанского горизонта здесь определяется условно. Граница между чертовским и баксанским горизонтами, однако, хорошо устанавливается в обнажении по притоку р. Кулюмбэ — руч. Загорному, причем последнее обнажение послойно сопоставляется с кулюмбинским.

Обнажение Т-722 расположено в среднем течении р. Кулюмбэ, на левом берегу, ниже о-ва Олений.

Здесь непосредственно на породах нижнего ордовика с остатками ангарелл, мойероний, лингулид, остракод и редких конодонтов залегает пачка (слои 1—9), представленная преимущественно известняками серыми и темно-серыми, иногда известковистыми алевролитами и песчаниками, реже аргиллитами. В большом количестве встречаются остатки остракод, реже брахиопод, трилобитов, криноидей, конодонтов, относящихся к типичным комплексам волгинского горизонта.

Со слоя 10 появляются представители киренского комплекса фауны, поэтому граница между волгинским и киренским горизонтами проводится по подошве слоя 10.

Мощность, м

10. Известияки темно-серые, почти черные, глинистые, скрытокристаллические, тонкоплитчатые, с многочисленными остракодами *Quadrilobella recta*, неравномерно распределенными по слою. Конодонты *Dichognathus* sp.,

	Мощность, м		Мощность, м
Phragmodus sp., Plectodina sp., Subcordylodus sp., также довольно многочисленны	0,20—0,30	23. Песчаники зеленые, кварцевые, толстоплитчатые, крепкие . . . . .	0,80
11. Известияки песчанистые и известковистые песчаники светло-серые, мелко- и среднезернистые, косослоистые и горизонтально-слоистые, с линзами темно-серых пелитоморфных известняков мощностью до 0,15—0,20 м и протяженностью до 5—10 м, исключительно богатых остатками остракод <i>Quadrilobella recta</i> , <i>Primitia annae</i> , <i>Ginella primiformis</i> , <i>Fidelitella unica</i> . Остракоды того же состава рассеяны по всему слою, но в меньшем количестве, чем в линзовидных прослоях. Конодонты подчиняются той же закономерности. В линзовидных прослоях и во вмещающей породе содержатся: <i>Drepanodiscodus victrix</i> , <i>Bryantodina lenaica</i> , <i>Dichognathus</i> sp., <i>Gyrognathus primus restrictus</i> , <i>Microcoelodus tunguskaensis</i> , <i>Plectodina</i> sp., <i>Ptiloconus anomalis</i> , <i>Subcordylodus aculeatus</i> , <i>Trichonodella</i> (?) <i>primens</i>	1,45	24. Алевролиты пестрые, пятнистые, с тонкими линзовидными прослоями известняков, к которым приурочены многочисленные остракоды <i>Fidelitella unica</i> , <i>Quadrilobella recta</i> , <i>Primitia annae</i> . Конодонты редкие, обычно неопределенные за исключением <i>Ptiloconus anomalis</i> . . . . .	2,20
12. Алевролиты зеленовато-серые, известковистые, рассланцевывающиеся на тонкие неровные плитки, с линзовидными прослоями известняков пелитоморфных, дегритовых и песчаников известковистых. Органические остатки представлены остракодами <i>Fidelitella unica</i> , <i>Quadrilobella recta</i> , <i>Primitia annae</i> и конодонтами <i>Drepanodiscodus victrix</i> , <i>Bryantodina lenaica</i> , <i>Dichognathus</i> sp., <i>Microcoelodus tunguskaensis</i> , <i>Plectodina</i> sp., <i>Ptiloconus anomalis</i> , <i>Subcordylodus aculeatus</i> , <i>Subcordylodus</i> sp., <i>Amorphognathus</i> cf. <i>inaequalis</i>	2,80	Слой 25—30 прослеживается в вертикальной стене призыва.	
13. Пересяживание алевролитов зеленовато-серых и известняков темно-серых, пелитоморфных и органогенно-обломочных. Алевролиты преобладают особенно в верхней части. В большом количестве встречаются остракоды <i>Fidelitella unica</i> , <i>Ginella primiformis</i> , <i>Primitia annae</i> , <i>Quadrilobella recta</i> . Находки конодонтов <i>Drepanodiscodus victrix</i> , <i>Phragmodus</i> sp., <i>Plectodina</i> sp., <i>Ptiloconus anomalis</i> , <i>Subcordylodus</i> sp. приурочены к средней части. В верхней части появляются остатки лингулид	1,50	25. В основании известияки (0,04 м) зеленовато-серые с многочисленными остракодами <i>Primitia annae</i> и мшанками. Выше преимущественно алевролиты пятнистые, с прослоями известняков серых и сиреневато-серых, содержащих значительное количество тех же остракод	1,20
14. Известияки зеленовато-серые, вверху розовато- и красновато-серые, брахиоподовые, в виде слойков, разделенных алевритистым материалом. В верхней части увеличивается количество глинистого материала. Резко преобладают брахиоподы <i>Rosticellula lenensis alia</i> (ракушник), <i>Rosticellula raymondi vela</i> , составляющие нередко до 90% породы. Остракоды сравнительно редки. В верхней части слоя отмечены единичные находки наутилоидей плохой сохранности. Встречаются единичные конодонты <i>Drepanodiscodus victrix</i> , <i>Dichognathus</i> sp., <i>Phragmodus</i> sp.	0,80	26. Преимущественно известияки, серые и зеленовато-серые, глинистые, вверху органогенно-обломочные с сиреневым оттенком, прослоями аргиллитов серых или зеленых, листоватых. В известияках в массовом количестве встречаются остракоды <i>Primitia annae</i>	2,55
15. Аргиллиты в нижней части (0,55 м) вишнево-красные, выше зеленые	1,95	27. Аргиллиты вишневые, переходящие в верхней части в известияки глинистые, плитчатые. Встречаются остракоды <i>Fidelitella unica</i> , а также единичные неопределенные конодонты	1,10
16. Алевролиты зеленовато-серые, тонко- и неравнозернистые, сильноизвестковистые. В основании залегает пласт (0,08 м) известняков зеленовато-серых, очень плотных, пелитоморфных, в верхней половине — пласт (0,07 м) известняков с линзами, насыщенными остатками остракод <i>Fidelitella unica</i> и <i>Primitia annae</i> . В кровле — известияки брекчированные с редкими остракодами того же состава	0,85	28. Пересяживание мергелей, известняков и алевролитов пестроокрашенных. В верхней части встречаются остракоды <i>Fidelitella unica</i> и редкие лингулиды	1,30
17. Аргиллиты в нижней части (0,65 м) зеленовато-серые, с лингулидами, остракодами <i>Fidelitella unica</i> , <i>Primitia annae</i> , с мелкими обломками панцирей ракообразных и единичными гастроподами. В верхней части аргиллиты вишнево-красные, с тонкими редкими прослоями известняков брекчированных, дегритовых, с многочисленными остракодами и лингулидами	0,85	29. Мергели серые с сиреневатым оттенком, среднеплитчатые. В 0,25 м от основания прослеживается прослой (обычно 1,0—1,5 мм мощностью, в редких пологих раздувах до 5 мм), выполненный остракодами <i>Primitia annae</i>	1,05
18. В основании известияки (0,07 м) зеленовато-серые и пестрые, брекчированные, с большим количеством обломков раковин лингулид и ракообразных, с редкими остракодами <i>Fidelitella unica</i> и <i>Primitia annae</i> . Встречаются конодонты <i>Drepanodiscodus victrix</i> , <i>Gyrognathus primus restrictus</i> , <i>Subcordylodus aculeatus</i> , <i>Ambalodus mitratus</i> , <i>Scandodus</i> sp., <i>Phragmodus inflexus</i> sp., <i>Dichognathus</i> sp. Выше обнаруживаются алевролиты вишнево-красные с прослоем (0,33 м) зеленых алевролитов, с тонким прослоем известняков в 0,1 м от кровли остракодами и лингулидами	1,4	30. В основании известияки (0,10—0,12 м) зеленовато-серые, органогенно-обломочные, сменяющиеся выше алевролитами вишнево-красными, на поверхности напластования которых видны трещины усыхания. В обеих разностях пород — обилие мшанок и остракод <i>Quadrilobella recta</i> , <i>Fidelitella unica</i> , <i>Primitia annae</i> . В известияках встречаются также пелециподы, моноплафоры и лингулиды	1,60
19. Известияки зеленовато-серые, пелитоморфные с большим количеством остракод <i>Fidelitella unica</i> , <i>Quadrilobella recta</i> , <i>Primitia annae</i> . Конодонты единичные, неопределенные	1,97	31. Алевролиты и мергели вишнево-красные и зеленые, пестрые, тонко-зернистые, иногда волнисто- и косослоистые, с тонкими линзовидными прослоями серых известняков. В средней части найдены редкие остракоды плохой сохранности <i>Quadrilobella recta</i>	1,95
20. Алевролиты вишнево-красные, внизу листоватые, плитчатые с остракодами <i>Fidelitella unica</i>	0,20	32. Чередование аргиллитов, серых и зеленовато-серых; и известняков серых тонкоплитчатых. В верхней половине — преимущественно известияки глинистые и песчанистые	1,30
21. В основании — известияки (0,25 м) алевритисто-песчанистые, пятнистые, сменяющиеся выше алевролитами — фиолетовыми, сиреневыми, зелеными разностями. В кровле тонкий (0,03 м) прослой известняков зеленых, песчанистых, с темными точечными включениями, с редкими остракодами. Найден обломок наутилоидов плохой сохранности	1,75	33. Известияки серые, среднеплитчатые, глинистые и песчанистые	0,40
22. Алевролиты преимущественно вишнево-красные, прослоями сиреневые и зеленые, пятнистые более известковистые или песчанистые. В нижней части найдены остракоды <i>Primitia annae</i>	0,70	34. Аргиллиты темно-серые, ороговикованные	0,90
	3,10	35. Трапп долеритового состава	10—11
		36. Аргиллиты темно-серые, ороговикованные	0,22
		37. Известияки серые, неоднородные, плитчатые и комковатые, песчанистые и глинистые, волнисто-слоистые	0,60
		38. Алевролиты темно- и зеленовато-серые, тонко- и среднеплитчатые. В верхней части появляются прослои песчано-глинистых известняков и аргиллитов. Обнаружены редкие и мелкие остракоды плохой сохранности, вероятно, принадлежащие <i>Leperditella</i> sp. и <i>Aparchites</i> sp.	2,20
		39. Песчаники серые, известковистые, со следами илоедов, с мелкими гладкими остракодами <i>Leperditella</i> sp., <i>Aparchites</i> sp.	0,33
		40. Алевролиты зеленовато-серые, тонкоплитчатые, с линзовидным прослоем известняков песчано-глинистых, с мелкими остракодами <i>Leperditella</i> sp., <i>Aparchites</i> sp. В кровле — алевролиты (0,04—0,10 м) лимонитизированные, ржаво-коричневого цвета	0,30
		41. В основании — песчаники (0,12 м) серые и зеленовато-серые, кварцевые, гнездами гравелитовые, с однообразными гладкими остракодами <i>Leperditella</i> sp., <i>Aparchites</i> sp. Выше пересяживание алевролитов темно-серых, тонкослоистых или листоватых, и песчаников зеленовато-серых, иногда кварцевых	0,65
		42. Алевролиты зеленовато-серые, тонкослоистые, иногда листоватые, в верхней части с прослоем песчаников темно-серых	1,55
		Вышележащие слои 43—44 вскрыты канавами.	
		По подошве слоя 43 проводится нижняя граница чертовского горизонта, так как здесь резко меняется литологический состав пород, в слое 44 содержится комплекс фауны, почти тождественный слою 9 в обн. К-731.	
		43. Известияки темно- и зеленовато-серые, глинистые и алевритистые	0,55
		44. Известияки темно-серые до черных, линзовидно-комковатые; с глинистыми примазками, тонко- и неравнолитчатые, с остракодами <i>Bode-</i>	

*nia aspera*, *Egorovella captiosa*, *Coelochilina laccophilinoides*, с обломками трилобитов, с конодонтами *Oistodus* sp., *Dichognathus* sp., *Phragmodus inflexus*, *Ptiloconus anomalis*, *Pygodus* sp., мелкими гастроподами.

л. Песчаники серые, мелкозернистые, дегритовые, с редкими остракодами, преимущественно гладкими.

к. Известняки темно-серые до черных, мелкокристаллические, комковатые. Найдены редкие конодонты, среди которых определены *Drepanoistodus cf. suberectus*, *Stereococonus* spp., *Cyrtioniodus* sp., *Phragmodus* cf. *infelixus*, *Ptiloconus anomalis*, *Pygodus* sp., *Subcordylodus* sp., также остракоды плохой сохранности.

и. Песчаники темно-серые, сильноизвестковистые, тонкозернистые, среднесплошные, линзовидные, с остракодами *Bodenia aspera*, *Egorovella captiosa*, *Coelochilina laccophilinoides*; конодонты *Drepanoistodus suberectus*, *Oistodus petaloideus*, *Oistodus* sp., *Cyrtioniodus complicatus*, *Phragmodus inflexus*, *Prioniodus gratus*, *Subcordylodus aculeatus*, *Polyplacognathus sweeti*, *Pygodus* sp.

з. Известняки темно-серые до черных, тонкоплитчатые, с многочисленными остракодами *Bodenia aspera*, *Egorovella captiosa*, *Coelochilina laccophilinoides*.

ж. Известняки темно-серые, тонкоплитчатые, с обильными брахиоподами *Mimella panna*, *Strophomena mangazeica*, *Oepikina tojoni*, *Rostricellula raymondi kulumensis*, а также трилобитами *Evenkaspis sibirica*, *Isalaux stricta*, *Carinopyge aff. absconsa*.

е. Известняки темно-серые, песчанистые, с трилобитами, остракодами и брахиоподами того же состава, что и в предыдущем слое.

д. Аргиллиты зеленовато-серые, известковистые.

г. Известняки и песчаники темно-серые до черных, линзовидно переслаивающиеся с органогенным дегритом, с остракодами *Bodenia aspera*, *Egorovella captiosa*, *Coelochilina laccophilinoides*, брахиоподами *Mimella panna*.

б. Известняки темно-серые, почти черные, песчанистые, с остракодами, трилобитами и брахиоподами *Mimella panna*, большим количеством конодонтов *Drepanodiscodus victrix*, *Oistodus* cf. *petaloideus*, *Panderodus* spp., *Stereococonus* sp., *Cyrtioniodus complicatus*, *Phragmodus inflexus*, *Prioniodus gratus*, *Ambalodus insolens*, *Polyplacognathus sweeti*, а также редкими мелкими гастроподами и криноидиями.

б. Известняки темно-серые, алевритистые, тонкоплитчатые, полосчатые за счет концентрации на плоскостях напластования более темного глинистого материала. По всему слою рассеяны остракоды *Bodenia aspera* и *Egorovella captiosa*.

а. Известняки темно-серые, алевритистые и песчанистые, с волнистой поверхностью напластования, богатые остракодами *Bodenia aspera*, *Egorovella captiosa* и брахиоподами *Mimella panna*, *Strophomena mangazeica*, *Rostricellula raymondi kulumensis*, *R. transversa*, *Oepikina tojoni*. Встречаются трилобиты *Evenkaspis sibirica*, *Isalaux stricta*, *Ceraurinus icarus*, *Carinopyge aff. absconsa*; единичные *Ermanella* sp.; конодонты *Oistodus* sp., *Panderodus intermedius*, *Phragmodus inflexus*, *Prioniodus gratus*, *Pygodus* sp., *Ambalodus mitratus*, *Polyplacognathus sweeti*; редкие гастроподы и криноидии.

Видимая мощность отложений чертовского горизонта 4,3—4,4 м.

Выше интервал, протяженностью около 150 м, задернован. Закрытая часть разреза по мощности равна примерно 3 м. Часть этого интервала прослеживается в оби. ВК-7219.

Обнажение ВК-723. После задернованного участка вскрываются:

1. Алевролиты серые и зеленовато-серые, с линзовидным прослоем органогенно-обломочных известняков с многочисленными остракодами *Rajonesites notabilis*, *Euprimilia helena*, *Aparchitella major*, фрагментарными остатками трилобитов *Ceraurinus* sp., редкими брахиоподами плохой сохранности *Rostricellula* sp. Конодонты представлены *Drepanoistodus suberectus*, *Panderodus gracilis*, *Scandodus serratus*, *Scandodus* (?) *sibiricus*, *Ozarkodina* sp., *Phragmodus inflexus*, *Phragmodus tunguskaensis*, *Dichog-*

нитус

В верхней части алевролиты постепенно переходят в зеленовато-серые

листственные аргиллиты. Видимая мощность

около 2,00

Обнажение ВК-724 отделено от оби. ВК-723 небольшим (около 1,5 м) закрытым интервалом.

Мощность, м

0,40

0,22

0,20

0,98

0,62

0,18

0,20

0,08

0,10

0,22

0,25

0,35

Мощность, м

1,40

0,87

2,86

2,60

2,20

0,20—0,25

1,45

1,35

2,15

0,95

6,60

4,55

0,40

1. Ритмичное чередование аргиллитов (0,25—0,30 м) зеленовато-серых и известняков (0,10—0,12 м) органогенно-обломочных. Видимая мощность

1,40

Обнажение ВК-725 отделено от оби. ВК-724 небольшим тектоническим нарушением.

Мощность, м

1. Аргиллиты известковистые, переходящие в глинистые известняки, с отдельными пластами органогенных известняков, содержащих трилобиты *Ceraurinus* cf. *icarus*, *Isolellus* sp., *Evenkaspis sibirica*; остракоды *Parajonesites notabilis*, *Euprimilia helena*, *Costoprimites textilis*, *Aparchitella major*; брахиоподы *Hesperorthis tricenaria*, *Glyptorthis pulchra*, *Mimella gibbosa sibirica*, *Strophomena lethaea*, *Oepikina convexa*; *O. parvula*, *Maakina sinuata*, *Rostricellula transversa*; конодонты *Drepanoistodus victrix*, *Drepanoistodus suberectus*, *Panderodus gracilis*, *Scandodus* (?) *sibiricus*, *Belodina compressa*, *Belodina* (?) *repens*, *Culumbodina mangazeica*, *Phragmodus tunguskaensis*, *Oulodus* sp., мелкие гастроподы, обломки мшанок

2. Ритмичное чередование аргиллитов серых и зеленовато-серых, легко рассыпающихся в мелкую щебенку, и мергелий серых плотных; в верхней части появляются линзовидные прослои органогенных известняков с обильными остракодами такого же состава, как в предыдущем слое; брахиоподы *Glyptorthis pulchra*, *Leptellina carinata*, *Strophomena lethaea*, *Oepikina convexa*, *O. parvula*, *Rostricellula transversa*; фрагментами трилобитов *Ceraurinus icarus*, и др.; мшанками. Среди конодонтов определены *Drepanoistodus* *victrix*, *Panderodus gracilis*, *Belodina compressa*, *Culumbodina mangazeica*

3. Аргиллиты серые, оскольчатые с линзовидными прослоями органогенных темно-серых известняков в подошве и кровле слоя. Остатки фауны приурочены в основном к органогенным разностям и представлены остракодами такого же состава, что и в предыдущих двух слоях; брахиоподами *Hesperorthis tricenaria*, *Glyptorthis pulchra*, *Mimella gibbosa sibirica*, *Leptellina carinata*, *Strophomena lethaea*, *Oepikina convexa*, *O. parvula*, *Maakina sinuata*, *Rostricellula transversa*; мшанками; конодонтами *Drepanoistodus* *victrix*, *Panderodus* cf. *intermedius*, *Panderodus* sp., *Scandodus* (?) *sibiricus*, *Culumbodina mangazeica*, *Phragmodus tunguskaensis*

4. Аргиллиты темно-серые, участками известковистые, переходящие в мергелий серые, с линзовидными прослоями известняков темно-серых, кремовых, с остракодами, мшанками, брахиоподами того же состава, что и в слое 3; встречаются также мелкие обломки трилобитов и членники криноидей. Конодонты довольно редкие и представлены *Drepanoistodus* *victrix*, *Panderodus* sp., *Culumbodina mangazeica*, *Phragmodus tunguskaensis*, *Ambalodus mitratus*.

Описание вышележащих пород не приводится.

На руч. Загорном, левом притоке р. Кулюмбэ, почти полностью обнажается средний ордовик, исключая верхнюю часть баксанского горизонта. Разрез послойно сопоставляется с описанными обнажениями р. Кулюмбэ.

Обнажение ВК-7218. Руч. Загорный (см. рис. 3):

Мощность, м

1а. Соответствует Т-722/10<sup>3</sup>

1б—1ж. Соответствуют Т-722/11

2а. Аналог Т-722/12, содержит остракоды и лингуиды

2б—2в. Аналог Т-722/13—14, содержит многочисленные остатки остракодов и брахиопод *Rostricellula lenaensis alia*, а также редкие остатки лингуид, пелепицопод, конодонтов

2г—2е. Соответствует Т-722/15. Встречаются редкие остракоды

2ж—2л. Аналог Т-722/15—18

3а—3и. Соответствуют Т-722/19—22

3к. Соответствует Т-722/23

<sup>3</sup> Следует читать: оби. Т-722, слой 10 и т. д.

4а—4з. Соответствует Т-722/24—29

4и. Соответствует Т-722/30а

5а—6е. Соответствуют слоям Т-722/30б до Т-722/38

6ж. Аналог слоя Т-722/38 (верхняя часть)

7а—7з. Аналоги слоев Т-722/39—41

7и. Соответствует Т-722/42. По кровле этого слоя проводится нижняя граница чертовского горизонта

8а—в. Известняки серые и светло-серые, с тоначайшими глинистыми примазками. Остракоды рассеяны по всему слою; в 0,3 м от основания появляются *Bodenia aspera* и *Coelochilina laccochilinoides*. Совместно с ними встречаются обильные брахиоподы *Rostricellula raymondi kulumensis*, *Platymeria amara*, иногда трилобиты *Isalaux stricta*; многочисленные конодонты: *Drepanoistodus suberectus*, *Panderodus gracilis*, *P. intermedius*, *Stereococonus aculeiformis*, *S. nodosicostatus*, *Chirognathus spp.*, *Cyrtioniodus complicatus*, *Microcoelodus tunguskaensis*, *Phragmodus inflexus*, *Prioniodus gratus*, *Ptilocoelodus anomalis*, *Trichonodella (?) prominens*, *Amorphognathus quinquiradiatus*, *Polyplacognathus sweeti*.

8г. Выше, в 3,5 м в залесенной части берегового склона, прослеживается ограниченный выход известняков с остракодами *Bodenia aspera*, *Egorovella captiosa*, *Coelochilina laccochilinoides*. Видимая мощность . . .

**Обнажение ВК-7219.** Выше по течению руч. Загорного закрытый участок скрывает около 1 м разреза, а в непосредственной близости от тряпца в вертикальной стенке обнажаются следующие породы:

Мощность, м
10,80
0,20
11,6
0,02
2,10
1,30
2,65
0,50

1а. Аргиллиты темно-серые с прослойями, обычно невыдержаными (0,01—0,02 м), глинистых, плотных известняков; в средней части прослеживается пласт (0,15—0,20 м) известняков, к которым приурочены находки брахиопод *Mimella panna*, *Strophomena mangazeica*, *Rostricellula raymondi kulumensis*, *Rostricellula transversa*, особенно многочисленных в вышележащем слое . . .

16. В основании — пласт (0,20 м) крупных конкрециевидных стяжений до 0,25 м по удлиненной оси плотных известняков. В известняках — массивные брахиоподы *Mimella panna* и виды, указанные в слое 1а; большое количество остракод *Parajonesites notabilis*, *Euprimilia helena*, *Costoprimites textilis* и конодонтов *Drepanodiscacodus victrix*, *Stereococonus bicostatus*, *Scandodus sp.*, *Cyrtioniodus sp.*, *Periodon cl. sibiricus*, *Prioniodus gratus*, *Pygodus sp.*, *Ambalodus mitratus*.

Выше развиты преимущественно аргиллиты (аналогичные слою 1а), ритмично переслаивающиеся с известняками. Насчитывается до 8 тонких прослоев (0,02—0,05 м) известняков, разделенных прослойями аргиллитов, мощность которых обычно 0,2—0,3 м. Только нижний из них достигает мощности 1,7 м, а верхний — 0,7 м. Состав брахиопод и остракод в верхней части не меняется. Конодонты представлены видами: *Drepanodiscacodus victrix*, *Panderodus compressus*, *P. gracilis*, *Belodina alabamensis*, *Belodina cf. compressa*, *Culumbodina cl. mangazeica*, *Cyrtioniodus complicatus*, *Prioniodus gratus*. Встречается много мелких обломков мшанок и гастропод.

1в. В основании пласт конкрециевидных стяжений, выше — аргиллиты с редкими прослойями известняков. Эта часть разреза трудно доступна для отбора образцов, так как обнажена в отвесной стенке . . .

1г. Аргиллиты темно-серые, листоватые, иногда известковистые в переслаивании с серыми мергелями. На отдельных уровнях наблюдаются редкие тонкие прослои (0,02—0,05 м) глинистых известняков. В средней части прослеживаются крупные караваевобразные стяжения известняков. В известняках встречаются трилобиты, многочисленные остракоды, брахиоподы *Rostricellula transversa*, конодонты *Drepanodiscacodus victrix*, *Drepanoistodus suberectus*, *Panderodus spp.*, *Scandodus (?) sibiricus*, *Belodina compressa*, *B. alabamensis*, *Phragmodus inflexus*, *Ph. tunguskaensis*, *Ozarkodina culumbensis*, *Oulodus sp.*, *Ambalodus mitratus*.

Мощность, м
1,50
5,00
4,80
5,70

Далее обнажается тряпка, после которого маломощные выходы осадочных пород изменены и здесь не описываются.

Анализ фактических данных позволяет сделать следующие выводы.

В настоящее время в среднем ордовике Сибирской платформы отчетливо выделяются четыре региональных стратиграфических подразделения: волгинский, киренско-кудринский, чертовской и баксанский горизонты.

Объем волгинского горизонта в данное время практически всеми исследователями понимается однозначно. Стратотип его удовлетворяет всем необходимым требованиям: имеет нижнюю и верхнюю границы, полностью обнажен, хорошо охарактеризован комплексами разнообразной фауны, которые прослеживаются на Сибирской платформе во всех структурно-фацальных зонах. Подошва волгинского горизонта является хорошим корреляционным уровнем, прослеживаемым, кроме Сибирской платформы, и в различных районах Северо-Востока СССР.

Киренский горизонт по комплексу фаунистических остатков не удается отделить от кудринского в стратотипических обнажениях. Изучение микрофаунистических остатков показало, что в кудринском горизонте остракоды и конодонты представлены, в основном, резко обединенными комплексами видов, переходящих сюда из киренского горизонта. Ни в одном из разрезов Сибирской платформы не выявлено самостоятельного фаунистического комплекса, который мог бы отвечать кудринскому горизонту. Вероятно, киренский и кудринский «горизонты» должны рассматриваться как единое целое в ранге горизонта. В целях сохранения стабильности устоявшейся стратиграфической номенклатуры этому горизонту целесообразно присвоить название «киренско-кудринский».

Чертовской горизонт, с учетом предлагающегося здесь уточнения объема стратотипа баксанского горизонта на р. Подкаменной Тунгуске, получает теперь более строгую фаунистическую характеристику. Он легко опознается в пределах Сибирской платформы по брахиоподам *Mimella panna*, остракодам зонального комплекса *Bodenia aspera*, многочисленным конодонтам, в том числе *Polyplacognathus sweeti* — характерному виду конодонтовой зоны *Pygodus anserinus*. По первому появлению этих комплексов и должна проводиться нижняя граница чертовского горизонта. Эта граница, как и подошва волгинского горизонта, имеет большое корреляционное значение: она хорошо прослеживается по всему Северо-Востоку СССР и может быть сопоставлена с основанием горизонта кукрузе Эстонии и слоев *Ludibundus* Швеции.

Баксанский горизонт также хорошо опознается по специальному комплексу фауны по всей Сибирской платформе, хотя его нижняя и верхняя границы нуждаются в дальнейшем уточнении. В частности, в стратотипическом обнажении баксанского горизонта на р. Подкаменной Тунгуске может быть предложено два варианта этой границы. Один — в основании слоя 11, по появлению зонального комплекса остракод *Parajonesites notabilis*, другой — в кровле этого слоя, по полному исчезновению брахиопод *Mimella panna* и чертовских видов конодонтов. Эти же два варианта границы представлены в обнажении на руч. Загорном (бассейн р. Кулюмбэ), которое предлагается в качестве гипостратотипического для этих подразделений. Вероятно, вопрос об окончательном выборе границы можно решить после полного изучения всех групп фауны.

В связи с тем, что все четыре горизонта четко прослеживаются на платформе и могут служить корреляционной основой для геологического картирования в любой структурно-фацальной зоне, представляется излишним дальнейшее употребление криволуцкого и мангазейского «ярусов» как подразделений региональной шкалы.

## ОПИСАНИЕ ФАУНЫ

## ТИП BRACHIOPODA

## КЛАСС ARTICULATA

## ОТРЯД ORTHIDA

## СЕМЕЙСТВО DOLERORTHIDAE ОРИК, 1934

## ПОДСЕМЕЙСТВО HESPERORTHINAE SCHUCHERT ET COOPER, 1931

Род *Hesperorthis* Schuchert et Cooper, 1931*Hesperorthis insuetus* Yadrenkina, sp. nov.

Табл. I, фиг. 1—6

*Insuetus* (лат.) — необычный.

Голотип: № 709/6, брюшная створка; колл. СНИИГиМС; правый берег р. Лены, в 1 км ниже дер. Половники, обн. ВК-7416, слой 5с; киренский горизонт, криволуцкая свита.

Материал. 34 брюшных и 19 спинных створок удовлетворительной сохранности.

Описание. Раковина небольшая (длиной до 8 мм и шириной до 10 мм) округленно-квадратная, плоско-выпуклая. Замочный край короче наибольшей ширины раковины. Замочные углы округленные.

Брюшная створка от умеренно выпуклой до слабовыпуклой с килеватой довольно круто опускающейся выпуклостью вдоль средней части. Макушка маленькая, заостренная, загнутая.

Спинная створка плоская или очень слабовыпуклая. Синус мелкий, начинается непосредственно от макушки и к переднему краю значительно расширяется. Макушка маленькая, слабо выдается на замочном крае.

В брюшной створке развиты тонкие длинные зубные пластины, мускульное поле округленно-треугольного или сердцевидного очертания. Узкие ланцетовидные отпечатки аддукторов окружены серповидными или треугольными отпечатками дидукторов.

В спинной створке имеются короткие брахиофоры. Нототиальная платформа наклонена назад. Передняя часть её приподнята, утолщена и постепенно переходит в широкий срединный валик. Замочный отросток тонкий, длинный. Поверхность раковины покрыта тесно расположенным, тонкими, угловатыми и сильно дихотомирующими ребрами. Расщепление ребер происходит на различном расстоянии от макушки. В случае хорошей сохранности на ребрах и в промежутках между ними видны тонкие концентрические линии нарастания.

## Размеры, мм

№ экземпляра	д	ш	д/ш
Брюшные створки			
709/1	6,8	8,0	0,85
709/6	5,0	6,0	0,83
Спинные створки			
709/8	7,8	8,2	0,93
709/3	7,6	9,1	0,84

Изменчивость. Индивидуальная изменчивость проявляется в различной выпуклости брюшных створок (с возрастом увеличивается); у одних особей они несколько уплощенные и килеватость вдоль средней части створок резко выражена, у других — более выпуклые и килеватость небольшая.

Сравнение. По наличию килеватости вдоль средней части брюшной створки и внутреннему строению установленный вид

наибольшее сходство обнаруживает с видом *Hesperorthis ignicula* (Raymond), отличаясь от него округленно-квадратными очертаниями раковины, тонкой ребристостью и дихотомией всех ребер.

Местонахождение. Р. Лена; обн. ВК-7416, слой 5с; обн. ВК-7416а, слой 1 ж. е.

## ПОДСЕМЕЙСТВО EVENKINAE WILLIAMS, 1965

Род *Evenkinorthis* Yadrenkina, gen. nov.

Название рода дано по сходству с родами *Evenkina* Andreeva и *Hesperorthis* Schuchert et Cooper.

Типовой вид — *Evenkinorthis dualis* Yadrenkina, sp. nov., табл. I, фиг. 7—15. Средний ордовик, волгинский горизонт, Сибирская платформа.

Диагноз. Раковина маленькая, плоско-выпуклая, тонкоребристая, с округленными замочными углами и узкими ареями. Брюшная створка умеренно выпуклая, с наибольшей выпуклостью вдоль средней части, полого опускающейся к боковым краям. Макушка маленькая, слабо загнутая. Зубы небольшие, поддерживаются низкими и короткими зубными пластинами. Мускульное поле диноритидное, пятиугольной формы, с выступающими концами отпечатков дидукторов и аддукторов и с широким валиком посередине.

Спинная створка плоская до слабовогнутой в центральной части. Синус мелкий, широкий, по направлению к переднему краю сильно расширяющийся. Нототирий широкий, открытый. Нототиальная платформа широкая, к переднему краю утолщенная, постепенно переходит в срединный валик. Брахиофоры короткие. Замочный отросток тонкий, линейный. Поверхность раковины покрыта густыми тесно расположенным, угловатыми простыми ребрами, пересеченными тонкими концентрическими линиями нарастания.

Сравнение. По характеру скульптуры и выпуклости створок устанавливаемый род обнаруживает сходство с родом *Hesperorthis* Schuchert et Cooper, отличаясь от него диноритидным мускульным полем в брюшной створке. Наличие последнего сближает данный род с родом *Evenkina* Andreeva, но отличает от него развитие угловатых простых недихотомирующих ребер.

Распространение. Сибирская платформа, р. Лена, верхние слои волгинского и нижние слои киренского горизонтов.

*Evenkinorthis dualis* Yadrenkina sp. nov.

Табл. I, фиг. 7—15

*Dualis* (лат.) — двойственный.

Голотип: № 709/7, брюшная створка, колл. СНИИГиМС; левый берег р. Лены, в 1 км ниже дер. Кривая Лука, обн. ВК-741, слой 9б; верхняя часть волгинского горизонта, криволуцкая свита.

Материал. Более 120 разрозненных створок хорошей сохранности.

Описание. Раковина маленькая (длиной до 7 мм и шириной до 11 мм), овального очертания, плоско-выпуклая. Замочный край короче наибольшей ширины раковины. Замочные углы округлые.

Брюшная створка умеренно выпуклая, с наибольшей выпуклостью вдоль средней части, полого опускающейся к боковым краям. Макушка небольшая, тупая, загнутая. Арея узкая, слабовогнутая. Дельтирий неширокий, открытый.

Спинная створка плоская до слабовогнутой в центральной части. Макушка маленькая, едва выдающаяся на замочном крае. Арея узкая,

линейная. Синус мелкий, широкий, начинается непосредственно от макушки, по направлению к переднему краю сильно расширяется. Поверхность раковины покрыта густыми тесно расположеными угловатыми простыми ребрами, пересечеными тонкими концентрическими линиями нарастания. Ребра, расположенные в средней части створок, крупнее ребер, находящихся вблизи замочных углов. Иногда в промежутках между ребрами наблюдается тонкая радиальная струйчатость.

В брюшной створке развиты небольшие зубы, поддерживаемые очень низкими зубными пластинами, простирающимися по дну створки на длину зуба. Мускульное поле динортидное, пятиугольное, с широким валиком посередине. Широкие отпечатки аджусторов вдвое короче ланцетовидных отпечатков дидукторов. В спинной створке имеются короткие брахиофоры, иототирадальная платформа широкая, к переднему краю утолщенная, постепенно переходит в короткий срединный валик. Замочный отросток линейный, тонкий.

#### Размеры, мм

№ экземпляра	д	ш	д/ш
<b>Брюшные створки</b>			
709/21	5,0	5,8	0,86
709/14	4,8	6,0	0,80
709/12	5,8	9,1	0,63
709/10	5,2	9,2	0,57
709/9	6,2	10,0	0,62
<b>Спинные створки</b>			
709/19	4,2	6,6	0,63
709/18	4,1	6,2	0,62
709/17	3,2	5,2	0,61

**Изменчивость.** Среди многочисленных скоплений раковин этого вида, образующих ракушняк, преобладают мелкие раковины овальной формы, реже более округлой, у которых отношение  $D/W = 0,80 - 0,86$ . С возрастом увеличивается выпуклость брюшной створки и вытянутость раковины в ширину.

**Замечание.** По характеру скульптуры и выпуклости створок описанный вид очень сходен с видом *Hesperorthis ignicula* (Raymond), с которым встречается вместе, отличаясь от него деталями внутреннего строения — динортидным мускульным полем брюшной створки и наличием простых недихотомирующих ребер. По пятиугольной форме мускульного поля брюшной створки устанавливаемый вид очень близок с *Euenkina anabarensis* Andreeva, отличаясь от него наличием простых недихотомирующих ребер.

**Сравнение.** Единственный вид установленного рода.

**Местонахождение.** Р. Лена: обн. BK-741, слой 9б; обн. BK-7416, слой 5с.

### ОТРЯД RHYNCHONELLIDA

#### НАДСЕМЕЙСТВО RHYNCHONELACEA GRAY, 1848

#### СЕМЕЙСТВО RHYNCHOTREMATIDAE SCHUCHERT, 1913

#### ПОДСЕМЕЙСТВО ROSTRICELLULINAE ROZMAN, 1969.

#### Род *Rostricellula* Urlich et Cooper, 1942

*Rostricellula lenaensis alia* Yadrenkina, subsp. nov.

Табл. III, фиг. 12—19

*Alia* (лат.) — другая.

Голотип: № 709/66, целая раковина, колл. СНИИГГиМС; руч. Загорный, в 3 км выше устья, обн. BK-7218, слой 2в; киренский горизонт, амарканская свита.

**Материал.** 123 целых раковины, 220 брюшных и 237 спинных створок хорошей сохранности.

**Описание.** Раковина небольшая (до 11 мм в длину и 13 мм в ширину), от слабо поперечно-вытянутой до удлиненной ( $D/W = 0,84 - 1,15$ ), округленно-пятиугольных очертаний, неравнодвояковыпуклая. Замочный край короткий, равен  $1/2$  ширины раковины, слабо изогнутый; замочные углы округленные. Примакушечные лунки развиты. Передний край округленный или дугообразно изогнут в сторону спинной створки.

Брюшная створка умеренно выпуклая, с умеренно загнутой заостренной маленькой макушкой, нависающей над замочным краем и очень часто обломанной. Синус становится заметным у средины створки, к переднему краю расширяется и оканчивается невысоким (не более 3 мм высотой) дугообразным или трапециевидным язычком. Синус мелкий, плоский, хорошо ограничен только в передней трети створки. Бока створки равномерно спускаются к боковым краям. Спинная створка более выпуклая, с наибольшей выпуклостью в средней части. Макушка маленькая, слабо выдается на замочном крае и скрыта под макушкой брюшной створки. Возвышение низкое, плоское возникает у середины створки или в передней трети.

Поверхность раковины покрыта многочисленными округленно-треугольными, тесно расположеными ребрами (до 34). Центральное ребро в синусе у многих экземпляров более крупное и иногда дихотомирует, в некоторых случаях наблюдается расщепление одного из боковых ребер в синусе, которым соответствует вклинивание центрального и боковых ребер на возвышении. У некоторых раковин рядом с центральным ребром в синусе вклинивается дополнительное ребро, чему соответствует расщепление одного из ребер на возвышении. На боковых поверхностях также наблюдается дихотомия и вклинивание дополнительных ребер. У переднего края в синусе развито от 6 до 11 ребер, на возвышении 8—10, по бокам 8—14. В синусе и на возвышении хорошо развиты париетальные ребра. Число их изменяется от 1 до 3. Микроскульптура бугорчато концентрически-линейная (табл. III, фиг. 18). Внутреннее строение прослежено на последовательных прислифовках и отвечает роду *Rostricellula* (табл. III, фиг. 19).

#### Размеры, мм

№ экземпляра	д	ш	т	д/ш
<b>Целые раковины</b>				
709/61	5,5	4,8	2,6	1,15
709/62	6,2?	6,2	3,5	1,0?
709/63	6,6?	7,3	3,9	0,9?
709/64	8,4	9,0	4,8	0,92
709/65	9,6	9,7	5,7	0,98
709/66	10,2	12,1	7,0	0,84

**Изменчивость.** Возрастные изменения обычные для ринхонеллид: с возрастом увеличивается выпуклость створок, обособляются синус и седло, язычок становится более высоким, раковина более вытянутой в ширину. Индивидуальная изменчивость проявляется в основном в непостоянстве плана образования срединных ребер: наблюдается неравномерное расщепление и вклинивание центрального и других ребер в синусе и на возвышении, в связи с чем число ребер в синусе изменяется от 6 до 11; на возвышении 8—10. Непостоянной является дихотомия отдельных боковых ребер, благодаря которой число их изменяется от 9 до 14 с каждого бока.

У большинства экземпляров центральное ребро в синусе более крупное и этим выделяется среди остальных. Часто отмечается асимметричность в его расположении, которая проявляется в разном числе париетальных и боковых ребер в синусе и возвышении по обеим

сторонам от центрального ребра. Вместе с тем формы из разреза на р. Кулюмбэ обладают более груборебристой раковиной (число ребер по бокам 8—9, в синусе обычно 8, на возвышении 7—9), чем по руч. Загорному (число ребер по бокам 10—14, в синусе чаще 9—10, на возвышении — 9).

**Сравнение.** По развитию многочисленных тесно расположенных ребер, обособленности центрального ребра в синусе, степени выраженности синуса и возвышения описываемые формы наиболее близки к *Rostricellula lenensis* (Nikiforova) из киренского горизонта р. Лены, отличаясь меньшими размерами раковин, меньшим числом ребер (в синусе 6—11 против 12—13, на возвышении 8—10 против 10—11) и образованием дополнительных ребер путем дихотомии и интеркаляции. По характеру скульптуры — наличию многочисленных тонких ребер на поверхности раковины, дихотомии и интеркаляции средних ребер в синусе и на возвышении — рассматриваемые формы близки к *Rostricellula tenuicostata* (Rozman) (Розман, 1969, с. 106, табл. VI, фиг. 6, 7, 11) из бурского горизонта Сибирской платформы, отличаясь от них меньшим числом боковых ребер, обособлением центрального ребра в синусе, меньшей выпуклостью раковины в ширину.

**Местонахождение.** Р. Кулюмбэ: обн. Т-722, слой 14. Руч. Загорный: обн. ВК-7218, слой 2в.

#### *Rostricellula raymondi veta* Yadrenkina, subsp. nov.

Табл. IV, фиг. 1—15

*Veta* (лат.) — древняя.

**Голотип:** № 709/69, целая раковина, колл. СНИИГГиМС; левый берег р. Кулюмбэ, в 2,5 км ниже Силурийского порога, обн. Т-722, слой 14; киренский горизонт, амарканская свита.

**Материал.** 22 целых раковины, 15 брюшных и 7 спинных створок удовлетворительной сохранности.

**Описание.** Раковина маленькая (до 9 мм в длину и 10 мм в ширину), слабо поперечно вытянутая ( $D/W=0,80-1,0$ ) округленно-треугольного или округленно-пятиугольного очертания, почти равнодвояковыпуклая. Замочный край короткий, равен  $1/3$  ширины раковины, слабо изогнутый, замочные углы округленные. Примакушечные лунки небольшие. Передний край округленный или слабо изогнут в сторону спинной створки.

Брюшная створка умеренно выпуклая, с наибольшей выпуклостью в примакушечной части. Макушка маленькая, заостренная, загнутая, нависающая под замочным краем. Синус обособляется с передней половиной створки, неглубокий, оканчивается дугообразным низким язычком (высота его 1—2 мм). Спинная створка умеренно выпуклая, с наибольшей выпуклостью в примакушечной части. Макушка маленькая, плотно прижатая к замочному краю и скрыта под макушкой брюшной створки. Возвышение пологое, низкое, становится заметным с серединой створки.

Поверхность раковины покрыта немногочисленными широкими угловатыми ребрами: в синусе обычно 3 ребра, реже 4—5, на возвышении — 4, реже 5—6, по бокам 6—9. В синусе у большинства экземпляров хорошо выделяется срединное ребро, оно более крупное и резкое. На возвышении ему соответствует глубокая, заметно расширяющаяся к лобному краю ложбинка, по бокам которой располагается пара более высоких резких ребер. Микроскульптура бугорчато концентрически-линейная. На раковинах с хорошо сохранившимся поверхностным слоем в межреберных промежутках и на ребрах видна тонкая радиальная струйчатость (табл. IV, фиг. 14). Внутреннее строение

прослежено на последовательных пришлифовках и отвечает роду *Rostricellula* (табл. IV, фиг. 15).

Размеры, мм № экземпляра	D	T	W	D/W
<b>Целые раковины</b>				
709/75	5,2	4,8	2,5	1,02
709/70	5,1	5,6	2,7	0,91
709/71	6,0?	6,3	2,9	0,95
709/69	6,2	6,3	4,0	0,98
709/73	6,1?	7,8	3,6	0,80?
709/74	7,8	8,6	4,1	0,90
709/72	6,1	6,5	3,4	0,92

**Изменчивость.** С возрастом увеличивается выпуклость створок, раковина становится более поперечно вытянутой, развиваются синус и возвышение, выделяются центральные ребра в синусе и на возвышении. Индивидуальная изменчивость незначительная и проявляется в наличии тонко- и груборебристых раковин.

**Сравнение.** По небольшому числу ребер в синусе и на возвышении, обособленности центрального ребра в синусе и пары центральных ребер на возвышении описываемые формы обнаруживают сходство с *Rostricellula raymondi* Cooper (Cooper, 1956, с. 647, табл. 130, фиг. 25—29, 35; табл. 132, фиг. 11—15) из свиты St. Martin в Квебеке, Граунт Пойнт (Grown Point) и Валькур (Valcour) штата Нью-Йорк, отличаясь от них меньшими размерами раковины, большим числом ребер по бокам, менее резким и мелким синусом, низким возвышением.

От близкого подвида *Rostricellula raymondi kolumbensis* из отложений чертовского горизонта р. Кулюмбэ отличается большей шириной раковины, мелким синусом и низким возвышением, большим числом ребер по бокам створок.

**Местонахождение.** Р. Кулюмбэ: обн. Т-722, слой 14.

#### *Rostricellula raymondi kolumbensis* Yadrenkina, subsp. nov.

Табл. IV, фиг. 16, 17; табл. V, фиг. 1—14

**Название подвида дано по названию р. Кулюмбэ.**

**Голотип:** № 709/93, целая раковина, колл. СНИИГГиМС; левый берег р. Кулюмбэ, в 2,5 км ниже Силурийского порога, обн. Т-722, слой 44; чертовской горизонт, загоринская свита.

**Материал.** 97 целых раковин, 186 брюшных и 164 спинных створок хорошей сохранности.

**Описание.** Раковина маленькая, почти изометрическая (длина равна ширине или немного больше ее), двояковыпуклая, с хорошо развитыми примакушечными лунками, округленно-треугольного или округленно-пятиугольного очертания. Брюшная створка умеренно выпуклая, с наибольшей выпуклостью в примакушечной части. Макушка маленькая, заостренная, загнутая, перфорированная. Неглубокий синус обособляется со средины створки и оканчивается дугообразным или трапециевидным невысоким язычком (2 мм высотой).

Спинная створка более выпуклая, чем брюшная. Макушка маленькая, плотно прижатая к замочному краю и часто скрыта под макушкой брюшной створки. Возвышение четко обособлено со средины створки, невысокое и плоское. Поверхность раковины покрыта немногочисленными угловатыми ребрами: в синусе обычно 3 ребра, реже 4, на возвышении 4, реже 5, по бокам 5—7. В синусе хорошо выделяется срединное ребро, оно более крупное и резкое. На возвышении ему соответствует глубокая, заметно расширяющаяся к лобному краю ложбинка, по бокам которой располагается пара более высоких и

угловатых резких ребер. У некоторых экземпляров наблюдается дихотомия ребер в синусе (срединного или бокового) и на возвышении. На раковинах с хорошо сохранившейся поверхностью видна тонкая бугорчато-линейная концентрическая микроскульптура. Внутреннее строение прослежено на последовательных пришлифовках и отвечает роду *Rostricellula* (табл. V, фиг. 46).

#### Размеры, мм

№ экземпляра	д	ш	т	д/ш
Целые раковины				
709/90	4.9	5.4	2.4	1.1
709/88	7.2	6.5	3.6	1.1
709/87	7.6	7.8	4.1	1.1
709/92	8.0?	8.4	4.8	1.0?
709/93 (голотип)	9.5	9.9	6.9	0.95
709/85	7.8	7.9	4.4	1.0
709/94	9.3	10.9	6.2	0.85

**Изменчивость.** Изменения обычные для ринхонеллид: с возрастом увеличивается выпуклость створок, обособляются синус и возвышение, более резко выделяются срединные ребра, изменяется очертание раковины от удлиненно-треугольного до округленно-треугольного. Индивидуальная изменчивость проявляется в незначительном изменении очертаний раковины: у большинства особей  $D/W=1$  или немного  $<1$ , вместе с тем имеются формы, у которых  $D/W$  немного  $>1$ ; изменении формы язычка от дугообразного до округленно-трапециевидного; увеличении количества срединных ребер в синусе и на возвышении путем расщепления одного из них.

**Сравнение.** По слабой выпуклости створок, распределению ребер в синусе и на возвышении (пара срединных ребер более выпуклая и крупная), резкому обособлению синуса и возвышения рассматриваемые формы наиболее близки к североамериканскому виду *Rostricellula raymondi* Cooper (Соур, 1956, с. 647, табл. 130, фиг. 25—29, 35; табл. 132, фиг. 11—15) из свиты St. Martin в Квебеке, Граунт Пойнт (Grown Point) и Валькур (Valcour) штата Нью-Йорк. Сибирские формы отличаются меньшими размерами раковин, вытянутостью последних в длину, обособлением в синусе крупного срединного ребра и намечающейся дихотомией его. На этом основании они выделены в новый подвид — *R. raymondi kulumensis*. От близкого подвида *Rostricellula raymondi nana* Rozman (Розман, 1964, с. 185, табл. XXII, фиг. 4—9, рис. 33) из калычанской свиты Селеняхского кряжа и нижних слоев водопадненской свиты хр. Сеттэ-Дабай устанавливающий подвид отличается более грубой ребристостью (по бокам обычно 5—6 ребер, редко 7 против 7—8 у *R. raymondi nana*) и обособленностью срединного ребра в синусе.

**Местонахождение.** Р. Кулюмбэ: обн. Т-722, слой 44. Руч. Загорный: обн. ВК-7218, слой 8а, б; обн. ВК-7219, слой 1а, б.

#### ОТРЯД CONODONTOPHORIDA EICHENBERG

##### Род *Ambalodus* Branson et Mehl

###### *Ambalodus (?) insolens* Moskalenko sp. nov.

Табл. XI, фиг. 1, 2

*Insolens* (лат.) — необыкновенный, непривычный.

Голотип. № 737/1, колл. ИГиГ; левый берег р. Лены, 2 км ниже дер. Кудрино, обн. ВК-748, слой 1д; чертовской горизонт (стратотип).

#### Материал. 31 экземпляр.

**Описание.** Конодонты высокие, скатые с боков, напоминают листовидные формы; с большим смещенным и наклоненным назад главным зубцом и неодинаково развитыми отростками. Передний отросток обычно длинный и высокий, задний короткий и низкий, иногда атрофирован. У некоторых экземпляров слабо выражены оба отростка. Зубец всегда отчетливо выделяется; его задний край почти прямой и образует с верхним краем заднего отростка прямой или тупой угол, передний край постепенно переходит в верхний край переднего отростка, образуя с ним непрерывную линию. На заднем отростке иногда имеется 2—4 сильно слившихся зубчика, но чаще они не видны. На переднем отростке насчитывается до 10 зубчиков, также слившихся, но иногда приобретающих вид бугорков, расположенных не всегда в одной плоскости, а образующих боковые выступы. Боковой отросток короткий, иногда слабо заметен, зубчики не различимы. На противоположной стороне ему обычно соответствует небольшое расширение основания. Стенки основания толстые. Базальная полость неглубокая.

**Изменчивость.** Наблюдаются значительная вариабельность в строении отростков. У одних экземпляров они слабо выражены и хорошо развит лишь зубец; у других имеется высокий передний отросток, но атрофирован задний; у третьих появляется, хотя короткий и низкий, также задний отросток. В зависимости от степени развития отростков меняются количество и строение зубчиков на них. У наиболее крупных экземпляров появляется короткий боковой отросток.

**Сравнение.** Описанные экземпляры, в отличие от типичных *Ambalodus*, имеют внешний вид листовидных конодонтов: передний и задний отростки находятся в одной плоскости, боковой отросток слабо развит. Они очень своеобразны и хорошо отличаются от известных видов *Ambalodus*, поэтому существует определенная условность в отношении их к данному роду.

**Местонахождение.** Р. Лена: обн. ВК-748, слой 1в, 1д, 1и; Р. Подкаменная Тунгуска: обн. К-731, слой 9б. Р. Кулюмбэ: обн. ВК-722, слой 44в.

#### Род *Amorphognathus* Branson et Mehl

###### *Amorphognathus cf. inaequalis* Rhodes

Табл. VIII, фиг. 14, 15

**Описание.** Конодонты высокие в центре, с 4 отчетливыми отростками и хорошо развитым главным зубцом, расположенным в наиболее приподнятой части. Задний отросток самый длинный, прямой или слегка изогнутый на дистальном конце, с гребнем из сильно слившихся зубчиков, количество которых достигает 10. Передний отросток в различной степени отклонен от оси на внутреннюю сторону и образует с задним тупой угол. Он несет 4—5 значительно слившихся зубчиков. С наружной стороны к главному зубцу примыкают 2 более или, менее, равных боковых отростка, из которых переднебоковой ориентирован в сторону и слегка вперед, а заднебоковой — в сторону и назад. На этих отростках зубчики также сильно слившиеся и не всегда отчетливо видны. На заднебоковом отростке иногда наблюдается увеличение размера зубчиков к его дистальному концу. У других экземпляров снаружи развит лишь переднебоковой отросток, но появляются один или пара внутренних боковых отростков иногда с хорошо, чаще со слабо оформленными зубчиками. Эти отростки примыкают не к главному зубцу, а к ближайшим позади него зубчикам. Обычно

сохраняется характерная X-образная форма конодонта. Главный зубец большой, прямой или слегка наклонен назад, округленный. Базальная полость широкая, наиболее углубленная под зубцом.

**Замечания.** Вместе с аморфогнатондными элементами, охарактеризованными выше, встречаены амбалодусовидные, описание которых здесь не приводится. Не исключено, что те и другие являются составными частями одного вида.

**Сравнение.** Из известных ордовикских аморфогнатусов описанные экземпляры наиболее близки к *Amorphognathus inaequalis Rhodes*. Родом (Rhodes, 1953, с. 283—284, табл. 22, фиг. 204) описан единственный экземпляр, который, судя по изображению, имеет характерное X-образное расположение отростков. Более представительный материал приведен М. Линдстрёмом (Lindström и др., 1974, с. 16—17, табл. I, фиг. 8—11; табл. 2, фиг. 1). У изображенных им экземпляров также хорошо выражена указанная особенность в расположении отростков; наблюдается и изгиб переднего отростка. По сравнению с ними у сибирских форм зубец гораздо крупнее, а количество зубчиков на отростках несколько меньше. Имеются некоторые особенности в развитии боковых отростков. Для окончательного решения вопроса о принадлежности описанных конодонтов к виду *A. inaequalis* необходимо определить степень изменчивости отдельных признаков внутри этого вида.

**Распространение.** Вид *Amorphognathus inaequalis* впервые был установлен в известняках Лландейло в Уэллсе, позднее его находки отмечались в среднеордовикских отложениях (свита Postolonnec) Армориканского Массива Франции. На Сибирской платформе близкие к нему аморфогнатусы найдены в киренско-кудринских отложениях.

**Местонахождение.** Р. Лена: обн. BK-741, слой 12ж, 13а, 13к; обн. BK-747, слой 1л. Р. Подкаменная Тунгуска: обн. K-731, слой 7е. Р. Кулюмбэ: обн. T-722, слой 12б. Руч. Загорный: обн. BK-7218, слой 5б.

#### *Amorphognathus quinquiradiatus Moskalenko, sp. nov.*

Табл. XI, фиг. 3, 4

*Quinquiradiatus* (лат.) — пятилучевой.

**Голотип:** № 537/8, колл. ИГиГ; левый берег р. Лены, 2 км ниже дер. Кудрино; обн. BK-748, слой 1и; чертовской горизонт (стратотип).

**Материал.** 10 экземпляров различной сохранности.

**Описание.** Конодонты с 5 хорошо оформленными отростками и отчетливым главным зубцом. Длинный задний отросток и более короткий передний находятся на одной линии, иногда обнаруживают легкие изгибы вбок. С одной стороны имеется два отростка, примыкающих к главному зубцу, с другой — один отросток, примыкающий к первому зубчику позади главного зубца. Боковые отростки расположены по отношению друг к другу и заднему отростку примерно под равными острыми углами и обычно ориентированы в стороны и назад. Вперед направлен только передний отросток. Все отростки с хорошо развитыми, но значительно слившимися зубчиками. На переднем отростке расположены наиболее высокие зубчики в количестве 4—5; задний отросток насчитывает до 9—10, боковые — до 5—7 зубчиков. Главный зубец прямой или слегка наклонен вперед, хорошо выделяется среди остальных более значительными толщиной и длиной. Базальная полость широкая и глубокая.

**Сравнение.** Экземпляры нового вида по строению и расположению главного зубца, по характеру зубчатости обнаруживают большое сходство с конодонтами, описанными выше под названием

*Amorphognathus cf. inaequalis Rhodes*. Их отличает от последних постоянное присутствие 5 отростков вместо 4 и характер расположения боковых отростков, которые все ориентированы в ту или иную степень назад. В отличие от других ордовикских аморфогнатусов у них нет бифуркации боковых отростков.

**Местонахождение.** Р. Лена: обн. BK-748, слой 1д, 1и. Р. Кулюмбэ, руч. Загорный: обн. BK-7218, слой 8а.

#### Род *Belodina* Ethington

##### *Belodina (?) alabamensis* Sweet et Bergström

Табл. XI, фиг. 10

*Belodina alabamensis*: Sweet, Bergström, 1962, с. 1223—1224, табл. 170, фиг. 10, 11. *Panderodus (?) alabamensis*: Ethington, Schumacher, 1969, с. 469, табл. 69, фиг. 8.

**Распространение.** Средний ордовик Северной Америки, свита Прат Ферри (Pratt Ferry) штата Алабама, свита Копенгаген (Copenhagen) Центральной Невады. Средний ордовик Сибирской платформы, баксанский горизонт.

**Местонахождение.** Р. Подкаменная Тунгуска: обн. K-733, слой 19, 22а. Р. Кулюмбэ: обн. BK-725, слой 1б, 3в, 4а. Руч. Загорный: обн. BK-7219, слой 1б, 1г.

#### Род *Bryantodina* Stauffer

##### *Bryantodina lenaica* Moskalenko

Табл. VIII, фиг. 6, 7

*Bryantodina lenaica*: Москаленко, 1973, с. 61, табл. XVI, фиг. 8—12. *Bryantodina decliva*: Москаленко, 1973, с. 60, табл. XVI, фиг. 4—7.

**Замечания.** Хотя различие в строении зубчиков у формальных видов *Bryantodina lenaica* и *B. decliva* хорошо выдерживается, они очень близки по остальным признакам и постоянно встречаются вместе. Несомненно, что это составные части единого вида. За последним сохранено название одного из составляющих его формальных видов — *Bryantodina lenaica*.

**Местонахождение.** Р. Лена: обн. BK-741, слой 11а, 11б, 11в, 12а, 12с, 12з, 12и; обн. BK-747, слой 1а. Р. Подкаменная Тунгуска: обн. K-731, слой 7е, 7ж; обн. K-733, слой 10а, 10б, 10в. Р. Кулюмбэ: обн. T-722, слой 11а, 11в, 12б.

#### Род *Chirognathus* Branson et Mehl

##### *Chirognathus* spp.

Табл. IX, фиг. 12, 13; Табл. X, фиг. 7, 8

**Замечания.** В эту группу объединены разнообразные по внешнему виду и по характеру зубчатости конодонты, отвечающие в то же время основным признакам хирогнатид: базальная сторона у них чашевидной или дланевидной формы и повернута на заднюю сторону; зубчики раздельные. Разнообразие далеко не исчерпывается изображенными на таблицах экземплярами.

**Местонахождение.** Р. Лена: обн. BK-741, слой 12у, 12ф, 13а, 13к, 13с; обн. BK-747, слой 1л; обн. BK-748, слой 1в, 1д, 1и, 1м, 2в.

Р. Подкаменная Тунгуска: обн. М-6518, слой 1. Р. Кулюмбэ: обн. Чуя, выше руч. Амуткан: обн. ВК-7218, слой 8а, 8б. обн. Т-722, слой 44в. Руч. Загорный: обн. ВК-7218, слой 22а.

### Род *Cyrtioniodus* Stauffer

#### *Cyrtioniodus complicatus* Stauffer

Табл. IX, фиг. 11

*Cyrtioniodus complicatus*: Stauffer, 1935, с. 140, табл. II, фиг. 44, 46, 48, 49, 50, 51; Ellington, 1959, с. 274, табл. 40, фиг. 7 (подробная библиография).

Распространение. Средний ордовик Северной Америки, слой Гленвуд (Glenwood), Декора (Decorah) и Галена (Calena) штата Миннесота; свита Хардинг (Harding) штата Колорадо; свита Галена штата Айова. Средний ордовик Англии, известняки Лландейло в Уэллсе. Средний ордовик Сибирской платформы, чертовской горизонт.

Местонахождение. Р. Лена: обн. ВК-748, слои 1в, 1д, 1з, 1ц, 2а, 2б. Р. Подкаменная Тунгуска: обн. К-731, слой 9б. Р. Чуя, выше руч. Амуткан: обн. М-6518, слой 1. Р. Кулюмбэ: обн. Т-722, слой 41. Руч. Загорный: обн. ВК-7218, слои 6б, 8а, 8б; обн. ВК-7219, слой 1б.

### Род *Drepanodistacodus* Moskalenko, gen. nov.

Родовое название от наименования формальных родов *Drepanodus* и *Distacodus*.

Типовой вид — *Drepanodistacodus victrix* (Moskalenko), табл. XI, фиг. 5, 6; средний ордовик, Сибирская платформа.

Диагноз. Простые симметричные или слегка несимметричные конодонты дрепанодусовидной и дистакодусовидной формы, характеризующиеся прямым высоким основанием, заостренными передним и задним краями, глубокой базальной полостью.

Сравнение. В отличие от других мультиэлементных родов, включающих простые конодонты, в составе рода *Drepanodistacodus* отсутствует оистодусовидный элемент.

#### *Drepanodistacodus victrix* (Moskalenko)

Табл. XI, фиг. 5, 6

*Distacodus victrix*: Москаленко, 1973, с. 30—31, табл. II, фиг. 1а, 6; 2; 3. *Drepanodus flagellus pseudoalatus* Klärfer: Москаленко, 1973, с. 31—32, табл. II, фиг. 5а, 6; 6 (подробная библиография).

Замечания. Конодонты формальных видов *Distacodus victrix* и *Drepanodus flagellus pseudoalatus* имеют совершенно тождественное строение за исключением одного признака — дистакодусовидные элементы несут на боковых сторонах по одному ребру, у дрепанодусовидных элементов боковые поверхности гладкие. Те и другие конодонты постоянно встречаются вместе. Эти данные дают основание считать их производными одного мультиэлементного аппарата.

Местонахождение. Р. Лена: обн. ВК-748, слои 1в, 1и, 2а, 2; обн. ВК-733, слои 15д, 17б, 17в, 18, 19, 22а, 22б. Р. Чуя, выше руч. Амуткан: обн. М-6518, слои 2, 3, 4, 5, 6, 9. Р. Кулюмбэ: обн. Т-722, слои 11в, 12б, 13б, 14, 18а, 44в; обн. ВК-723, слой 1; обн. ВК-725, слой 1г, 3а, 4а; обн. ВК-726, слои 1а, 2а; обн. ВК-727, слой 1в; обн. ВК-728, слои 1а, 2в. Руч. Загорный: обн. ВК-7218, слой 6г; обн. ВК-7219, слой 1г.

### Род *Oistodus* Pander

#### *Oistodus petaloideus* Moskalenko, sp. nov.

Табл. IX, фиг. 1

*Petaloideus* (латиниз. греч.) — лепестковидный.

Голотип: № 537/24, колл. ИГИГ, левый берег р. Лены, 2 км ниже дер. Кудрино; обн. ВК-748, слой 1и; чертовской горизонт (стратотип).

Материал. 8 экземпляров.

Описание. Небольшие полупрозрачные конодонты, сжатые с боков, с приостренными краями, с умеренно высоким основанием и длинным сильно наклоненным зубцом. Линия базального края при взгляде сбоку закругленная. Стенки основания тонкие. Линия заднего края основания прямая или чуть заметно вогнутая, линия заднего края зубца дугообразно-выпуклая. Зубец значительно вытянут назад, выступая на 1/3—1/2 своей длины за пределы основания. Он имеет очень характерную лепестковидную форму; вершина его закруглена, слегка повернута на внутреннюю сторону.

Базальная полость глубокая, вытянутая вдоль основания, узкая, при взгляде сбоку треугольного очертания; кончик ее расположен у заднего края в точке перегиба. Угол перегиба очень острый. На поверхности видны слабые ребрышки и струйки нарастания(?)

Сравнение. Рассматриваемые конодонты благодаря характерной форме зубца легко отличаются от известных видов рода *Oistodus*.

Местонахождение. Р. Лена: обн. ВК-748, слой 1и. Р. Подкаменная Тунгуска: обн. К-731, слой 9б. Р. Кулюмбэ: обн. Т-722, слой 44.

### Род *Ozarkodina* Branson et Mehl

#### *Ozarkodina kulumbensis* Moskalenko sp. nov.

Табл. XI, фиг. 14, 15

Видовое название дано по названию р. Кулюмбэ.

Голотип: № 537/26-27, колл. ИГИГ; правый берег руч. Загорного, ниже силла, обн. ВК-7219, слой 1г; баксанский горизонт, загоринская свита.

Материал. 15 экземпляров.

Описание. В составе предлагаемого вида различаются два элемента: *ozarkodiniform* и *prioniodiniform*. Первый элемент (табл. XI, фиг. 15) треугольного очертания, сильно уплощенный с боков, с почти прямой линией базального края, которая, закругляясь, переходит в линии переднего и заднего краев. Передний лист длиннее заднего, на нем 11 высоких тонких прямых слившихся зубчиков; свободны лишь заостренные вершинки их; наблюдается постепенное увеличение зубчиков к главному зубцу, хотя бывают отклонения, и один из зубчиков оказывается гораздо меньше других. Главный зубец длиннее и шире остальных, слабо наклонен назад. На заднем листе располагается до 5 прямых или слабонаклоненных назад зубчиков, отличающихся от зубчиков переднего листа большей шириной. Вдоль оснований зубчиков от переднего конца до заднего тянется небольшое валикообразное утолщение. Базальная ямка очень маленькая.

Второй элемент (табл. XI, фиг. 14) также сильно сжат с боков, с прямым задним листом и резко изогнутым вниз передним листом, с хорошо развитым зубцом. Задний лист, по-видимому, длинный (но у имеющихся экземпляров он обломан), с тонкими высокими прямыми значительно слившимися зубчиками. На переднем листе до 7 зубчиков, из которых 2—3, примыкающих к главному зубцу, гораздо

крупнее остальных. Линия базального края, в результате резкого изгиба конодонта, образует под зубцом угол, близкий к прямому. В этом месте имеется маленькая базальная ямка, от которой вдоль нижней стороны листов тянутся мелкие выемки.

**Сравнение.** Рассмотренные конодонты напоминают экземпляры из свиты Кобург (Cobourg) в штате Онтарио Северной Америки, описанные под названием *Ozarkodina* p. sp. и *Phragmodus* p. sp. А (Winder, 1966, с. 58—59, табл. 10, фиг. 24; 27). Возможно, они тождественны друг другу. По характеру зубчатости они обнаруживают сходство с *Ozarkodina flexibilis* Moskalenko (Москаленко, 1973, с. 73, табл. 16, фиг. 13, 14), но отличаются от них изогнутостью переднего листа вниз, а не вбок.

**Местонахождение.** Р. Подкаменная Тунгуска: обн. К-733, слой 18. Р. Кулюмбэ: обн. ВК-725, слой 16. Руч. Загорный: обн. ВК-7219, слой 1г.

#### Род *Periodon* Hadding

*Periodon sibiricus* Moskalenko, sp. nov.

Табл. X, фиг. 1, 2, 3, 4

**Голотип:** № 537/30—31, колл. ИГиГ; правый берег р. Чуни, 4 км выше руч. Амуткан, обн. М-6518, слой 1; чертовской горизонт.

**Материал:** 71 экземпляр различной сохранности.

**Описание.** Вид мультиэлементный, объединяющий симметричные и несимметричные сложные конодонты, которым свойственны значительная прозрачность, изоморфность слагающего их вещества, отсутствие настоящей базальной полости (базальная сторона почти плоская). Общими морфологическими признаками являются длинный стройный зубец, равномерно изгибающийся назад и заканчивающийся тонким острием, хорошо развитый задний отросток (непрочно соединенный с основанием и поэтому часто обломанный), снабженный 5—6 зубчиками, из которых средний очень большой и по размеру иногда равен главному зубцу, а остальные маленькие.

У симметричных элементов на боковых сторонах основания имеется по одному короткому отростку, каждый из них с одним невысоким зубчиком, ориентированным в том же направлении, что и главный зубец. Отростки образуют заметные выступы базального края треугольного очертания. Передняя сторона зубца пологовыпуклая, ограничена переднебоковыми тонкими ребрами, отчетливо прослеживающими от острия до оснований боковых зубчиков. Такого же типа ребро тянется вдоль задней стороны зубца от его острия до основания первого зубчика на заднем отростке.

У несимметричных элементов одна боковая сторона гладкая, иногда с пологой широкой выемкой на основании, с небольшим округленным выступом базального края. На другой стороне прослеживаются продольное ребро, занимающее переднебоковое положение, и длинный дугообразный боковой отросток, отделяющийся от середины боковой стороны основания и ориентированный сначала назад, затем вниз, а самый конец его изогнут вперед. На отростке насчитывается 3—5, чаще 4 близко сидящих невысоких зубчика.

**Сравнение.** Несимметричные конодонты по строению отвечают формам, описанным под родовым названием *Periodon* и близки по характеру зубчатости к виду *P. aculeatus* Hadding (Lindström, 1955, с. 110, табл. 22, фиг. 10, 11, 14—16, 35), отличаясь от него отсутствием антизубца и наличием длинного тонкого дугообразно-изогнутого зубчатого отростка на одной из боковых сторон основания. Симметричные элементы по наличию высокого зубца и трех зубчатых отростков отве-

чают конодонтам, рассматриваемым в составе рода *Roundya*, но сходства с каким-либо видом этого рода не отмечается.

**Местонахождение.** Р. Лена: обн. ВК-748, слой 1в, 1д, 1з, 1и, 2а, 2б. Р. Подкаменная Тунгуска: обн. К-731, слой 9б. Р. Чуни, у руч. Амуткан: обн. М-6518, слой 1. Руч. Загорный: обн. ВК-7219, слой 1б.

#### Род *Phragmodus* Branson et Mehl

*Phragmodus inflexus* Stauffer

Табл. IX, фиг. 2, 3; табл. XI, фиг. 17, 18

*Phragmodus inflexus*: Stauffer, 1935, с. 151, табл. II, фиг. 9, 15—17, 19—22, 25, 26, 34; Webers, 1966, с. 40—41, табл. 3, фиг. 8; табл. 8, фиг. 1; Sweet, Ethington, Barnes, 1971, табл. I, фиг. 15.

**Описание.** Конодонты отчетливо дугообразно-изогнутые, с хорошо развитым главным зубцом, антизубцом и зубчатым задним отростком. Характерен угловатый перегиб базального края в месте сочленения перечисленных элементов. Главный зубец длинный, в сечении округленный, иногда заметно сжат с боков, с ребром на каждой боковой стороне или на одной из них. Отросток волнообразно-изогнутый, особенно отчетливо вдоль верхнего края, на котором помещается серия неодинаковых по величине зубчиков. Позади главного зубца следуют сначала 1—3 маленьких зубчика, затем 2—3 очень крупных, широких и длинных, зубчика, не уступающих иногда по величине главному зубцу; 3—4 последующих опять небольшого размера. Между антизубцом и отростком часто развит тонкий чехлик. Базальная полость имеет форму конического углубления под главным зубцом и узких желобков на нижней стороне антизубца и отростка.

**Сравнение.** От вида *Phragmodus flexuosus* Moskalenko описанные экземпляры отличаются ясной дифференциацией зубчиков по величине. У них, как правило, 2—3 зубчика намного крупнее остальных. Характером зубчатости они отличаются и от вида *Phragmodus undatus* Branson et Mehl, у которого на отростке резко выделяется лишь один зубчик, остальные же намного меньше его.

**Замечания.** Описанные фрагмодусы нередко ассоциируются с субкордилоидными конодонтами (табл. IX, фиг. 6, 7), образуя с ними переходные серии, а также с конодонтами дихогнатоидного типа, среди которых преобладают экземпляры с признаками *Dichognathus typica* Branson et Mehl, хотя встречены и единичные *D. peculiaris* Stauffer. Все они рассматриваются Г. Веберсом (Webers, 1966) как составные части мультиэлементного вида *Phragmodus inflexus*.

**Распространение.** Средний ордовик Северной Америки, верхняя часть свиты Гленвуд (Glenwood) в штате Миннесота; средний ордовик Сибирской платформы, чертовской горизонт — нижняя часть баксанского горизонта.

**Местонахождение.** Р. Лена: обн. ВК-741, слой 13а; обн. ВК-748, слой 1в, 1д, 1и, 2а. Р. Подкаменная Тунгуска: обн. К-732, слой 1; обн. К-733, слой 15д, 16а, 22б. Р. Чуни, у руч. Амуткан: обн. М-6518, слой 2, 3. Р. Кулюмбэ: обн. Т-722, слой 18а, 44; обн. ВК-723, слой 1; обн. ВК-726, слой 1а; обн. ВК-727, слой 1в. Руч. Загорный: обн. ВК-7218, слой 8а; обн. ВК-7219, слой 1г.

#### Род *Polyplacognathus* Stauffer

*Polyplacognathus sweeti* Bergström

Табл. IX, фиг. 15, 16; табл. X, фиг. 5, 6

*Polyplacognathus* sp.: Hamar, 1966, табл. 5, фиг. 10, 11.  
*Polyplacognathus sweeti*: Bergström, 1971, с. 143—144, табл. I, фиг. 1, 2, текст. фиг. 14 С. Д.  
*Petalognathus bergstroemi*: Дрыгант, 1974, с. 54—55, табл., фиг. 1, 2.

### Материал. 23 экземпляра.

Описание. В коллекции имеются оба элемента — *polyplacognathiform ambalodiform* — этого мультиэлементного вида. Элемент *Polyplacognathus* состоит из 4 крестовидно расположенных отростков. Передний из них прямой, короткий, с узкой платформой; задний, являясь продолжением переднего, длинный, прямой, с неширокой ровной платформой. Осевой гребень прямой, с хорошо оформленными зубчиками, количество которых доходит до 15, впереди более высокими и сильнее слившимися. Главный зубец не выделяется. Переднебоковой отросток длинный и сравнительно узкий, с пережимом у своего основания (поэтому часто обломан), иногда с волнистой краевой линией; зубной ряд его состоит из 5—6 разделных зубчиков. Заднебоковой отросток широкий, ромбовидной формы; зубной ряд состоит из 3—4 изолированных и далеко отстоящих друг от друга низких, бугорковидных зубчиков. На отростках, кроме зубчатых гребней, нередко видны дополнительные скульптурные образования в виде коротких валиков и бугорков, расположенных обычно по краям платформы. Базальная полость сильно сужена и прослеживается в виде узких бороздок во всех отростках за исключением широкого заднебокового отростка, нижняя сторона которого полого вогнутая, со слабо выраженным морщинками и струйками.

У элемента *Ambalodus* (по-видимому, более подходящим будет предложение М. Дрыгантю название *Petalognathus*) передний отросток недоразвит или отсутствует, задний же очень большой и широкий, составляющий главную часть конодонта. Два боковых отростка, по одному с каждой стороны, сдвинуты вперед. Один из них обычно длиннее другого, направлен в сторону и слегка вперед, другой отклонен вперед гораздо заметнее. Верхняя поверхность конодонта имеет сложное строение. Осевой гребень очень короткий впереди боковых отростков, всего с 2—3 зубчиками, основная же часть с 7—8 хорошо развитыми зубчиками находится на заднем отростке. Наиболее крупные зубчики расположены в средней части заднего отростка, затем размеры их уменьшаются, и они исчезают, не достигая заднего конца. Отчетливо выражены зубчатые гребни с 3—4 зубчиками на боковых отростках. Они подходят к осевому гребню, но не сливаются с ним. Кроме основных зубчатых гребней на верхней поверхности имеется множество бугорков, которые нередко сливаются в короткие поперечные ребрышки. На нижней поверхности узкие борозды, ограниченные кильми, заметны на боковых отростках, иногда в виде короткого ответвления в переднем отростке. Нижняя поверхность заднего отростка полого вогнутая, с тонкой струйчатостью.

Распространение. Средний ордовик, зона *Rugodus anserinus* Западной Европы, Северной Америки, европейской части СССР (Волынь), Сибирской платформы.

Местонахождение. Р. Лена: обн. ВК-748, слой 1д. Р. Подкаменная Тунгуска: обн. К-731, слой 9б. Р. Чуня, у руч. Амуткан: обн. М-6518, слой 1. Р. Кулюмбэ: обн. Т-722, слой 44. Руч. Загорный: обн. ВК-7218, слой 8а.

### Род *Prioniodus* Pander

*Prioniodus gratus* Moskalenko, sp. nov.

Табл. IX, фиг. 9, 10

*Gratus* (лат.) — приятный.

Голотип: № 537/43, колл. ИГИГ; левый берег р. Лены, 2 км ниже дер. Кудрино; обн. ВК-748, слой 2а; чертовской горизонт (стратотип).

### Материал. 60 экземпляров.

Описание. Конодонты с высоким стройным зубцом и несимметрично расположеными по отношению к нему неодинаковыми зубчатыми отростками. Передний отросток короткий, повернут вбок, образуя с основанием тупой угол. Расположенные на нем 2 зубчика резко различны по величине: первый от главного зубца обычно намного длиннее конечного, иногда он почти равен главному зубцу, у некоторых экземпляров развит лишь он один. Задний и боковой отростки тонкие, стержневидные, поэтому часто обломаны. Задний отросток довольно длинный, ориентирован назад и слегка вбок. На нем насчитывается до 5 (чаще меньше) небольших зубчиков. Боковой отросток направлен назад и резко вниз от основания и снабжен хорошо развитыми, иногда довольно длинными изолированными или близко сидящими зубчиками, количество которых доходит до 7. Передний и боковой отростки, соединяясь обычно друг с другом у переднего края, находятся почти в одной плоскости, которая косо пересекается с плоскостью, проходящей через зубец и задний отросток; создается впечатление, что зубец и задний отросток скошены вбок.

Зубец сжат с боков, умеренно наклонен назад, передний и задний края его приострены. Под зубцом небольшое углубление, нижняя поверхность отростков плоская.

Сравнение. У изученных конодонтов развиты три зубчатых отростка, несимметрично ориентированных относительно зубца. Это отличает их от типичных трихоноделл и приближает к прионидусам. С своеобразное положение и ориентировка отростков относительно друг друга и главного зубца выделяет их среди других видов *Prioniodus*. Они напоминают *Trichonodella* (?) *prominens* Moskalenko, но отличаются присутствием зубчатого заднего отростка.

Местонахождение. Р. Лена: обн. ВК-748, слой 1в, 1д, 1з, 1и, 2а, 2б, 2в. Р. Подкаменная Тунгуска: обн. К-731, слой 9б. Р. Чуня, выше руч. Амуткан: обн. М-6518, слой 1. Р. Кулюмбэ: обн. Т-722, слой 44. Руч. Загорный, обн. ВК-7218, слой 8б; обн. ВК-7219, слой 1б.

### Род *Ptiloconus* Sweet

*Ptiloconus anomalis* (Moskalenko)

Табл. VIII, фиг. 1, 2, 3

*Cordylodus anomalis*: Москаленко, 1970, с. 58—59, табл. VII, фиг. 1; 2а, б; 3.

*Cordylodus primus sibiricus*: Москаленко, 1970, с. 60, табл. VII, фиг. 4, 5; Москаленко, 1973, табл. IV, фиг. 13.

*Multicornis apomorphus*: Москаленко, 1970, с. 74, табл. VI, фиг. 1, 2; Москаленко, 1973, с. 35, табл. IV, фиг. 12.

*Multicornis bidentatus*: Москаленко, 1970, с. 75, табл. VI, фиг. 3.

*Cordylodus* (?) *anomalis*: Москаленко, 1973, с. 63, табл. IV, фиг. 14.

*Ptiloconus anomalis*: Москаленко, 1972, с. 50, фиг. 2.

Замечания. Очень устойчивая ассоциация конодонтов, описанная ранее как ряд формальных видов. Их объединяет наличие общих признаков во внутреннем строении и особенностях морфологии. Различия между ними наблюдаются главным образом в строении базальной части — в характере линии базального края, в ориентировке и положении дополнительных зубчиков (более подробно см. Moskalenko, 1972).

По характеру зубчатости, особенно по наличию зубчиков на переднем крае или вблизи него, рассмотренные конодонты отвечают роду *Ptiloconus*. Мультиэлементный вид, в который они объединены, получил свое название по наиболее многочисленному компоненту в его составе. 1

**Распространение.** Средний ордовик Сибирской платформы, киренский — чертовской горизонт.

**Местонахождение.** Р. Лена: обн. ВК-741, слои 11а, 11б, 11в, 11г, 11ж, 12а, 12б, 12е, 12ж, 12з, 12и, 12л, 12м, 12п, 12т, 12у, 12ф, 13а, 13в, 13е, 13к, 13п, 13р, 13с; обн. ВК-747, слои 1а, 1г, 1е, 1ж, 1и, 1л, 2г, 2д, 3б, 3в, 3г, 4т; обн. ВК-748, слои 1д, 1и, 1м, 2а, 2в. Р. Подкаменная Тунгуска: обн. К-731, слои 7е, 7ж; обн. К-733, слои 10а, 10б, 10в. Р. Куломбэ: обн. Т-722, слои 11а, 11в, 12б, 13б, 24б, 44. Руч. Загорный: обн. ВК-7218, слои 5б, 5г, 6б, 7ж, 8а.

### Род *Trichonodella* Branson et Mehl

*Trichonodella (?) prominens* Moskalenko

Табл. VIII, фиг. 4, 5

*Trichonodella prominens*: Москаленко, 1973, с. 83, табл. XIV, фиг. 6—9.

*Trichonodella (?) sp.*: Москаленко, 1973, с. 84—85, табл. XIV, фиг. 1—5.

**Замечания.** Конодонты, объединяемые под этим видовым названием, характеризуются очень высоким зубцом, сжатым с боков, и отчетливыми боковыми отростками с немногочисленными (2—4) зубчиками на них. По способу прикрепления отростков к основанию различают два типа включенных сюда конодонтов: у одних они отходят от середины боковых сторон основания, у других — от его передней части. Последние характеризуются большей несимметричностью за счет различно ориентированных по отношению к зубцу отростков:

**Распространение.** Средний ордовик Сибирской платформы, киренский — чертовской горизонты.

**Местонахождение.** Р. Лена: обн. ВК-741, слои 12б, 12д, 12е, 12ж, 12з, 12и, 12л, 12т, 12у, 12ф, 13к, 13с; обн. ВК-747, слои 1а, 1г, 1е, 1и, 1л, 2д, 3б, 3в; обн. ВК-748, слои 1в, 1д, 1и, 2а. Р. Подкаменная Тунгуска: обн. К-731, слои 7е, 7ж; обн. К-733, слои 10а, 10б, 10в. Р. Куломбэ: обн. Т-722, слои 11а, 12б, 18а, 44. Руч. Загорный: обн. ВК-7218, слои 3г, 5б, 8а.

### ЛИТЕРАТУРА

Абамова Г. П., Каныгин А. В. Разрез на р. Лене у дер. Половника (парастратотип криволуцкого горизонта). — В кн.: Стратиграфия Сибирской платформы. Новосибирск, «Наука», 1975, с. 209—220.

Андреева О. Н. Стратиграфия ордовикских отложений р. Лены и р. Ильма. — В кн.: Материалы по геологии Сибирской платформы. М., Госгеолтехиздат, 1955, с. 107—128. (Материалы ВСЕГЕИ, нов. сер., общ. сер., вып. 7).

Андреева О. Н. Стратиграфия ордоваика Ангаро-Окинского района. — В кн.: Материалы по геологии и полезным ископаемым Сибирской платформы. Л., 1959, с. 79—108. (Материалы ВСЕГЕИ, нов. сер., общ. сер., вып. 23).

Дрыгант Д. М. Новые среднеордовикские конодонты Северо-Западной Волыни. — «Палеонтол. сб. Львовского ун-та», 1974, вып. 1, с. 54—58.

Каныгин А. В. Остракоды ордоваика горной системы Черского. М., «Наука», 1967. 152 с.

Каныгин А. В. Остракоды и биостратиграфия ордоваика хребта Сетте-Дабан (Верхоянская горная система). М., «Наука», 1971. 106 с. (Труды Ин-та геол. и геофиз. СО АН СССР, вып. 128).

Каныгин А. В. Зональные комплексы остракод верхнего ордоваика Сибирской платформы. — В кн.: Стратиграфия ордоваика Сибирской платформы. Новосибирск, «Наука», 1975, с. 244—247.

Марков Е. П. Ордовик и рапий силур юго-запада Тунгусской синеклизы. Л., «Недра», 1970. 144 с.

Москаленко Т. А. Конодонты криволуцкого яруса (средний ордовик) Сибирской платформы. М., «Наука», 1970. 116 с. (Труды Ин-та геол. и геофиз. СО АН СССР, вып. 61).

Москаленко Т. А. Конодонты среднего и верхнего ордоваика Сибирской платформы. Новосибирск, «Наука», 1973. 143 с. (Труды Ин-та геол. и геофиз. СО АН СССР, вып. 137).

Никифорова О. И. Новые данные по стратиграфии и палеогеографии ордоваика и силура Сибирской платформы. — В кн.: Материалы по геологии Сибирской платформы. М., Госгеолтехиздат, 1955, с. 50—106. (Материалы ВСЕГЕИ, нов. сер., общ. сер., вып. 7).

Никифорова О. И., Андреева О. Н. Стратиграфия ордоваика и силура Сибирской платформы и ее палеонтологическое обоснование (брахиоподы). Л., Гостехиздат, 1961. 412 с. (Труды ВСЕГЕИ, нов. сер., т. 56).

Проект стратиграфического кодекса СССР. Л., 1970. 54 с.

Проект стратиграфического кодекса СССР (второй вариант). Л., 1974. 40 с. Решение межведомственного совещания по разработке унифицированных стратиграфических схем Якутской АССР. М., Госгеолтехиздат, 1963, с. 30—31.

Розман Х. С. Брахиоподы среднего и позднего ордоваика Селенгинского кряжа. — В кн.: Сравнительная биостратиграфия ордовикских отложений Северо-Востока СССР. М., «Наука», 1964, с. 109—193.

Розман Х. С. Позднеордовикские брахиоподы Сибирской платформы. «Палеонтол. журнала», 1969, № 3, с. 85—108.

Чугаева М. Н., Розман Х. С., Иванова В. А. Сравнительная биостратиграфия ордовикских отложений Северо-Востока СССР. М., «Наука», 1964. 235 с. (Труды Геол. ин-та АН СССР, вып. 106).

Bergström S. M. Conodont biostratigraphy of the Middle and Upper Ordovician of Europe and eastern North America. — "Geol. Soc. America. Mem. 127", 1971, p. 83—161.

Cooper G. A. Chazyan and related brachiopods. Smithsonian Miscellaneous collections, vol. 127, pt. 1, 2. Washington, 1956. 1024 p.

Ethington R. L. Conodonts of the Ordovician Galena Formation. — "J. paleontol.", 1959, vol. 33, № 2, p. 257—292.

Ethington R. L., Schumacher D. Conodonts of the Copenhagen Formation (Middle Ordovician) in Central Nevada. — "J. paleontol.", 1969, vol. 43, № 2, p. 440—484.

Hamar G. The Middle Ordovician of the Oslo Region, Norway. 22. Preliminary report on conodonts from the Oslo—Asker and Ringerike districts. — "Norsk. Geol. Tidsskr.", 1966, vol. 46, № 1, p. 27—83.

Lindström M. The conodonts described by A. R. Hadding. 1913. — "J. paleontol.", 1955, vol. 29, № 1, p. 105—111.

Lindström M., Racheboeuf P. R., Henry J.—L. Ordovician conodonts from the Postlonne Formation (Crozon peninsula, Massif Armorican) and their stratigraphic significance. — "Geologica et Palaeontologica", 1974, Bd. 8, S. 15—28.

Moskalenko T. A. Ordovician conodonts of the Siberian Platform and their bearing on multielement taxonomy. — "Geologica et Palaeontologica", 1972, SB 1, S. 47—56.

Rhodes F. H. T. Some British Lower Palaeozoic conodont faunas. — "Philos. Roy Soc. London. Ser. B", 1953, vol. 237, № 647, p. 261—334.

Stauffer C. R. Conodonts of the Glenwood beds. — "Bull. Geol. Soc. America", 1935, vol. 46, p. 125—168.

Sweet W. C., Bergström S. M. Conodonts from the Pratt Ferry Formation (Middle Ordovician) of Alabama. — "J. paleontol.", 1962, vol. 36, № 6, p. 1214—1252.

Sweet W. C., Ethington R. L., Barnes Ch. R. North American Middle and Upper Ordovician conodont faunas. — "Geol. Soc. America. Mem. 127", 1971, p. 163—193.

Webers G. F. The Middle and Upper Ordovician conodont faunas of Minnesota. — "Geol. Survey Univ. of Minnesota. Spec. Publ. Ser. 4", 1966. 123 p.

Winder C. G. Conodonts from the Upper Cobourg Formation (Late Middle Ordovician), at Colborne, Ontario. — "J. Paleontol.", 1966, vol. 40, № 1, p. 46—63.

Л. В. Огиненко

### БИОСТРАТИГРАФИЧЕСКОЕ РАСЧЛЕНЕНИЕ НИЖНЕГО ОРДОВИКА В ЮЖНОЙ ЧАСТИ СИБИРСКОЙ ПЛАТФОРМЫ

Отложения нижнего ордоваика на юге Сибирской платформы занимают значительную площадь и выходят на дневную поверхность в различных районах Иркутского амфитеатра, в Присаянье, в северном обрамлении Байкало-Патомского нагорья и в Нюйско-Джербинской впадине. Несмотря на широкое распространение пород, детальное расчленение и корреляция разрезов проводятся с большим затруднением. Принципиальная заключается в том, что нижнеордовикские отложения характеризуются, с одной стороны, значительной фациальной изменчивостью,

а с другой — слабой и неравномерной фаунистической охарактеризованностью толщ. Многие довольно полные по объему разрезы совершенно не содержат органических остатков, в других найдены единичные формы, а в ряде мест известны крупные скопления остатков фауны, иногда образующие ракушняковые прослои.

Материалы, положенные в основу статьи, собраны автором совместно с сотрудниками биостратиграфической группы ВостСибНИИГГиМСа В. И. Бялым и В. А. Храмцовым в 1972 и 1974 гг. Кроме того, использованы материалы, собранные автором в разное время, начиная с 1958 г.

В результате изучения трилобитов и анализа распространения групп фауны появилась возможность расчленить отложения нижнего ордовика на местные биостратиграфические зоны, сопоставив их с тримадокским и аренигским ярусами Международной стратиграфической шкалы.

К нижнему ордовику на юге Сибирской платформы относятся устькутская, ийская, бадарановская свиты и их аналоги. Устькутская свита залегает на породах илгинской и хандинской свит верхнего кембрия. Илгинская свита, развитая на территории Иркутского амфитеатра, и соответствующая ей хандинская, распространенная в Северо-Западном Прибайкалье, отнесены к верхнему кембрию на основании находок трилобитов *Kuraspis* N. Tchern. и *Verkholenella* Vas.

В отложениях хандинской свиты указанные трилобиты обнаружены в бассейнах рек Ханды, Нотая, Киренги, Орленги, Тауры (Жарков и др., 1963; Жарков, Скрипин, 1971). Они приурочены к желто-серым известковистым песчаникам нижней половины свиты. Вышележащая часть свиты состоит из песчаников, известковистых доломитов, алевролитов и аргиллитов коричневато-лилового и голубовато-серого цвета. Органические остатки в верхней части свиты не обнаружены. Мощность свиты 100—180 м.

На юге Иркутского амфитеатра и в Присаяньяе роды *Kuraspis* и *Verkholenella* встречены в светло-коричневых глинистых известняках и коричневых мергелях вблизи кровли илгинской свиты. Такое положение слоев с фауной относительно подошвы устькутской свиты, по-видимому, можно объяснить за счет размыва здесь верхней половины илгинской свиты (Лебедь, 1960; Жарков, Скрипин, 1971). Мощность илгинской свиты от 10 до 150 м.

Выше залегает устькутская свита нижнего ордовика.

Отложения устькутской свиты широко распространены на территории южной части Сибирской платформы. Они представлены серыми, коричневато-серыми известняками, доломитами, известковистыми доломитами и песчаниками с прослойками коричневых и голубовато-серых аргиллитов и алевролитов. В карбонатных породах наблюдаются строматолитовые прослои и биогермы. Из органических остатков известны остатки трилобитов, брахиопод, гастрапод, моноплакофор, реже встречаются цефалоподы, цистоиды, ракообразные. Остатки организмов обычно сосредоточены в рассеянном виде в небольших выклинивающихся прослоях известковистых песчаников и известняков, изредка образуя массовые скопления (ракушняки).

На основании последовательной смены комплексов трилобитов, собранных в бассейнах рек Лены, Ханды, Киренги, Чуи, Лимпен, Оки, Ии и Бирюсы, отложения устькутской свиты расчленены на биостратиграфические зоны (снизу вверх): *Dolgeuloma* — *Saukiella*, *Pseudoacrosphaerites* и *Ijaccephalus* — *Nyaya*. Первая и вторая зоны отнесены к нижнему тримадоку, третья зона отвечает верхнему тримадоку (табл. 1).

Зона *Dolgeuloma* — *Saukiella*, характеризующая нижнюю часть нижнеустькутской подсвиты содержит следующий комплекс трилобитов: *Dolgeuloma incerta* (Kutch.) *D. ordinata* Ogiem. *D. turumakilica*

Таблица 1

Корреляционная схема юга Сибирской платформы

Система	Отдел	Ярус	Порядок яруса	Порядок зоны	Порядок слоя	Нижнее течение р. Бирюса		Прикутский амфитеатр западные районы	Центральные районы	Верхнее течение р. Лена	Северо-Западное Прибайкалье	Нюско-Джербинская платформа
						Почетская	Бадарановская					
Ордникская	Нижний	Аренгиг	Чуйский	Inteoceras	Pseudomera — Biologina	Песчаники с прослойками алевролитов и аргиллитов 160—320 м	Песчаники, алевролиты, аргиллиты 260—420 м	Ийская	Ийская	Песчаники, алевролиты 150 м	Ийская	Бадарановская
			Angarella	слои с Obiliateraspis solidus				Песчаники, алевролиты 500 м				Песчаники с прослойками алевролитов и аргиллитов 10—50 м
Тремадок	Верхний	Устькутский		Ijaccephalus — Nyaya		Песчаники, алевролиты, аргиллиты с прослойками конгломератов 330 м	Песчаники, алевролиты, аргиллиты с прослойками доломитов и обсидианового известняка 430 м		Устькутская	Устькутская	Песчаники, алевролиты, аргиллиты 25—30 м	Известники, песчаники 250 м
												Песчаники, алевролиты, аргиллиты 120—132 м
												Песчаники, алевролиты, аргиллиты 120—280 м
												Доломиты, известковистые и строматолитовые доломиты 80—102 м
												Известники, строматолитовые и обсидиановые песчаники 40—60 м
												Хандинская
												Илгинская

*S. Ros.*, *Saukiella sibirica* Ogien., *S. venosa* Ogien., *S. restricta* Ogien., *S. lenaica* Ogien. *Limpeina expressa* Ogien., *Kirengina lata* Ogien., *K. limpeica* Ogien., *Loparella rara* Ogien., *Apatocephalus limpeicus* Ogien.

Вместе с трилобитами встречаются брахиоподы: *Tetralobula* sp., *Apheoorthis parvus* Chram., *Finkelnburgia isocostata* Chram., *F. bellatula* Ulr. et Coop., *F. crassicostellata* Coop., *Syntrophopsis* sp.; гастropоды *Tropidodiscus* sp., *Chandella parva* Bjaly; *Clisospira* sp., *Caramella alta* Bjaly; моноплакофоры *Lenaella octobinaria* Bjaly; цефалоподы *Pariceras* sp.; единичные криноиды *Particrinus* sp. и цистоиды. Комплекс фауны хорошо выдержан в восточной части Иркутского амфитеатра и в Северо-Западном Прибайкалье (реки Лена, Киренга, Чуя, Лимпей).

Поскольку за нижнюю границу ордовика нами принимается основание зоны *Dolgeuloma* — *Saukiella*, совпадающее с основанием устькутской свиты, представляется целесообразным проследить взаимоотношения илгинской и хандинской свит с вышележащей устькутской и положение первых находок фауны относительно подошвы последней. В большинстве изученных разрезов наблюдается постепенный переход между свитами. Наиболее хорошо выражен постепенный переход илгинской свиты к устькутской в обнажении на правом берегу р. М. Чуя, в 2 км выше руч. Кишечного. Здесь в верхней части илгинской свиты среди тонкоплитчатых, серых и буровато-лиловых известковистых доломитов с прослоями и линзами аргиллитов появляются серые и желто-серые известковистые косослоистые песчаники и известняки, характерные также для устькутской свиты.

Ниже приводится описание части обнажения, начиная с верхнего переходного слоя илгинской свиты.

#### Илгинская свита

	Мощность, м
1. Доломиты известковистые, темно-серые и буровато-лиловые, массивные с линзами и пропластками желто-серых аргиллитов, переслаивающиеся с мелкозернистыми косослоистыми известковистыми коричневато- и желто-серыми песчаниками	7,0
2. Известняки серые, мелкозернистые, местами мелкооолитовые с прослоями мелкозернистых косослоистых серых песчаников	10,0
3. Известняки желто- и темно-серые, толстоплитчатые, мелкозернистые, иногда глинистые. В темно-серых и серых глинистых разностях содержатся трилобиты <i>Saukiella</i> sp., <i>Dolgeuloma turumakitica</i> S. Ros.; моноплакофоры <i>Lenaella octobinaria</i> Bjaly	2,0
4. Известняки серые и коричневато-серые, массивные, с прослоями тонкоплитчатых известковистых серых доломитов. В нижней части пачки строматолитовый биогем	15,0

Постепенный переход между илгинской и устькутской свитами можно наблюдать и в обнажении на левом берегу р. Лены, против устья р. Чечуя. Здесь на границе свит происходит постепенное увеличение песчанистых разностей доломитов и глин, начинают преобладать сероцветные породы над красноцветами. В 14 м от основания устькутской свиты в пласте (35 см мощности) косослоистого известковистого серовато-кремового доломита найдено большое скопление хорошо сохранившихся ядер *Dolgeuloma ordinaria* Ogien. и гастропод *Chandella* sp., *Platiceras* sp.

Такой же переход между породами илгинской и устькутской свит прослеживается на правом берегу р. Лены против дер. Змеиновой (снизу вверх):

#### Илгинская свита

1. Доломиты в переслаивании с мергелями и известково-глинистыми доломитами. В доломитах — линзы аргиллитов, иногда участки с оолитами. В верхней части — строматолитовый биогем до 0,7 м мощности. Цвет пород светло-голубовато-зеленый	5,0
2. Осыпь коричневых и светло-голубовато-зеленых аргиллитов	1,7
3. Доломиты глинистые, светло-желтовато-зеленые, тонкополосчатые с небольшим строматолитовым прослоем	1,2
4. Осыпь красно-коричневых аргиллитов	9,0
5. Песчаники мелкозернистые желто-кремовые, толстоплитчатые	0,6
6. Песчаники мелкозернистые, светло-коричневые и зеленовато-желтые, полосчатые с прослоями коричневых аргиллитов и пятнистых мергелей	1,5
7. Песчаники в переслаивании с алевролитами, аргиллитами коричневой и желто-серой окраски. Небольшие прослои мергелей со следами морской раки и глиноморфозами галита на поверхности. В верхней части слоя (0,6 м мощности) светло-серый глинистый мелкозернистый песчаник	2,5

#### Устькутская свита

8. Песчаники глинисто-известковистые, желто-серые, со следами морской раки по наслению	1,0
9. Мергели переслаиваются с известковистыми доломитами и тонкозернистыми желто-кремовыми песчаниками с зернами глауконита, местами песчанистые	3,5
10. Доломиты голубовато-серые, глинисто-известковистые, местами песчанистые	1,8
11. Доломиты известковистые, глинистые, с трилобитами <i>Dolgeuloma ordinaria</i> Ogien., брахиоподами <i>Tetralobula</i> sp. и моноплакофорами <i>Lenaella octobinaria</i> Bjaly	0,2
12. Песчаники охристые, мелкозернистые	1,7
13. Известняки и известковистые доломиты серые с маломощным строматолитовым прослоем	2,3
14. Песчаники розовато-серые, переслаивающиеся с серыми известковистыми доломитами. В доломитах — участки с оолитами и онколитами	4,7
15. Доломиты серые, известковистые и строматолитовые известняки. В известняках — ядра брахиопод и моноплакофор	10,0

Граница между хандинской и устькутской свитами наблюдается на правом берегу р. Киренги, в 7 км выше дер. Ключи. Здесь приkontактовая часть хандинской свиты состоит из буровато-лиловых и серых известковистых, местами оолитовых доломитов с прослоями коричневых алевролитов и аргиллитов.

#### Устькутская свита

Мощность, м
1. Доломиты и песчаники светло-лиловые, серые и желто-серые известковистые
2. Известняки серые, желто- и розовато-серые, иногда оолитовые, массивные, с прослоями серовато-желтых песчаников, со скоплениями трилобитов <i>Dolgeuloma incerta</i> (Kutch.), <i>Kirengina lata</i> Ogien.; брахиопод <i>Tetralobula</i> sp., <i>Apheoorthis</i> sp.; моноплакофор <i>Lenaella octobinaria</i> Bjaly

На р. Ханде граница между хандинской и устькутской свитами прослеживается в обнажении, расположенном на левом берегу в 10 км ниже устья р. Чимукчина.

#### Хандинская свита (верхняя часть)

1. Доломиты коричневато-лиловые, песчанистые, с прослоями коричневых аргиллитов	7,0
2. Известняки и известковистые песчаники буровато-серые, светло-коричневато-лиловые с тонкими прослоями аргиллитов	2,0

#### Устькутская свита

3. Известковистые песчаники и известняки, местами оолитовые и онколитовые, серые и буровато-серые. В 4 м от основания свиты в известковистых песчаниках и известняках содержатся трилобиты <i>Kirengina</i> sp., гастроподы <i>Caramella alta</i> Bjaly, моноплакофоры <i>Lenaella octobinaria</i> Bjaly	6,0
--	-----

Последив в ряде обнажений переход между кембрием и ордовиком, можно сделать вывод о том, что в северо-восточных районах Иркутского амфитеатра и в районах Северо-Западного Прибайкалья устькутская свита залегает согласно на породах илгинской и хандинской свит. В бассейне р. Киренги контакт между свитами более четкий, чем в бассейнах рек Лены и М. Чуй. Первые находки фауны зоны Dolgeuloma — Saukiella в изученных пограничных слоях располагаются в 4—14 м от подошвы устькутской свиты.

Отложения, охарактеризованные более многочисленной фауной зоны Dolgeuloma — Saukiella, вскрываются в обнажении на правом берегу р. Ханды, в 7 км ниже устья руч. Чимукчина. Породы здесь залегают в следующей последовательности:

1. Известники темно- и коричневато-серые, среднезернистые с зернами глауконита, иногда оолитовые; с одним прослоем афантитового строматолитового известняка. Встречаются неопределенные обломки трилобитов.
2. Известники коричневато-серые, плитчатые, оолитовые, с остатками брахиопод *Finkelnburgia* sp. и гастропод *Chandella parva* Bjaly.
3. Известники светло-коричневые, серые, оолитовые, мелкозернистые, плитчатые, с прослойями зеленовато-голубых аргиллитов. В известняках найдены трилобиты *Saukiella restricta* Ogien., *S. venosa* Ogien., брахиоподы *Finkelnburgia crassicostellata* Cooper, гастроподы *Chandella parva* Bjaly, *Tropidodiscus* sp.
4. Известники доломитистые переслаиваются с аргиллитами и алевролитами темно-серого и лилового цвета с небольшими прослойями коричневато-серых песчаников.
5. Известники серые и коричневато-серые, глинистые, иногда оолитовые, массивные, с прослойками алевролитов. Вверху один пласт серых тонко-зернистых песчаников.

На р. Лимпее одновозрастные отложения прослеживаются по левому берегу в 4 км ниже устья руч. Сергеева Тала. Последовательность слоев следующая:

1. Известники песчанистые, серые, тонкоплитчатые, с прослойями коричневых алевролитов и голубовато-серых аргиллитов.
2. Алевролиты зеленовато-серые, в верхней части переходят в темно-серые и глауконитовые песчаники с редкими раковинами брахиопод *Obolus* sp.
3. Алевролиты известковистые, зеленовато-серые, в верхней части слюдистые, с прослойями голубых и коричневых аргиллитов.
4. Известники темно-серые, местами густковые, серые и желто-серые, оолитовые, в нижней части с прослойями серых аргиллитов и алевролитов.
5. Известники мелкозернистые и афантитовые, серые, пепельно-серые, местами переходят в густковые разности с пятнами желто-кремовых, глинистых, мелкозернистых известняков, с тонкими прослойями серых алевролитов. В нижней части обнаружены многочисленные остатки моноплакофор. В верхней половине слоя в густковых известняках найдены многочисленные *Dolgeuloma turumakitica* S. Ros., *Saukiella venosa* Ogien., *Limpeina expressa* Ogien., *Apatokcephalus limpeicus* Ogien.; брахиоподы *Apheoorthis parvus* Chram.; гастроподы *Tropidodiscus* sp. В осьпи обнаружены отдельные членники стеблей крионидей *Particrinus* sp. и таблички чашечек цистонидей.

Многочисленная фауна зоны Dolgeuloma — Saukiella обнаружена также на правом берегу р. Лимпей в 4,5 км ниже устья руч. Сергеева Тала. Органические остатки заключены в темно-серых и серых мелкозернистых и афантитовых густковых известняках. Здесь собраны трилобиты *Dolgeuloma turumakitica* S. Ros., *Saukiella venosa* Ogien., *S. restricta* Ogien., *Limpeina expressa* Ogien., *Kirengina limpeica* Ogien.; брахиоподы *Finkelnburgia bellatula* Ulr. et Coop., *Syntrophopsis* sp.; гастроподы *Chandella parva* Bjaly, *Clisospira* sp., *Tropidodiscus* sp.

Мощность отложений зоны на р. Лимпее 50 м.

В целом для зоны характерно разнообразие видов, принадлежащих родам, распространение которых ограничено пределами зоны. Не

выходят за границы зоны также *Loparella* и *Limpeina*. Исключение представляют *Kirengina* и *Apatokcephalus*, получившие широкое развитие в более молодых отложениях нижнего ордовика.

Зона *Pseudoacrocerehalites*, относящаяся к верхней части нижнеустькутской подсвиты, характеризуется почти полным обновлением трилобитов. Содержатся следующие органические остатки: трилобиты *Pseudoacrocerehalites ilgaensis* Z. Max., *P. sulcatus* Ogien., *P. incomptus* Ogien., *Diceratocephalina miranda* Z. Max., *D. incornuta* Ogien., *Kirengina sera* Ogien., *K. granulata* Ogien., *Plethopeltides magnus* Z. Max., *Notaiella plana* Ogien., *Chandaspidis piriformis* Ogien.; брахиоподы *Tetralobula texana* Ulr. et Coop., *T. subquadrata* Yadr., *Finkelnburgia* sp.; гастроподы *Bellerophon* sp., *Chandella parva* Bjaly, *Caramella lata* Bjaly, *C. alta* Bjaly, моноплакофоры *Lenaella* sp.

Отложения с комплексом зоны *Pseudoacrocerehalites* прослеживаются в тех же районах, что и породы, охарактеризованные фауной предыдущей зоны. На р. Лене они обнаружены по ее правому берегу в 200 м выше руч. Останина. Здесь в светло-серых известковистых доломитах найдены трилобиты *Plethopeltides magnus* Z. Max., *Pseudoacrocerehalites sulcatus* Ogien., *Diceratocephalina miranda* Z. Max. и брахиоподы *Tetralobula* sp., *Obolus* sp. Мощность 19,4 м.

На левом берегу р. Лены, в 5 км ниже дер. Потапово, в светло-серых и кремовых, местами оолитовых доломитах содержатся трилобиты *Pseudoacrocerehalites* sp., *Notaiella* sp.; гастроподы *Chandella* sp., *Caramella* sp.; моноплакофоры *Lenaella* sp. Мощность 20 м.

На правом берегу р. Ханды, в 3 км ниже устья руч. Чимукчина, в серых мелкозернистых и афантитовых известняках обнаружены трилобиты *Pseudoacrocerehalites ilgaensis* Z. Max., *Diceratocephalina* sp., *Notaiella plana* Ogien.; гастроподы *Caramella lata* Bjaly, *Bellerophon* sp. Видимая мощность слоев 4 м.

На левом берегу р. Ханды, в 2,5 км ниже устья руч. Чакаду в пепельно- и желто-серых и буровато-лиловых мелкозернистых и афантитовых известняках содержатся трилобиты *Pseudoacrocerehalites ilgaensis* Z. Max., *Diceratocephalina miranda* Z. Max., *Notaiella plana* Ogien., *Kirengina sera* Ogien., *Kirengina granulata* Ogien., *Chandaspidis piriformis* Ogien.; гастроподы *Caramella lata* Bjaly, *Bellerophon* sp.; брахиоподы *Tetralobula texana* Ulr. et Coop., *T. subquadrata* Yadr. Видимая мощность 6 м.

На левом берегу р. Лимпей, в 4 км ниже устья руч. Сергеева Тала, в серых мелкозернистых известняках и коричневато-кремовых песчанистых известняках собраны *Plethopeltides magnus* Z. Max., *Chandella parva* Bjaly и *Obolus* sp. Видимая мощность 16 м.

Разнообразная фауна этого комплекса обнаружена на правом берегу р. Киренги, в устье р. Голухты. Последовательность пород здесь следующая:

- | Мощность, м |   |
|-------------|---|
| 0,3         | 1. Известники серые, песчанистые, мелкозернистые.   |
| 0,4         | 2. Известники темно-серые, оолитовые, с трилобитами <i>Notaiella</i> sp., <i>Diceratocephalina incornuta</i> Ogien. и гастроподами <i>Caramella</i> sp.   |
| 2,1         | 3. Осыпь ≈ 2,5 м.   |
| 2,1         | 4. Известники серые, плитчатые, с прослойями серых и коричневых листовидных аргиллитов. В средней части слоя в известняке найдены многочисленные остатки трилобитов <i>Pseudoacrocerehalites incomptus</i> Ogien., <i>Diceratocephalina miranda</i> Z. Max., <i>D. incornuta</i> Ogien.   |
| 2,1         | 5. Известники мелкозернистые и афантитовые, оолитовые, с прослойками песчанистых известняков и плоскогалечных конгломератов. Цвет пород серый и серовато-лиловый. Равномерно по всему слою встречаются остатки трилобитов <i>Pseudoacrocerehalites ilgaensis</i> Z. Max., <i>P. incomptus</i> Ogien., <i>Notaiella plana</i> Ogien., <i>Diceratocephalina</i> sp., <i>Kirengina sera</i> Ogien.; брахиоподы <i>Tetralobula subquadrata</i> Yadr. и крупные раковины гастропод |

<i>Bellerophon</i> sp.	2,5
6. Известняки серые, песчанистые, тонкоплитчатые, с прослойми серых аргиллитов. В известняках — остатки брахиопод <i>Finkelnburgia</i> sp.	2,0

Видимая мощность слоев зоны *Pseudoacrocephalites* в обнажении 10 м.

Выше по разрезу наблюдается «немая» пачка низов верхнеустыкской подсвиты, представленная переслаиванием известковистых песчаников и аргиллитов с преобладанием серовато-лиловых и темносерых песчаников.

Зона *Ijacephalus* — Nyaya, характеризующая верхнюю подсвиту устькской свиты южных районов Иркутского амфитеатра, луговскую свиту нижнего течения р. Бирюсы, казимировскую свиту верхнего течения р. Лены и среднюю часть точильниковой свиты среднего течения р. Лены содержит трилобиты: *Ijacephalus convexus* Ogien., *I. foveatus* Ogien., *I. solus* Ogien., *I. figuratus* Ogien., *Nyaya orientalis* Ogien., *Apatocephalus nyaicus* Ros., *A. gracilis* Ogien., *Parapliomera distincta* Ogien., *Birjusovia radiata* Ogien., *Glaphurus coronatus* Z. Max., *G. sulcatus* Ogien., *Ursibia sibirica* Ogien., *Kirengina* sp. Брахиоподы, гастроподы, моноплакофоры встречаются повсеместно и часто образуют скопления.

В южных районах Иркутского амфитеатра соответствующие отложения прослеживаются в долине р. Ии у пос. Кукучей, где в среднезернистых серых известковистых песчаниках верхней части устькской свиты собраны *Ijacephalus convexus* Ogien., *Birjusovia radiata* Ogien., *Finkelnburgia* sp., *Tropidodiscus* sp. и неопределенные моноплакофоры. Видимая мощность 3 м.

Установлены они также в ряде обнажений по р. Оке, на участке между пос. Барлук и дер. Заваль. В известняках и песчанистых известняках серого, розовато-серого и коричнево-серого цвета содержатся *Ijacephalus solus* Ogien., *Nyaya orientalis* Ogien., *Apatocephalus nyaicus* Ros., *Obolus* sp., *Pseudoscenella* sp. Мощность 60 м.

Комплекс фауны зоны *Ijacephalus* — Nyaya собран в нижнем течении р. Бирюсы в отложениях луговской свиты. О. Н. Андреева (1959), проводившая здесь биостратиграфические исследования, отнесла отложения луговской свиты к устькотому ярусу. В 1957 г. М. А. Жарковым, а позднее Ф. М. и Е. Г. Гайцевыми, данный разрез был подробно описан. Найденная ими фауна представлена брахиоподами, гастроподами и реже трилобитами (Занин, Огиненко, 1975).

В 1974 г. автором совместно с В. И. Бяльм, и В. А. Храмцовым проведены биостратиграфические работы с целью уточнения стратиграфического положения луговской свиты. В результате изучения собраний фауны выяснилось, что отложения свиты (без нижней «немой» песчаниковой пачки) соответствуют зоне *Ijacephalus* — Nyaya. Разрез свиты составлен по разрозненным обнажениям, вскрытых в долине р. Бирюсы на участке между пос. Тулень и устьем руч. Подъеланного. Нижняя часть свиты описана на левом берегу р. Бирюсы близ устья руч. Подъеланного:

Мощность, м	
47,0	1. Песчаники желто- и зеленовато-серые, мелкозернистые, слюдистые, иногда известковистые, с мелкими зернами глауконита, переслаивающиеся с зеленовато-серыми слюдистыми алевролитами и коричневыми аргиллитами. В верхней части пачки два конгломератовидных карбонатных прослоя с остатками трилобитов <i>Ijacephalus convexus</i> Ogien.; брахиопод <i>Obolus</i> sp.; гастропод <i>Tropidodiscus</i> sp., <i>Salpingostoma</i> sp., <i>Tetranota clausa</i> Bjaly, <i>Chandleria</i> sp.; моноплакофор <i>Kazimirovella prima</i> Bjaly, <i>Pseudoscenella</i> sp.
10,0	2. Песчаники массивные, зеленовато-серые, мелкозернистые, с прослойми и линзами коричневато-лиловых аргиллитов и зеленовато-серых алевролитов. Породы слюдистые, на поверхности напластования наблюдаются знаки морской рыбы.

3. Частое переслаивание песчаников, алевролитов, аргиллитов зеленовато-серого и коричневого цвета. В верхней части прослои комковатого алевролитистого песчаника и серого плоскогалечного конгломерата мощностью до 0,10—0,15 м. В них содержится большое количество трилобитов *Ijacephalus figuratus* Ogien., гастропод *Tetranota clausa* Bjaly, *Dzeerbina* sp.; моноплакофоры нового рода

Перерыв 2,0 м.

4. Песчаники серые, зеленовато-серые, мелкозернистые, иногда полосчатые и косослонистые с прослойми алевролитов и аргиллитов. Породы слюдистые, с зернами глауконита. В нижней части пачки прослой плоскогалечного конгломерата. Fauna содержит преимущественно в известковистой гальке и песчанистом цементе конгломерата: трилобиты *Ijacephalus figuratus* Ogien., *Ursibia sibirica* Ogien.; гастроподы *Tetranota clausa* Bjaly, *Cymbularia* sp., *Salpingostoma* sp.; моноплакофоры *Kazimirovella* sp.

5. Песчаники зеленовато-серые, тонкозернистые с прослойми и линзами зеленовато-серых аргиллитов. В нижней и верхней частях в прослоях зеленовато-серых комковатых алевролитов (до 0,2 м) содержатся ядра трилобитов *Ijacephalus figuratus* Ogien., *Birjusovia radiata* Ogien.; гастроподы *Dzeerbina* sp., *Cymbularia* sp. и моноплакофоры *Kazimirovella* sp.

6. Переслаивание песчаников, алевролитов и аргиллитов. Породы коричневые и зеленовато-серые, часто слюдистые. Один прослой плоскогалечного конгломерата. В верхней части небольшой пласт серого оолитового известняка. Fauna моноплакофор и цефалопод плохой сохранности.

Перерыв 1,0 м.

7. Алевролиты буровато-коричневые, серые с прослойми и примазками аргиллитов и песчаников. Встречаются моноплакофоры.

8. Конгломераты внутриформационные, плоскогалечные, желто-голубато-серые. Галька песчано-известковистая и глинистая, цемент песчано-известковистый. В цементе и гальке — *Obolus* sp., *Tropidodiscus* sp., *Pseudoscenella* sp.

9. Переслаивание голубовато-серых песчаников, листоватых слюдистых алевролитов и коричневато-лиловых аргиллитов. Алевролито-песчанистые породы пронизаны множеством ходов илоедов, части скопления *Pseudoscenella* sp. и *Tropidodiscus* sp.

Перерыв 20,0 м.

10. Песчаники желто- и зеленовато-серые, массивные, иногда с мелкими зернами глауконита, с прослойми алевролитов и аргиллитов. Породы местами слюдистые, встречаются разрозненные раковины моноплакофор и гастропод.

Общая мощность отложений 132 м.

Вышележащие отложения луговской свиты прослеживаются по левому берегу р. Бирюсы в 1,5 км ниже дер. Луговой. Наблюдаются следующая последовательность пород:

Мощность, м

3,0

1,25

0,15

13,0

0,15

Мощность, м

10,8

0,1

13,6

0,2

1. Песчаники зеленовато- и коричневато-серые, иногда косослонистые, с прослойми зеленовато-серых слюдистых алевролитов и коричневых аргиллитов. В песчаниках — брахиоподы, моноплакофоры, гастроподы плохой сохранности.

2. Алевролиты коричневато-лиловые, слюдистые по напластованию, с примазками коричневых аргиллитов. В алевролитах и аргиллитах найдены ядра ракообразных *Tolmachovia* sp.; гастроподы *Tetranota clausa* Bjaly; моноплакофоры *Kazimirovella* sp.

3. Песчаники и алевролиты зеленовато-серые, с тонкими прослойми и линзами коричневых аргиллитов. Среди песчаников встречаются прослой конгломератовидных пород известковисто-песчанистого состава с трилобитами *Ijacephalus figuratus* Ogien.; гастроподами *Cymbularia* sp., *Tetranota clausa* Bjaly.

4. Песчаники конгломератовидные, средние и мелкозернистые, серые и зеленовато-серые, известковистые, с галькой зелено-серых аргиллитов и серых известняков. В песчаниках — большое скопление органических остатков: трилобиты *Ijacephalus figuratus* Ogien., *Birjusovia radiata* Ogien.; ракообразные *Tolmachovia* sp.; гастроподы *Tetranota clausa* Bjaly, *Cymbularia* sp., *Salpingostoma verrucosum* Koken; моноплакофоры *Kazimirovella* sp.; цефалоподы плохой сохранности.

5. Ритмичное переслаивание песчаников, алевролитов, аргиллитов. Каждый ритм начинается желто-серыми песчаниками с линзами коричневато-бурых аргиллитов. Они смениются алевролитами, а затем постепенно

Мощность, м

	0,9
	0,2
	3,5
	20,7
	1,5
	1,0
	12,0
	105
	0,5
	0,5
	22,0
	22,5
	25,0—30,0

аргиллитами. В песчаниках наблюдается ряд известковистых галькоподобных стяжений, в которых содержатся раковины брахиопод и трилобитов плохой сохранности.

6. Конгломераты и известковистые песчаники, светло-серые, иногда с зернами глауконита. В цементе и гальке содержится многочисленная фауна: *Ijacephalus figuratus* Ogien., *Birrusovia radiata* Ogien., *Ursibia sibirica* Ogien., *Finkelnburgia* sp., *Tetranota clausa* Bjaly, *Tropidodiscus* sp., *Cymbularia* sp., *Kazimirovella prima* Bjaly.

7. Песчаники зеленовато-серые, мелкозернистые, с тонкими прослойками коричневато-бурых аргиллитов, слюдистых алевролитов и линзовидными включениями известняково-песчаниковых пород. Последние в верхней части слоя выглядят как прослой конгломерата (0,15 м). Найдены трилобиты *Ijacephalus figuratus* Ogien., *Birrusovia radiata* Ogien., *Glaphurus* sp., *Ursibia sibirica* Ogien., брахиоподы *Finkelnburgia* sp.; гастроподы *Tetranota clausa* Bjaly, *Dzerbina* sp., *Cymbularia* sp.; моноплакофоры *Kazimirovella* sp.

8. Песчаники серые, мелкозернистые, иногда косослонистые, с гальками и линзами красно-бурых аргиллитов и тонкими прослойками слюдистых серых алевролитов. В песчаниках постоянно присутствуют конгломератовидные прослои с фауной *Ijacephalus figuratus* Ogien., *Cymbularia* sp., *Kazimirovella* sp.

9. Песчаники и алевролиты красно-коричневого цвета с прослойми аргиллитов. В основании слоя отмечается не выдержаный по мощности прослой красно-коричневого плоскогалечного конгломерата с фауной *Ijacephalus figuratus* Ogien., *Birrusovia radiata* Ogien., *Tolmachovia* sp., *Tetranota clausa* Bjaly, *Salpingostoma verrucosum* Koken.

10. Песчаники зелено-серые, слюдистые, с прослойми красно-коричневых алевролитов и голубовато-серых аргиллитов. Вверху слоя в зелено-желтых алевролитах найдены трилобиты *Ijacephalus figuratus* Ogien., *Birrusovia radiata* Ogien., *Glaphurus* sp.; гастроподы *Salpingostoma verrucosum* Koken., *Cymbularia* sp., *Tetranota clausa* Bjaly, *Dzerbina* sp.; моноплакофоры *Kazimirovella* sp.

11. Песчаники ярко-желто-серые, мелкозернистые, с прослойми коричневых и голубовато-серых аргиллитов и алевролитов. Вверху два прослоя серых конгломератов с трилобитами *Ijacephalus figuratus* Ogien. и многочисленными гастроподами *Tetranota clausa* Bjaly, *Salpingostoma verrucosum* Koken., *Cymbularia* sp.

Перерыв 20,0 м.

12. Осыпь песчано-глинистых пород с небольшими коренными выходами зеленовато-серых, ярко-желтых, коричневато-серых и коричневых песчаников, слюдистых алевролитов и аргиллитов. В верхней части — пласт розовато-серого известковистого средизернистого песчаника с крупными зернами глауконита (до 0,2 м). В песчанике — редкая галька серых известняков. Фауна обнаружена в песчаниках и гальке: трилобиты *Ijacephalus figuratus* Ogien., *Glaphurus* sp.; гастроподы *Tropidodiscus* sp., *Chandella* sp.; моноплакофоры *Kazimirovella* sp. Видимая мощность . . .

Верхняя часть разреза луговской свиты описана на правом берегу р. Бирюса, в 10 км ниже дер. Тулець.

1. Алевролиты голубовато-серые со знаками морской ряби по напластованию.

2. Песчаники желто-серые, переходящие в серые и розовато-серые песчанистые и оолитовые известняки. В серых известняках — большое скопление моноплакофор *Pseudoscenella sibirica* Bjaly.

3. Песчаники известковистые, желто-и зеленовато-серые, с прослойми и линзами алевролитов и аргиллитов. В верхней части — пласт голубовато-серого известняка с зернами глауконита (0,5 м). В песчаниках — редкие раковины *Pseudoscenella* sp., *Obolus* sp.

4. Песчаники желто-зеленовато-серые и желто-коричневые, с прослойми алевролитов и аргиллитов. В песчаниках — мелкие зерна глауконита.

5. Разрозненные коренные выходы желто-серых песчаников, светло-серых оолитовых известняков, серых и буровато-коричневых плоскогалечных конгломератов, содержащих большое скопление фауны: трилобиты *Ijacephalus figuratus* Ogien., *Ursibia sibirica* Ogien., *Parapliomeria distincta* Ogien., *Birrusovia radiata* Ogien., *Apatocephalus gracilis* Ogien.; гастроподы *Mimospira* sp., *Cymbularia* sp., *Tetranota* sp.; брахиоподы *Finkelnburgia* sp., моноплакофоры *Kazimirovella* sp.

Общая мощность отложений 75 м.

Суммарная мощность луговской свиты на р. Бирюсе 330 м.

В бассейне верхнего течения р. Лены зоны *Ijacephalus* — Nyaya соответствуют отложениям казимировской свиты. При картировании эта свита, так же, как и луговская, была отнесена к верхнеустюкской подсвите. Разрез свиты вскрывается на левом берегу р. Лены в 2 км выше дер. Казимирово. Здесь обнажаются мелкозернистые серовато-зеленые и буровато-желтые песчаники с прослойми желто- и зеленовато-серых алевролитов. В песчаниках и алевролитах часто встречается мергелистая голубовато-зеленая и буровато-коричневая галька. В верхней части разреза биогерм строматолитового известняка 1,5 м мощности, переходящий по простиранию в мелкозернистый слабогиптонизированный известняк. Видимая мощность свиты здесь 30 м.

В четырех метрах от основания свиты в зеленовато-серых аргиллитах и алевролитах найдены многочисленные скопления раковин моноплакофор *Kazimirovella prima* Bjaly. Эти же моноплакофоры найдены совместно с *Pseudoscenella* sp. и *Tropidodiscus* sp. в отложениях казимировской свиты на р. Лене у дер. Кривая Лука, а также в луговской свите на р. Бирюсе в комплексе с фауной зоны *Ijacephalus* — Nyaya.

В бассейне среднего течения р. Лены (Нийско-Джербинская впадина) зона *Ijacephalus* — Nyaya соответствует средняя часть точильниковской свиты. Наиболее полный разрез ее имеется на правом берегу р. Лены, против пос. Сылты-Кюеле (обн. 28).

В нижней части обн. 28 вскрываются следующие слои:

	Мощность, м
1. Известияки серые, мелкозернистые, местами оолитовые и песчанистые с остатками трилобитов <i>Glaphurus coronatus</i> Z. Max., <i>Ursibia</i> sp.; брахиопод <i>Arpheorthis</i> sp., <i>Finkelnburgia</i> sp.	1,5
2. Песчаники серые, известковистые, кварцевые, мелкозернистые, вверху с зернами глауконита	1,5
3. Песчаники серые известковистые, конгломератовидные	3,0
4. Известияки серые мелкозернистые, глауконитовые с трилобитами <i>Ursibia</i> sp.; брахиоподами <i>Arpheorthis</i> sp., <i>Archaeorthis</i> sp., <i>Finkelnburgia</i> sp.; гастроподами <i>Mimospira</i> sp.	0,15
5. Песчаники желтовато-серые, мелкозернистые, конгломератовидные	1,5
6. Известияки серые, брекчиивидные с трилобитами <i>Kirengina</i> sp.; брахиоподами <i>Obolus</i> sp.; гастроподами <i>Lugoviscus</i> sp. и крионидиями	0,8
7. Песчаники желто-серые, известковистые с гастроподами <i>Lugoviscus</i> sp.	1,0
8. Известияки серые и коричневато-серые, с включениями желтых песчанистых известняков. Встречаются раковины гастропод <i>Lugoviscus</i> sp.	8,0
9. Песчаники серо-зеленые, мелкозернистые, слюдистые, тонкоплитчатые, местами с глауконитом	7,0
10. Известияки серые и желто-серые, с включением плоской гальки песчанистых известняков. Редко встречаются трилобиты <i>Glaphurus sulcatus</i> Ogien.; брахиоподы <i>Finkelnburgia</i> sp.; гастроподы <i>Tropidodiscus</i> sp.; пелепиоды, цефалоподы	1,5
11. Песчаники зеленовато- и желто-серые известковистые, мелкозернистые	1,7
12. Песчаники зеленовато-серые, переслаивающиеся с серыми оолитовыми известняками. В известняках — <i>Obolus</i> sp., <i>Finkelnburgia</i> sp. и неопределенные гастроподы	5,7
13. Известияки серые, местами оолитовые, с прослойми серых песчанистых известняков. В известняках — брахиоподы <i>Finkelnburgia</i> sp., гастроподы <i>Tropidodiscus</i> sp.; криониды	7
14. Песчаники известковистые; мелкозернистые с зернами глауконита	0,9
15. Известияки серые, песчанистые, сгустковые	1,3
16. Известияки серые, кальцитовые, с прослойми оолитовых, онколитовых и конгломератовидных разностей. В кальцитовых известняках многочисленные трилобиты <i>Ijacephalus foveatus</i> Ogien., <i>Harpidae</i> и гастроподы	4,4
17. Песчаники известковистые, зеленовато-серые с глауконитом	1,5
18. Известияки оолитовые, сгустковые	1
19. Песчаники известковистые, мелкозернистые, тонкоплитчатые	0,8
20. Известияки коричневато-серые, участками оолитовые, с прослойми серых песчаников. Встречаются раковины <i>Finkelnburgia</i> sp.	3,3

21. Известняки темно-серые, мелкозернистые, сгустковые, с трилобитами <i>Cyberopsis</i> sp., брахиоподами, моноплакофорами и гастроподами . . . . .	3,6
22. Известняки желтовато-серые, песчанистые, мелкозернистые, с прослойками слюдистых буровато-зеленых алевролитов и конгломератовидных песчанистых известняков. На поверхности напластования наблюдаются трещины усыхания. Из органических остатков найдены брахиоподы <i>Archaeorthis</i> sp. . . . .	4,1

Видимая мощность отложений 58 м.

Вышележащая часть разреза сопоставляется с ийской и бадарановской свитами Иркутского амфитеатра.

На юге Сибирской платформы отложения ийской и бадарановской свит широко развиты в южных и северо-западных районах Иркутского амфитеатра. На территории Нийско-Джербинской впадины им соответствует верхняя часть точильникской свиты.

Ийская свита сложена красно-коричневыми и желто-серыми песчаниками, алевролитами и аргиллитами. В песчаниках встречаются редкие остатки *Angarella*, *Lingula*, *Chacharejocaris*, *Sinuiles*. Большая же часть изученных разрезов свиты не содержит органических остатков. Вышележащая бадарановская свита, состоящая из песчаников, алевролитов и небольших прослоев известняков, охарактеризована разнообразной фауной. Наиболее обычны брахиоподы *Angarella*, которые встречаются здесь чаще, чем в ийской свите. Таким образом, зона *Angarella* охватывает отложения ийской и бадарановской свит.

По смене руководящих комплексов фауны рассматриваемая зона расчленяется на три части, каждая из которых характеризуется своеобразным составом органических остатков. В нижней части зоны выделяются трилобитовые слои с *Obliteraspis solidus*. В средней части появляется иной комплекс трилобитов, позволяющий выделить его в подзону *Pseudomera* — *Biolgina*. Подзона *Intejoceras* отличается исчезновением трилобитов и широким развитием цефалопод. Она отвечает верхним слоям бадарановской свиты центральных и северо-западных районов Иркутского амфитеатра. В бассейне верхнего течения р. Лены аналог этих отложений отсутствуют — результат размытия верхней части отложений нижнего ордовика; в среднем течении она включает верхнюю часть точильникской и нижние слои криволуцкой свиты (Бялый, 1975; Каницкий, Бялый, 1975).

**Зона *Angarella*.** Описание удобнее начать с разреза Нийско-Джербинской впадины, где отложения наиболее полно охарактеризованы фауной нижней части зоны. Здесь она охватывает верхнюю половину точильникской свиты. Фаунистический комплекс разнообразный и состоит из трилобитов, брахиопод, гастропод, цефалопод. По смене трилобитов выделяются два комплекса. В нижней части прослеживаются слои с *Obliteraspis solidus*, которые кроме вида-индекса содержат *Apatokephalus* sp., *Asaphellina* sp., *Paenebella sibirica* Ogiен. Верхняя часть охарактеризована комплексом трилобитов подзоны *Pseudomera* — *Biolgina*.

Слои с *Obliteraspis solidus* прослеживаются по правому берегу р. Лены против пос. Сылты-Кюеле (обн. 28). Здесь в литологически однородной толще наблюдается смена комплекса трилобитов зоны *Ijascephalus* — Nyaya комплексом органических остатков, среди которых особенно характерным является *Obliteraspis solidus*.

Ниже приводится продолжение описания обн. 28:

23. Известняки коричневато-желтые и темно-серые, песчанистые, пятнистые, с трилобитами <i>Obliteraspis solidus</i> Ogiен. и брахиоподами <i>Finkelnburgia</i> sp. . . . .	2,4
---	-----

24. Песчаники желтовато-коричневые и серые, известковистые. Наблюдаются трещины усыхания. В серых песчаниках — трилобиты <i>Obliteraspis</i> . . . . .	2,0
--	-----

<i>solidus</i> Ogiен.; брахиоподы <i>Angarella</i> sp., <i>Archaeorthis</i> sp.; гастроподы <i>Mimospira</i> sp. . . . .	4,0
--	-----

25. Песчаники желто-коричневые, алевритистые, известковистые, переходящие в пятнисто-полосчатые песчанистые известняки. Встречаются многочисленные трилобиты *Paenebella sibirica* Ogiен.; брахиоподы *Angarella* sp.; гастроподы *Mimospira* sp., *Eotomaria suprocinctula* Bill. и цефалоподы плохой сохранности . . . . .

26. Песчаники желтовато-серые, среднезернистые с прослойками конгломератовидных серых песчанистых известняков с трилобитами <i>Obliteraspis solidus</i> Ogiен., <i>Asaphellina</i> sp., брахиоподами <i>Angarella</i> sp., <i>Archaeorthis</i> sp.; гастроподами <i>Sinuiles</i> sp. и пелепиподами . . . . .	1,3
---	-----

27. Известняки голубовато-серые, афантитовые, с глауконитом, содержат трилобиты <i>Obliteraspis solidus</i> Ogiен.; брахиоподы <i>Finkelnburgia</i> sp.; гастроподы <i>Eotomaria suprocinctula</i> Bill., <i>Hormotoma</i> sp. . . . .	1,0
--	-----

28. Песчаники известковистые, пятнистые с двумя прослойками (по 0,2 м) серого известняка, содержащего трилобиты <i>Paenebella sibirica</i> Ogiен.; гастроподы <i>Mimospira</i> sp., <i>Tropidodiscus pectenatus</i> Bjaly, <i>Eotomaria suprocinctula</i> Bill.; цефалоподы <i>Ellesmeroceras tchunense</i> Bal. . . . .	2,8
--	-----

29. Известняки пятнистые, голубовато-серые, с прослойем (0,15 м) плоскогалечного конгломерата . . . . .	1,0
---	-----

30. Песчаники желто-серые, известковистые, известняки серые, конгломератовидные. В известняках содержатся трилобиты <i>Paenebella sibirica</i> Ogiен., <i>Apatokephalus</i> sp.; брахиоподы <i>Finkelnburgia</i> sp.; гастроподы <i>Eotomaria suprocinctula</i> Bill. . . . .	9,0
---	-----

Видимая мощность слоев с *Obliteraspis solidus* 23 м.

Разрез точильникской свиты в бассейне р. Лены заканчивается отложениями с остатками фауны подзоны *Pseudomera* — *Biolgina*. Это известняки и известковистые песчаники серого, желто- и темно-серого цветов. Они прослеживаются по правому берегу р. Лены против дер. Половинки и в нижнем течении р. Нию, в 14 км от ее устья. В них содержатся трилобиты *Pseudomera weberi* (Z. Max.), *Biolgina sibirica* Z. Max., *Prodalmanitina* sp., *Hystricurus* sp.; брахиоподы *Angarella lopatini* Ass., *Syntrophopsis* sp.; гастроподы *Eotomaria* Bill.; головоногие *Ellesmeroceras* sp. Мощность 25—30 м.

Общая мощность отложений, заключающих комплекс ископаемых зоны *Angarella*, на р. Лене более 50 м.

На территории Иркутского амфитеатра слоем с *Obliteraspis solidus* по стратиграфическому положению в разрезе может соответствовать ийская свита. Последняя залегает на отложениях, охарактеризованных фауной зоны *Ijascephalus* — Nyaya, и перекрывается отложениями бадарановской свиты, низы которой входят в состав подзоны *Pseudomera* — *Biolgina*.

Характерный фаунистический комплекс подзоны *Pseudomera* — *Biolgina* прослеживается в нижней части бадарановской свиты западных и северных районов Иркутского амфитеатра. Разнообразный состав фауны обнаружен в нижнем течении р. Ангары в 4 км ниже дер. Рожково. Здесь грубобломочные отложения бадарановской свиты с перерывом залегают на песчаниках ийской свиты. Разрез, представлен следующими слоями:

1. Конгломераты плоскогалечные, серые и розовато-лиловые; галька хорошо окатана, состоит из песчаников и известняков; цемент песчано-карбонатный, местами с зернами глауконита. В середине конгломератового слоя отмечается пласт среднезернистого карбонатного песчаника. Fauna содержится в песчанике, а также в гальке и цементе конгломерата: трилобиты <i>Pseudomera weberi</i> (Z. Max.), <i>Biolgina sibirica</i> Z. Max., <i>Hystricurus secundus</i> Ogiен., <i>Bathyrellus angarensis</i> Ogiен., <i>Prodalmanitina</i> sp.; брахиоподы <i>Angarella lopatini</i> Ass., <i>Finkelnburgia</i> sp., <i>Obolus</i> sp.; гастроподы <i>Pararaphistoma gualteriatum</i> Schlot., <i>Eotomaria suprocinctula</i> Bill., <i>Helicostoma</i> sp., <i>Hormotoma</i> sp. и ракообразные <i>Tolmachovia concentrica</i> Kob. . . . .	2,0
2. Переслаивание песчаников, алевролитов, конгломератов обнаружены раковины гастропод <i>Pararaphistoma</i> sp. и трилобиты плохой сохранности . . . . .	1,0

3. Песчаники среднезернистые, кварцевые, светло-серые, с редкими раковинами <i>Angarella</i> sp., <i>Hormotoma</i> sp. На них лежат светло-лиловые известковистые песчаники с остатками моноплакофор	2,0
4. Песчаники красно-коричневые, известковистые, мелкозернистые с трилобитами <i>Carolinites parva</i> Ogien., <i>Hystricurus secundus</i> Ogien. и гастropодами <i>Eotomaria suprocinctula</i> Bill., <i>Helicotoma</i> sp.	0,7
5. Известняки песчанистые, буровато-лиловые и серые, участками оолитовые	0,7
6. Песчаники буровато-лиловые, среднезернистые, с прослойками коричневатых и голубовато-серых аргиллитов с овальными конкрециями до 15 см в диаметре	7,0

Видимая мощность отложений 13,4 м.

На р. Чуне в 4 км выше дер. Казачей Бадарановки нижняя часть бадарановской свиты также охарактеризована фауной подзоны *Pseudomera* — *Biolgina*. Здесь в зеленовато-серых алевролитах и песчаниках содержатся трилобиты *Hystricurus mirabilis* Ogien.; ракообразные *Tolmachovia concentrica* Kob.; брахиоподы *Angarella lopatini* Ass.; гастроподы *Eotomaria suprocinctula* Bill., *Helicotoma* sp., *Hormotoma* sp. Хотя зональные формы в разрезе на р. Чуне не обнаружены, приведенный комплекс является руководящим для подзоны; представители *Hystricurus* занимают в нем ведущее значение.

Вышележащие отложения бадарановской свиты относятся к подзоне *Intejoceras* (Бялый, см. наст. сб.).

Из приведенных данных видно, что все четыре биостратиграфические зоны нижнего ордовика хорошо прослеживаются на изученной территории и коррелируются с соответствующими фаунистическими комплексами других районов Сибирской платформы. Три нижние зоны отвечают устькутскому горизонту, верхняя — чуньскому горизонту<sup>4</sup> региональной стратиграфической шкалы Сибирской платформы. Зоны *Dolgeuloma* — *Saukiella* и *Pseudoacroscephalites*, охватывающие нижнеустькутскую подсвиту, могут быть сопоставлены с нижним тремадоком, а зона *Ijaserphalus* — *Nyaya*, характеризующая верхнеустькутскую свиту и ее аналоги — луговскую, казимировскую и среднюю часть точильниковской свиты, — с верхним тремадоком международной стратиграфической шкалы.

Фаунистический комплекс зоны *Angarella*, распространенный в ийской, бадарановской и верхней половине точильниковой свиты, позволяет отнести эти отложения к аренигскому ярусу.

В связи с тем, что проблема границы кембрия и ордовика в настоящее время остается нерешенной, следует несколько подробнее рассмотреть стратиграфическое и географическое распространение органических остатков из отложений нижнего тремадока юга Сибирской платформы. Описанные комплексы наиболее близки к фауне соответствующего возраста северо-западной и западной частей Сибирской платформы (табл. 2) (Розова, 1968, 1970; Розова, Ядренкина, 1967; Ядренкина, 1974; Марков, Семенова, 1968), а также Урала (Анцыгина, 1973) и Северо-Востока СССР (Орадовская, 1974).

Одним из наиболее распространенных является зональный род *Dolgeuloma* Ros., получивший широкое развитие в бассейне р. Кулюмбэ в отложениях мансийского и лопарского горизонтов. В бассейне р. Подкаменной Тунгуски его распространение приурочено к нижней половине пролетарской свиты. Найдены *Dolgeuloma* известны также из кидрясовского горизонта Урала и лукской свиты Омолонского массива Северо-Востока СССР. В комплексе с *Dolgeuloma* на юге Сиби-

<sup>4</sup> Устькутский и чуньский «ярусы» региональной стратиграфической шкалы рассматриваются здесь в ранге горизонтов.

Таблица 2

Сопоставления стратиграфических схем нижнего ордова Сибирской платформы  
Юг Сибирской платформы

Унифицированная схема	Северо-запад Сибирской платформы				Юг Сибирской платформы				Приимаемая схема				
	А. В. Розова, 1968		А. Г. Ядренкина, 1974		Юг Сибирской платформы		Юг Сибирской платформы		Юг Сибирской платформы		Юг Сибирской платформы		
Система	Отдел	Ярус	Систе-ма	Отдел	Надгори-zonт	Горизонт	Подгоризонт	Систе-ма	Отдел	Ярус	Погла-тиру-рuss	Гори-зонт	Зона, подзона, слой
Ордо-вик-сий	Чунь-ский	Ордо-вик-сий	Чунь-ский	Ниж-ний	После-ниж-ний	Аре-ниг	Вихоревский	Ордо-вик-сий	Ниж-ний	Оре-ниг	Чунь-ский	Ин-тег-о-ре-са-р	
Ниж-ний	Усть-кут-ский	Усть-кут-ский	Усть-кут-ский	Ниж-ний	После-ниж-ний	Чунь-ский	с <i>Finkelbur-gia</i> , <i>Rhyse-tasma</i> , <i>Na-northis</i>	Чунь-ский	Най-ский	с <i>Arpheorthis</i>	Чунь-ский	Ля-се-ре-фа-лу-с	
Кем-брей-ская	Верх-ний	Кем-брей-ская	Кем-брей-ская	Кем-брей-ская	Хантай-ский	Лопар-ский	Хантай-ский	Хантай-ский	Мансий-ский	Мансий-ский	Хантай-ский	Дол-гу-ло-ма	
Кем-брей-ская	Верх-ний	Кем-брей-ская	Кем-брей-ская	Кем-брей-ская	Тукалан-динский	Кетай-ский	Кетай-ский	Кетай-ский	с <i>Eoorthis</i>	с <i>Eoorthis</i>	Кем-брей-ская	Сау-киелла	
Кем-брей-ская	Верх-ний	Кем-брей-ская	Кем-брей-ская	Кем-брей-ская	Кем-брей-ская	Кем-брей-ская	Кем-брей-ская	Кем-брей-ская	Кем-брей-ская	Кем-брей-ская	Кем-брей-ская	Верх-ний	

ской платформы встречаются *Loparella rara* Ogienko и *Kirengina lata* Ogienko (Огненко, 1974).

Последний вид известен также в отложениях, соответствующих зонам *Pseudoacroscephalites* и *Ijascephalus* — Nyaya. В бассейне р. Подкаменной Тунгуски (по устному сообщению В. Н. Немировской) *Kirengina lata* встречается совместно с *Loparella loparica* Ros. В отложениях пролетарской свиты большим распространением пользуется род *Saukiella*; многочисленные экземпляры принадлежат четырем его видам.

Представители *Saukiella* и *Saukia* широко развиты в тремпионском ярусе Северной Америки и тремадоке Мексики (Ulrich, Resser, 1933; Robinson, Pantoja — Alor, 1968; Longacre, 1970). На территории СССР *Saukiella*, кроме юга Сибирской платформы, известны из Южного Казахстана (Малый Карагатай). Они собраны К. А. Лисогор и Г. Х. Ергалиевым (устное сообщение) из отложений шабактинской свиты. Кроме того, в коллекции В. С. Семеновой (устное сообщение) имеется неполный краинидий *Saukia* из отложений пролетарской свиты бассейна р. Подкаменной Тунгуски.

Очень существенной является находка верхнетремадокского представителя *Apatokephalus Brögger* на р. Лимпее, в комплексе с *Dolgeuloma turumakitica* S. Ros. и *Saukiella venosa* Ogienko, которые характеризуют отложения нижнего тремадока. С одной стороны находка *Apatokephalus* на уровне зоны *Dolgeuloma* — *Saukiella* подтверждает ордовикский возраст устькутской свиты, с другой — является еще одним доказательством того, что первые *Apatokephalus* появились в нижнем тремадоке. Находка *Apatokephalus* на этом уровне не является единственной: один вид обнаружен Н. Я. Анцыгинным (1973) в кидровском горизонте (нижний тремадок) Среднего Урала и один вид описан из нижнего тремадока северной части Аргентины (Harrington, Leanza, 1957).

Комплекс трилобитов зоны *Pseudoacroscephalites*, также как и предыдущей зоны, имеет большое сходство с комплексами мансийского и лопарского горизонтов бассейна р. Кулюмбэ (Розова, 1968, 1970), пролетарской свиты р. Подкаменной Тунгуски и нижней половины урсулской свиты Омоловского массива (Орадовская, 1974). Общими формами в этих комплексах являются *Pseudoacroscephalites*, *Diceratocephalina*, *Plethopeltides*, *Notaiella*.

В отложениях, соответствующих на юге Сибирской платформы нижнему тремадоку, вместе с трилобитами постоянно встречаются брахиоподы *Tetralobula* и *Apheorthis*. На северо-западе Сибирской платформы в бассейне р. Кулюмбэ эти роды представлены большим разнообразием видов в мансийском, лопарском и няйском горизонтах. По появлению *Tetralobula*, приуроченных к основанию мансийского горизонта, А. Г. Ядренкина (1974) проводит границу между кембрием и ордовиком. Многочисленные гастроподы и моноплакофоры, такие как *Tropidodiscus*, *Clisospira*, *Bellerophon*, *Lenaella*, а также криноидии *Paratricinus*, являются типичными ордовикскими формами. Таким образом, в основании нижнего тремадока отмечается значительное обновление родового состава многих групп фауны, и этот стратиграфический уровень может рассматриваться как крупный естественный рубеж.

## ЛИТЕРАТУРА

- Андреева О. Н. Стратиграфия ордовика Ангаро-Окинского района. — В кн.: Материалы по геологии и полезным ископаемым Сибирской платформы: Л., 1959, с. 79—108 (Материалы ВСЕГЕИ, нов. сер., общ. сер., вып. 23).  
Анцыгин Н. Я. Трилобиты. — В кн.: Стратиграфия и фауна ордовика Среднего Урала. М., «Недра», 1973, с. 62—111.

Бялый В. И. Стратиграфическое и палеогеографическое значение ордовикских *Intejoceratida* (Головоногие моллюски). — В кн.: Материалы по биостратиграфии и палеогеографии Восточной Сибири. М., «Наука», 1975, с. 37—41.

Жарков М. А., Чечель Э. И., Кизев И. М. Кембрийские отложения среднего и нижнего течения р. Киренги. — «Докл. АН СССР», 1963, т. 149, № 4, с. 922—924.

Жарков М. А., Скрипин А. И. Верхнекембрийские отложения юга Сибирской платформы. Новосибирск, «Наука», 1971, 95 с.

Занин Ю. Н., Огненко Л. В. Присаяно-Ангарский стратиграфический район. — В кн.: Стратиграфия ордовика Сибирской платформы. Новосибирск, «Наука», 1975, с. 128—143.

Каницкий В. Л., Бялый В. И., Шипицын А. Д. Разрез ордовика в среднем течении р. Лены. — В кн.: Стратиграфия ордовика Сибирской платформы. Новосибирск, «Наука», 1975, с. 201—209.

Лебедь Г. Г. Краткий очерк стратиграфии ордовика центральной и восточной частей Иркутского амфитеатра. — В кн.: Геологическое строение и нефтегазоносность Иркутского амфитеатра. М., Гостоптехиздат, 1960, с. 190—235.

Марков Е. П., Семенова В. С. Некоторые позднекембрийские и раннеордовиковые трилобиты бассейна Подкаменной Тунгуски. — «Палеонтол. журнал», 1968, № 4, с. 93—99.

Огненко Л. В. Трилобиты нижнего ордовика. — В кн.: Биостратиграфия кембрийских и ордовиковых отложений юга Сибирской платформы. М., «Недра», 1974, с. 109—129.

Орадовская М. М. Стратиграфия и палеогеография ордовиковых отложений Омоловского массива. — В кн.: Опорные разрезы палеозоя Северо-Востока СССР. Магадан, 1974, с. 137—160.

Розова А. В. Биостратиграфия и трилобиты верхнего кембра и нижнего ордовика северо-запада Сибирской платформы. М., «Наука», 1968, 175 с. (Труды Ин-та геол. и геофиз. АН СССР, вып. 36).

Розова А. В. О биостратиграфических схемах верхнего кембра и нижнего ордовика северо-запада Сибирской платформы (р. Кулюмбэ). — «Геол. и геофиз.», 1970, № 5, с. 26—32.

Розова А. Я., Ядренкина А. Г. Биостратиграфия и брахиоподы верхнего кембра и нижнего ордовика разреза р. Кулюмбэ. — В кн.: Новые данные по биостратиграфии нижнего палеозоя Сибирской платформы. М., «Наука», 1967, с. 12—45.

Ядренкина А. Г. Брахиоподы верхнего кембра и ордовика северо-запада Сибирской платформы. Новосибирск, Зап.-Сиб. кн. изд-во, 1974, 163 с.

Harrington H. J., Leanza A. F. Ordovician Trilobites of Argentina. Lawrence, Univ. of Kansas Press, 1957, 260 p.

Longacre S. A. Trilobites of the Upper Cambrian Ptychaspid Biomere Wilberus Formation, central Texas. — „J. Paleontol.“, 1970, vol. 44, № 4, p. 1—68.

Robinson R. A., Pantoja-Alor J. Tremadocian Trilobites from the Nochixtlan Region Oaxaco, Mexico. — „J. Paleontol.“, 1968, vol. 42, № 3, p. 767—798.

Ulrich E. O., Resser C. E. The Cambrian of the Upper Mississippi Valley. Pt. 2. Saukiinae. — „Bull. Publ. Mus. Milwaukee“, 1933, vol. 12, № 1—2, 306 p.

## В. И. Бялый

### БИОСТРАТИГРАФИЯ ПОГРАНИЧНЫХ ОТЛОЖЕНИЙ НИЖНЕГО И СРЕДНЕГО ОРДОВИКА НА ЮГЕ СИБИРСКОЙ ПЛАТФОРМЫ

К числу наиболее дискуссионных вопросов в стратиграфии пограничных отложений нижнего и среднего ордовика Сибирской платформы относится вопрос о возрастном интервале и масштабах проявления стратиграфического перерыва на этом рубеже. До недавнего времени считалось, что перерыв на этом уровне распространен на Сибирской платформе повсеместно. В последние годы, однако, появились данные, поставившие под сомнение это представление.

Исследования в басс. р. Мойера (Москаленко, 1970) показали, что в слоях с *Angarella*, подстилающих аналоги волгинского горизонта, содержатся конодонты среднеордовикового облика. Этот факт свидетельствует о более полном разрезе Сибирской платформы. Постепенный переход между чуньским и криволуцким горизонтами<sup>5</sup> отмечен на

<sup>5</sup> Подразделения региональной стратиграфической шкалы Сибирской платформы рассматриваются здесь в ранге горизонтов.

р. Кулюмбэ А. Г. Ядренкиной (1974), хотя в графических приложениях к ее работе (табл. 2) показан традиционный региональный перерыв в объеме лланвирна. В Иркутском амфитеатре отсутствие перерыва на этом уровне отмечено на р. Вихоревке (Бялый, 1971) и несколько раньше в нижнем течении р. Ангара. Стратиграфия ордовика района разработана О. Н. Андреевой (1955).

Для выяснения стратиграфического интервала, которому соответствует перерыв в осадконакоплении в различных пунктах юга Сибирской платформы, необходимо проанализировать полученный в последние годы материал по биостратиграфии верхней части нижнего ордовика в объеме чуньского горизонта. Палеонтологические остатки в отложениях чуньского горизонта позволяют выделить зону *Angarella* с нижней подзоной *Pseudomera* — *Biolgina*, соответствующей четвертому трилобитовому уровню (Огиненко, 1974) и верхней подзоной *Intejoceras* (см. таблицу).

Корреляционная схема

Принимаемая схема							Иркутский западные районы					
Система	Отдел	Ярус	Горизонт	Подгоризонт	Зона	Подзона						
Ордовик-ская	Средний	Карадок	Манг-зейский	Баксан-ский	Братская	Братская	Братская	Братская				
		Лландей-ло	Кирен-ский Кудрин-ский	Чертов-ской								
			Криво-луцкий	Волгин-ский								
	Нижний	Лланвирн	Вихорев-ский	Intejocer- as	Бадарановская	Бадарановская	Бадарановская	Бадарановская				
		Аренинг	Чуньский	Angarella	Песчаники, алевролиты, аргиллиты 260—520 м	Песчаники, алевролиты, аргиллиты 110—150 м	Песчаники, алевролиты, аргиллиты 110—150 м	Песчаники, алевролиты, аргиллиты 110—150 м				
	Тремадок	Устькут-ский		Pseudomera — Biolgina	Ийская Песчаники, алевролиты. 500 м	Ийская Песчаники, алевролиты. 150—160 м	Устькутская Песчаники, алевролиты с прослоями доломита и оолитового известника. 90—150 м	Устькутская Песчаники, известники, есть оолитовые и строматолитовые. 90—130 м				

Подзона *Pseudomera* — *Biolgina* прослежена в нижней части бадарановской свиты и кроме трилобитов (Огиненко, 1974) содержит брахиоподы *Angarella lopalini* Ass., A. sp., *Finkelnburgia* sp., *Obolus* sp., *Eoconulus* sp., *Lingula* sp.; гастropоды *Eotomaria* cf. *supracingulata* Bill., *Mimospira* sp., *Pararaphistoma qualtheriatum* (Schl.), *Hormotoma* ex gr. *gracilis* Hall., *Helicotoma* sp., *Raphistoma* sp.; моноплакофиды *Multisariites lenensis* Bjaly, *Nyrella bjalyi* S. Ros.; остракоды *Sulcaechmina pertica* Kolos., цефалоподы *Levisoceras mercurius* (Bill.), *Pycnoceras* sp., *Ellesmeroceras tchunense* Bal., *Proterocameroceras* sp.

Подзона *Intejoceras* хорошо прослеживается в верхней части бадарановской свиты и характеризована головоногими *Intejoceras angarense* Bal., *Evenoceras angarense* Bal., *E. rozhkovense* Bal., *Bajkaloceras angarense* Bal., *B. rozhkovense* Bal., *Padunoceras rugosaeforme*

Таблица

отложений ордовика		Северо-Западное Прибайкалье (Лобанов, Сендеров, Дашкевич, 1964)	Нюйско-Березовская впадина
амфитеатр	Верхнее течение р. Лены		
центральные районы	свита		
	Братская Красноцветные аргиллиты, алевролиты, песчаники 180—200 м	Макаровская Красноцветные алевролиты и аргиллиты 150 м	Макаровская Красноцветные аргиллиты, алевролиты, песчаники 50 м
	Песчаники с прослойями алевролитов и аргиллитов 50—80 м	Чертовская Зеленые аргиллиты с конкрециями 20 м	Криволукская Алевролиты, аргиллиты, прослон. известняков 48 м
	Мамырская	Песчаники 17—20 м	
	Алевролиты, аргиллиты, песчаники 60—70 м	Криволукская Алевролиты, аргиллиты, песчаники изве-стковистые конкреции 57—70 м	
	Бадарановская Песчаники, алевролиты, аргиллиты 110—150 м	Нарыггинская Песчаники 275—300 м	
	Ийская Песчаники, алевролиты. 150—160 м	Суринская Песчаники, гравелиты, алевролиты, аргиллиты 530—600 м	
	Устькутская Песчаники, известники, есть оолитовые и строматолитовые. 90—130 м	Казимировская Песчаники, алевролиты 25—30 м	Устькутская Песчаники, известники, доломиты, алевро-литы 500—570, м
			51—80 м

Bal., *Lobendoceras emanuelense* Teich. et Glen., *L. asiaticum* Bal., которые, за исключением представителей рода *Lobendoceras*, относятся к отряду *Intejoceratida* Bal. Продолжают встречаться в массовом количестве *Angarella*, гастроподы *Eotomaria cf. supracingulata* Bill., *Pararaphistoma qualtheriatum* (Schl.), *Sinuites* sp., пелециподы и лингулы.

Приведенные комплексы обеих подзон в западных и центральных районах Иркутского амфитеатра характеризуют отложения бадарановской свиты, которые ранее относились либо к мамырской свите среднего ордовика, либо к ийской свите нижнего ордовика (Лебедь, 1960; Лебедь, Одинцов, Труфанова, 1962; Мазур, Кононов, 1960). Установлено выклинивание отложений криволуцкого горизонта среднего ордовика на западе Иркутского амфитеатра и в пределах Ийско-Удинского водораздела (Жданов, 1962).

Бадарановская свита выделена Ю. Н. Заниным и Л. В. Огненко (1964) и более подробно описана Ю. Н. Заниным (1970). Указанные авторы отмечают, что свита сложена красноцветными песчаниками, алевролитами, аргиллитами, значительно меньшее развитие имеют сероцветные алевролиты и песчаники, нередко встречаются волноприбойные знаки и трещины усыхания. За стратотип бадарановской свиты принимается разрез на р. Чуне, от дер. Казачьей Бадарановки до дер. Баэр. Здесь она представлена тремя пачками мощностью 350 м. Две нижние пачки прослеживаются в естественных обнажениях на р. Чуне, верхняя (50–70 м) — только по керну колонковых скважин, и фаунистические остатки подзоны *Intejoceratida* в ней не найдены. Отложения вихоревского подгоризонта р. Ангары соответствуют верхней части бадарановской свиты.

Эти отложения и их контакт с перекрывающими породами среднего ордовика обнажены на правом берегу р. Вихоревой, у дер. Алексеево, обн. 15 (снизу):

Мощность, м:

1. Частое переслаивание тонких (1–4 см) слоев и линз мелкозернистых слюдистых песчаников и алевролитов. Породы рыхлые, пестрой окраски. Преобладают желто-зеленые, серые, буровато-фиолетовые тона. Встречены <i>Angarella lopatini</i> Ass., A. sp., <i>Sinuites</i> sp., <i>Pararaphistoma qualtheriatum</i> (Schl.), <i>Intejoceras angarensis</i> Bal.	2,0
2. Песчаники фиолетово-коричневые, мелкозернистые, слюдистые, с зеленовато-серыми пятнами неправильной формы и редкими раковинами <i>Angarella</i> sp.	0,5
3. Песчаники светло-зеленые и красно-бурые, слюдистые	0,5
4. Алевролиты темно-бурые, слюдистые	0,2
5. Песчаники слюдистые, пестроокрашенные, аналогичные слою 3, с остатками раковин <i>Eotomaria supracingulata</i>	0,5
6. Алевролиты бурые, слюдистые с редкими серовато-зелеными пятнами. Много остатков раковин <i>Eotomaria</i> sp., <i>Sinuites</i> sp., <i>Angarella lopatini</i> Ass., неопределенные остатки ракообразных	0,7
7. Частое переслаивание серовато-зеленых мелкозернистых песчаников (3–7 см) с красно-бурыми слюдистыми алевролитами. Внутри слоя — прослой песчаника (5 см) с мелкой фосфоритовой галькой и обломками панцирей ракообразных. По всему слою встречаются сифоны <i>Padinoceras rugosaeformis</i> Bal., раковины <i>Eotomaria supracingulata</i> Bill. и пелециподы	1,4
8. Алевролиты бурые, комковатые, слюдистые. В основании слоя — тонкий прослой (5 см) серого песчаника с фосфоритовой галькой и битой ракушкой. В алевролитах характерны вертикальные ходы дентритофагов, протягивающиеся на 16–20 см. (диаметр 3–5 мм). Встречаются фрагменты <i>Intejoceras angarensis</i> Bal., <i>Evenoceras</i> sp. и створки лингулов.	0,7
9. Песчаники полимиктовые, косослоистые с аргиллитовой галькой и битой ракушкой лингуловид.	0,4
10. Алевролиты бурые, слюдистые, с остатками <i>Angarella</i> sp.	0,4
11. Песчаники серые, мелкозернистые, глинистые, слабо сцепленные, комковатые, с прослойками и неправильными включениями бурых алевролитов. Много ходов дентритофагов (как в слое 8), фрагменты	

*Intejoceras unguiculatum* Bal., остатков раковин *Eotomaria* cf. *supracingulata* Bill., *Angarella* sp. и пелеципод.

12. Алевролиты зеленовато-серые, слюдистые с тонкими линзовидными прослойками бурого и зеленовато-серого, мелкозернистого песчаника. Встречаются раковины ангарелл.

13. Алевролиты слюдистые, зеленовато-серые, характерные для нижней части мамырской свиты, с ядрами раковин ангарелл, следами червей рода *Arthrophicus* и деформированными отпечатками скелетов кишечнополосных *Conularia* sp.

14. Алевролиты серовато-зеленые, комковатые, со следами *Arthrophicus* sp.

15. Песчаники зеленовато-серые, мелкозернистые с тонкими прослойками алевролитов

16. Алевролиты серовато-зеленые

17. Алевролиты комковатые, зеленовато-серые, с известковистыми карбонатными конкрециями, из которых собраны остатки раковин *Girardovia musculus* Andr., гастропод *Liospira subconcaave* Bill., отпечатки скелетов *Conularia* sp.

18. Алевролиты темно-зеленовато-серые, почти черные, тонкослоистые, слюдистые, с тонкими пропластками мелкозернистых зеленовато-серых песчаников. Встречаются ходы *Arthrophicus*.

19. Алевролиты серовато-зеленые с подчиненными прослойками аргиллитов и мелкозернистых песчаников серой и зеленовато-серой окраски и ходами *Arthrophicus*.

1,7

0,3

0,3

0,5

0,3

0,5

2,5–3,0

0,3

4,0–4,5

Общая мощность 18–19 м.

В слоях 12 и 13 характер пород и состав фауны изменяются. Пестроцветные породы бадарановской свиты сменяются серовато-зелеными алевролитами нижней подсвиты мамырской свиты. Непрерывность осадконакопления подтверждается совместным нахождением в слое 13 ангарелл и форм, характерных для криволуцкого горизонта юга платформы (*Arthrophicus* и *Conularia*).

Общая мощность слоев с фаунистическими остатками подзоны *Intejoceras* в центральных и северо-западных участках Иркутского амфитеатра составляет 110–150 м.

В Северо-Западном Прибайкалье немногочисленные ископаемые формы зоны *Angarella* встречаются в породах суринской свиты. Выделить подзоны не удается. Суринская свита, установленная в бассейнах рек Кунермы и Окунайки, представлена толщей параллельно- и косослоистых красноцветных песчаников с прослойками гравелитов и гравийных конгломератов. В верхней части свиты преобладают бурые алевролиты и аргиллиты с прослойками лиловых и бурых песчаников, в нижней — найден фрагмент *Proterosameroceras* sp. Мощность свиты, 530–600 м (Лобанов, Сендеров, Дащекевич, 1964).

В Нийско-Джербинской впадине фаунистический комплекс зоны *Angarella* представлен обеими подゾонами. Подゾоне *Pseudomera* — *Bio-Igina* соответствуют терригенно-карбонатные сероцветные отложения верхней части устькутской свиты мощностью 30–80 м. Элементы комплекса подゾоны *Intejoceras* обнаружены на р. Пилке (правый приток р. Лены) в зеленовато-серых доломитистых песчаниках и алевролитах (21 м) и в отложениях нижней части (8–10 м) криволуцкой свиты на р. Лене у дер. Половники.

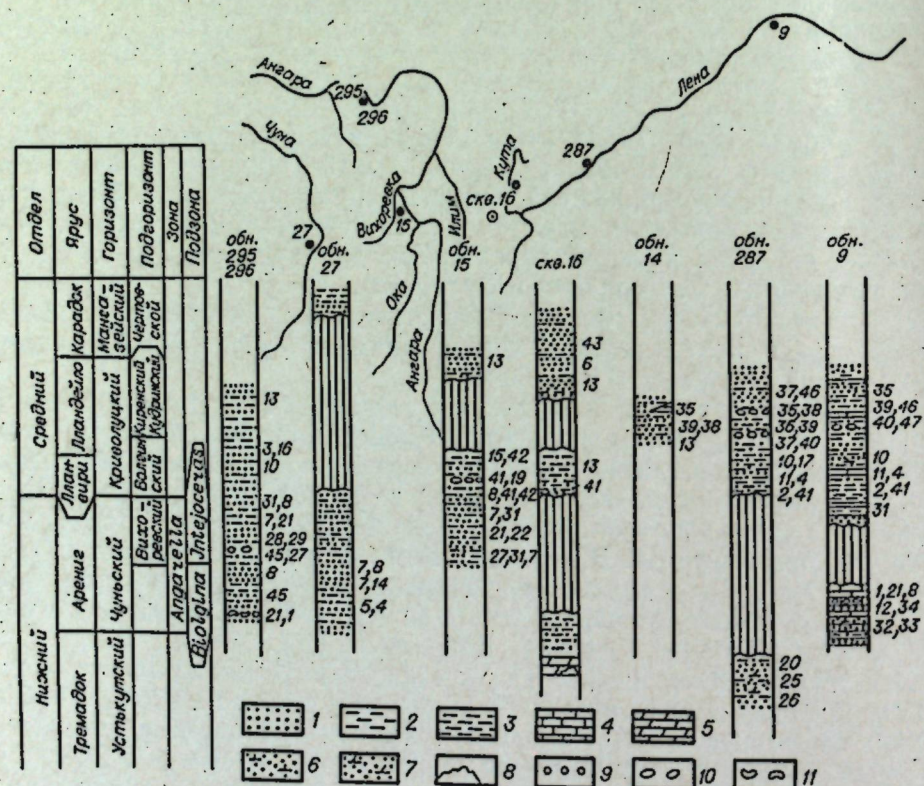
Описание вышеприведенных отложений и выяснение их соотношения с подстилающими породами целесообразно начать со стратотипического разреза криволуцкого горизонта на р. Лене у дер. Кривая Лука (обн. 287). Породы, содержащие фаунистические остатки волгинского подгоризонта среднего ордовика, перекрывают отложения казимировской свиты.

Казимировская свита в верхнем течении р. Лены представлена доломитистыми зеленовато- и розовато-серыми песчаниками и алевролитами (мощность 25–30 м.). У дер. Казимировой найдены в массе

вом скоплении моноплакофоры, принадлежащие новому, еще неописанному роду. У дер. Кривая Лука такие же моноплакофоры встречены вместе с *Tropidodiscus* sp., *Pseudoscenella* sp., которые на р. Бирюсе обнаружены в отложениях, относящихся к верхнему тремадоку. Эти данные позволяют предполагать, что в обнажении у дер. Кривая Лука из разреза выпадают отложения чуньского горизонта, соответствующие зоне *Angarella*.

Фиксируя изменение разреза на запад от стратотипического района, необходимо отметить, что руководящий для киренского подгоризонта комплекс цефалопод прослеживается только до р. Куты. На левом берегу р. Куты в 0,5 км ниже устья р. Турыма (см. рисунок, обн. 14) в светло-серых разнозернистых известковистых песчаниках прибрежных фаций с обильным лингуловым ракушняком найдены в сильно обедненном составе цефалоподы киренского подгоризонта. Далее на запад руководящие формы киренского подгоризонта не установлены.

Ближайшая на запад от стратотипического разреза точка, где были изучались пограничные между нижним и средним ордовиком слои, расположена в междуречье рек Илим и Лены, на р. Иреек (скважи-



Сопоставление разрезов изученных обнажений.

1 — песчаник; 2 — алевролит; 3 — аргиллит; 4 — известняк; 5 — доломит; 6 — песчаник известковистый; 7 — песчаник доломитистый; 8 — строматолиты; 9 — оолиты; 10 — конкреции; 11 — конгломерат.

Цифрами с правой стороны колонок обозначено местонахождение фауны: 1 — *Biolgina sibirica* Z. Max.; 2 — *Homotelus lenensis* Z. Max.; 3 — *Homotelus* sp.; 4 — *Basilicus* sp.; 5 — *Hystri-Evenkina lenica* (Gir.); 6 — *Isalaux* sp.; 7 — *Angarella lopatini* Ass.; 8 — *Angarella* sp.; 10 — *Lingula* sp.; 11 — *Hesperorthis braithophorus* Coop.; 12 — *Eoconulus* sp.; 13 — *Lingula* sp.; 14 — *Tolmachovia concentrica* Kob.; 15 — *Girardevia musculus* Andr.; 16 — *Girardevia* sp.; 17 — *Lophospira abnormis* Ulr.; 18 — *Lophospira* sp.; 19 — *Liospira subconcaave* Ulr.; 20 — *Tropidodiscus* sp.; 21 — *Eotomaria cf. supracingulata* Bill.; 22 — *Sinulites* sp.; 23 — *Paraphistoma quadrilaterum* (Schl.); 25 — *Pseudoscenella* sp.; 26 — *Kazmirovera* sp. nov.; 27 — *Inteojeras angarensis* Bal.; 28 — *Evenoceras angarensis* Bal.; 29 — *Evenoceras rozhcovense* Bal.; 30 — *Evenoceras* sp.; 31 — *Padunoceras rugosaeforme* Bal.; 32 — *Levisceras mercurius* (Bill.); 33 — *Rusnoceras* sp.; 34 — *Ellesmeroceras tchunense* Bal.; 35 — *Tungusceras tunguskense anomatum* Bal.; 39 — *Hemibelloceras ellipsoidalis* Bal.; 40 — *Sactoceras minimum* B.; 41 — *Arthrophiclus* sp.; 42 — *Conularia* sp.; 43 — *Stigmataella ilimica* Modz.; 45 — *Lobendoceras emarginatum* Teich. et Glen.; 46 — *Tungusceras sphaerocentrum* Bal.; 47 — *Sactoceras stolbovense* Bal.

ны 13, 15, 16, 18). Наиболее полный разрез вскрыт скв. 16. Нижнюю часть ийской свиты подстилают доломитизированные известиями и строматолитовые карбонатные породы устькутской свиты. Ийская свита представлена серовато-зелеными, красно-бурыми, сильнослюдистыми, листоватыми алевролитами, которые перекрываются двухметровым прослоем зеленовато-серого слюдистого песчаника. Выше залегают зеленовато-серые слоистые и комковатые алевролиты нижней части мамырской свиты со следами *Arthrophiclus* sp. и раковинами лингул. У кровли нижнемамырской подсвиты встречаются красноцветные породы. Мощность подсвиты (по данным изучения керна скважин) 42 м.

Верхняя подсвита мамырской свиты представлена кварцевыми, мелко- и среднезернистыми, красно-бурыми и буровато-фиолетовыми песчаниками, в которых известны находки мшанок *Stigmataella ilimica* Modz. и трилобитов *Isalaux* sp. Эти формы характерны для мангейского горизонта. Верхнемамырская подсвита в районе р. Илма часто слагает водораздельные участки. Мощность ее до 160 м.

Аналоги киренского подгоризонта на р. Илме, вероятно, выпадают из разреза. Это доказывается тем, что нижняя подсвита мамырской свиты содержит только следы *Arthrophiclus*, характерные для волгинского подгоризонта, и остатки лингул, а в верхнемамырских песчаниках найдены уже мангейские формы. Это согласуется также и с тем, что восточнее, на р. Куте, породы киренского подгоризонта представлены, как отмечалось, песчаниками прибрежных фаций. Предсреднеордовикский перерыв на р. Илме, так же как и на р. Лене, соответствует зоне *Angarella*.

Далее на запад пограничные между нижним и средним ордовиком слои вскрываются в вышеописанном береговом обнажении на р. Вихоревой (обн. 15) и по выработкам вдоль автострады Братск—Усть-Илимск. В отличие от разрезов на р. Лене у дер. Кривая Лука и на реках Куте и Ирееке наблюдается непрерывный разрез нижнего и среднего ордовика, и никаких-либо следов перерыва не устанавливается.

Более верхние слои волгинского подгоризонта изучались в выработках вдоль автострады, в 6 км юго-восточнее дер. Анчериково, в 300 м от берега р. Вихоревой. Прослежен контакт нижне- и верхнемамырской подсвит. Нижнемамырская подсвита представлена зеленовато-серыми алевролитами и аргиллитами, в верхней части (1,5—2,5 м) они приобретают красно-бурую окраску. В красноцветных породах этой подсвиты найдены трилобиты и брахиоподы волгинского подгоризонта. Перекрывающие песчаники верхнемамырской подсвиты содержат только лингуловый ракушняк, что не позволяет установить их возраст. Красноцветность пород с волгинским комплексом и отсутствие остатков фауны киренского подгоризонта в перекрывающих породах указывают на возможный перерыв в осадконакоплении, соответствующий, вероятно, киренскому подгоризонту. Следовательно, можно говорить о возможном перерыве в осадконакоплении внутри отложений среднего ордовика в бассейне р. Вихоревой.

На запад и юго-запад стратиграфический интервал перерыва в осадконакоплении увеличивается и отвечает всему криволукскому и, вероятно, части мангейского времени. Здесь на размытую поверхность бадарановской свиты (верхняя часть зоны *Angarella*) ложатся терригенные красноцветы братской свиты. Нижняя часть братской свиты ориентировано сопоставляется с баксанским подгоризонтом. Породы братской свиты распространены от р. Бирюсы до р. Илма. На р. Илме братская свита перекрывает песчаники верхнемамырской подсвиты. Западнее рек Оки и Вихоревой мамырская свита из разреза выпадает и входящие в состав братской свиты красноцветные алевролиты и аргиллиты с прослоями голубовато-серого глинистого песчаника ложатся сра-

зу на породы бадарановской свиты. В братской свите найдены строматопоры *Beatricea* sp., характерные для отложений верхнего ордовика Сибирской платформы и ракообразные *Chacharejocaris* sp., находки которых известны также в песчаниках верхнемамырской подсвиты.

На севере и северо-западе Иркутского амфитеатра на участке широтного течения р. Ангары (обн. 295, 296) отмечается постепенный переход между отложениями нижнего и среднего ордовика. На левом берегу р. Ангары у дер. Рожково эта граница проходит внутри литологически единой пачки, сложенной зеленовато-серыми алевролитами, аргиллитами и мелкозернистыми песчаниками. Мощность пачки 40 м. В нижней ее части (15 м) отмечаются песчано-известковистые караваебобразные конкреции и найден комплекс форм подзоны *Intejoceras*. Выше, в тех же породах, найдены органические остатки волгинского подгоризонта — трилобиты *Homotelus*, ракообразные *Girardevia* sp., гастроподы *Lophospira* sp. и обломки раковин лингулид.

На восток и северо-восток от стратотипического разреза криволуцкого горизонта пограничные слои между нижним и средним ордовиком вскрываются на правом берегу р. Лены, в 4 км выше дер. Половинки (обн. 9). Криволуцкая свита с базальным песчаником (1,0—1,5 м) в основании и фосфоритовой галькой, ложится на устькутскую свиту, верхняя часть которой содержит комплекс форм подзоны *Pseudomera* — *Biolgina*. Нижние слои криволуцкой свиты (8—10 м) не содержат органических остатков среднего ордовика, но здесь встречаются фрагменты *Padinoceras rugosaeforme* Bal. Нахождение этого вида в комплексе со среднеордовикскими формами неизвестно, все его находки приурочены к подзоне *Intejoceras* (Бялый, 1971<sub>2</sub>).

Фауна волгинского облика появляется выше находок этих цефалопод в непрерывном разрезе литологически однородной пачки. На этом основании мы считаем, что нижняя часть криволуцкой свиты является нижнеордовикской. Кратковременный перерыв в осадконакоплении фиксируется внутри зоны *Angarella*. Выше в подошве волгинского подгоризонта он не отмечается.

Изложенный материал позволяет сделать следующие выводы.

Кроме *Biolgina*, которая известна из аренига Сибирской платформы и Северо-Востока СССР (Чугаева, 1973), в составе комплекса организмов нижней подзоны зоны *Angarella* находятся головоногие *Rusnoceras*, характерные для верхнего канадиана Северной Америки (Ulrich a. oth., 1942). В верхней подзоне найдены два вида головоногих рода *Lobendoceras*, представители которого известны из нижнего ордовика Австралии, сопоставляемого с верхним канадианом (Teichert, Glenister, 1954). Наличие этих форм дает основание рассматривать вмещающие отложения как аналоги аренигского яруса.

Поскольку в некоторых районах изученной территории существует постепенный переход между отложениями нижнего и среднего ордовика, то можно полагать, что в разрезе присутствуют отложения ллантирна.

Следует отметить тот факт, что подзона *Intejoceras*, так же как толлевский горизонт Таймыра и сиенский горизонт Северо-Востока СССР, находится выше отложений с *Biolgina* и перекрывается отложениями с *Hesperorthis*, *Euenkina*, *Calliops*.

## ЛИТЕРАТУРА

Андреева О. Н. Стратиграфия ордовикских отложений р. Лены и р. Иlima. — В кн.: Материалы по геологии Сибирской платформы. М., Госнаучтехиздат, 1955, с. 107—128.

Бялый В. И. К палеогеографии ордовика Иркутского амфитеатра на рубеже ранней и средней эпохи. — В кн.: Материалы по геологии Сибирской платформы и смежных областей. Иркутск, Вост.-Сиб. кн. изд-во, 1971<sub>1</sub>, с. 167—171.

Бялый В. И. Стратиграфическое значение интеноциерид и возможные причины их эндемизма. Тезисы докладов III Всесоюзного коллоквиума по наутилоидам. Л., 1971<sub>2</sub>, с. 22—24.

Жданов В. К вопросу о выпадении из разреза ордовика отложений мамырской свиты на Ийско-Удинском водоразделе. — В кн.: Материалы по геологии и полезным ископаемым Иркутской области. Вып. 4 (XXXI). Иркутск, Вост.-Сиб. кн. изд-во, 1962, с. 47—53.

Занин Ю. Н. Ордовикские и силурийские отложения Иркутского амфитеатра. Новосибирск, «Наука», 1970, с. 218.

Занин Ю. Н., Огненко Л. В. Стратиграфия ордовика юго-западной части Иркутского амфитеатра. — «Сов. геология», 1964, вып. 4, с. 109—114.

Лебедь Г. Г. Краткий очерк стратиграфии ордовика центральной и восточной частей Иркутского амфитеатра. — В кн.: Геологическое строение и нефтегазоносность Иркутского амфитеатра. М., Госнаучтехиздат, 1960, с. 190—234.

Лебедь Г. Г., Одинцов М. М., Труфанова А. П. Ордовикские отложения Иркутского амфитеатра. — В кн.: Геология СССР. Т. XVII. М., Госнаучтехиздат, 1962, с. 178—194.

Лобанов М. П., Сендеров М. А., Дашкевич Л. М. Ордовикские отложения бассейнов рек Кунермы и Окунайки. — В кн.: Новые данные по геологии, нефтегазоносности и полезным ископаемым Иркутской области. М., «Недра», 1964, с. 121—129.

Мазур В. Б., Кононов А. И. О геологическом строении Илимского вала. — В кн.: Геологическое строение и нефтегазоносность Иркутского амфитеатра. М., Госнаучтехиздат, 1960, с. 130—152.

Москаленко Т. А. Конодонты криволуцкого яруса (средний ордовик) Сибирской платформы. М., «Наука», 1970, с. 116.

Огненко Л. В. Трилобиты нижнего ордовика. — В кн.: Биостратиграфия кембрийских отложений юга Сибирской платформы. М., «Недра», 1974, с. 109—130.

Розова А. В. Биостратиграфия и трилобиты верхнего кембрия и нижнего ордовика северо-запада Сибирской платформы. М., «Наука», 1968, 195 с.

Чугаева М. Н. Биogeография конца раннего ордовика. — В кн.: Биостратиграфия нижней части ордовика Северо-Востока СССР и биogeография конца раннего ордовика. М., «Наука», 1973, с. 238—280.

Ядренинина А. Г. Брахиоподы верхнего кембрия и ордовика северо-запада Сибирской платформы. Новосибирск, Зап.-Сиб. кн. изд-во, 1974, 164 с.

Teichert C., Glenister B. F. Early Ordovician cephalopod faunas from northwestern Australia. — „Bull. Amer. Paleontol.”, 1954, vol. 35, № 150, 112 p.

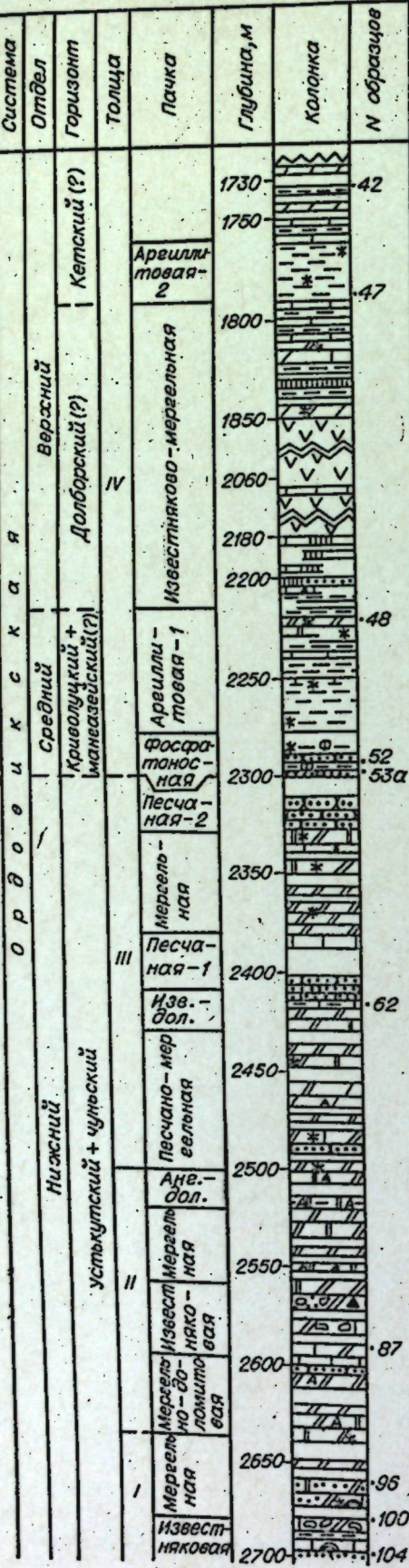
Ulrich E. O., Foerste A. F., Miller A. K., Furnish W. M. Ozarkian and Canadian cephalopods. Pt I. Nautilicones. — „Geol. Soc. America, Spec. Paper 37”, 1942, 157 p.

Л. Г. Маркова, Е. П. Марков

## СТРАТИГРАФИЯ И ЛИТОЛОГИЯ ОРДОВИКСКИХ ОТЛОЖЕНИЙ ЦЕНТРАЛЬНОЙ ЧАСТИ ТУНГУССКОЙ СИНКЛИЗЫ

В центральных частях Тунгусской синеклизы отложения ордовика находятся под мощным чехлом осадочно-вулканогенных пород верхнего палеозоя и триаса, поэтому вещественный состав, мощности и другие геологические параметры остались неясными. К настоящему времени благодаря буровым работам Красноярского геологического управления, проведенным в 1970—72 гг. в бассейне среднего течения р. Нижней Тунгуски получены новые данные по этим вопросам. Здесь в 70 и 375 км ниже пос. Тура Туринской опорной и Тутончанской параметрической скважинами (TO-2 и ТП-1) вскрыты ордовикские отложения. Стратиграфическое расчленение этих отложений авторы проводят по остаткам немногочисленной фауны, а также по литологическим данным — сопоставлению с хорошо стратифицированными разрезами ордовика северо-восточного и южного обрамлений синеклизы. В разрезе ордовикских отложений, вскрытых скв. TO-2, выделены шесть горизонтов: устькутский, чуньский, криволуцкий, мангейский, долборский, кетский.

Нижний ордовик. В настоящее время положение нижней границы ордовика в скв. TO-2 не установлено. Описание дается с глубины 2680—2700 м. Нижний ордовик представлен тремя толщами. Достовер-

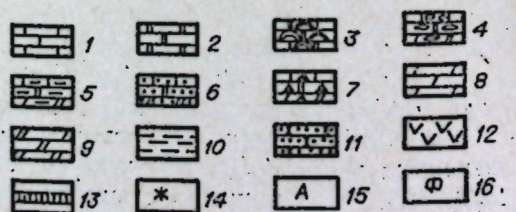


ность отнесения толщи I к ордовику подтверждается палеонтологическими данными. По литологическим особенностям толща I, мощностью 63 м, подразделяется на две пачки: нижнюю — известняковую и верхнюю — пестроцветную мергельную (см. рисунок). Нижняя (известняковая) пачка сложена доломитовыми известняками темно-серыми и черными, глинистыми, алевритистыми, мелкокристаллическими, в основании оолитовыми. Оолиты диаметром до 0,6 мм имеют радиально-лучистое строение с двумя-тремя концентрическими оболочками. Под микроскопом видны вкрапленники пирита. Алевритовая примесь (2—3%) состоит из окатанных и полукатанных зерен кварца, плагиоклаза и листочек мусковита. Содержание доломита в известняках достигает 20—25%, нерастворимого остатка — 18—20%. В верхней части пачки содержится прослой обломочного песчанистого известняка. Галька диаметром 1,0—1,5 см округлая и уплощенная. В основании и вблизи кровли пачки расположены два прослоя песчаника темно-серого, мелкозернистого, с кальцитовым и ангидрито-доломитовым цементом (1,6 и 0,4 м). Мощность пачки около 20 м.

Верхняя (мергельная) пачка сложена преимущественно доломитовыми алевритистыми мергелями, в отдельных прослоях переходящими в доломитистые алевролиты. Породы бордово-красные, серо-зеленые.

#### Ордовикские отложения, вскрытые Туринской опорной скважиной (ТО-2).

1 — известия, 2 — доломиты, 3 — водорослевые известия и доломиты, 4 — обломочные породы, 5 — глинистые породы, 6 — песчанистые породы, 7 — кремнистые породы, 8 — известковые мергели, 9 — доломитизированные мергели, 10 — аргиллиты, 11 — песчаники, 12 — интрузивные породы, 13 — породы, ороговикованные на контакте с траппами, 14 — красноцветные породы, 15 — ангидриты, 16 — фосфориты.



ные, серые и темно-серые. В шлифах наблюдается микропереслаивание криптоизернистых доломитов, обогащенных бурыми гидроокислями железа, и разнозернистых алевролитов с цементом, состоящим из мелкозернистого доломита или кальцита. Кластический материал представлен зернами кварца (65%), плагиоклаза (30—35%) и листочками мусковита. Из акцессорных минералов присутствует буроватый лейкоксен. В средней части пачки расположен слой (5,4 м) доломитовых известняков темно-серых и серых, водорослевых, глинистых, местами алевритистых, переходящих в известняковые доломиты. Мощность пачки — 43 м.

Толща II сероцветных карбонатных пород подразделяется на пачки: мергельно-доломитовую, известняковую, мергельную и ангидрито-доломитовую (см. рисунок).

В составе мергельно-доломитовой пачки преобладают доломиты серые и темно-серые глинистые, песчанисто-алевритистые, нередко ангидритистые, местами водорослевые и псевдооолитовые; тонкокристаллические и пелитоморфные, в отдельных прослоях известковистые, с примазками черного аргиллита по стилолитовым швам. Ангидрит (до 20—40% CaSO<sub>4</sub>) присутствует в виде включений диаметром 0,06—0,20 мм. В составе кластической примеси — корродированные зерна кварца, свежего плагиоклаза, листочек слюды. Из акцессориев встречается лейкоксен.

В доломитах содержатся прослои мергелей, известняков и песчаников. Наиболее часто встречаются прослои зеленовато-серых мергелей мощностью 0,5—3,0 м. Известия темно-серые, пелитоморфные и тонкокристаллические, образуют два прослоя мощностью 1,7 и 0,4 м. Песчаники светло-серые, кварцевые, мелкозернистые с доломитовым цементом; в середине и в кровле прослон мощностью 0,4 и 1,6 м. Мощность пачки 42 м.

Известняковую пачку слагают известия темно-серые, тонкокристаллические, водорослевые, часто оолитовые. Оолиты кальцитовые, имеют радиально-лучистое строение, диаметр 0,3—1,0 мм; в шлифе участками наблюдается доломитизация оолитов. Встречаются зерна кварца алевритовой размерности. В верхней части пачки — слой темно-серого доломита с пропластками черного аргиллита (5 м). Текстура водорослевая или конгломератовидная. Галечка уплощенная диаметром около 1 см; мощность пачки около 30 м.

В данной пачке Н. Ф. Смирновым найдены брахиоподы *Apheorthis* sp. (гл. 2567 м; определение А. Г. Ядренкиной), а авторами — конодонты *Paltodus variabilis* Furs. (гл. 2600 м; определение Г. П. Абaimовой). Брахиоподы свидетельствуют об устькутском возрасте вмещающих пород, а конодонты встречены на юге Сибирской платформы совместно с *Cordyloodus proavis* и характерны для tremadока.

В мергельной пачке преобладают мергели доломитовые темно-серые и зеленоватые, нередко ангидритистые. Под микроскопом наблюдается чередование разнозернистых микропрослоев. Размеры доломитовых зерен колеблются от 0,02 до 0,10 мм. Некоторые из микропрослоев насыщены кластическими зернами кварца алевритовой размерности. Среди мергелей в пачке содержатся маломощные прослои коричневато-красных аргиллитов. Вблизи кровли пачки расположена слой (3 м) черного известковистого псевдооолитового доломита, переходящего к кровле в темно-серые ангидрито-доломиты. Мощность пачки — 46 м.

Ангидрито-доломитовая пачка сложена преимущественно ангидрито-доломитами темно-серыми и серыми, разнозернистыми, неравномерностяжениями халцедона. Оолиты сложены мелкозернистым доломитом, покрыты темной оболочкой и лишены признаков радиально-лучистого

и концентрического строения (псевдоолиты). Ангидрит (25—30% породы) образуют крупные разрозненные идиоморфные кристаллы. Мощность пачки 20 м, всей толщи — 137 м.

Толща III пестроцветных карбонатно-терригенных пород включает несколько пачек: песчано-мергельную, известняково-доломитовую, песчаную-1, мергельно-доломитовую и вновь песчаную-2 (см. рисунок).

Песчано-мергельная пачка слагается преимущественно буро-красными и зелеными доломитовыми мёргелями, нередко ангидритистыми и песчанистыми, иногда конгломератовидными. Под микроскопом видно, что глинисто-железистый материал образует линзовидные сгустки диаметром до 1 мм среди цементирующей массы доломита. К пелитовым сгусткам приурочены хорошо окатанные зерна кварца диаметром 0,10—0,15 мм. В песчанистых разностях наблюдается гнездовидное размещение кластического материала, состоящего из окатанных и полуокатанных зёрен, диаметром 0,2—0,3 мм, кварца (95%) и полевого шпата (5%). Из акцессорных минералов встречается турмалин.

В гнездовидных сгущениях кластического материала широко развит ангидрит, разъедающий края некоторых кварцевых зерен и замещающий первичный доломитовый цемент. Кроме того, ангидрит выполняет микротрешины, развитые по доломитам, что свидетельствует о его вторичном происхождении.

Среди мергелей присутствуют прослои песчаников (от 1,0 до 1,5 м), светло-серых и розовых, от крупно- до мелкозернистых, переходящих в алевролиты. Кластический материал состоит из кварца (95—97%), полевых шпатов (3—5%). Цемент поровый и соприкосновения, доломитовый и ангидритовый, причем ангидрит нередко замещает полностью или частично зерна кварца. Из акцессорных минералов встречены рутил и турмалин. Мощность пачки предположительно 70 м.

Известняково-доломитовая пачка — переслаивание песчано-алевритистых и глинистых, местами ангидритистых темно-серых и серых известняков и доломитов с пропластками черного аргиллита. Породы тонко- и мелкокристаллические и пелитоморфные, в некоторых прослоях содержатся стяжения опала диаметром 0,2—0,5 мм, нередко пропитанные гидроокислами железа. Мощность прослоев от 0,3—0,5 см до 1 м. В составе кластической части пород отмечаются зерна кварца (92—98%) и полевых шпатов (2—8%, микроклин, плагиоклазы); диаметр зерен 0,20—0,25 мм. Из рудных минералов присутствует магнетит, из акцессорных — турмалин. В основании пачки — слой доломитового мергеля (2 м), содержащего прослон светло-серых песчаников с глинисто-карбонатным цементом (0,1—0,6 м). Мощность пачки около 20 м.

Песчаную-1 пачку слагают массивные светло-серые песчаники. Кластогенные зерна различной окатанности и диаметром 0,1—0,4 мм представлены кварцем (94%) и полевыми шпатами (микроклин, плагиоклаз). В небольшом количестве встречаются нодули кремнезема шаровидной формы, диаметром 0,12 мм. Из акцессорных минералов присутствуют турмалин, белый лейкоксен, из рудных — магнетит. Цемент доломитовый, выполнения пор и зависимой цементации. Мощность пачки по каротажной диаграмме 25 м (керна 6 м).

В составе мергельно-доломитовой пачки преобладают мергели доломитовые, пестроцветные, нередко алевритистые и песчанистые, в отдельных прослоях известковистые. Под микроскопом видно микрослоистое распределение глинисто-железистого материала и кластических зерен среди доломитовой массы. Встречаются стяжения кремнезема. Ромбэздры доломита часто развиваются по кальциту, кварцу и халцедону. Содержатся маломощные прослои (0,1—1,0 м) розовых известняков, светло-зеленых доломитов, серых и красных известковистых песчаников. В песчаниках кластическая часть на 98% состоит из

кварца. Встречается сфеен. Цемент кальцитовый, поровый. Мощность пачки 55—57 м.

В песчаной-2 пачке (судя по шламу) преобладают песчаники белые, сливные, кварцевые (на 95%); 5% породы составляют обломки кварцитов и мелкие стяжения кремнезема. Диаметр зерен 0,1—0,3 мм. Наблюдается регенерация зерен кварца. Цемент соприкосновения, местами регенерационный. Отдельные зерна кварца содержат включения белого хлопьевидного лейкоксена и хорошо окатанные зерна циркона. Присутствуют обломки темноцветных минералов, замещенные гидроокислами железа. Мощность пачки 10—30 м (в пределах верхних 20 м изменяется каротажная характеристика, поэтому возможно, что среди песчаников появляются аргиллиты).

Мощность толщи III (пестроцветной) 200 м.

По расположению в разрезе между фаунистически охарактеризованными отложениями устькутского яруса и среднего ордовика, а также на основании литологического сходства с большинством из известных разрезов толща III отнесена к чуньскому горизонту нижнего ордовика. Обладая характерным обликом (преимущественно пестроцветная окраска и песчанистость пород), данная толща может быть выделена в качестве самостоятельной туринской свиты, которая, вероятно, соответствует чуньскому горизонту.

Средний и верхний ордовик. Толща IV — аргиллитов, мергелей и известняков, вскрытая в интервале глубин 2300—1725 м (исключая пластовую интрузию тряпов; см. рисунок), подразделяется на пачки: фосфатоносную, аргиллитовую-1, известняково-мергельную и аргиллитовую-2.

В основании толщи залегает фосфатоносная пачка, состоящая из аргиллитов с прослойями фосфатоносных песчаников, алевролитов и известняков. Аргиллиты коричнево-красные, лиловые, иногда темно-серые, слюдистые, алевритистые, известковистые и бескарбонатные, тонко- и микрослоистые. Известняки песчано-алевритистые, переходящие в песчаники, глинисто-железистые, насыщенные частично фосфатизированным органогенным дегритом (брахиоподы, мишаки, конодонты); мощность прослоев 0,05—0,50 м.

Песчаники серовато-розовые и красные, крупно- и среднезернистые, в отдельных прослоях содержащие зерна гравийной размерности (0,4—1,0 мм, в основном — 0,8 мм). Реже встречаются мелкозернистые разности и алевролиты. Зерна хорошо окатаны. Кластический материал представлен кварцем (94—98%), микроклином и плагиоклазом (2—6%). Из акцессорных минералов наиболее часто встречаются окатанные зерна циркона, затем бурый и желтый турмалин, белый лейкоксен, красновато-бурый рутил, много зерен магнетита. Цемент кальцитовый и глинисто-железистый, выполнения пор, соприкосновения, независимой цементации и базальный. От 5 до 17% песчаных пород, составляют стяжения кремнезема диаметром 0,1—0,6 мм, местами они цементируют зерна кварца и нередко фосфатизированы или пропитаны гидроокислами железа.

Фосфатный материал в песчаниках присутствует в виде гальки, обломков фосфатизированных раковин беззамковых брахиопод и органогенного дегрита, составляя до 25% породы. Галька аморфного фосфата в виде окатанных желвачков от гравийной до алевритистой размерности. Нередко такие желвачки включают мельчайшие зерна кварца и тонко рассеянный глинистый материал. Мощность фосфатоносной пачки до 15 м.

Наличие фосфатной гальки и фосфатизированных скелетных остатков фауны в составе псаммитовых разностей пород характерно для базальных слоев среднего ордовика большинства разрезов Сибирской платформы.

Аргиллитовая-1 пачка сложена аргиллитами коричневато-красными, слюдистыми, алевритистыми, аналогичными описанным в предыдущей пачке, слабоизвестковистыми, бескарбонатными, переходящими местами в алевролиты. Под микроскопом видно гнездовидное и линзовидно-микрослоистое распределение угловатых зерен кластогенного материала алевротовой размерности, состоящего из кварца (90—98%), полевых шпатов (2—8%), биотита и мусковита. Терригенный материал в гнездах сцеплен гидроокислами железа, в единичных случаях — халцедоном. Изредка встречаются фосфатизированные обломки раковин и следы илоедов. В верхней половине пачки содержатся прослои органогенно-детритовых песчанистых известняков и мергелей. В кровле среди шлама появляются зеленовато-серые доломиты. Мощность пачки 70 м.

Выше залегает известняково-мергельная пачка, состоящая из известняков с желваками халцедона и прослоем песчаника. В пределах верхних 25 м породы скарнированы и ороговикованы на контакте с нижним из двух траповых тел, вскрытых скважиной в интервале глубин 1846—2180 м. Интрузии разделены маломощным горизонтом мраморизованных известняков. По данным Е. Н. Родновой (устное сообщение), нижняя интрузия представлена темно-серыми, пойкилофитовыми, оливиновыми долеритами, верхняя — габбро-долеритами.

Выше интрузий на протяжении 60 м следуют сначала ороговикованные глинистые породы, затем — в той или иной степени измененные, мраморизованные известняки светло-, темно-серые, зеленоватые, органогенные, узловатые, нередко содержащие линзовидные прослои мергелей и аргиллитов. Среди шлама встречаются красные мергели. Известняки выше сменяются пачкой коричневато-красных аргиллитов, вмещающих описываемую толщу. Аргиллиты алевритистые, плотные, тонкоплитчатые, иногда пятнистые. Окраска обусловлена присутствием гидроокислов железа, составляющих до 10% породы. Кlasticический материал (8—12%, иногда до 20%) представлен угловатыми зернами кварца диаметром 0,02—0,06 мм. Участками порода окремнена. В аргиллитах содержится незначительная примесь карбонатного материала (5—8% доломита и 1—3% кальцита). Мощность пачки около 30 м. Выше, судя по шламу, следуют темно- и зеленовато-серые аргиллиты аргиллитовой-2 пачки. Мощность 40 м.

Возраст рассматриваемой IV толщи определен по микрофауне на основании литологических сопоставлений и по положению в разрезе. В фосфатоносной пачке обнаружен богатый комплекс конодонтов (определения Г. П. Абаимовой): *Coleodus clarus* Mosk., *C. simplex* Branson et Mehl., *Cordylodus anomalis* Mosk., *C. primus* Branson et Mehl., *Dichognathus* aff. *extensa* Branson et Mehl., *Drepanodus suberectus* (Branson et Mehl.), *D. subarcuatus* Furnish, *Erismodus* sp., *Lonchodus spinuliferus* Stauff., *L. sp.*, *Microcoleodus asymmetricus* Branson et Mehl., *M. magnicornis* Branson et Mehl., *M. unicornis* Branson et Mehl., *Neocoleodus dutchtownensis* Young. et Cul., *Oneotodus gracilis* (Furnish), *O. variabilis* Lind., *Polycaulodus* sp., *Ptiloconus* sp., *Trichonodella barbara* (Stauff.), *T. sp.*

Данный комплекс конодонтов, по заключению Г. П. Абаимовой и Л. Г. Марковой (Абаимова и др., 1973), характерен для «слоев с *Coleodus* и *Neocoleodus*» (Москаленко, 1970), которые в международной стратиграфической шкале приравниваются ко второй половине лланвирна (граптолитовая зона *Didymograptus murchisoni*).

Учитывая сходство разрезов верхнеордовикских отложений, вскрытых Туинской опорной скважиной, и рек Нижней Чунку и Большой Ниурнды, где долборский горизонт начинается органогенными известняками с желваками кремней, можно допустить, что граница среднего и верхнего ордовика приурочена к подошве кремнистых известняков,

залегающих под интрузией долеритов, т. е. на глубине 2214 м (скв. ТО-2). Тогда пачку красноцветных аргиллитов из верхней части толщи следует сопоставлять с нирудинским подгоризонтом кетского горизонта. Граница ордовика и силура должна пройти где-то в пределах интервала глубин 1698—1763,6 м (пройденного без отбора керна), выше которого залегают известняки и мергели с лландоверийской фауной. По каротажной диаграмме границу можно провести на глубинах 1725 или 1738 м.

В Тутончанской параметрической скважине выход керна из ордовикских отложений составляет всего 1,8%. Поэтому разрез описывается главным образом по шламу (с учетом данных каротажных диаграмм) и является весьма схематичным.

Нижняя граница ордовикских отложений условно проводится в пределах толщи пород, перекрывающих усть-пелятинскую свиту. В нижней части толщи залегает пачка (около 35 м) пестроцветных мергелей и серых кремовых и темно-серых доломитов, с прослоями светло-серых и зеленых песчаников. Данная пачка предположительно может быть сопоставлена с мергельной пачкой I толщи Туинской опорной скважины.

Мергельно-доломитовая пачка маломощна (15 м) и отличается от своего аналога (скв. ТО-2) меньшим содержанием глинистого материала.

Выше залегает ангидрит-доломитовая пачка, аналогичная вскрытой скв. ТО-2 (см. рисунок). Она перекрывается известково-доломитовой пачкой (см. рисунок; толща III, скв. ТО-2), в верхах которой преобладают темно-серые пелитоморфные известняки. Карбонатные породы дважды прорваны интрузиями траппов. Мощность пачки (без учета долеритов) 65 м. Ангидрито-доломитовая и известково-доломитовая пачки могут быть сопоставлены с чуньской свитой среднего течения р. Подкаменной Тунгуски.

Данные пачки перекрываются песчаниками (песчаной-1? пачкой), которые по облику и положению в разрезе уверенно могут быть сопоставлены с байкитской свитой Подкаменно-Тунгусского и Туруханского районов.

К среднему ордовику относится фосфатоносная пачка переслаивающихся мергелей, аргиллитов, алевролитов и песчаников, вскрытая скв. ТП-1. Мергели зеленые, плотные, слабодоломитистые. Аргиллиты темно- и зеленовато-серые, изредка бордово-красные, местами доломитистые и алевритистые, содержат маломощные (1—5 см) прослойки органогенно-детритового известняка. Алевролиты пепельно-серые, разнозернистые, глинистые, известковистые, хрупкие, состоят из полуокатанных и угловатых зерен кварца диаметром <0,01 мм. Присутствуют единичные листочки слюды, а также зерна кварца песчаной размерности (0,2—0,6 мм). Из аксессориев отмечается лейкоксен. Цемент поровый и соприкоснения.

Песчаники серые, темно-серые, зеленоватые, крупно- и среднезернистые, глинисто-известковистые, неравномерно насыщенные черными фосфатными зернами гравийной размерности (1—5 мм). Песчаник (под микроскопом) состоит из хорошо окатанных зерен кварца диаметром 0,6—1,0 мм; цемент поровый, кальцитовый. Фосфатный материал присутствует в виде фосфатизированных окатанных обломков раковин различных морских организмов (чаще всего брахиопод), а также в виде кварцево-песчаной галечки фосфоритов.

Галечка, диаметром 1—5 мм, окатанная и полуокатанная, сложена мелкозернистым кварцевым песчаником с базальным цементом, состоящим из фосфата кальция; соотношение кластического материала с цементом примерно 1:1. Местами галечка преобладает, образуя маломощные линзовидные прослойки и гнезда гравелита. Присутству-

ют кремнисто-фосфатные зерна диаметром 0,3—0,4 мм. В единичных случаях наблюдается послойное замещение раковин морских организмов: пирит (в ядре) → кальцит → халцедон → кальцит → халцедон → кальцит. Мощность песчаных и алевролитовых прослоев 0,1—0,2 м; мощность пачки 21 м.

Возраст описываемой пачки не вызывает сомнения: однотипные фосфатоносные образования, вскрытые Туринской опорной скважиной в бассейне р. Подкаменной Тунгуски, а также в разрезах приенисейской части платформы, содержат фауну среднего ордовика.

Фосфатоносная пачка пород (скв. ТП-1) перекрывается пачкой мергелей темно-серых до черных, зеленоватых, в верхней части зеленовато-серых, чаще доломитистых (содержание  $\text{CaMg}(\text{CO}_3)_2$  достигает 10%). Содержание глинистого материала в породах колеблется от 30 до 55%. В зависимости от степени глинистости мергели могут быть массивные или тонкоплитчатые.

Среди мергелей содержатся прослои серых перекристаллизованных органогенно-детритовых известняков, мощностью 1—3 см; встречаются они через 5—15 см. На глубине 1132 м расположен тонкий пропласток (2—3 мм) ярко-красного аргиллита, обогащенного гидроокислями железа (20%  $\text{Fe}_2\text{O}_3$ ). Описываемые породы испытали влияние трапповой интрузии. Мощность пачки 31 м. Мергельная пачка относится к ордовику условно (не охарактеризована фауной). Вполне возможно, что подошва силурийских отложений проходит в основании, а не в кровле мергельной пачки.

## ЛИТЕРАТУРА

Абаймова Г. П., Маркова Л. Г., Ким С. Л. О находках конодонтов и стратиграфия ордovика Туринской опорной скважины.—В кн.: Новые данные по геологии и нефтегазоносности Сибирской платформы. Новосибирск, 1973, с. 28—31. (Труды СИИГГиМС, вып. 167).

Москаленко Т. А. Конодонты криволужского яруса (средний ордовик) Сибирской платформы. М., «Наука», 1970. 116 с. (Труды ИГиГ СО АН СССР, вып. 61).

Т. А. Москаленко

## АШГИЛЛСКИЕ КОНОДОНТЫ НА ГОРНОМ АЛТАЕ

Статья написана по материалам, собранным Е. А. Елкиным и Н. В. Сениковым из терригенной толщи позднеордовикового возраста, развитой на левобережье р. Чагырки в районе с. Усть-Чагырка. В унифицированной региональной стратиграфической схеме ордовикской системы для западной части Алтае-Саянской складчатой области эта толща попадает в верхнюю часть днестренского горизонта.

Геологическое строение рассматриваемого участка сложное, и поэтому палеонтологические сведения приобретают здесь первостепенное значение. Находки граптолитов в верхней части указанной толщи (Обут, Сеников, 1973) позволили установить, впервые на Горном Алтае, присутствие верхней граптолитовой зоны ордовика — зоны *Dicellograptus ornatus* — *Climacograptus superpus*, коррелирующейся с зоной *Dicellograptus anceps* Англии. Наличие ее доказывается видами-индексами *Dicellograptus ornatus* Elles et Wood и *Climacograptus superpus* Elles et Wood и сопровождающим комплексом из *Climacograptus hastatus* T. S. Hall и др. Перечисленные граптолиты найдены в одном

пункте — на левом берегу руч. Тачалова в 1,3 км от его впадения в р. Чагырку. В этой же точке были обнаружены конодонты. Совместное нахождение граптолитов и конодонтов представляет несомненно большой интерес.

По данным Н. В. Сеникова (1976) в интересующем нас разрезе наблюдается такая последовательность пород (снизу вверх):

Мощность, м
1,0
75
3. Алевролиты табачно-серого цвета, мелкозернистые, аркозовые, в трех прослоях (по 10—20 см каждый) существенно кварцевые. Прослои выделяются в виде хорошо прослеживаемых щеток: первый в основании слоя, второй — в его средней части (в 11 м от первого) и третий — в кровле слоя. В верхней части слоя встречаются, также в виде щеток, линзы серых шламовых известняков (до 5—10 см) протяженностью до 10 м. Органические остатки приурочены к прослоям существенно кварцевых алевролитов и известковистым линзам.
28
25
40

В первом прослое определены граптолиты *Fenhsiangograptus extraordinarius* Sobolevskaya, *Paraclimacograptus* sp.; во втором — *Climacograptus supernus* Elles et Wood, хитинозоа *Cyatochilina* и остатки сколекодонтов; в третьем — богатый комплекс, представленный *Dicellograptus ornatus minor* Toghill, *Climacograptus supernus* Elles et Wood, *C. hastatus* T. S. Hall, *Inocaulis* sp., *Glyptograptus* sp. и новыми формами. В линзах известняка содержатся неопределенные остатки остракод и конодонты *Acodus similaris* Rhodes, *Ambalodus triangularis* Branson et Mehl, *Amorphognathus* cf. *duftonius* Rhodes, *Belodina* spp., *Drepanodus* sp., *Hibbardella* (?) *diminuta* (Rhodes), *Oistodus* sp., *Panderodus intermedius* (Branson, Mehl et Branson), *P. cf. unicostatus* (Branson et Mehl), *Phragmodus insculptus* Branson et Mehl и редкие сколекодонты

4. Переслаивание слайцев грязно-серых и сиреневых, глинистых, с кремнистыми породами зеленовато-сиреневого цвета. Органические остатки не найдены

5. Известняки серые и светло-серые, часто с голубоватым оттенком, массивные, однородные, заключающие редкие полипиники-табуляты *Catenipora workmanae* Flower, *Rabdoteletradium* sp. и неопределенные остатки трилобитов, брахиопод, остракод, ругоз, водорослей

Описанная последовательность пород сохраняется и на правом берегу лога Тачалов, хотя на этом участке разрез ордовика охарактеризован палеонтологическими остатками слабее. Однако химическая обработка взятых отсюда образцов пород дала положительные результаты: в аналогах верхней части слоя 3 левобережного разреза найдены конодонты *Ambalodus triangularis* Branson et Mehl и *Amorphognathus* cf. *duftonius* Rhodes.

Таким образом, конодонты обнаружены в образцах, взятых в известняковых линзах, после обработки вмещающей породы раствором уксусной кислоты. В основном они принадлежат мультиэлементному виду *Amorphognathus ordovicicus* Branson et Mehl, в который включены элементы *amorphognathiform* и *ambalodiform* (формальные виды *Amorphognathus* cf. *duftonius* Rhodes и *Ambalodus triangularis* Branson et Mehl). Реже или единичными экземплярами представлены конодонты, принадлежащие формальным таксонам *Acodus similaris* Rhodes, *Belodina* spp., *Drepanodus* sp., *Hibbardella* (?) *diminuta* (Rhodes), *Oistodus* sp., *Panderodus intermedius* (Branson, Mehl et Branson), *P. cf. unicostatus* (Branson et Mehl), *Phragmodus insculptus* Branson et Mehl.

В приведенном комплексе сибирские элементы, если учсть данные изучения ордовиковых конодонтов на Сибирской платформе (Москаленко, 1973), представлены очень скучно, в виде единичных экземпляров *Belodina* spp., *Panderodus intermedius*. В нем явно преобладают виды,

которые характеризуют европейский тип позднеордовикских конодонтов и на основании которых выделена конодонтия зона *Amorphognathus ordovicicus* (Bergström, 1971). Эта зона охватывает самую верхнюю часть карадокского яруса и ашгиллский ярус, т. е. в граптолитовой шкале соответствует верхней части зоны *Pleurograptus linearis*, зонам *Dicellograptus complanatus* и *D. anceps*.

Комплекс конодонтов, типичный для этой зоны, известен в Европе в нескольких местонахождениях: известняк Кейсли (Keisley Limestone) Вестморленда, Северная Англия (Rhodes, 1955), известняк верхнего железорудного горизонта (Kalkbänken des Oberen Erzhorizontes) Грефентальской серии Тюрингии, Восточная Германия (Knüpfel, 1967), известняк Тонфлейзер (Tonflaserkalk) Карнийских Альп, Северная Италия (Serpagli, 1967), известняк Эрбейн (Urbana Limestone) Сьерра Морены, Южная Испания (Fuganti, Serpagli, 1968), известняк Буда (Boda Limestone) в Даларне, Южно-Центральная Швеция (Bergström, 1971).

Определение более узкого временного интервала образования известняков с конодонтами в перечисленных местонахождениях вызывает у исследователей большие затруднения. Известняк Кейсли имеет изолированный выход и тектонические контакты с прилегающими породами. Возраст его определяется только по палеонтологическим данным, главным образом по трилобитам и брахиоподам, на основании изучения которых исследователи были склонны относить его к ашгиллскому ярусу и, в частности, к основанию последнего, хотя единого мнения на этот счет не существует. В последнее время появилась точка зрения о возможно позднеашгилльском возрасте этого известняка (Williams, Strachan and oih., 1972). Высказываются также мнения о рифовом характере известняка Кейсли и о длительном формировании этого рифового тела на протяжении карадока — ашгилля (Lindström, 1959).

Возраст известняков из других названных здесь местонахождений выясняется обычно с помощью трилобитов и конодонтов. Ю. Кюнфер (Knüpfel, 1967), изучив фауну, происходящую из известняка верхнего железорудного горизонта в ордовике Тюрингии, считает, что стратиграфический уровень этого известняка близок к границе карадок — ашгилль или к нижнему ашгиллю. В его корреляционной схеме указанный известняк и известняк Кейсли помещены на уровне зоны *Dicellograptus complanatus*.

Ашгилльский возраст известняков Тонфлейзер в Карнийских Альпах и Эрбейн в Сьерре-Морене устанавливается Э. Серпалли (Serpagli, 1967; Fuganti, Serpagli, 1968) путем сравнения заключенных в них конодонтов с конодонтами из других местонахождений. На основании такого сравнительного анализа выявлено несомненное сходство их состава с комплексом конодонтов из известняка Кейсли. По данным С. Бергстрёма (Bergström, 1971) близок к последнему и комплекс конодонтов, обнаруженный в известняке Буда (Швеция), однако кроме предварительного сообщения других опубликованных сведений об этом комплексе пока нет.

Обзор имеющихся литературных данных убеждает в том, что существующая точка зрения о раннеашгилльском возрасте отложений, заключающих комплекс конодонтов, который в типичном виде представлен в известняке Кейсли, требует дополнительного обоснования, и поэтому к ней следует относиться с осторожностью. В этом отношении находка близкого по составу комплекса конодонтов на Горном Алтае на одном уровне с граптолитами зоны *D. ornatus* — *C. superpus* представляется весьма интересной, а дальнейшее изучение конодонтов из этого местонахождения перспективным для решения вопросов корреляции.

Описанный ниже материал происходит из двух точек:  
1. E-7040 — левый борт руч. Тачалова, в 1,3 км от его впадения в р. Чагырку, район с. Усть-Чагырка (Елкин, Желтоногова, 1973). Сборы Е. А. Елкина и Н. В. Сеникова.

2. C-7218 — правый борт руч. Тачалова, в 1,3 км от его впадения в р. Чагырку, район с. Усть-Чагырка. Сборы Н. В. Сеникова.

Стратиграфический уровень обеих точек одинаков: верхний ордовик, ашгилльский ярус, зона *D. ornatus* — *C. superpus*.

Коллекция хранится в Геологическом музее Института геологии и геофизики СО АН СССР (ИГиГ) под № 510.

## ОПИСАНИЕ КОНОДОНТОВ

### Род *Acodus* Pander, 1856

*Acodus similis* Rhodes, 1955

Табл. XIII, фиг. 1; 2; 3; 4

*Acodus similis*: Rhodes, 1955, с. 124—125, табл. X, фиг. 7, 10, 14, 16, 18, 23, 26, 27, 28, 30; Lindström, 1959, с. 435, табл. 3, фиг. 6—9; Натаг, 1966, с. 48—50, табл. 2, фиг. 3—9, 13, текст-фиг. 4(5—10); Serpagli, 1967, с. 42—44, табл. 7, фиг. 1—10.

#### Материал. 4 экземпляра.

Описание. Конодонты небольшие, значительно сжатые с боков, заостренные на переднем и заднем краях. Основание сильно вытянуто в заднем направлении, вдоль его заднего края иногда заметен гребень. Зубец тонкий, высокий, наклонен назад по отношению к основанию под углом, близким к прямому. На одной из боковых сторон вблизи заднего края от базального края и, по-видимому, до острия (к сожалению, верхняя часть зубца у всех экземпляров обломана) прослеживается четкое продольное ребро. Другая боковая сторона или гладкая или имеет такое же ребро, но оно более короткое и не достигает базального края, поэтому основание в нижней половине гладкое. Базальная полость хорошо оформлена, но глубина ее у разных экземпляров значительно варьирует.

Сравнение. По строению основания, зубца, характеру скульптуры описанные экземпляры соответствуют виду *Acodus similis* Rhodes. Автор вида и последующие исследователи отмечали, что данный вид характеризуется тремя типами скульптуры. Внутри него находятся конодонты симметричные, у которых имеется по одному ребру на каждой боковой стороне; конодонты несимметричные, у которых ребро наблюдается лишь на одной стороне, а другая гладкая; и конодонты, занимающие промежуточное положение, у которых ребра хотя и развиты на обеих сторонах, но они неравноценные.

Распространение и возраст. Западная Европа и Азия; поздний ордовик.

Местонахождение. E-7040.

### Род *Ambalodus* Branson et Mehl, 1933

*Ambalodus triangularis* Branson et Mehl, 1933

Табл. XII, фиг. 7 а—г; 8; 9

*Ambalodus triangularis*: Branson, Mehl, 1933, с. 128, табл. 10, фиг. 35—37; Rhodes, 1955, с. 122—123, табл. VII, фиг. 9—14; Ethington, 1959, с. 269, табл. 40, фиг. 12; Lindström, 1959, с. 435—436, табл. 2, фиг. 1—11; Serpagli, 1967, с. 48—49, табл. 10, фиг. 4—5 (подробная библиография); Knüpfel, 1967, с. 20—21, табл. 9, фиг. 2—4.

#### Материал. 10 экземпляров.

Описание. Платформа треугольного очертания, широкая, с высоким слабо наклоненным зубцом в центральной наиболее приподнятой

части, с расходящимися в трех направлениях лопастями — передней, задней и наружнобоковой. Передняя лопасть длинная и широкая, несколько изгибающаяся в плане, иногда с приподнятыми краями, с хорошо развитым гребнем; зубчики на гребне слившиеся, особенно сильно в дистальной части лопасти; количество их достигает девяти, величина быстро возрастает по направлению к главному зубцу. Задняя лопасть расположена под прямым или несколько большим углом по отношению к передней. Она примерно такая же или немного меньше по величине, с отчетливо приподнятыми краями, со своеобразно скосенным концом, с невысоким зубным гребнем, количество зубчиков на котором обычно колеблется от 4 до 7, хотя у отдельных экземпляров гребень развит слабо. Наружная боковая лопасть значительно уже двух других, поэтому чаще всего в той или иной степени обломана. Она направлена вниз и изогнута назад, на верхней стороне несет зубчики, общее число которых из-за неполной сохранности точно не установлено.

Зубец большой, равномерно суживающийся к острому, в поперечном сечении округленно-выпуклый с наружной стороны и почти плоский — с внутренней. Передний и задний края его острые, в основании они сливаются с верхними краями зубных гребней передней и задней лопастей. Базальная сторона с широкой краевой каймой, которая ограничивает мелкую базальную полость, прослеживающуюся под всеми лопастями.

**Сравнение.** Строение изученных экземпляров *Ambalodus* соответствует характеристике вида *A. triangularis*, данной Э. Брэнсоном и М. Мелом и дополненной последующими исследователями.

**Распространение и возраст.** Северная Америка, Европа; средний и поздний ордовик; Азия, поздний ордовик.

**Местонахождение.** E-7040; C-7218.

#### Род *Amorphognathus* Branson et Mehl, 1933

*Amorphognathus* cf. *duftonus* Rhodes, 1955

Табл. XII, фиг. 1а, б; 2; 3а, б; 4; 5а, б; 6а, б

**Материал.** Более 20 обломанных экземпляров.

**Описание.** Имеются лишь неполно сохранившиеся экземпляры в виде изолированных лопастей. Среди них хорошо узнается передняя лопасть (табл. XII, фиг. 1, 2). Она сравнительно узкая, заостренная на дистальном конце, с хорошо оформленным серединным зубным гребнем, по обе стороны которого видны легкие углубления, края лопасти слегка приподняты. Зубчики, в количестве 7—8, сильно слившиеся между собой, в передней части низкие, по мере приближения к центру конодонта величина их возрастает, но главный зубец не выделяется. На отдельных экземплярах можно видеть, что от центра почти под прямым углом по отношению к передней лопасти отделяется боковая лопасть и соответственно от зубного гребня ответвляется высокий боковой гребень, идущий в боковую лопасть, однако у рассматриваемых экземпляров сохранилась лишь начальная часть этой лопасти; по этой причине бифуркации ее на передне- и заднебоковые лопасти наблюдать не удалось.

Форма и строение их восстанавливается по изолированным остаткам. Задняя боковая лопасть (табл. XII, фиг. 5, 6) языковидной формы, длинная и широкая, закругленная на дистальном конце, с легким пережимом в основании (чем и объясняется непрочное сочленение ее, как впрочем по той же причине и других лопастей, с центральной частью конодонта). Зубной гребень на ней хорошо оформлен, тянется во всю ее длину, иногда слегка изгибаясь. Зубчики низкие, но крепкие, широкие, с округленными вершинками, сильно слившиеся между собой,

почти одинаковые за исключением 2—4 конечных, которые заметно меньше. Количество зубчиков достигает 15—17. На табл. XII, фиг. 4 изображен экземпляр, у которого сохранились две лопасти. Одна из них отвечает приведенной выше характеристике и, по-видимому, является заднебоковой; вторая соответственно может рассматриваться как переднебоковая. Эта лопасть более узкая по сравнению с первой, конец ее приострен, зубной гребень выражен слабее, высота зубчиков быстро уменьшается к ее концу. Края обеих лопастей, также как у передней, приподняты.

Два экземпляра в коллекции представляют еще один тип лопастей; судя по строению зубного гребня на них, они являются задними (табл. XII, фиг. 3). В отличие от ранее рассмотренных эти лопасти очень длинные и узкие, сильно заостряющиеся на конце, с очень высоким зубным гребнем, занимающим большую часть лопасти и доходящим до ее конца. Гребень, слегка изгибаясь, но не прерываясь, проходит через центр конодонта и смыкается с зубным гребнем передней лопасти. Зубчики, число которых доходит до 12, слившиеся друг с другом почти на всю длину. Наибольшая высота их в средней части гребня.

Базальная полость наиболее глубокая в центральной части конодонта, хорошо прослеживается в боковых лопастях, постепенно выпадаясь к их концам; но в передней и задней лопастях она очень быстро суживается и сменяется килем, посередине которого иногда видна узкая бороздка.

**Сравнение.** Недостаточно хорошая сохранность описываемых экземпляров *Amorphognathus* затрудняет отождествление их с каким-либо конкретным видом этого рода, но не вызывает сомнения в принадлежности их к группе *Amorphognathus ordovicicus* Branson et Mehl. Ближе всего по характеру строения и очертанию лопастей они стоят к *A. duftonus* Rhodes (Rhodes, 1955, с. 123—124, табл. IX, фиг. 1, 3, 5, 8). Как для описываемых конодонтов, так и для изображенных Ф. Родсом экземпляров характерна сильная расчлененность платформы, чем и объясняется хрупкость и, как следствие этого, неполная сохранность этих конодонтов. Как у тех, так и у других передняя лопасть сравнительно узкая, заостренная на конце, а одна из боковых лопастей широкая, округленная на конце, языковидная по форме. Отличие между теми и другими заключается в количестве зубчиков на зубном гребне: они более многочисленны на лопастях у алтайских *Amorphognathus*. Возможно имеются различия и в строении базальной полости. Ф. Родс, характеризуя вид *A. duftonus*, пишет, что «вся абдоминальная поверхность глубоко выемчатая» (Rhodes, 1955, с. 124). У изученных *Amorphognathus* нижняя поверхность передней и задней лопастей килеватая.

**Распространение и возраст.** Азия, Горный Алтай; поздний ордовик.

**Местонахождение.** E-7040; C-7218.

#### Род *Belodina* Ethington, 1959.

*Belodina* sp.

Табл. XIII, фиг. 5

**Материал.** Единственный экземпляр.

**Описание.** В коллекции имеется один обломанный конодонт небольшого размера. Верхняя его часть не сохранилась. Основание и оставшаяся часть главного зубца значительно уплощены с боков: внутренняя боковая поверхность почти плоская, наружная слабовыпуклая. На основании хорошо развит заднебазальный отросток, значитель-

но вытянутый назад и имеющий вид равнобедренного треугольника. К нему плотно прилегают зубчики заднего края главного зубца. Сохранилось три зубчика, общее число их не известно. Базальная полость типично «белодиновая», отчетливо видны две конические полости.

**Сравнение.** Конодонт обнаруживает все признаки рода *Belodina*, но наличие в коллекции единственного неполно сохранившегося экземпляра затрудняет определение его видовой принадлежности.

**Местонахождение.** Е-7040.

### *Belodina* sp. a

Табл. XIII, фиг. 6

#### Материал. Единственный экземпляр.

**Описание.** По общему облику конодонт сходен с белоделлами, но наличие заднебазального выроста и сложное строение базальной полости свидетельствуют о принадлежности его к белодинам. Наружная боковая сторона конодонта пологовыпуклая и гладкая, внутренняя почти плоская и с небольшим углублением вблизи переднего края. Углубление окаймлено передним ребром, которое несколько смещено на внутреннюю сторону и поэтому кажется боковым.

Основание умеренно высокое, составляет единое целое с нижней частью зубца. Вдоль заднего края на заднебазальном выросте развит высокий тонкий гребень, выше него располагаются 4 широких, сильно сжатых с боков, плотно прилегающих друг к другу прямостоящих зубчика. Верхняя свободная от зубчиков часть главного зубца сильно наклонена назад, относительно тонкая, округленная спереди и по бокам, с гребневидным заострением вдоль заднего края. Базальная полость из двух конусов.

**Сравнение.** «Белоделловый» облик конодонта придает ему своеобразие, которое не позволяет отождествлять его с известными видами *Belodina*.

**Распространение и возраст.** Азия, Горный Алтай; поздний ордовик.

**Местонахождение.** Е-7040.

### Род *Hibbardella* Bassler, 1925

#### *Hibbardella* (?) *diminuta* (Rhodes), 1955

Табл. XIII, фиг. 9; 10; 11

*Roundya diminuta*: Rhodes, 1955, c. 137—138, табл. VIII, фиг. 9, 12; табл. IX, фиг. 6. *Keisognathus gracilis*: Rhodes, 1955, c. 131, табл. VII, фиг. 7, 8; табл. VIII, фиг. 13—16.

*Roundya* cf. *gracilis*: Ethington, 1959, c. 446—447, табл. 4, фиг. 30—31. *Hibbardella* (?) *diminuta*: Serpagli, 1967, c. 72—73, табл. 17, фиг. 3—9.

#### Материал. 4 экземпляра.

**Описание.** Конодонты сложные стержневидные, небольшого размера, с хорошо развитым зубцом и тремя отростками. Зубец стройный, высокий, умеренно наклоненный назад, приостренный на переднем и заднем краях. От его основания под прямым или тупым углом отходит длинный тонкий стержневидный задний отросток. Он обнаруживает легкое волнообразное изгибание, особенно заметное вдоль верхнего края.

На верхнем крае заднего отростка расположены многочисленные прямостоящие зубчики. Зубчатость хиндеоделлондного типа: несколько больших зубчиков разделены между собой серией мелких. Первые, судя по их ширине и толщине в нижней части (верхняя у всех обломана), вероятно, не уступают по размеру главному зубцу. Между крупны-

ми зубчиками помещается от 3 до 10 маленьких тонких игловидно заостренных зубчиков, плотно прилегающих друг к другу.

**Сравнение.** Два других отростка различаются и по своему положению и по строению, обуславливая тем самым несимметричность конодонта. Остосток, занимающий боковое положение, тонкий, зубчатый, ориентированный вниз и назад параллельно заднему отростку. Другой отросток находится в положении, близком к переднему (передибоковой отросток), без зубчиков, верхней своей частью примыкает к переднему краю главного зубца, сливаюсь с ним, нижняя же часть является свободной и вытянута вниз и назад. Базальная полость глубокая под главным зубцом, в отростках прослеживается в виде мелких желобков.

**Сравнение.** Изученные экземпляры обнаруживают большое сходство с конодонтами, описанными Ф. Родсом (Rhodes, 1955) под видовыми названиями *Roundya diminuta*, *Keisognathus gracilis*, *Rosagnathus superbus*. Перечисленные виды характеризуются отчетливым главным зубцом, хорошо развитым задним отростком с хиндеоделлондным типом зубчатости и наличием еще 2—3 отростков, среди которых имеются как зубчатые, так и лишенные зубчиков. От *Rosagnathus superbus* или, по Э. Серпали (Serpagli, 1967), *Tetraprioniodus superbus*, алтайские формы отличаются меньшим количеством отростков (3 вместо 4); что касается двух других видов, то рассматриваемые формы совпадают с ними по всем основным признакам. Небольшим отклонением, видимо, является легкое волнообразное изгибание заднего отростка. Вероятно, Э. Серпали прав, объединив *Roundya diminuta* и *Keisognathus gracilis* в один вид. Этот вид он условно отнес к роду *Hibbardella* и обозначил его как *Hibbardella* (?) *diminuta*.

**Распространение и возраст.** Западная Европа, Северная Америка и Азия; поздний ордовик.

**Местонахождение.** Е-7040.

### Род *Panderodus* Ethington, 1959

#### *Panderodus intermedius* (Branson, Mehl et Branson), 1951

Табл. XIII, фиг. 15

*Pallodus intermedius*: Branson, Mehl, Branson, 1951, c. 7, табл. 1, фиг. 9—15.

*Panderodus intermedius*: Ethington, 1959, c. 285, табл. 39, фиг. 3; Москаленко, 1973, с. 38—39, табл. 1, фиг. 16, 17 (подробная библиография).

#### Материал. Единственный экземпляр.

**Описание.** Конодонт крепкий, слабо сжатый с боков, с округленной передней стороной, с приостренным задним краем. На одной из боковых сторон четкое ребро, на обеих сторонах легкие пережимы. Зубец плавно наклонен назад, но верхний конец его обломан. Базальная полость плохо видна.

**Сравнение.** Единственный экземпляр, отнесенный к виду *P. intermedius*, не обнаруживает каких-либо отклонений от него.

**Распространение и возраст.** Северная Америка и Азия; средний и поздний ордовик.

**Местонахождение.** Е-7040.

#### *Panderodus* cf. *unicostatus* (Branson et Mehl), 1933

Табл. XIII, фиг. 14

#### Материал. Единственный экземпляр.

**Описание.** Конодонт очень тонкий, высокий, слабо наклоненный назад. Основание высокое, зубец маленький. Передняя сторона округленная, скосенная, задняя округленная, но на границе с одной

из боковых сторон на основании обнаруживает небольшое ребро; впереди последнего развит глубокий пережим. Базальная полость очень глубокая.

**Сравнение.** По общему облику и основным признакам конодонт отвечает виду *Panderodus unicostatus*, но развитие ребрышка на задней стороне основания несколько отличает его от типичных экземпляров этого вида.

**Местонахождение.** E-7040.

### Род *Phragmodus* Branson et Mehl, 1933

#### *Phragmodus insculptus* Branson et Mehl, 1933

Табл. XIII, фиг. 12а, б; 13

*Phragmodus insculptus*: Branson, Mehl, 1933, с. 124, табл. 10, фиг. 32—34; Rhodes, 1955, с. 136—137, табл. 10, фиг. 17.

*Scolopodus* (?) *insculptus*: Serpagli, 1967, с. 97—99, табл. 28, фиг. 1—4.

#### Материал. 4 экземпляра.

**Описание.** Конодонты описываемого типа представлены несколькими экземплярами, в различной степени обломанными. Лучше других сохранился наиболее крупный экземпляр, на котором видны нижняя часть главного зубца, основание, вытянутое в заднем направлении в виде отростка, и отчетливый дополнительный зубчик, расположенный на указанном отростке. Стенки основания тонкие.

Главный зубец очень крепкий и, по-видимому, высокий; поперечное сечение его сложных очертаний: округленное спереди, слегка приостренное сзади и значительно осложненное ребрами на боковых сторонах. Ребра сильные, расположены по два на каждой стороне, завернутые назад, особенно заметно те из них, которые находятся ближе к передней стороне. При переходе от зубца на основание они плавно изгибаются, продолжаясь на заднем отростке. Передняя сторона основания ограничена по бокам дополнительными ребрами, которые, однако, на зубце не прослеживаются. Посередине задней стороны зубца проходит тонкое низкое ребро, которое, не прерываясь, переходит на задний отросток и затем на передний и задний края дополнительного зубчика. Зубчик заднего отростка довольно высокий, сжатый с боков, наклоненный назад, с гладкими боковыми сторонами, расположен недалеко от конца отростка. Пространство между ним и главным зубцом не обнаруживает никаких следов зубчатости. Базальная полость довольно глубокая и широкая, особенно хорошо развита под главным зубцом.

Другие экземпляры подобного строения, менее крупные и значительно обломанные, сохраняя облик и характер скульптуры, присущие описанному, в то же время отличаются от него заостренным передним краем, большей уплощенностью зубца, отсутствием дополнительных ребер на основании. Можно предполагать, что эти различия связаны с возрастной изменчивостью.

**Сравнение.** Характерная форма конодонта, присутствие на каждой боковой стороне его двух сильных ребер, плавно изгибающихся при переходе с зубца на основание, наличие дополнительного зубчика на заднем отростке — все эти признаки свидетельствуют о принадлежности описанных экземпляров к виду *Phragmodus insculptus*, установленному Э. Брэнсоном и М. Мелом из пород свиты Thebes в Миссури. Большинство последующих исследователей стали относить конодонты такого типа к роду *Scolopodus* на том основании, что им не удавалось наблюдать на заднем отростке дополнительный зубчик. Вероятно, надо допустить мысль о возможности параллельного существования

однотипных конодонтов, отличающихся лишь наличием или отсутствием дополнительного зубчика. Может быть и те и другие находились в теле одного животного.

**Распространение и возраст.** Северная Америка, Западная Европа и Азия; поздний ордовик.

**Местонахождение.** E-7040.

### ЛИТЕРАТУРА

- Елкин Е. А., Желтоногова В. А. Древнейшие дехенеллыды (трилобиты) и стратиграфия силура Горного Алтая. Новосибирск, «Наука», 1973. 109 с.
- Москаленко Т. А. Конодонты среднего и верхнего ордовика Сибирской платформы. Новосибирск, «Наука», 1973. 143 с.
- Обут А. М., Сенинков Н. В. Зональные комплексы граптолитов на Горном Алтае. — «Геол. и геофиз.», 1973, № 11, с. 62—68.
- Сенинков Н. В. Граптолиты и стратиграфия нижнего силура Горного Алтая. М., «Наука», 1976. 200 с.
- Bergström S. M. Conodont biostratigraphy of the Middle and Upper Ordovician of Europe and eastern North America. — „Geol. Soc. America. Mem.“, 127, 1971, p. 83—161.
- Branson E. B., Mehl M. G. Conodonts from the Maquoketa — Thebes (Upper Ordovician). — „Univ. Missouri studies“, 1933, vol. VIII, № 2, p. 121—131.
- Branson E. B., Mehl M. G., Branson C. C. Richmond conodonts of Kentucky and Indiana. — „J. paleontol.“, 1951, vol. 25, № 1, p. 1—17.
- Ethington R. L. Conodonts of the Ordovician Galena formation. — „J. paleontol.“, 1959, vol. 33, № 2, p. 257—292.
- Fuganti A., Serpagli E. Geological remarks on Urbana Limestone and evidence for its Upper Ordovician age by means of conodonts. — „Boll. Soc. Geol. Ital.“, 1968, vol. 87, p. 511—521.
- Hamar G. The Middle Ordovician of the Oslo Region, Norway. 22. Preliminary report on conodonts from the Oslo — Asker and Ringerike districts. — „Norsk. Geol. Tidsskr.“, 1966, vol. 46, № 1, p. 27—83.
- Knüpfer J. Zur Fauna und Biostratigraphie des Ordoviziums (Gräfenthaler Schichten) in Thuringen. — „Freiberger Forschungsh. C“, 1967, № 220. I: 19 S.
- Lindström M. Conodonts from the Crug Limestone (Ordovician, Wales). — „Micropaleontology“, 1959, vol. 5, № 4, p. 427—452.
- Rhodes F. H. T. The conodont fauna of the Keisley Limestone. — „Quart. J. Geol. Soc.“, 1955, vol. 111, pt. 2, № 442, p. 117—142.
- Serpagli E. I conodonti dell'Ordoviciano superiore (Ashgilliano) delle Alpi Carniche. — „Boll. Soc. Paleontol. Italiana“, 1967, vol. 6, № 1, p. 30—51.
- Williams A., Strachan I., Bassett D. A., Dean W. T., Ingham J. K., Wright A. D., Whittington H. B. A correlation of Ordovician rocks in the British Isles. — „Geol. Soc. Spec. Rept.“, 1972, № 3, 74 p.

К. Н. Волкова

### ПОЗДНЕОРДОВИКСКИЕ МШАНКИ СЕЛЕННЯХСКОГО КРЯЖА

Материалом для статьи послужили первые находки позднеордовикских мшанок Селенняхского кряжа, принадлежащие автору, проведенные полевые исследования в 1971 г. в этом районе Якутии. Родовая группа мшанок состоит из родов *Constellaria*, *Eridotrypa*, *Homotrypella*, *Rhinidictya*, относящихся к трем отрядам — *Cystoporata*, *Trepostomata* и *Cryptostomata*, четырем семействам — *Constellariidae*, *Trematoporidae*, *Monticuliporidae*, *Rhinidictyidae*. Позднеордовикские мшанки обнаружены в отложениях нальчанской и саканджинской свит, распространенных в междуречье Селеннях — Уяндина.

Впервые фаунистические охарактеризованные верхнеордовикские отложения в данном районе установлены по руч. Калычану, левому притоку р. Сакынджи (Чугаева, Розман, Иванова, 1964). Дальнейшее изучение верхнеордовикских отложений в пределах Секдекунской

и Калычанской антиклиналью позволило Х. С. Розман разработать биостратиграфическую схему верхнего ордовика, в составе которого выделяются нальчанская и сакындинская свиты (Розман и др., 1970).

Нальчанская свита представлена темными, пелитоморфными плитчатыми известняками, с подчиненными прослоями известково-глинистых сланцев и редкими пропластками органических известняков. Стратотипом свиты является разрез по руч. Усу на левобережье р. Сакынди, где мощность свиты составляет 193 м. Часть разреза свиты вскрыта в блоке по руч. Калычану. Западнее по ручьям Догору и Нальчану разрез свиты представлен плитчатыми, брекчиевидными известняками с прослоями известково-глинистых сланцев и органогенных известняков. К нальчанской свите, вероятно, относятся переслаивающиеся темно-серые пелитоморфные известняки и сланцы, залегающие в разрезе по руч. Ошибковому. Общая мощность нальчанской свиты составляет 217 м. По составу брахиопод и положению в непрерывном разрезе (Розман и др., 1970) нальчанская свита отнесена к первой половине верхнего ордовика и сопоставлена с верхним карадоком.

Сакындинская свита сложена известняками темно-серыми и серыми, пелитоморфными и плитчатыми, в нижней части с прослоями битуминозных, в верхней — с пачками светлых зернистых доломитизированных известняков. Стратотипом выделяемой свиты является разрез в нижнем течении руч. Ус. Мощность свиты около 490 м. Отложения этой свиты прослежены на левобережье р. Сакынди, по ручьям Овалу, Усу, Звоинку.

Позднеордовикские мшанки Селенинских кряжа обнаружены как в нальчанской, так и в сакындинской свитах. Однако распределение мшанок по разрезам свит крайне неравномерно. В нижней части разреза (нальчанской свите) преимущественным развитием пользуются представители рода *Rhinidictya*, в верхней (сакындинской свите) — наиболее многочисленны представители рода *Eridotrypa*, в меньшей степени и только в верхних слоях распространены *Constellaria*, *Homotrypella*, *Rhinidictya*. Таким образом, в середине позднего ордовика произошло изменение состава мшанок (за исключением *Rhinidictya*) без какой-либо преемственности в развитии родов.

Род *Rhinidictya* Ulrich широко распространен в СССР в среднем и позднем ордовике Балтийской провинции (Астрова, 1965; Модзалевская, 1953; Мяниниль, 1961; Bassler, 1911); в Западно-Арктической провинции, в частности на островах Новая Земля, Вайгач (Астрова, 1965; Нехорошева, 1956); в среднем ордовике в Сибирской провинции, которая объединяет морские бассейны Сибирской платформы, Таймыра и Саяно-Алтайской складчатой зоны.

Виды *Rhinidictya* распространены в среднем ордовике, кривалуке, мангазее, а также в верхнем ордовике и низах лландоверийского яруса Сибирской платформы; в среднем ордовике и в коротких горизонтах верхнего ордовика Таймыра (Нехорошева, 1968). На Северо-Востоке СССР род *Rhinidictya* был известен, по данным Е. А. Модзалевской, из отложений кулонской свиты верхнего ордовика хр. Сетте-Дабан (Розман и др., 1970). В Саяно-Алтайской горной области представители рода *Rhinidictya* распространены в верхнем ордовике (Ярошинская, 1962).

Род *Eridotrypa* Ulrich Балтийской провинции наиболее многочислен был в среднем ордовике, менее представителен в позднем ордовике и сильно сократился по количеству видов и экземпляров в лландовери. В Западно-Арктической провинции род *Eridotrypa* известен только в лудловском веке. На территории Сибирской платформы он представлен местными видами. В хр. Сетте-Дабан представители рода встречены только в разрезе лабыстахской свиты среднего ордовика и весьма немногочисленны. В Северной Америке род обильно представлен в Блек Ривере, довольно разнообразен в Трентоне. Виды этого рода продол-

жали существовать в силуре и нижнем девоне Северной Америки, Западной Европы и Китая.

Род *Constellaria* Dana отличается немногочисленностью видов: в Балтийской провинции — один вид (Bassler, 1911), в среднем ордовике Западно-Арктической провинции установлен также один вид (Астрова, 1965). В Сибирской провинции, в Горном Алтае и Горной Шории представители этого рода описаны из отложений верхнего ордовика (Ярошинская, 1962). На Северо-Востоке данный род до сих пор не был известен. В Северной Америке он представлен не более шестью видами (Ulrich, 1890; Ross, 1963, 1969).

Род *Homotrypella* Ulrich широко распространен в среднем ордовике Балтийской, Западно-Арктической и Сибирской провинциях. В Сибирской провинции род известен из верхнего ордовика Сибирской платформы и хр. Сетте-Дабана, Таймыра, где виды его многочисленны. В Северной Америке род *Homotrypella* распространен в Блек Ривере, Трентоне и нижней части Цинциннати.

Таким образом, несмотря на сравнительную бедность состава селенинских мшанок, родовая группа характеризует верхнюю часть ордовикового разреза. Вследствие неизученности ордовиковых мшанок Северо-Востока СССР имеется возможность сопоставить родовую группу описываемых мшанок только с сеттедабанским ордовикским комплексом. Эти комплексы содержат общие роды *Rhinidictya*, *Eridotrypa* и *Homotrypella*. Однако в селенинском комплексе преобладает *Eridotrypa*, а в верхнем ордовике хр. Сетте-Дабана — *Homotrypella*. Род *Constellaria* в сеттедабанской родовой группе не известен.

Сеттедабанский ордовикский комплекс имеет много общих черт с долборским и нижненирундунским комплексами мшанок Сибирской платформы. Селенинская родовая группа отличается от последних преобладанием в верхнем ордовике *Eridotrypa*, в то время как виды этого рода на платформе существовали в течение среднего ордовика. Кроме того, род *Constellaria* в ордовике Сибирской платформы не известен. Селенинская ордовикская группа мшанок близка к верхнеордовикскому комплексу Северной Америки. Эти родовые группы характеризуются широким развитием рода *Eridotrypa*, присутствием рода *Constellaria* и существованием *Homotrypella*.

## ЛИТЕРАТУРА

- Астрова Г. Г. Морфология, история развития и система ордовикских и силурских мшанок. М., «Наука», 1965. 335 с. (Труды ПИН АН СССР, т. 106.).  
Модзалевская Е. А. Трапостоматы ордовика Прибалтики и их стратиграфическое значение. Л., 1953. 167 с. (Труды ВНИГРИ, вып. 78).  
Мяниниль Р. М. К морфологии полусферических мшанок отряда Trepustomata. — «Труды ин-та геологии», 1961, т. VI, с. 113—139.  
Нехорошева Л. В. Мшанки среднего ордовика южного острова Новой Земли. — В кн.: Сборник статей по геологии Арктики. Л., 1956, с. 78—80. (Тр. НИИГА, т. 89, вып. 6).  
Нехорошева Л. В. Мшанки пограничных слоев ордовика — силура Таймыра. — В кн.: Стратиграфия нижнего палеозоя Центральной Европы. М., «Наука», 1968. с. 124—127.  
Розман Х. С., Иванова В. А., Красилова И. Н., Модзалевская Е. А. Биостратиграфия верхнего ордовика Северо-Востока СССР. М., «Наука», 1970. 287 с. (Труды ГИН, вып. 205).  
Чугаева М. Н., Розман Х. С., Иванова В. А. Сравнительная биостратиграфия ордовикских отложений Северо-Востока СССР. М., «Наука», 1964. 249 с. (труды ГИН, вып. 106).  
Ярошинская А. М. Некоторые представители мшанок семейства Monticuliporidae из верхнего ордовика Горного Алтая. — В кн.: Материалы по палеонтологии и стратиграфии Западной Сибири. Новосибирск, 1962, с. 143—153. (Труды СНИИГиМС, вып. 23).  
Bassler R. S. The Early Paleozoic Bryozoa of the Baltic provinces. W., Government Printing, office, 1911. 382 p. (Smith. U. S. Nat. Mus., Bull. 77).

Ross J. P. Constellaria from the Chazyan (Ordovician), Isle La Motte, Vermont. "J. Paleontol.", 1963, vol. 37, p. 51–56.

Ross J. P. Champlainian (Ordovician) Ectopraeacta (Bryozoa), New York State. Pt. 2. "J. Paleontol.", 1969, vol. 43, № 2, p. 257–284.

Ulrich E. O. Paleontology of Illinois. Section VI. Paleozoic Bryozoa.—In: Geology and Paleontology. Authority of the legislature of Illinois, 1890, p. 285–668 (Geol. Surv. of Illinois, vol. 8).

Г. П. Абаймова, Е. П. Марков

## ПЕРВЫЕ НАХОДКИ КОНОДОНТОВ НИЖНЕОРДОВИКСКОЙ ЗОНЫ CORDYLODUS PROAVUS НА ЮГЕ СИБИРСКОЙ ПЛАТФОРМЫ

Разрезы нижнеордовикских отложений на юге Сибирской платформы изучались авторами в течение нескольких лет. Несмотря на обилие обработанного материала (сотни проб), конодонты обнаружены лишь в единичных образцах. Например, в непрерывно опробованных на микрофауну разрезах по рекам Джербе (ур. Кыс-Турук) и Лене (у пос. Батамай) конодонты найдены лишь в семи образцах. Тем не менее, встреченные формы очень характерны и позволяют говорить о наличии на юге Сибирской платформы возрастных аналогов зоны *Cordyloodus proavus*. Указанная зона была выделена Друсом и Джонсом (Druse, Jones, 1971), разработавшими зональную конодонтовую шкалу для нижнего ордовика Австралии, увязанную с данными по трилобитам (Jones, Shergold, Druse, 1971). Тремадок содержит шесть конодонтовых зон; зона *Cordyloodus proavus* является нижней и, таким образом, лежит в основании разреза ордовика в Австралии.

Описанные виды конодонтов хранятся в палеонтологическом отделе СНИИГГиМСа, коллекции № 1352 и 1354. Фотографии выполнены В. Горкуновым и В. К. Лежоевым; скан-фотографии получены на сканирующем электронном микроскопе JSM-U3 в Институте океанологии АН СССР.

Ниже приводится краткое описание разрезов (см. рисунок). Пачки и слои, в которых присутствуют конодонты, отмечены звездочками.

I. Бассейн р. Илма (правый приток р. Ангара). На правом берегу р. Илма, в 3 км ниже пос. Атланово, вскрыты пестроцветные породы илгинской и сероцветные карбонатные устькутской свит (снизу вверх).

### Илгинская свита

	Мощность, м
1. Красноцветные доломиты, песчаники, аргиллиты. Видимая мощность	12
Устькутская свита	
2. Доломиты фиолетово-серые, среднеплитчатые, известковистые, кавернозные, строматолитовые, с бугристыми поверхностями наложения	23,0
3. Песчаники фиолетово-серые, кварцевые, обогащенные мелкой доломитовой галькой. Породы массивные, косослонистые	9,0
4. Доломиты розовато-желтые и серые, строматолитовые. Биогермы мелкие шаровидные, диаметром 2–4 см	17,5
5*. Песчанистые доломиты и доломитистые известняки серые кавернозные среднеплитчатые, с редкими плохой сохранности остатками трилобитов и конодонтами <i>Opeododus nakamurai</i> Nogami и <i>Drepanodus subarcuatus</i> Furnish (обр. M-805-6)	14,5
6. Доломиты серые, мелкозернистые и строматолитовые. Биогермы строматолитов мелкие, столбчатые, диаметром 2–3 м и высотой 20–30 см. Имеются прослои песчаников среднезернистых кварцевых среднеплитчатых до массивных, горизонтально-слоистых. Видимая мощность	25,0

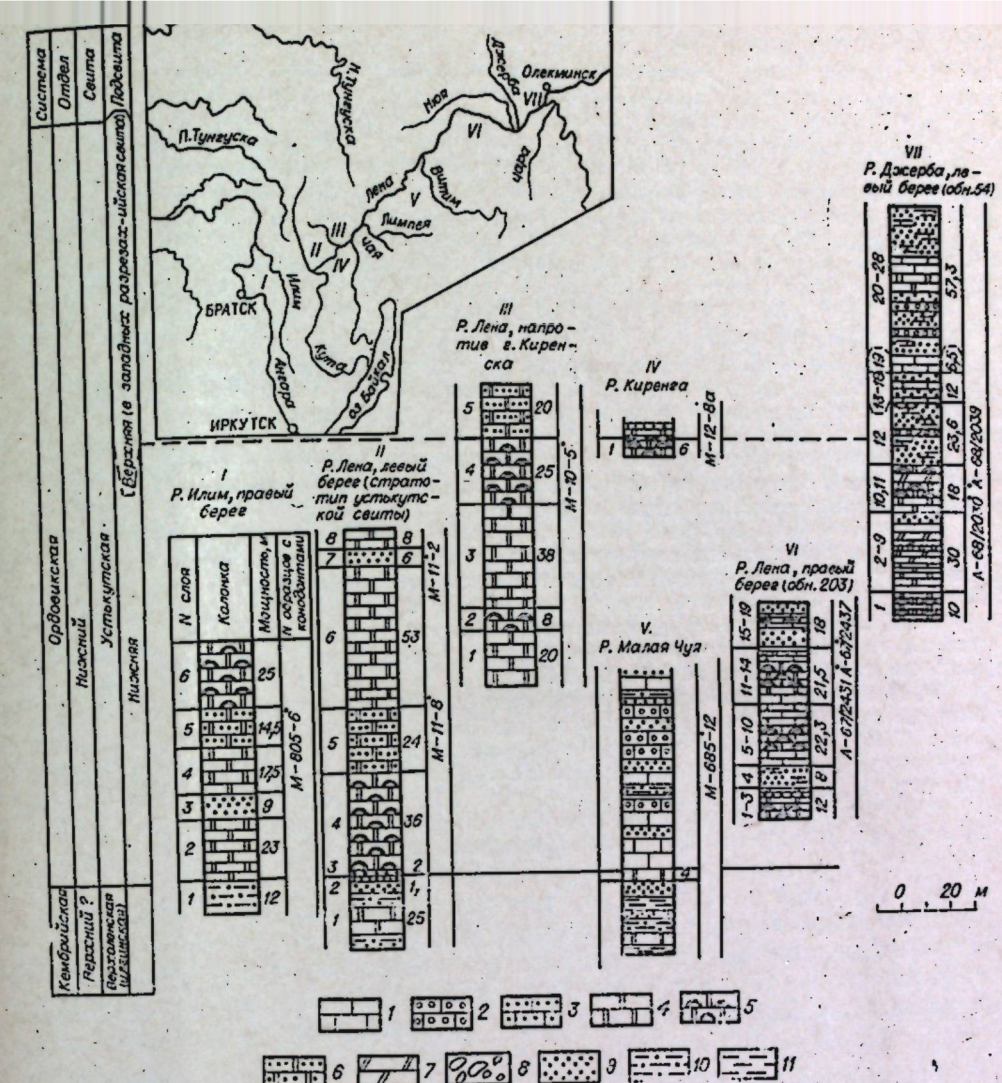


Схема сопоставления разрезов нижнеордовикских отложений юга Сибирской платформы.

1 — известники, 2 — оолитовые известняки, 3 — песчанистые известняки, 4 — доломиты, 5 — строматолитовые доломиты, 6 — песчанистые доломиты, 7 — доломитовые мергели и глинистые доломиты, 8 — конгломераты, 9 — песчаники, 10 — алевролиты, 11 — аргиллиты. Точками отмечено место взятия образца. На врезке дана схема расположения обнажений.

II. Иркутский амфитеатр (бассейн верхнего течения р. Лены). Стратотип устькутской свиты, расположенный на левом берегу р. Лены близ г. Усть-Кута. Породы свиты хорошо обнажены в крутом уступе плосковершинной горы, однако стратотип имеет существенный недостаток — здесь отсутствуют вышележащие красноцветные отложения ийской свиты. По данным геологопоисковых работ устькутская свита в данном районе перекрывается пестроцветными толщами среднего ордовика. Нижняя граница (с илгинской свитой) четкая и хорошо прослеживается в обнажении (снизу вверх):

Илгинская свита	Мощность, м
1. Пестроцветные песчаники, аргиллиты, доломиты, известняки тонко-плитчатые, с ровными или бугристыми поверхностями наложения. Видимая мощность	25,0
2. Песчаники розовато-серые, среднезернистые, среднеплитчатые до массивных, с ровными поверхностями наложения, обогащенные галькой и	

зернами гравия. Галька уплотненная, состоит из хорошо окатанных обломков зеленовато-серых аргиллитов, диаметром от 0,5 до 5 см, чаще 2—3 см. Плоские галечки ориентированы по поверхности напластования. Участками галька образует конгломератовые прослои (около 0,2 м). Обломочный материал песчаников состоит из хорошо- и среднеокатанных зерен кварца (55%), кварцитов (15%), полевых шпатов (микролиты, плагиоклазы — 30%). Изредка встречаются листочки слюды. Окраска породы обусловлена неравномерным распределением гидроокислов железа (лимонит), которые развиваются вокруг угловатых зерен магнетита. Цемент доломитовый, базальный и заполнения пор.

#### Устькутская свита

3. Доломиты розовато-серые, песчанистые, толстоплитчатые, горизонтально-слоистые, с чередованием серых и розовато-серых прослоев; слойки с повышенным содержанием железа ориентированы параллельно плоскостям наложения.

4. Доломиты серые, розовато- и желтовато-серые, кавернозные, массивные и толстоплитчатые, строматолитовые. Строматолитовые биогермы карацевобразной формы, диаметром до 1,5 м.

5. Песчаники и песчанистые доломиты серые и желтовато-серые, массивные и толстоплитчатые. Песчаники среднезернистые. Обломочный материал хорошо сортирован и окатан, представлен кварцем (80%) и полевым шпатом (20%). Наблюдаются прослон песчанистых оолитовых доломитов.

6\*. Доломиты темно-серые, массивные, участками кавернозные, горизонтально-слоистые, с бугристыми поверхностями наложения. Конодонты *Oneotodus nakamurai* Nogami (обр. M-11-8).

7\*. Песчаники светло-серые, мелкозернистые, массивные, толстоплитчатые. Обломочный материал представлен слабо окатанными обломками кварца (75%), микрокварцитов (10%) и полевых шпатов (15%). Цемент доломитовый, базального типа. Конодонты *Cordylodus cf. proavus* Müller (обломок; обр. M-11-2).

8. Доломиты желтовато-белые, кавернозные, толстоплитчатые и массивные, горизонтально-слоистые. Видимая мощность.

III. Р. Лена (левый берег, напротив г. Киренска). Устькутская свита обнажена в виде скального выхода; нижние ее горизонты здесь не вскрыты, зато присутствуют перекрывающие свиту отложения, отсутствующие в районе г. Усть-Кута (Никифорова, Андреева, 1961). От уреза воды обнажаются следующие породы (снизу вверх):

1. Доломиты желтовато-серые, оолитовые, массивные и толстоплитчатые. Видимая мощность.

2. Доломиты серые, строматолитовые. Биогермы строматолитов карацевобразной формы, диаметром 0,5—1,0 м, высотой 1,0—1,5 м. В пачках — серые массивные доломиты.

3. Доломиты желтовато-серые, массивные, толстоплитчатые, волнисто-слоистые; слоистость обусловлена наличием строматолитовых пропластков (до 0,2 м). Присутствуют прослон алевритистых аргиллитов серых и зеленовато-серых, тонкоплитчатых до листоватых (0,1—1,5 м).

4\*. Доломиты светло-серые, массивные, строматолитовые. Биогермы строматолитов имеют диаметр до 3 м, высоту 2 м. Внешняя поверхность строматолитовых биогермов состоит из мелких строматолитовых шишечек диаметром 2—4 см, западины между которыми выполнены зеленоцветными аргиллитами. Конодонты *Clavohamulus triangularis* Abaimova, *Oneotodus nakamurai* Nogami, *Hirsutodontus cf. hirsutus* Miller (обр. M-10-5).

5. Переслаивание красноцветных песчанистых доломитов и песчаников. Песчаники слюдисто-глауконитово-кварцевые. Обломочных зерен кварца — 40%, микрокварцитов — 10%, глауконита — 20%, мусковита — 5%, гематита и магнетита — 10—15%, слюдистых минералов — 10%, полевых шпатов — 5—6%. Цемент доломитовый, порового и базального типа. Видимая мощность.

IV. Р. Киренга (в 3 км выше устья). Верхние слои устькутской свиты представлены желтовато-серыми, строматолитовыми, толстоплитчатыми доломитами. Видимая мощность 6,0 м. Доломиты согласно перекрываются пестроцветной толщей, состоящей из красноцветных доломитов, глауконитовых песчаников и аргиллитов ийской свиты. В красно-

Мощность, м

1,5

2,0

36,0

24,0

53,0

6,0

8,0

Мощность, м

20,0

8,0

38,0

25,0

15,0—20,0

цветных доломитах обнаружены конодонты *Pallodus variabilis* Furnish и неопределенные обломки (обр. M-12-8а).

V. Р. Малая Чуя (20 км выше ее слияния с р. Большой Чуей — бассейн р. Лены). Здесь р. Малая Чуя прорезает синклинальную складку, ядро которой сложено породами устькутской свиты, а крылья — верхоленской свитой верхнего кембрия (?). Верхоленская свита представлена пестроцветными доломитами, песчаниками, алевролитами и аргиллитами; выше залегают серые и темно-серые тонкоплитчатые, реже среднеплитчатые оолитовые и мелкозернистые известняки, алевролиты и песчаники, с преобладанием известняков. В оолитовых известняках мощностью 4 м, расположенных в 50 м выше кровли верхоленской свиты, найдены конодонты *Hirsutodontus cf. rarus* Miller (обр. M-685-12).

Восточнее описанных выше разрезов, в Ньюско-Джербинской впадине, нижнеордовикские отложения детально изучались на р. Лене, около пос. Батамай, и на р. Джербе, в ур. Кыс-Турук. Оба разреза опробованы на микрофауну бороздовыми пробами, с интервалом в 1 м.

VI. Р. Лена (правый берег, напротив о. Батамайского; обн. 203). Здесь обнажены отложения верхоленской и устькутской свит, соприкасающиеся по поверхности тектонического контакта. Разрез детально описан в работе Г. П. Абаймовой (1975, с. 21—24).

VII. Р. Джерба (28 км от ее устья, ур. Кыс-Турук). В 200-метровом обрыве левого берега, при почти горизонтальном залегании вскрыта толща пород устькутской свиты. Послойное описание разреза (обн. 54) приведено в работе Г. П. Абаймовой (1975, с. 24—27).

Таким образом, в устькутской свите обнаружены конодонты: *Clavohamulus triangularis* Abaimova, *Cordylodus proavus* Müller, *C. cf. proavus* Müller, *Drepanodus subarcuatus* Furnish, *Hirsutodontus dzhherbiensis* Abaimova, *H. cf. hirsutus* Miller, *H. rarus* Miller, *H. cf. rarus* Miller, обломок *Loxodus* (?) sp., обломок *Oneotodus mitra* Abaimova, *O. nakamurai* Nogami, *O. variabilis* Lindström, *Pallodus* (?) *bassleri* Furnish и *P. (?) variabilis* Furnish, которые могут быть отнесены к I комплексу (Абаймова, 1972, 1975). Все эти виды вместе не встречены ни в одном местонахождении; в большинстве разрезов конодонты этого комплекса появляются значительно выше, обычно в десятках метров от подошвы устькутской свиты (в стратотипе — 62 м). Однако отложения нижней, доломитовой подсвиты устькутской свиты лишены других фаунистических остатков, а наличие конодонтов позволяет сопоставить нижнеордовикские горизонты региональной стратиграфической шкалы с международной.

Виды *Clavohamulus triangularis* и *Hirsutodontus dzhherbiensis* встречаются только в отложениях с I комплексом конодонтов Ньюско-Джербинской впадины; *H. cf. rarus* (с уплощенной базальной стороной; табл. XV, фиг. 5) — только в разрезе по р. Малая Чуя, в Иркутском амфитеатре; *Cordylodus proavus* в австралийских разрезах встречен в трех нижних зонах тримадока (Jones, Shergold, Druce, 1971), на юге Сибирской платформы — в отложениях с I и II комплексами конодонтов (Абаймова, 1975, с. 8—11), в США — в верхней половине пачки 6 свиты Notch Peak, несколько выше находок трилобитов *Euplychaspis* (Miller, 1969), в Иране — в 4 зоне верхнего кембрия (Miller, 1973); *C. cf. proavus* Druce et Jones — в двух нижних зонах тримадока Австралии.

Вид *Drepanodus subarcuatus* повсеместно распространен в ордовикских отложениях. Вид *Hirsutodontus hirsutus* известен из верхов свиты Notch Peak и из зоны *Oneotodus bicuspatus* — *Drepanodus simplex* тримадока Австралии; *H. rarus* — из верхней части пачки 6 свиты Notch Peak Северной Америки и отложений с I комплексом конодонтов юга Сибирской платформы. Вид *Oneotodus variabilis* повсеместно встречается в нижнем ордовике; *O. mitra* присутствует только в отло-

жениях с V комплексом конодонтов в Ньюско-Джербинской впадине; *O. nakamurai* найден в верхнекембрийских отложениях Китая, Австралии, США и в основании нижнего ордовика Северной Америки и Австралии. Вид *Paltodus (?) bassleri* обнаружен в нижнем ордовике Австралии (зоны *Cordylodus prion* — *Scolopodus*, *Cordylodus rotundatus* — *C. angulatus* и *Chosonodina herfurthi* — *Acodus*), США и юга Сибирской платформы (комплексы I—V); *Paltodus (?) variabilis* широко распространен в нижнем ордовике северного полушария.

Корреляция отложений, вмещающих данный (I) комплекс конодонтов на юге Сибирской платформы, затруднительна ввиду малочисленности и фрагментарности находок, а также неидентичности сибирских, австралийских и американских комплексов. Наибольшее сходство приведенный комплекс имеет, благодаря присутствию родов *Hirsutodontus* и *Clavohamulus* с комплексом верхней части 6-й пачки свиты Notch Peak США (Miller, 1969). Согласно сопоставлению, проведенному П. Дж. Джонсом (Jones, 1971, с. 29—37, фиг. 13), эта часть разреза отвечает верхней части зоны Saukia и в австралийской шкале — 2 или 3 нижним зонам тремадока: *Cordylodus proavus*, *Oneotodus bicuspidatus* — *Drepanodus simplex* и, возможно, *Cordylodus oklahomensis* — *C. lindstroemi* (Jones, 1971, рис. 13; Jones, Shergold, Druce, 1971, рис. 6).

В комплексах двух верхних зон из перечисленных содержатся виды, которые на юге Сибирской платформы встречаются в отложениях со II и III комплексами, т. е. выше коррелируемого уровня (*Oneotodus gracilis*, *Drepanodus simplex*, *Cordylodus intermedius*, *C. oklahomensis*, *Acanthodus* sp.). К тому же, в сибирских разрезах до сих пор не найдены виды *Oneotodus datsonensis*, *O. erectus*, *Acanthodus uncinatus*, в том числе и зональные для Австралии *Oneotodus bicuspidatus* и *Cordylodus lindstroemi*. Поэтому выделение зоны *Oneotodus bicuspidatus* — *Drepanodus simplex* в настоящее время не может быть обосновано, а аналоги зоны *Cordylodus oklahomensis* — *C. lindstroemi*, возможно, лежат выше и соответствуют отложениям со II и III комплексами.

Изложенный материал позволяет с уверенностью сопоставлять отложения с I комплексом конодонтов с одной лишь зоной *Cordylodus proavus*, которая сопоставляется (Jones, Shergold, Druce, 1971, с. 28) с диктионемовыми сланцами северной Европы.

#### ОПИСАНИЕ КОНОДОНТОВ

##### Род *Clavohamulus* Furnish, 1938, emend Miller, 1969

###### *Clavohamulus triangularis* Abaimova, 1975

Табл. XIV, фиг. 2, 3, 5, 6; табл. XV, фиг. 1, 3

*Clavohamulus triangularis*: Абаймова, 1975, с. 54, 55, табл. III, фиг. 3, 4, рис. 6 (26).

Голотип: № 68/2039/2а; колл. № 1352, СНИИГГиМС; р. Джерба (нижнее течение), ур. Кыс-Турук, обн. 54, слой 10; нижний ордовик. Табл. XIV, фиг. 2а, б.

Материал. 6 экземпляров хорошей сохранности и обломки.

Описание, размеры и сравнение даны в работе Г. П. Абаймовой (1975).

Замечание. При изучении конодонтов данного вида на сканирующем электронном микроскопе выяснилось, что их поверхность покрыта короткими, одинаково ориентированными столбиками, полигональными в сечении. У основания столбиков часто расположены округлые поры. Макушка конодонта, обращенная вниз и, возможно, представляющая собой недоразвитый зубец, покрыта мелкими частыми округлыми в сечении бугорками.

Распространение и возраст. Юг Сибирской платформы, нижний ордовик, низы устькутской свиты.

Местонахождение. Р. Джерба, ур. Кыс-Турук, обн. 54 (VII), слой 10; р. Лена у пос. Батамай, обн. 203 (VI), слой 15, у г. Киренска (III), верхи устькутской свиты близ контакта с ийской свитой.

##### Род *Cordylodus* Pander, 1856

###### *Cordylodus proavus* Müller, 1959

Табл. XIV, фиг. 1

*Cordylodus proavus*: Müller, 1959, с. 448, 449, табл. 15, фиг. 11, 12, 18; рис. 3В; Miller, 1969, с. 424—426, табл. 65, фиг. 37—45; Jones, 1971, с. 48, табл. 2, фиг. 9; Druce and Jones, с. 70, 71, табл. I, фиг. 1—6; Абаймова, 1975, с. 109, 110, табл. X, фиг. 16, рис. 8 (27, 28).

Голотип: SMF 10367, обр. № 1030, в Естественно-научном музее Senckenberg (Франкфурт-на-Майне, ФРГ); США, Оклахома; ? верхний кембрий, нижний ордовик, свита Champlain Ranch.

Материал. Более 15 экземпляров удовлетворительной сохранности.

Описание приведено в работе К. Й. Müller (1959, с. 448, 449).

Распространение и возраст. США, Австралия, Китай, юг Сибирской платформы; нижний ордовик, возрастные аналоги нижнего тремадока.

Местонахождение. Р. Лена у пос. Батамай, обн. 201, слой 3; обн. 203 (VI), слой 15; у г. Усть-Кута (II), стратотип устькутской свиты, пачка 7, 116 м выше контакта с илгинской свитой; р. Джерба в нижнем течении, обн. 54 (VII), слои 9, 11 и 26, устькутская свита.

##### Род *Hirsutodontus* Miller, 1969

###### *Hirsutodontus dzherbiensis* Abaimova, 1971

Табл. XIV, фиг. 8, 9; табл. XV, фиг. 2, 6, 7

*Hirsutodontus dzherbiensis*: Г. П. Абаймова, 1971, с. 79, табл. X, фиг. 9, 10, рис. 4; 1975, с. 71, 72, табл. VI, фиг. 7, 8, рис. 7 (11).

Голотип: № 68/2039/1а, колл. № 1352, СНИИГГиМС; р. Джерба, нижнее течение, обн. 54, слой 10; низы устькутской свиты.

Материал. 18 экземпляров хорошей сохранности и обломки.

Описание, размеры и сравнение даны в работе Г. П. Абаймовой (1971).

Распространение и возраст. Юго-восток Сибирской платформы; нижний ордовик, низы нижнего тремадока.

Местонахождение. Р. Джерба, обн. 54 (VII), слой 10, низы устькутской свиты.

##### *Hirsutodontus rarus* Miller, 1969

Табл. XIV, фиг. 4, 7; табл. XV, фиг. 5

*Hirsutodontus rarus*: Miller, 1969, с. 431, табл. 64, фиг. 36—42; Абаймова, 1975, с. 72, 73, табл. 1, фиг. 20, рис. 7 (10).

Голотип: UW 1325 в Музее Висконсинского университета; США, Юта, нижний ордовик, верхи свиты Notch Peak.

Материал. Два экземпляра хорошей сохранности.

Описание приведено в работе J. F. Miller (1969, с. 431).

Распространение и возраст. США, юг Сибирской платформы; низы нижнего ордовика.

**Местонахождение.** Р. Лена у пос. Батамай, обн. 203 (VI), слой 15; р. Малая Чуя, 20 км выше устья (V), 50 м выше подошвы устькутской свиты.

*Hirsutodontus* cf. *hirsutus* Miller, 1969

Табл. XIV, фиг. 10

**Материал.** Один экземпляр удовлетворительной сохранности. **Описание.** Конодонты маленькие, слабо асимметричные (асимметрия проявляется лишь в расположении игл), наклоненные. Зубец короткий прямой, круглый в поперечном сечении, гладкий тупоконечный, с быстро сходящимися к вершине сторонами. Основание большое, сильно расширенное, до половины высоты конодонта, с полупрозрачными, относительно тонкими стенками. Базальный край в плане округленно-треугольный, сердцевидный, с выемкой на передней стороне. Базальная полость широкая, глубокая, плохо различимая. На передней стороне — немногочисленные (6) редкие, несимметрично расположенные иглы.

**Размеры, мм<sup>6</sup>**

№ экземпляра	<i>h</i>	<i>l</i>	<i>N</i>	<i>t</i>	<i>t<sub>1</sub></i>	<i>d</i>	<i>d<sub>1</sub></i>	<i>h</i>	<i>n</i>
M-10-5/2	0,35	0,40	0,48	0,28	0,11	0,31	0,10	0,12	0,27

**Сравнение.** От типичного вида отличается сердцевидным контуром базального края и более короткими выростами.

**Распространение и возраст.** Юг Сибирской платформы, нижний ордовик, устькутская свита.

**Местонахождение.** Левый берег р. Лены напротив г. Киренска (III), пачка 4, верх устькутской свиты близ контакта с ийской свитой.

**Род *Oneotodus* Lindström, 1954**

*Oneotodus nakamurai* Nogami, 1967

Табл. XIV, фиг. 12—14, 16

*Oneotodus nakamurai*: Nogami, 1967, с. 216, 217, табл. 1, фиг. 9—13; Jones, 1971, с. 58, табл. 4, фиг. 1—4; Druce and Jones, 1971, с. 82, 83, табл. 10, фиг. 1—8, рис. 26 i, j; Müller, 1973, с. 41, табл. 5, фиг. 4.

**Голотип:** JCD-1044 в Музее Геологического института университета Киото; Северо-Восточный Китай, верхний кембрий, свита Yencho.

**Материал.** 10 экземпляров удовлетворительной сохранности.

**Описание.** Конодонты маленькие, изогнутые выше основания. Зубец белый, прямой или слабоизогнутый, заостренный на конце. Передняя, задняя и боковые стороны округленные, гладкие, в различной степени выпуклые; поперечное сечение зубца варьирует от овального до круглого. Основание высокое, равномерно расширенное, с тонкими гладкими прозрачными стенками, янтарное; отчетливо, ровной линией отделяется от белого, непрозрачного зубца. Базальный край ровный, в плане круглый или эллиптический.

**Размеры, мм**

№ экземпляра	<i>h</i>	<i>l</i>	<i>N</i>	<i>t</i>	<i>t<sub>1</sub></i>	<i>d</i>	<i>d<sub>1</sub></i>	<i>h</i>	<i>n</i>
M-805-6/1a	—	—	—	0,36	0,15	0,21	0,12	0,34	—
M-805-6/16	—	—	—	0,35	0,14	0,35	0,14	0,50	—

<sup>6</sup> Буквенные обозначения измерений даны в соответствии с предложенными в работе С. П. Сергеевой и др. (1975).

**Изменчивость.** Варьирует форма поперечного сечения зубца и базального края в плане.

**Сравнение.** От других видов отличается белым непрозрачным зубцом и глубокой базальной полостью. От *O. mitra* Ab. отличается наличием хорошо сформированного прямого зубца и менее расширенным основанием.

**Распространение и возраст.** Китай, Австралия, верхний кембрий; Австралия, юг Сибирской платформы, нижний ордовик, аналоги нижнего тремадока.

**Местонахождение.** Р. Илим, правый берег, 3 км ниже пос. Аталаово (I), устькутская свита, 60 м выше контакта с илгинской свитой; р. Лена близ г. Усть-Кута (II), стратотип устькутской свиты, 62 м выше контакта с илгинской свитой.

*Oneotodus variabilis* Lindström, 1954

Табл. XIV, фиг. 11; табл. XV, фиг. 4

*Oneotodus variabilis*: Lindström, 1954, с. 582, табл. 2, фиг. 14—18, 47, табл. 5, фиг. 4, 5, рис. 6; Mound, 1968, с. 414, табл. 3, фиг. 42—57, 59, табл. 4, фиг. 1—8; Абаимова, 1975, с. 84, 85, табл. VII, фиг. 11, 13, рис. 7 (19, 20).

**Голотип:** № LO 3598 Т в Музее Палеонтологического института Лундского университета; Швеция, нижний ордовик, тремадок, зона *Seratopyge forcicula*.

**Материал.** Один экземпляр хорошей сохранности.

**Описание** приведено в работах M. Lindström (1954, с. 582) и Г. П. Абаимовой (1975).

**Распространение и возраст.** Швеция, США, Ньюфаундленд, Австралия, юг Сибирской платформы; нижний ордовик.

**Местонахождение.** Р. Лена напротив г. Киренска (III), верх устькутской свиты.

**ЛИТЕРАТУРА**

Абаимова Г. П. Новые раннеордовикские конодонты юго-востока Сибирской платформы. — «Палеонтол. журнал», 1971, № 4, с. 74—81.

Абаимова Г. П. Комплексы конодонтов в ордовике юго-востока Сибирской платформы. — «Сов. геология», 1972, № 10, с. 124—130.

Абаимова Г. П. Раннеордовикские конодонты среднего течения р. Лены. Новосибирск, «Наука», 1975, 140 с. (Труды СНИИГГИМС, вып. 207).

Никифорова О. И., Андреева О. Н. Стратиграфия ордовика и силура Сибирской платформы и ее палеонтологическое обоснование. Л., Гостехиздат, 1961. 412 с. (Труды ВСЕГЕИ, нов. серия, т. 56).

Сергеева С. П., Вийра В. Я., Москаленко Т. А., Абаимова Г. П. Ориентировка, морфологическая терминология и измерения простых конодонтов. — «Палеонтол. журнал», 1975, № 3, с. 113—120.

Druce E. C., Jones P. J. Cambro-Ordovician conodonts from the Burke River Structural Belt, Queensland. Canberra, 1971. 159 p. (Bur. Miner. Resour. Aust. Bull. 110).

Furnish W. M. Conodonts from the Prairie Du Chien (Lower Ordovician) beds of the Upper Mississippi Valley. — „J. paleontol.“, 1938, vol. 12, N 4, p. 318—340.

Jones P. J. Lower Ordovician conodonts from the Bonaparte Gulf Basin and the Daly River Basin, northwestern Australia. Canberra, 1971. 80 p. (Bur. Miner. Resour. Aust. Bull. 117).

Jones P. J., Shergold J. H., Druce E. C. Late Cambrian and Early Ordovician Stages in western Queensland. — „J. Geol. Soc. Australia“, 1971, vol. 18, pt. 1, p. 1—32.

Lindström M. Conodonts from the lowermost Ordovician strata of South-Central Sweden. — „Geol. Fören. Stokholm. Forhandl.“, 1954, Bd. 76, H. 4, № 479, S. 517—601.

Miller J. F. Conodont fauna of the Notch Peak Limestone (Cambro-Ordovician). House Range, Utah. — „J. paleontol.“, 1969, vol. 43, N 2, p. 413—439.

Mound M. C. Conodonts and Biostratigraphy of the Lower Arbuckle Group (Ordovician), Arbuckle Mountains, Oklahoma. — „Micropaleontol.“, 1968, vol. 14, № 4, p. 393—434.

Müller K. J. Kambrische Conodonten. — „Z. Dtsch. geol. Ges.“, 1959, Bd. 111, S. 434—485.

- Müller K. J. Late Cambrian and Early Ordovician Conodonts from northern Iran.— „Geol. Surv. Iran”, 1973, Rep. 30, 79 p.  
 Nogami Y. Cambrische Conodonten von China. Teil 2. Conodonten aus den hochobercambrischen Yencho-Schichten.— „Mem. Coll. Sci. Univ. Kyoto. Ser. B”, 1967, vol. XXXIII, № 4, S. 211—218.

Т. В. Лопушинская, В. У. Петраков

## РАСЧЛЕНЕНИЕ И КОРРЕЛЯЦИЯ СИЛУРИЙСКИХ ОТЛОЖЕНИЙ В БАССЕЙНЕ РЕК ХАНТАЙКИ И МОГОКТЫ

Силурийские отложения на северо-западе Сибирской платформы заслуживают большого внимания в связи с перспективностью на нефть и газ. Они обладают регионально выдержаными трещинно-кавернозными коллекторами, которые с поверхности надежно экранированы глинисто-сульфатной толщей девона и мощными лавовыми покровами триаса. В последнее время вновь развернулись работы по изучению силурийских отложений; сотрудниками СНИИГГиМСа систематически проводится отбор и изучение керна из силурийских отложений, вскрытых скважинами.

На изучаемой территории расположены целый ряд естественных выходов силурийских пород. Наибольший интерес представляет разрез по р. Левому Омнутаху, который по своей полноте и палеонтологической охарактеризованности может быть назван опорным для приенисейской части северо-запада Сибирской платформы (Лопушинская, 1974, 1976). Не менее интересным является и разрез силура, расположенный в верховых р. Хантайки и по ее правому притоку р. Могокте (нижнее течение). В 1959 г. геологами и палеонтологами СНИИГГиМСа Н. И. Горовцовой, М. А. Замятиным, С. А. Кащенко, В. У. Петраковым и А. Г. Ядренкиной детально описан данный разрез и собрана богатая коллекция органических остатков (Микуцкий, Петраков, 1962, 1963). Повторное изучение этого уникального разреза невозможно в связи с тем, что он в настоящее время затоплен водохранилищем Хантайской ГЭС.

В структурном отношении силурийские отложения рек Хантайки и Могокты слагают периферийную часть восточного крыла Хантайского вала. В литологическом отношении — это карбонатная толща мощностью (включая закрытые промежутки) 311 м на р. Хантайке и 540 м на р. Могокте. Органические остатки представлены в основном брахиоподами, в меньшей степени кораллами, ostrакодами, гастроподами и др. Табуляты определены Ю. И. Тесаковым, ругозы — А. Б. Ивановским, конодонты — Т. А. Москаленко.

В бассейне рек Хантайки и Могокты на основании палеонтологических данных выделены нижний и верхний силур в объеме лландоверийского, венлокского и лудловского ярусов. По брахиоподам отложения лландоверии подразделены на средний и верхний, а венюка — на нижний и верхний подъярусы. Слои с брахиоподами, выделенные в составе силурийских отложений разреза р. Левого Омнутаха (Лопушинская, 1974), характерны и для разрезов рек Хантайки и Могокты.

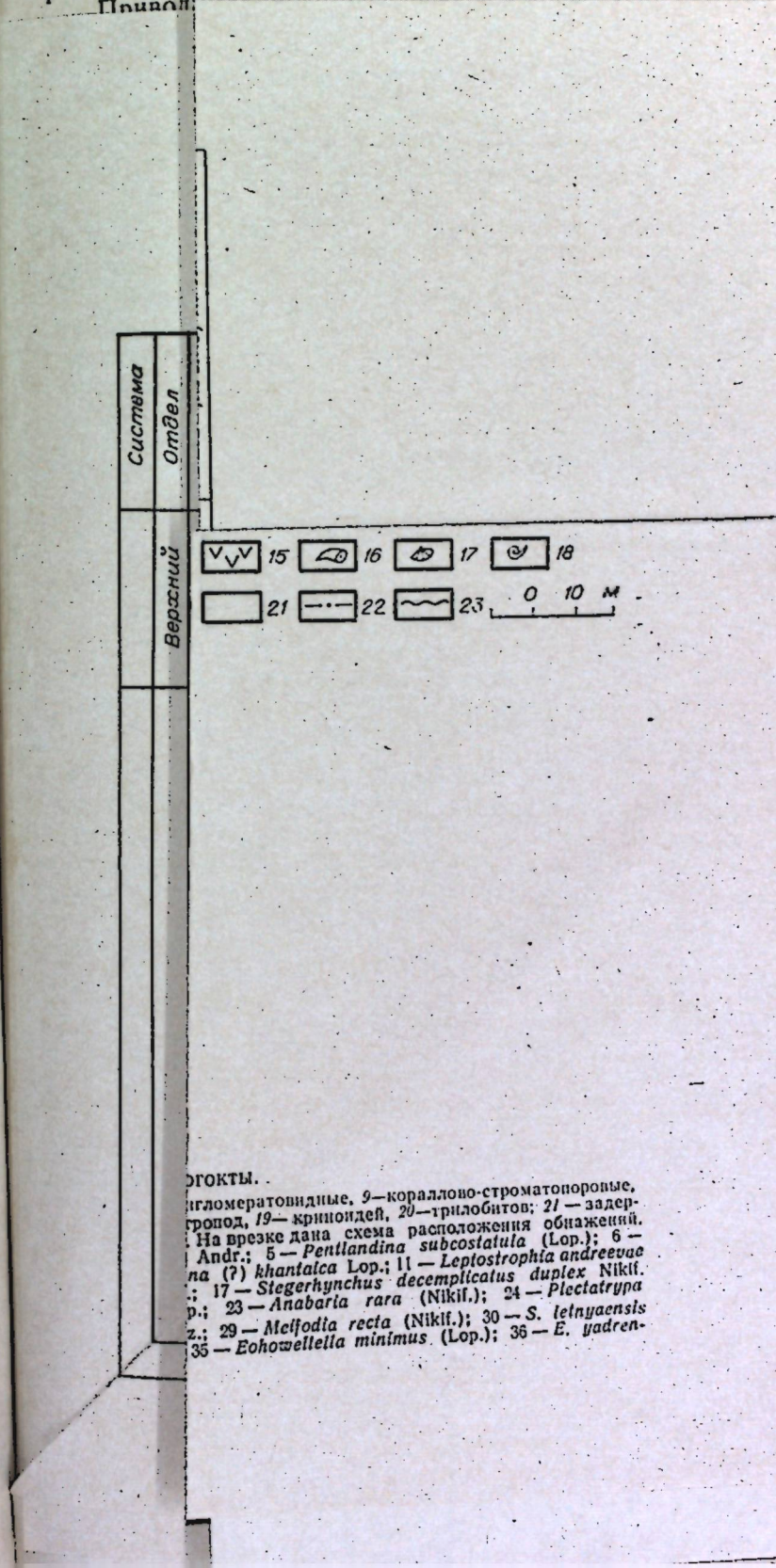
Силурийские отложения на р. Хантайке с глубоким размывом ложатся на среднеордовиковые, которые представлены аргиллитами, мергелями, переслаивающимися с органогенными известняками с «тиично баксанским комплексом брахиопод, трилобитов, ostrакод, мшанок, табулят и ругоз» (Ядренкина, 1974, с. 18). На р. Могокте контакт силура с подстилающими отложениями задернован.

Брахиоподы являются одной из самых представительных групп организмов, встречающихся в силуре Сибирской платформы. Для них

характерна смена видового, а иногда и родового состава на границах стратиграфических подразделений, что позволяет не только определять возраст вмещающих отложений, но и детально расчленять и коррелировать силурийские отложения платформы.

Прилож:

рек Хантайки  
сунок).



рогокты.  
 15 — *Pentlandina subcostatula* (Lop.); 16 — *Leptostrophia andreevae* na (?) *khantayka* Lop.; 17 — *Stegerynchus decemplicatus duplex* Nikif.; 21 — *Anabarla rara* (Nikif.); 22 — *Plectatrypa* p.; 23 — *Meliodia recta* (Nikif.); 30 — *S. letnyaensis* z.; 35 — *Eohowellella minimus* (Lop.); 36 — *E. yadren-*

кты, на-  
еновато-  
лей и не-  
прослой  
задерно-  
абуляты  
*ta* sp.; в  
*mia gor-  
ella yad-  
uicostata*

*rubeli* и  
и, 0,8 км  
да темно-  
слана-  
3-20, слои  
*sperorthis*  
*ica* Andr.,  
*zana* Lop.,  
*erhynchus*  
*, Alispira*  
*nensis* Lop.,  
*Howellella*

1 км ниже  
зелеными  
лками, и с  
3н. КС-13).  
*us* Goldf.,  
*ormis* Sok.,  
*licus* Lam.,  
*ellophyllum*  
*z siluricum*  
sk., *C. caly-  
isk.*

Хантайки,  
оолитовых,  
х с розово-  
пиритизиро-  
зелеными  
повсеместно  
*ensis* Nikif.,  
, *Stropho-*  
*ia gorbyat-*

Müller K. J. Late Cambrian and Early Ordovician Conodonts from northern Iran.— „Geol. Surv. Iran”, 1973, Rep. 30, 79 p.

Nogami Y. Cambische Conodonten von China. Teil 2. Conodonten aus den hochobercambrischen Yencho-Schichten.— „Mem. Coll. Sci. Univ. Kyoto. Ser. B”, 1967, vol. XXXIII, № 4, S. 211—218.

## РАСЧЛЕ

Силу заслужив и газ. Он ми колле сто-сульф аса. В по рийских о водится о скважина.

На из ходов сил р. Левому охарактер части севе Не менее и ях р. Хант В 1959 г. цовой, М. ренкиной органическ изучение э в настоящем.

В стру и Могокты вала. В ли стью (вкли на р. Мого подами, в др. Табулят конодонты —

В бассе ческих дани рийского, ве лландоверий и верхний п лурийских (1974), харак

Силурий жатся на ср гелями, пере баксанским табулят и ру лура с подст

Брахиоп организмов,

характерна смена видового, а иногда и родового состава на границах стратиграфических подразделений, что позволяет не только определять возраст вмещающих отложений, но и детально расчленять и коррелировать силурийские отложения платформы.

Приводимое ниже расчленение и корреляция разрезов рек Хантайки и Могокты основано на результатах изучения брахиопод (см. рисунок).

## НИЖНИЙ СИЛУР

### Лландоверийский ярус

#### Среднелландоверийский подъярус. Слои с *Dalmanella neocrassa* и *Alispira*.

На правом берегу р. Хантайки, в 3 км выше устья р. Могокты, наблюдается неравномерное переслаивание грязно-зеленых и зеленоватоместами темно-серых, мелкокристаллических известняков, мергелей и небольших прослоев сланцев. В кровле толщи — полуметровый прослой лилово-красных аргиллитов. Мощность толщи 57 м (включая задернованные участки; обн. КС-1, слои 1—4). В слоях 1—2 встречены табуляты *Favosites kuklini* Tchern., и ругозы *Zaphrentis* sp., *Holophragma* sp.; в слоях 3—4 — брахиоподы *Leptostrophia andreevae* Lop., *Fardenia gorbiatchensis* Lop., *Stegerynchus extendilatus* Lop., *Eohowellella yadrenkinae* Lop., многочисленные *Alispira gracilis* Nikif. и *A. tenuicostata* Nikif., обломки пелеципод и трилобитов.

Верхнелландоверийский подъярус. Слои с *Hesperorthis rubeli* и *Mendacella tungussensis* обнажены на левом берегу р. Хантайки, 0,8 км выше порога № 4, и в 3 км выше устья р. Могокты. Эта толща темно-серых, кристаллических, тонкоплитчатых известняков, переслаивающихся с грязно-зелеными мергелями. Мощность 35 м (обн. 3-20, слои 5—10; КС-1, слои 5—10). Определены брахиоподы: *Hesperorthis rubeli* Lop., *Mendacella tungussensis* Nikif., *Strophomena sibirica* Andr., *Rafinesquina* (?) *inaequicostata* Lop., *Strophonella* (?) *kulumbeana* Lop., *Leptostrophia andreevae* Lop., *Leptostrophia petrakovi* Lop., *Stegerynchus decemplicatus duplex* Nikif. et T. Modz., *S. extendilatus* Lop., *Alispira gracilis* Nikif., *A. tenuicostata* Nikif., *Septatrypa letnyaensis* Lop., *Meristina lacrima* Nikif., *Eohowellella yadrenkinae* Lop., *Howellella elevataeformis* Lop.

Аналоги этих отложений на р. Могокте находятся в 0,5 км ниже руч. Нижнего и сложены серыми, темно-серыми и грязно-зелеными мергелями, переслаивающимися с тонкоплитчатыми известняками, и с неровными поверхностями напластования. Мощность 98 м (обн. КС-13). Встречены табуляты: *Favosites kuklini* Tchern., *F. favosus* Goldf., *F. gothlandicus* var. *incerta* Tchern., *Palaeofavosites forbesiformis* Sok., *Mesofavosites* sp., *Catenipora* sp., *Halysites* ex gr. *gothlandicus* Lam., *Multisolenia* sp.; ругозы: *Brachyelasma fossulatum* Ivansk., *Entellophyllum medius* Ivansk., *Calostylis concavifundatus* Reim., *Cystilasma siluricum* Zapr. et Ivansk., *Cysticonophyllum khantaikaense* Zapr. et Ivansk., *C. calyxoides* Ivansk., *Dentilasma honorabilis* Ivansk., *D. contempta* Ivansk.

Слои с *Stegerynchus extendilatus*. На правом берегу р. Хантайки, непосредственно ниже порога № 2, прослеживается толща оолитовых, глинистых и песчанистых, светло-, темно- и зеленовато-серых с розово-лиловым оттенком известняков, местами окремненных и пиритизированных, переслаивающихся с зеленовато-серыми и грязно-зелеными мергелями. Мощность 86 м (обн. П-130, слои 1—19). Почти повсеместно найдены многочисленные брахиоподы: *Mendacella tungussensis* Nikif., *Strophomena sibirica* Andr., *Penitlandina subcostatula* (Lop.), *Strophodonta polaris* Andr., *Leptostrophia talikitensis* Lop., *Fardenia gorbiatchensis* Lop.

*chensis* (Lop.), *Stegerhynchus extendilatus* Lop., *S. tungussensis* Lop., *Alispira gracilis* Nikif., *A. tenuicostata* Nikif., *Protatrypa alia* (Nikif.), *Septatrypa letnyaensis* Lop., *Cryptothyrella norilica* (Nikif.), *Eohowellella yadrenkinae* Lop., *Howellella elevataesformis* Lop.; табуляты *Favosites hirritus* Tchern.; ругозы *Brachyelasma* sp. и конодонты *Apsidognathus tuberculatus* Walliser, *Panderodus* sp.

На р. Могокте, в устье руч. Нижнего, с данными слоями сопоставляется толща переслаивающихся серых, темно- и зеленовато-серых плитчатых, комковатых известняков, темно-зеленых, зеленовато-желтых мергелей и вишнево-красных аргиллитов. Мощность 145 м (включая задернованные участки; обн. КС-11, КС-12). Встречаются фрагменты неопределенных брахиопод и трилобитов.

### Бенлокский ярус

**Нижневенлокский подъярус. Слои с *Anabaria rara*.** На р. Хантайке эти слои вскрываются по обоим берегам ниже порога № 2 и в 0,8 км выше порога № 4. Здесь серые и черные кавериозные, ноздреватые битуминозные известняки переслаиваются с грязно-зеленовато-серыми пелитоморфными известняками и серыми, светло-серыми песчанистыми известняками. Мощность 37 м (включая задернованные участки; обн. П-130, слои 20—21; 3—21, слой 1). Известняки содержат брахиоподы *Protatrypa septentrionalis* (Nikif.), *P. lepidota* Nikif. et T. Modz. и немногочисленные табуляты *Favosites* sp.

Одновозрастные отложения на р. Могокте присутствуют по обоим берегам ее, против и ниже устья руч. Среднего. В основании толщи грязно-зеленые и тонкоплитчатые мергели, в которых встречаются прослои средне- и тонкоплитчатых (10—15 см) темно-серых органогенных известняков, сменяющихся окремненным метаморфизованным мергелем и глинистым темно-зеленым до черного известняком без органических остатков. Мощность 33 м (включая задернованные участки; обн. КС-10). В органогенных известняках встречены брахиоподы *Fardenia propria* (Lop.), *Stegerhynchus tungussensis* Lop., *Alispira tenuicostata* Nikif., *Anabaria rara* (Nikif.), *Hyattidina parva* (Nikif.), *Eohowellella minimus* (Lop.) и табуляты *Multisolenia* sp.

**Слои с *Fardenia propria* и *Plectatrypa wenlockiana*.** На левом берегу р. Хантайки, 0,8 км выше порога № 4, вскрываются тонко- и среднеплитчатые, тонко- и скрытокристаллические, комковатые, узловато-слоистые, темно-серые, почти черные известняки. Мощность 5,3 м (обн. З-21, слои 2—3). Остальная часть 18,5 м приходится на закрытый участок. В известняках найдены брахиоподы *Fardenia propria* (Lop.), *Plectatrypa wenlockiana* Lop. и табуляты *Multisolenia* sp.

Аналоги этих отложений на р. Могокте обнажены на правом берегу, 0,7—0,8 км выше устья руч. Среднего, в виде переслаивания неоднородных известняков: серых и темно-серых; битуминозных, частично окремненных со среднекристаллическими, глинистыми, органогенно-шламмовыми и с пятнистыми, тонкоизвестняковыми, частично доломитизированными, а также с мергелями грязно-зелеными, тонкорассланцованными. Мощность 118 м (включая 9-метровый закрытый участок; обн. КС-9). Из брахиопод определены *Strophodonta omnukhensis* Lop., *Fardenia propria* (Lop.), *Stegerhynchus mojeroensis* Lop., *Lenatoechia multicostata* Lop., *Anabaria rara* (Nikif.), *Plectatrypa wenlockiana* Lop., *Protatrypa lepidota* Nikif. et T. Modz., *Cryptothyrella norilica* (Nikif.), из табулят — *Multisolenia* sp.

**Верхневенлокский подъярус. Слои с *Hyattidina* (?) *acutisummi-***

На левом берегу р. Хантайки, 0,9 км выше порога № 4, слои представлены известняками тонко-, толсто- и среднеплитчатыми, мелко- и скрытокристаллическими, пелитоморфными прослойями доломитизиро-

ванными, серыми, светло-, темно- и зеленовато-серыми с буроватым оттенком, неравномерно-полосчатыми, битуминозными. Мощность около 29 м (обн. З-23). Встречены многочисленные брахиоподы: *Pentlandina subcostatula* (Lop.), *Strophodonta omnukhensis* Lop., *Fardenia propria* (Lop.), *Anabaria rara* (Nikif.), *Plectatrypa wenlockiana* Lop., *Omnukhella baschenovae* Lop., *Protatrypa lepidota* Nikif. et T. Modz., *Hyattidina parva* (Nikif.), *Eohowellella minimus* (Lop.), *E. yadrenkinae* Lop., *Howellella elevataesformis* Lop. и табуляты: *Palaeofavosites cf. balticus* (Rukh.), *Favosites* sp., *Multisolenia* sp.

Аналоги этих отложений на р. Могокте не вскрыты.

Отложения, венчающие верхний венлок, на р. Хантайке, расположены в районе порога № 5 по обоим берегам. Они представлены светло- и темно-серыми, тонко- и крупнокристаллическими, органогенными, коралло-строматопоровыми известняками, включающими кремень и песчанистые примеси. Среди известняков наблюдаются гнезда сильнобитуминозного доломита. Мощность 44 м (обн. КС-2; КС-4; КС-5; КС-6). В известняках, лишенных песчанистых примесей, найдены брахиоподы *Strophodonta omnukhensis* Lop., *Leptaena khantaica* Lop., *Fardenia propria* (Lop.), *Omnukhella baschenovae* Lop., *Protatrypa lepidota* Nikif. et T. Modz., *Hyattidina parva* Nikif. и табуляты *Favosites* sp.

На р. Могокте, 1,2 км ниже устья руч. Лесного, прослеживаются известняки темно-серые, иногда с зеленоватым оттенком, плотные, тонко- и среднеплитчатые, тонкоизвестняковые и пелитоморфные, ноздреватые, окремненные, битуминозные, с включениями гнезд буроватого доломита. Мощность 19 м (включая задернованный участок; обн. КС-8). Известняки, аналогичные таковым на р. Хантайке, переполнены брахиоподами *Strophodonta omnukhensis* Lop., *Fardenia propria* (Lop.), *Protatrypa lepidota* Nikif. et T. Modz., *Hyattidina parva* (Nikif.), *H. acutisummitatus* Nikif. et T. Modz., и табулятами *Subalveolites* sp., *Favosites* (*Sapporipora*) cf. *fistulosus* Tchern.

### ВЕРХНИЙ СИЛУР

#### Лудловский ярус

Отложения, отвечающие лудловскому ярусу (верхний силур), на р. Хантайке не обнажены. На р. Могокте, 1,5 км ниже устья руч. Лесного, они сложены темно-серыми, ноздреватыми, конгломератовидными, массивными, тонкоизвестняковыми, отчасти глинистыми и окремненными известняками, лишенными органических остатков. Мощность 68 м (обн. КС-7).

Анализ изученного материала позволяет воссоздать историю развития исследуемого района. В начале силурийского периода район испытывал значительное воздымание, в результате которого море регрессировало из его пределов. Возникшая слабо расщепленная суши подвергалась эрозии и выветриванию. В процессе денудации на отдельных участках были размыты отложения верхнего ордовика (почти полностью) и нижнего лландовери.

Среднелландоверийское время знаменуется новой трансгрессией моря, достигшей максимума в позднем лландовери. Температура воды, соленость, газовый режим морского бассейна были благоприятны для пышного развития морских организмов. Обилие кораллов в верхнелландоверийских известняках указывает на повышенную температуру воды, нормальную соленость и глубину бассейна не более первых десятков метров. Многочисленные известковистые седиментационные брекции, следы подводных оползней и знаки раки свидетельствуют о наличии подводных течений, часто повторяющихся сильных волнений и рецессий.

сионных размывов на участках малых глубин. С пепленизированной суша, расположенной, вероятно, на западе, в пределах Западно-Сибирской плиты, реками со спокойным (степным) характером поставлялся в малых количествах тонкообломочный терригенный материал и коллоиды кремнезема.

В венлокский век происходят некоторые изменения в режиме бассейна. Фаунистический комплекс, столь богатый в лландовери, в венлоке несколько обедняется. Кораллы встречаются здесь не повсеместно, а образуют отдельные рифы. Широкое развитие получили гастроподы, остракоды, водоросли. В начале венлока отмечается частичная регрессия, сменившаяся новой трангрессией (максимум в середине века). Прилегающая с запада суша достигает, по-видимому, стадии наибольшей пепленизации, и в средневенлокский морской бассейн начинает выноситься в больших количествах хемогенный кремнезем. В конце венлока началась регрессия.

В позднесилурийскую эпоху в осолоненных полузамкнутых лагунах формировались доломитово-известковые осадки со специфическим комплексом фауны. Климат был сухой и жаркий, способствующий садке сульфатов и солей.

## ЛИТЕРАТУРА

Лопушинская Т. В. Биостратиграфическая характеристика силурийских отложений в разрезе р. Левый Омутах (бассейн р. Рыбной, северо-запад Сибирской платформы).— В кн.: Материалы по стратиграфии и палеонтологии Сибири. Новосибирск, 1974, с. 50–52. (Труды СНИИГГиМС, вып. 192).

Лопушинская Т. В. Брахиоподы и стратиграфия силурийских отложений севера Сибирской платформы. Новосибирск, Зап.-Сиб. кн. изд-во, 1976. 104 с. (Труды СНИИГГиМС, вып. 199).

Микуцкий С. П., Петраков В. У. К стратиграфии силурийских отложений Сибирской платформы.— В кн.: Материалы по геологии Западной Сибири. № 63. Изд. Томского ун-та, 1962, с. 94–102.

Микуцкий С. П., Петраков В. У. Силурийские отложения.— В кн.: Геологическое строение и перспективы нефтегазоносности северо-запада Сибирской платформы. Л., Гостоптехиздат, 1963, с. 53–60. (Труды СНИИГГиМС, вып. 28).

Ядренинина А. Г. Брахиоподы верхнего кембрия и ордовика северо-запада Сибирской платформы. Новосибирск, Зап.-Сиб. кн. изд-во, 1974. 164 с. (Труды СНИИГГиМС, вып. 151).

Е. П. Марков

## СТРАТИГРАФИЧЕСКИЙ КОНТРОЛЬ РАСПРЕДЕЛЕНИЯ ПОЛЕЗНЫХ ИСКОПАЕМЫХ В ОРДОВИКЕ СИБИРСКОЙ ПЛАТФОРМЫ

Ордовикские отложения Сибирской платформы с давних пор привлекали внимание исследователей благодаря многочисленным рудопроявлениям свинца, меди, фосфора, железа, стронция, флюорита, марганца. На сегодняшний день встал вопрос о ведении дальнейших поисковых работ, для чего необходимо уточнить поисковые критерии. Автор на основании многолетнего изучения ордовика платформы пришел к убеждению, что локализация многих руд в основном подчиняется стратиграфическому контролю. Ниже приводится фактический материал, который

## НИЖНИЙ ОРДОВИК

В нижнем ордовике на данном этапе исследования выявлены рудопроявления свинца, меди, стронция, флюорита. Рассмотрим распределение их по разрезу и по площади региона.

Свинец и медь. Первые находки их сделаны в устькутской свите Иркутского амфитеатра (Одинцов, 1948; Галабурда, 1962; и др.). Свинец локализуется в нижних слоях свиты и прослеживается в виде вкрашенных руд вдоль р. Лены (от ст. Жигалово до г. Киренска). В этом районе устькутская свита залегает согласно на илгинской верхней кембрия и представлена светло-серыми, часто с зеленоватым или желтоватым оттенком терригенно-карбонатными породами. Её нижние части сложены косослоистыми, иногда глауконитовыми серыми песчаниками, частью доломитизированными известняками, известняками и доломитами с оолитовой структурой. Верхняя часть свиты состоит из грубозернистых известковистых песчаников, мергелей и аргиллитов. Мощность свинцовоносной пачки известняков и известковистых песчаников достигает нескольких метров, но основное оруденение подчинено пласту известняка.

Оруденение здесь неравномерное: отдельные относительно обогащенные свинцом участки отделены один от другого безрудными промежутками. В рудоносных пластиах галенит присутствует в виде неравномерно рассеянной спорадической вкрашенности размером 1,0–1,5 мм, реже до 2–5 см. Галенит содержит в качестве примеси молибден (до 0,1%), изредка сурьму (до 0,1%). Совместно с галенитом в рудном пласте встречаются и другие минералы, такие как церусит, англезит, халькопирит, медная зелень, медная синь, пирит, лимонит. По данным химического и спектрального анализов установлено, что в породах нижней части устькутской свиты постоянно присутствует цинк.

Помимо свинца, в устькутской свите Ленского бассейна Иркутского амфитеатра установлены рудопроявления меди (Безродных и др., 1967). Расположены они в известняках, карбонатных песчаниках, доломитистых мергелях и внутриформационных конгломератах нижней подсвиты. Оруденение представлено окислами меди, халькопиритом, халькозином. Содержание меди низкое, составляет сотые и десятые доли процента.

Свинец и медь в осадочных толщах нижнего ордовика известны на юго-западе Тунгусской синеклизы (бассейн р. Подкаменной Тунгуски). Они приурочены к отложениям пролетарской, чуньской и байкитской свит. В бассейне среднего течения р. Подкаменной Тунгуски известно свинцовое месторождение с небольшим содержанием меди. Здесь свинец локализуется в оолитовых и строматолитово-водорослевых известняках и доломитах верхних частей чуньской и пролетарской свит. Руды жильного и вкрашенного типа с незначительным содержанием свинца. В верхних частях чуньской свиты, сложенных строматолитовыми и оолитовыми песчанистыми доломитами и известняками, свинец наблюдается в виде вкрашенности галенита и в других районах бассейна р. Подкаменной Тунгуски (районы р. Польпора, пос. Полигус).

На этом стратиграфическом уровне свинец найден в доломитах чуньской свиты северо-запада и востока Сибирской платформы (Багутов, Матухина, 1971); в Ньюско-Джербинской впадине автором данной статьи обнаружен самородный свинец в оолитовых известняках кровли устькутской свиты. Самородный свинец серого цвета с синей побежалостью, мягкий, встречается в виде тонких пластинок и жилок в трещинах и пустотах. Помимо свинца, в породе находятся мелкие «почки» малахита и лимонита, которые являются продуктами разложения халькоксидов.

копирита. В этом горизонте в районе рек Олдоца и Б. Мурбая (левые притоки р. Нюи) отмечается некоторое содержание цинка.

Рудопроявление меди в бассейне р. Подкаменной Тунгуски приурочено к песчаникам байкитской свиты, которые венчают разрез нижнего ордовика этого района. Здесь выявлено два участка (Бгатов, Марков, Маркова, 1973). На первом участке верхи байкитской свиты сложены чистыми, светло-серыми, кварцевыми песчаниками и содержат рудные тела, которые имеют форму линз размером от 2 до 30—40 м по простиранию. Литологически медистые песчаники не отличаются от вмещающих пород и представлены мелкозернистыми серыми разностями. В цементе и пустотах встречаются «почковидные» выделения малахита, а также зерна борнита, халькопирита, халькоцина, ковеллина. Зерна минералов имеют различную форму, но чаще округлые или вытянутые, размер их от 0,15 до 0,5 мм. Пустотки и поры между кластогенным материалом выполнены малахитом, азуритом, ковеллином и лимонитом. Содержание меди в штуфных пробах и во вмещающих песчаниках — доли процента.

Второй участок находится в 70 км к востоку от первого, на левом берегу р. Подкаменной Тунгуски, напротив о. Кокуй. Здесь река прорезает западное крыло Вельминского вала и вскрывает те же верхние слои байкитских песчаников. Песчаники мелко- и среднезернистые, тонко- и среднеплитчатые, массивные, горизонтально-слоистые, преимущественно кварцевые, светло-серые и розовато-белые, редко красноватые. Вкрапленники меди приурочены к верхам пачки и представлены в основном малахитом, который образует мелкие «почки» и цементирует песчаники. Содержание меди составляет доли процента.

Аналогичное рудопроявление меди в байкитских песчаниках известно на северо-востоке Сибирской платформы в бассейне р. Амбардаха. Руды вкрапленного типа, содержание меди в штуфовых пробах 1,5%.

Рудопроявления меди на этом же стратиграфическом уровне были встречены автором в Нюйско-Джербинской впадине. Они залегают в верхних слоях устькутской свиты, которые сложены маломощными оолитовыми известняками. Руды вкрапленного типа и состоят из халькопирита и малахита. Вкрапленность густая. Количество меди не определялось.

Аналогичное рудопроявление наблюдается в районе Березовской впадины, где верхние слои устькутской свиты, представленные известняками, оолитовыми и водорослевыми известняками, внутриинформационными известковыми конгломератами, включают густую вкрапленность халькопирита, помимо меди (содержание которой не определено), по данным спектрального анализа, известняки содержат свинец.

В нижнем ордовике Сибирской платформы также известны рудопроявления стронция и флюорита (Бгатов, 1973).

Стронций. Наибольшие концентрации стронция были обнаружены в разрезах нижнего ордовика по рекам Амбардаху, Маймечи, Подкаменной Тунгуске, Моркоке, Майеро и в междуречье Ангара — Подкаменная Тунгуска.

В бассейне р. Маймечи целестиноносными являются кремнистые доломиты и пестроцветные аргиллиты устькуранахской свиты. Доломиты содержат целестин в виде микроскопических прослоев и линзочек. Мощность пород, обогащенных целестином, небольшая, а содержание стронция в доломитовых внутриинформационных конгломератах достигает нескольких процентов. Целестин также обнаружен в доломитах пролетарской свиты в бассейне среднего течения р. Подкаменной Тунгуски.

На водоразделе Ангара — Подкаменная Тунгуска целестин присутствует в карбонатных породах пролетарской свиты в виде мелких

прослоек и тонкорассеянной вкрапленности. Валовые химические анализы пород показали некоторое содержание окиси стронция, а в отдельных слоях доломитов и доломитовых известняков содержание ее несколько увеличивается.

По рч. Майерокану (восточный борт Тунгусской синеклизы) целестин отмечен в доломитах, залегающих в основании устькутского горизонта. Здесь он распределен неравномерно, участками резко преобладает, и в этом случае виден под микроскопом в виде призматических кристаллов 1,0—1,5 мм. Содержание стронция на породу в одном прослое достигает нескольких процентов.

В верхних частях устькутской свиты также встречены целестиноносные породы в виде водорослевых известняков. Целестин в них вторичный и содержание стронция невелико.

Флюорит. Флюоритовая минерализация в нижнем ордовике установлена только в разрезе по р. Моркоке. Здесь отмечается прослойки доломита и доломитов с гипсами фиолетового оттенка, обусловленного примесью в них тонкокристаллического флюорита. В гипсовых прослойках и линзах флюорит встречается в виде мелких многочисленных зерен, часто включенных в гипс. Содержание его от нескольких до 80%. Мощность таких прослоек 0,2—0,3 м.

Флюорит также встречается в основании устькутской свиты на р. Майеро, где он приурочен к двум прослойям водорослевых известняков мощностью по 0,4 м.

## СРЕДНИЙ ОРДОВИК

Отложения содержат в основном тот же комплекс полезных ископаемых, что и в нижнем ордовике, но имеется и новый комплекс — фосфориты, железо.

Фосфориты. Фосфоритоносности среднеордовиковых отложений посвящено много работ (Никифорова, Андреева, 1961; Красильникова, Смирнов, 1962; Еникеева, Марков, 1965; и др.), в которых указано, что фосфориты приурочены к основанию криволуцкого горизонта и реже встречаются в его верхних частях. Наиболее полно фосфоритоносные отложения изучены в бассейне р. Подкаменной Тунгуски. Здесь разведано Гурьевское месторождение, где фосфориты залегают в основании криволуцкой свиты (волгинский подгоризонт). Эта часть свиты сложена песчано-алевритовыми породами кварцевого и частично полевошпатово-кварцевого состава с примесью глауконита и карбонатного материала. Мощность до 6 м.

Содержится несколько фосфоритовых слоев, два из которых представляют практический интерес. Нижний фосфоритовый слой сложен в основном кварцево-фосфоритным песчаником и фосфоритовым конгломератом, мощность которого не постоянна и меняется от 0,2 до 1,5—2,0 м. Фосфат в нем слагает конкреции, зерна и обломки раковин. Обильные остатки раковин брахиопод, трилобитов, головоногих указывают, что эти осадки относятся к волгинскому подгоризонту. Содержание  $P_2O_5$  достигает 7—20%, а в исходной руде — 6—10%, при сравнительно высоком содержании окислов железа.

Подобные фосфориты или близкие им по своему генетическому типу обнаружены практически во всех разрезах волгинского подгоризонта криволуцкого горизонта Сибирской платформы. Они известны на северо-западе Сибирской платформы, в Норильском районе, в бассейне р. Курейки. На востоке Тунгусской синеклизы (в бассейне р. Майеро).

еро) они залегают совместно с оолитовыми железными рудами. Также широко фосфориты распространены в бассейне рек Ангара, Иlimа, Лены. В Ангаро-Илимском районе в основании криволуцкой свиты выявлено 2—3 прослоя фосфоритов, разделенных безрудными пачками глинисто-алевритовых пород. Мощность слоев фосфорита от 2—3 см до 1 м. Содержание  $P_2O_5$  от 2 до 25%. Наиболее интересным является район г. Братска, где прослон фосфорита состоит из песчаников существенно кварцевого состава и обогащены большим количеством фосфатных раковин брахиопод и зерен глинисто-алевролитового фосфорита. Содержание  $P_2O_5$  в фосфатных раковинах достигает 30—37%, а в зернах фосфорита — 15—25%.

Фосфориты широко распространены в бассейне верхнего течения р. Нижней Тунгуски. В пределах зоны Непских дислокаций (р. Непа) фосфориты встречаются как в кварцевых песчаниках, так и в алевролитах и известняках волгинского подгоризонта в виде зерен глинистого фосфата с содержанием  $P_2O_5$  до 14% и фосфатных раковин брахиопод, трилобитов — до 10—12%.

На этом же стратиграфическом уровне фосфоритоносные песчаники и алевролиты известны также в бассейне среднего течения р. Лены (район пос. Половинки), в Березовской и Нюйско-Джербинской впадинах и в бассейне р. Вилюя. Фосфориты желвакового типа имеются также в верхах криволуцкого горизонта в кудринских песчаниках на р. Непе. Рудоносный пласт мощностью 0,20 м состоит из 50—70% из зерен мелкой гальки фосфоритов с содержанием  $P_2O_5$  до 5—17%.

Фосфориты обнаружены и в мангейском горизонте в тех же районах, что и фосфориты криволуцкого горизонта. Они широко распространены на юго-западе Тунгусской синеклизы (бассейн р. Подкаменной Тунгуски), на западе Сибирской платформы (в бассейне рек Курейки и Сухой Тунгуски) и реже встречаются на юге платформы (бассейн р. Лены). Рудовмещающим горизонтом являются базальные слои чертовской свиты, которые во всех перечисленных районах представлены алевролитами, песчаниками и аргиллитами. Фосфориты желвакового и ракушнякового типа с содержанием  $P_2O_5$  от 8 до 12%. Мощность рудоносных слоев 0,10—0,30 м.

В районах, где наблюдается перерыв в осадконакоплении между криволуцким и мангейским горизонтами (например, бассейн нижнего течения р. Подкаменной Тунгуски), в основании чертовского подгоризонта содержатся продукты коры выветривания *in situ*. Здесь развиты маломощные оолитовые железные руды, фосфориты и россыпи титано-ильменитов (Марков, 1970; Черкасов, 1967).

**Железо.** Большой интерес представляют осадочные железные руды, встреченные в криволуцком горизонте. Прослежена рудоносная зона (Таюро-Ичерская) в районе водораздела рек Лены и Нижней Тунгуски, протяженностью до 400 км и шириной 100—120 км (Кулаков, 1970). В пределах этого горизонта выявлены две рудные пачки, разобщенные безрудными слоями мощностью от 15 до 25 м. Нижняя пачка сложена оолитовыми железными рудами, мощность 3,6 м. Верхняя пачка представлена чередованием оолитовых железных руд и аргиллитов. По количеству железа рудоносные породы подразделены на три типа: окжелезненные (до 10%  $Fe_2O_3$ ), железистые (20%) и бурые железняки (более 20%). Наивысший процент общего железа находится на верхнюю пачку, где суммарное количество окисного и закисного железа достигает 48%. Железные руды содержат повышенное количество фосфора ( $P_2O_5$  — 1—5%) и ванадия (0,3%).

Оолитовые железные руды обнаружены на тех же стратиграфических уровнях на северо-востоке Сибирской платформы (бассейн р. Майера). Здесь в основании криволуцкого горизонта находится пласт

(до 1 м) оолитовых гематитовых руд. Они состоят из плоских и шаровидных бобовин и оолитов гематита диаметром 1—5 мм. Суммарное количество окисного и закисного железа составляет 49,5%.

На этом уровне известней и иной генетический тип железных руд. Так, в бассейне нижнего течения р. Подкаменной Тунгуски обнаружены площадная кора выветривания (Черкасов, 1967). Субстратом ее являются песчаники байкитской свиты, на которых залегают оолитовые железные руды, где суммарное количество окисного и закисного железа 30—50% при мощности рудного пласта 1,0—1,5 м. Вверх по разрезу эти руды переходят в железистые аргиллиты с содержанием  $Fe_2O_3$  до 25%. Мощность железистых аргиллитов 2—3 м.

Железные оолитовые руды встречены в основании криволуцкой свиты в районе пос. Кривая Лука в стратотипе криволуцкого горизонта. Они выявлены автором также в разрезе криволуцкой свиты на р. Лене, в районе пос. Половинки. Здесь отмечается до 8 слоев, мощностью 0,2—0,3 м, гематитовых руд (типа железистой слюдки) с содержанием железа до 40%.

В отложениях среднего ордовика известны также рудопроявления свинца и меди.

Медь приурочена к песчаникам, алевролитам и аргиллитам, залегающим в основании криволуцкой свиты в бассейне верхнего течения р. Нижней Тунгуски. Руды вкрапленного типа и представлены халькопиритом, ковеллином, малахитом, азуритом, реже борнитом. Содержание меди в штуфовых пробах низкое. Богаче медью песчаники и песчанистые известняки, но рудоносный пласт маломощный, а содержание меди — доли процента. Рудопроявление меди в верхних частях криволуцкого горизонта приурочено к фосфатно-кварцевым песчаникам кудринского подгоризонта. Содержание меди низкое. Рудные минералы представлены малахитом, азуритом, халькопиритом. Мощность пласта 1 м.

В бассейне р. Непы в кудринских песчаниках автором в 1973 г. открыто рудопроявление свинца. Мощность песчаников, содержащих руду, не достигает метра. Руды вкрапленного типа и представлены галенитом. Содержание свинца в штуфовых пробах — десятые доли процента.

Свинцовая минерализация также отмечается в основании криволуцкого горизонта бассейна р. Подкаменной Тунгуски. Свинец в виде мелкой вкрапленности приурочен к фосфоритоносным песчаникам волгинского подгоризонта. Особенно часто эти находки отмечаются в бассейне р. Чуни (правый приток р. Подкаменной Тунгуски).

## ВЕРХНИЙ ОРДОВИК

Верхнеордовикские отложения в отношении полезных ископаемых еще недостаточно изучены. Выявлены бедные фосфоритоносные известняки долборского горизонта с содержанием  $P_2O_5$  1,5—2,5% (бассейн р. Подкаменной Тунгуски) и с незначительным содержанием стронция (Марков, 1970). К известнякам, залегающим в основании долборской свиты (район р. Нижней Чунки), приурочены находки галенита.

Анализ изложенного материала (см. рисунок) позволяет сделать соответствующие выводы. Во-первых, размещение рудопроявлений и руды в отложениях ордовика Сибирской платформы строго приурочено к определенным стратиграфическим уровням. Такими уровнями являются: в нижнем ордовике — основание и верхняя часть устькутского горизонта и кимайский подгоризонт чуньского горизонта; в среднем ордовике — волгинский, кудринский, чертовской подгоризонты; в верхнем

## ПРИЛОЖЕНИЕ

Система	Отдел	Горизонт	Сибирская платформа				Рудоносные уровни
			Приенисей- ская зона	Ангарская зона	Приленская зона	Котуйско-Бы- тюбинская зона	
Ордовик	Верхний	Бурский					
	Нижний	Иркутдин- ский					?
	Верхний						
	Нижний	Деборский	Δο				■
		Баканский					
		Чертковский	Фо		Δо Фо	о	■
		Кубринский			о		
		Киренский					
		Валюшинский	Δо о	о	оо о	оо	■
		Кимайский	о д		Δо		
		Чумайский		Δ		□	■
		Истекайский		Δо	Δо		

Δ 1 0 2 . Ф 3 0 4 □ 5 0 6 ■■■ 7

Размещение полезных ископаемых в ордовике Сибирской платформы.

1 — свинец, 2 — медь, 3 — фосфориты, 4 — железо, 5 — целестин, флюорит, 6 — марганец, 7 — рудоносные уровни.

## ЛИТЕРАТУРА

Братов В. И. Литолого-геохимические закономерности осадкообразования в ордовике и силуре Сибирской платформы. Красноярское кн. изд-во, 1973, 238 с. (Труды СНИИГГиМС, вып. 147).

Братов В. И., Матухина В. Г. Закономерности осадконакопления в ордовике и силуре северо-западной части Сибирской платформы. Красноярское кн. изд-во, 1971, 230 с.

Братов В. И., Марков Е. П., Маркова Л. Г. Меденосность песчаников нижнего ордова бассейна Подкаменной Тунгуски.— В кн.: Материалы по геологии и полезным ископаемым Сибири. Новосибирск, 1973, с. 58—66. (Труды СНИИГГиМС, вып. 170).

Бездонных Ю. П., Наркелюн Л. Ф., Трубачев А. И., Салихов В. С. Верхнекембрийская меденосная красноцветная формация юга Сибирской платформы.— В кн.: Вопросы региональной геологии и металлогении Забайкалья. Читинское кн. изд-во, 1967, с. 45—57.

Галабурда С. Г. Медная и свинцово-цинковая минерализация в осадочных отложениях Сибирской платформы.— В кн.: Закономерности размещения полезных ископаемых. М., Изд-во АН СССР, 1962, с. 145—150.

Еникеева Л. Г., Марков Е. П. Закономерности фосфатонакопления в ордовике и силуре бассейна р. Катаги (Подкаменная Тунгуска).— В кн.: Материалы по геологии, геофизике и полезным ископаемым Сибири. Новосибирск, 1965, с. 35—48. (Труды СНИИГГиМС, вып. 34).

Красильникова Н. А., Смирнов А. И. Перспективность поисков фосфоритов в древнепалеозойских отложениях Сибирской платформы.— В кн.: Геология месторождений фосфоритов. М., Гостоптехиздат, 1962, с. 215—265 (Труды ГИГХС, вып. 7).

Кулаков М. А. Железорудные проявления среднего ордова Тунгуско-Ленского района.— В кн.: Геология и полезные ископаемые юга Сибирской платформы. М., «Недра», 1970, с. 58—63.

Марков Е. П. Ордовик и ранний силур юго-запада Тунгусской синеклизы. Л., «Недра», 1970, 150 с. (Труды СНИИГГиМС, вып. 85).

Никиторова О. И., Андреева О. Н. Стратиграфия ордовика и силура Сибирской платформы и ее палеонтологическое обоснование. Л., Гостоптехиздат, 1961, 280 с.

Одинцов М. М. К геологии медистых и свинцовых руд нижнего палеозоя Иркутского амфитеатра (Восточная Сибирь).— «Зап. Всес. мин. о-ва. Вторая серия», 1948; вып. 4, с. 28—35.

Черкасов Г. Н. Ордовикская кора выветривания в бассейне нижнего течения р. Подкаменной Тунгуски.— В кн.: Проблемы бокситов Сибири. Новосибирск, 1967, с. 115—126. (Труды СНИИГГиМС, вып. 58).

## ПАЛЕОНТОЛОГИЧЕСКИЕ ТАБЛИЦЫ I—XV

## ТАБЛИЦА I

Фиг. 1—6. *Hesperorthis insuetus* Yadrenkina, sp. nov.,  $\times 2$

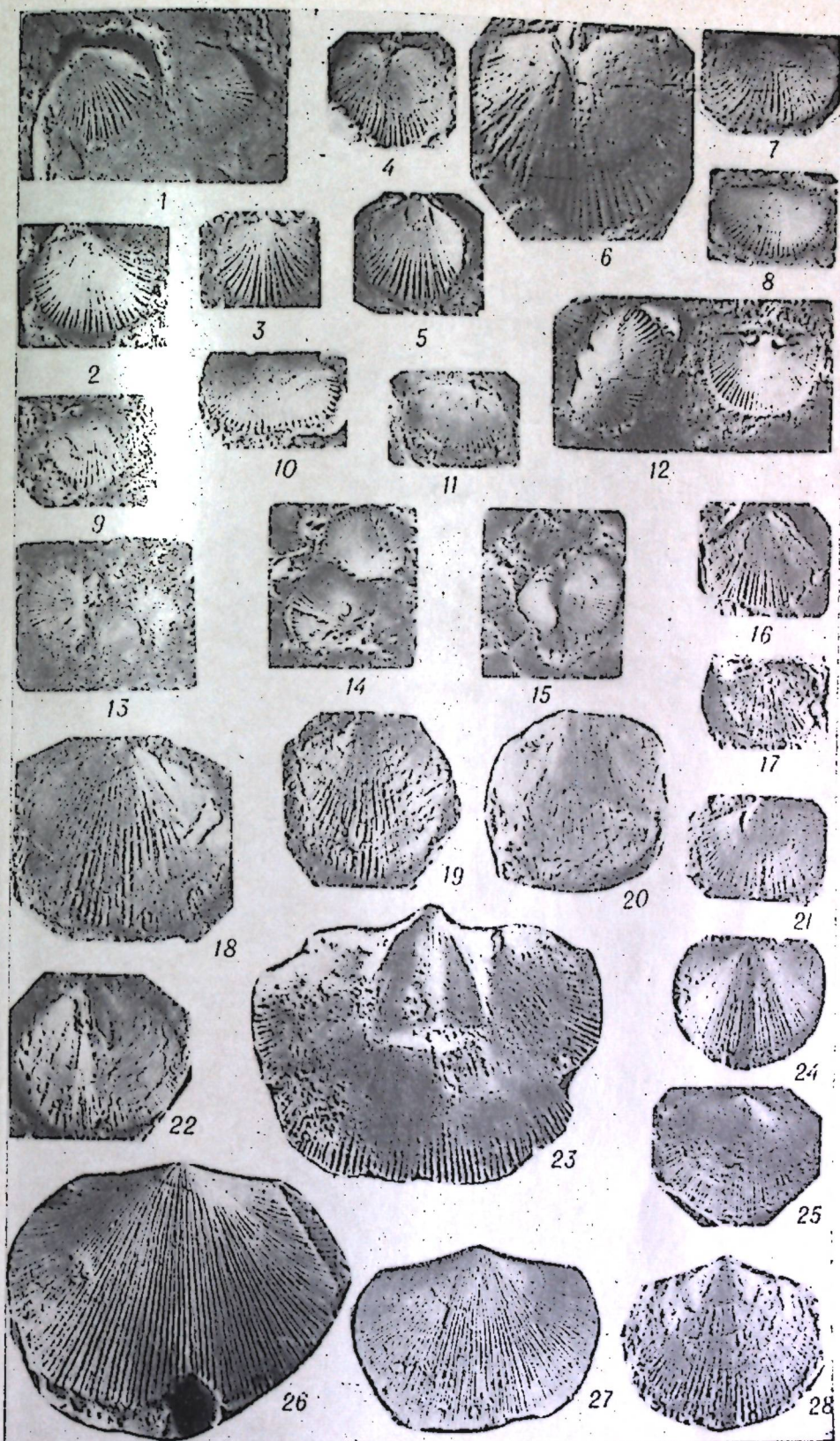
1 — ядра брюшных створок, экз. № 709/1 и 709/2; р. Лена, обн. ВК-7416, слой 5с; 2 — спинная створка, экз. № 709/3; р. Лена, обн. ВК-7417, слой 1г; 3 — голотип № 709/6, брюшная створка; 4, 6 — ядро спинной створки, экз. № 709/8 (6 —  $\times 4$ ); 5 — ядро брюшной створки, экз. № 709/5. Р. Лена, обн. ВК-7416, слой 5с; киренский горизонт.

Фиг. 7—15. *Evenkinorthis dualis* Yadrenkina, sp. nov.,  $\times 2$

7 — голотип № 709/9, брюшная створка; 8, 10 — брюшные створки, экз. № 709/10 и 709/11; 12 — ядро брюшной створки, экз. № 709/12 и спинная створка с внутренней стороны, экз. № 709/13, Р. Лена, обн. ВК-741, слой 9б; верхние слои волгинского горизонта 9 — брюшная створка молодой особи, экз. № 709/14; 11 — ядро брюшной створки, экз. № 709/15; 13 — скопления спинных створок молодых особей на поверхности известняка, экз. № 709/16, 709/17 и 709/18; 14 — спинная створка, экз. № 709/19 и брюшная створка, экз. № 709/20; 15 — брюшные створки, экз. № 709/21 и 709/22. Р. Лена, обн. ВК-7416, слой 5с; киренский горизонт.

Фиг. 16—28. *Mimella panna* Nikiforova,  $\times 2$

16 — брюшная створка молодой особи, экз. № 709/23; 17 — спинная створка молодой особи, экз. № 709/24. Р. Подкаменная Тунгуска, обн. К-731, слой 9б; чертовской горизонт. 18, 19, 22 — брюшные створки особей разного возраста, экз. № 709/25, 709/26 и 709/27. Р. Лена, обн. ВК-748, слои 1д и 1з; чертовской горизонт; 20 — спинная створка, экз. № 709/28; р. Лена, обн. ВК-748, слой 2а, чертовской горизонт (стратотип). 21 — ядро брюшной створки, экз. № 709/29; 24, 25 — спинные створки молодых особей, экз. № 709/30 и 709/31; 28 — брюшная створка, экз. № 709/32. Р. Кулюмбэ, обн. Т-722, слой 44; чертовской горизонт. 23 — брюшная створка с внутренней стороны, экз. № 709/33; 26 — спинная створка, экз. № 709/34; 27 — брюшная створка, экз. № 709/35. Р. Подкаменная Тунгуска, обн. К-731, слой 10а; чертовской горизонт.



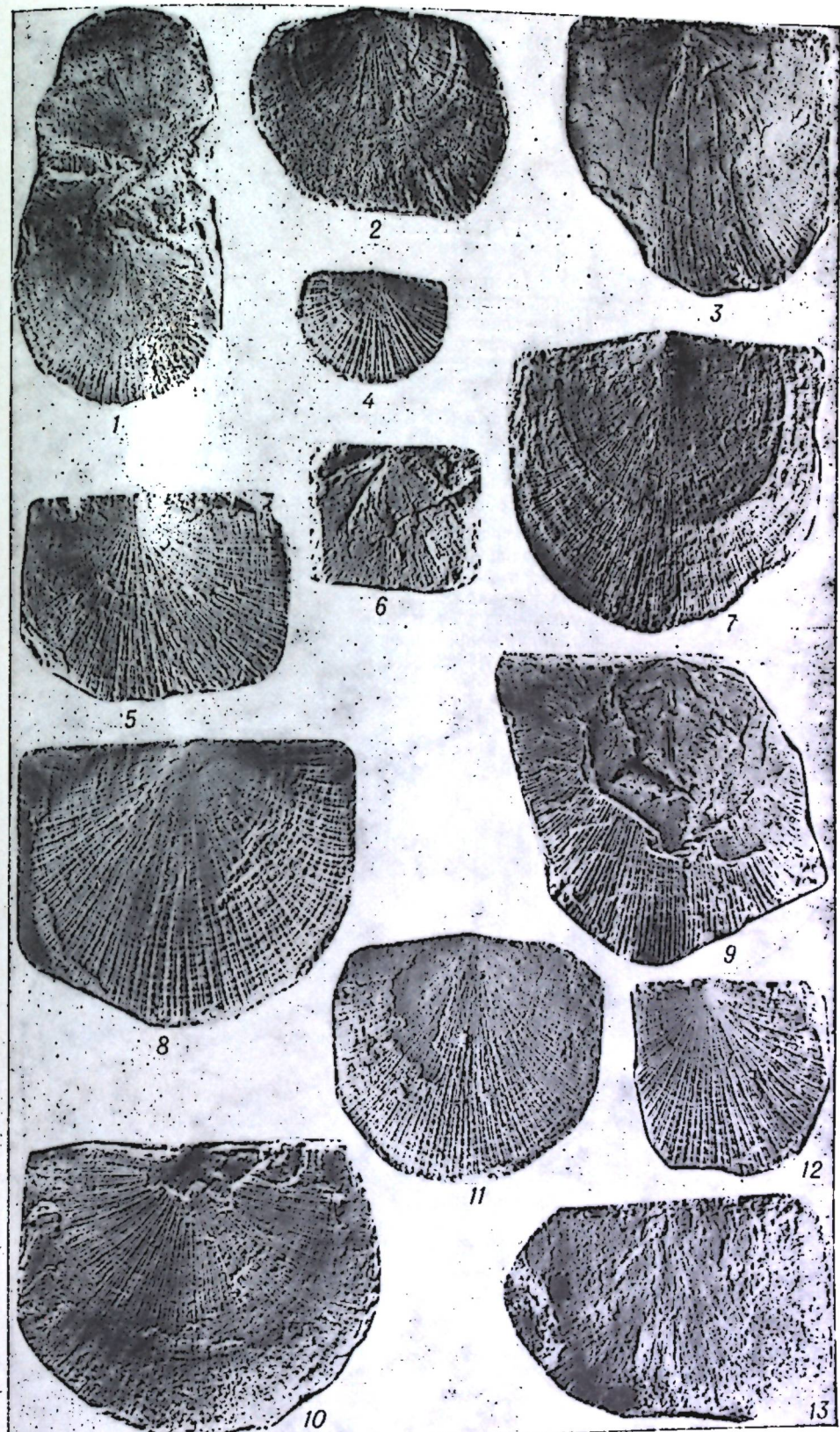
## ТАБЛИЦА II

Фиг. 1—8. *Strophomena tangazeica* Andreeva,  $\times 2$ 

1 — брюшные створки молодых особей, экз. № 709/36 и 709/37;  
 2 — брюшная створка, экз. № 709/38; 3 — ядро спинной створки,  
 экз. № 709/39. Р. Лена, обн. ВК-748, слой 1 в; чертовской горизонт.  
 4 — спинная створка молодой особи, экз. № 709/40; 6 — ядро  
 брюшной створки, экз. № 709/41; 7 — отпечаток спинной створки,  
 экз. № 709/42; 8 — спинная створка, экз. № 709/43. Р. Кулюмбэ,  
 обн. Т-722, слой 44; чертовской горизонт. 5 — брюшная створка,  
 экз. № 709/44; р. Подкаменная Тунгуска, обн. К-731, слой 9б;  
 чертовской горизонт.

Фиг. 9—13. *Platymena amara* (Andreeva),  $\times 2$ 

9 — брюшная створка, экз. № 709/45; 10 — спинная створка, экз.  
 № 709/46; 12 — брюшная створка, экз. № 709/47. Р. Подкаменная  
 Тунгуска, обн. К-731, слой 9б; чертовской горизонт. 11 — брюшная  
 створка, экз. № 709/48; 13 — отпечаток спинной створки, экз.  
 № 709/49. Р. Кулюмбэ, обн. ВК-7218, слой 8б; чертовской го-  
 ризонт.



## ТАБЛИЦА III

Фиг. 1—5. *Oepikina tojoni* Andreeva,  $\times 2$ 

1 — ядро брюшной створки, экз. № 709/50; 2 — брюшная створка, экз. № 709/51; 3 — спинная створка, экз. № 709/52. Р. Лена; обн. BK-748, слой 1в; чертовской горизонт. 4 — брюшная створка, экз. № 709/53; 5 — спинная створка молодой особи, экз. № 709/54. Р. Кулюмбэ, обн. Т-722, слой 44; чертовской горизонт.

Фиг. 6—11. *Rostricellula lenaensis* (Nikiforova),  $\times 2$ 

6 — спинная створка, экз. № 709/55; 7, 8 — брюшные створки, экз. № 709/56, 709/57; 9 — ядро брюшной створки, экз. № 709/60; 10 — спинная створка, экз. № 709/58; 11 — брюшная створка, экз. № 709/59; Р. Лена, обн. BK-741, слой 11е; киренский горизонт.

Фиг. 12—19. *Rostricellula lenaensis alia* Yadrenkina, subsp. nov.

12—16 — целые раковины: экз. № 709/61, 709/62, 709/63, 709/64, 709/65; 17 — голотип, № 709/66,  $\times 2$ ; а — брюшная створка, б — спинная створка, в — вид сбоку, г — вид со стороны лобного края. Бассейн р. Кулюмбэ, руч. Загорный, обн. BK-7218, слой 2в; киренский горизонт. 18, 19 — пришлифовки примакушечной части раковины, экз. № 709/67 и 709/68,  $\times 4$ . Р. Кулюмбэ, обн. Т-722, слой 14; киренский горизонт.

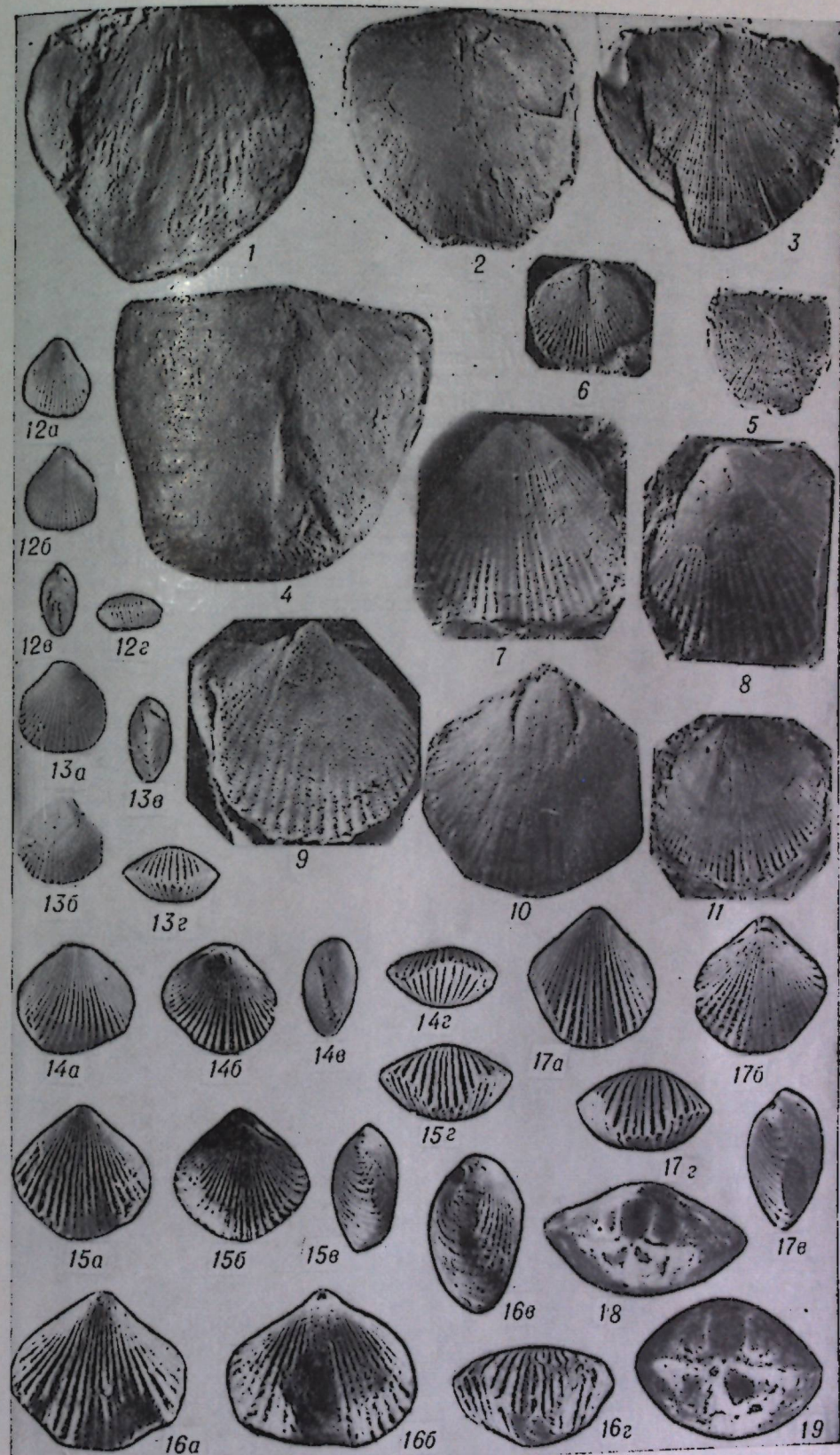
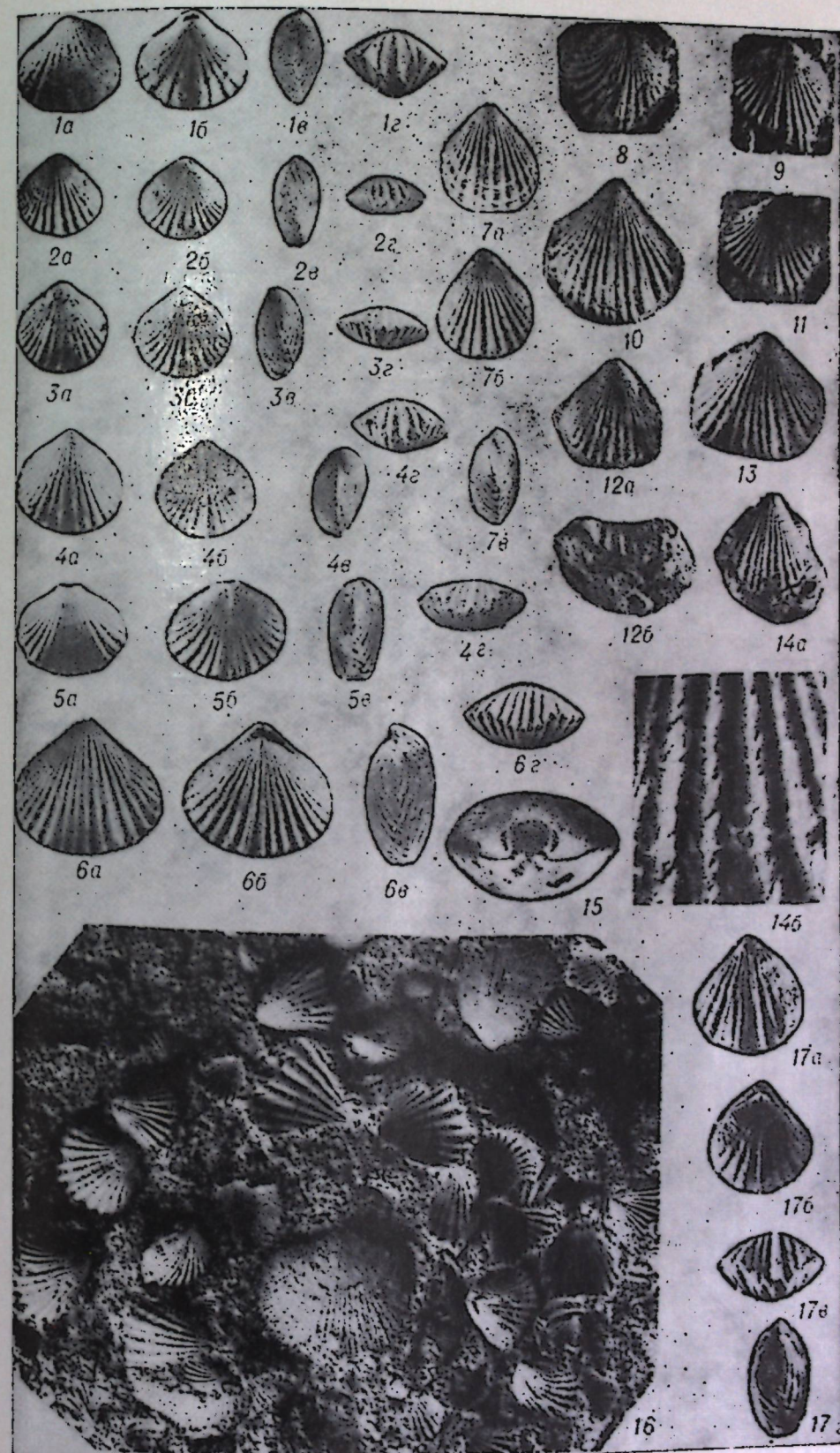


ТАБЛИЦА IV

Фиг. 1—15. *Rostricellula raymondi veta* Yadrenkina, subsp. nov.,  $\times 2$ .  
 1—7 — целые раковины; 1 — голотип № 709/69, 2—7 — экз. № 709/10, 709/71, 709/72, 709/73, 709/74, 709/75: а — брюшная створка, б — спинная створка, в — вид сбоку, г — вид со стороны лобного края; 8, 9, 11 — спинные створки, экз. № 709/76, 709/77, 709/78; 10, 13 — брюшные створки, экз. 709/79 и 709/80; 12 — брюшная створка, экз. № 709/81; а — внешний вид, б — вид со стороны язычка; 14 — брюшная створка, экз. № 709/82; а — внешний вид, б — детали скульптуры,  $\times 7$ ; 15 — пришлифовка примакушечной части раковины, экз. № 709/83,  $\times 4$ . Р. Кулюмбэ, обн. Т-722, слой 14; киренский горизонт.

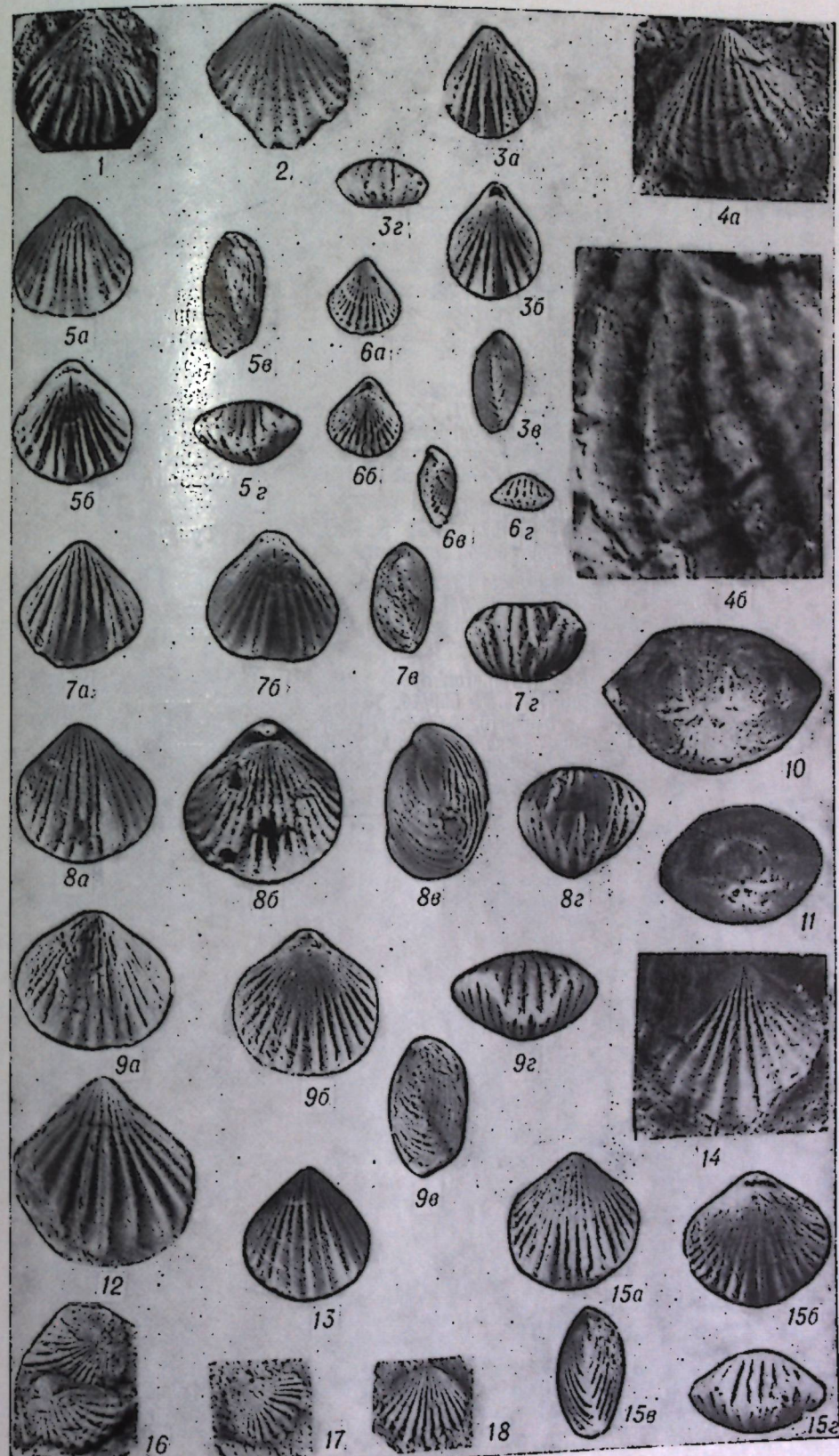
Фиг. 16, 17. *Rostricellula raymondi kulumbensis* Yadrenkina, subsp. nov.,  $\times 2$ .  
 16 — ракушняк из раковин данного подвида и раковин вида *Mimella rappa* Nikif., экз. № 709/84; 17 — целая раковина, экз. № 709/85: а — брюшная створка, б — спинная створка, в — вид со стороны лобного края, г — вид сбоку. Р. Кулюмбэ, обн. Т-722, слой 44; чертовской горизонт.



## ТАБЛИЦА V

Фиг. 1—14. *Rostricellula raymondi kulumbensis* Yadrenkina, subsp. nov.,  $\times 2$   
 1 — брюшная створка, экз. № 709/86; 2 — спинная створка, экз. № 709/87; 3, 5, 6 — целые раковины молодых особей, экз. № 709/88, 709/89, 709/90: а — брюшная створка, б — спинная створка, в — вид сбоку, г — вид со стороны лобного края. 4 — брюшная створка, экз. № 709/91: а — брюшная створка, б — детали скелетной структуры,  $\times 6$ ; 7—9 — целые раковины взрослых особей; 7 — экз. № 709/92, 8 — голотип № 709/93; 9 — экз. № 709/94; 10, 11 — пришлифовки примакушечной части раковин, экз. № 709/95 и 709/96,  $\times 4$ ; 12, 13 — брюшные створки, экз. № 709/97 и 709/98; 14 — брюшная створка, экз. № 709/99. Р. Кулюмбэ, обн. Т-722, слой 44; чертовской горизонт.

Фиг. 15—18. *Rostricellula transversa* Cooper,  $\times 2$   
 15 — целая раковина, экз. № 709/100: а — брюшная створка, б — спинная створка, в — вид сбоку, г — вид со стороны лобного края. Басс. р. Кулюмбэ, руч. Загорный, обн. ВК-7219, слой 1 в; чертовской горизонт. 16 — брюшная створка, экз. № 709/101 и спинная створка, экз. № 709/102; р. Лена, обн. ВК-748; слой 2а, чертовской горизонт. 17 — брюшная створка, экз. № 709/103; 18 — спинная створка, экз. № 709/104. Р. Лена, обн. ВК-748, слой 1з, чертовской горизонт.



## ТАБЛИЦА VI

Фиг. 1, 12. *Evenkaspis sibirica* (Schmidt).

1 — краинидий, экз. № 559/54,  $\times 1,9$ ; р. Подкаменная Тунгуска, обн. К-731, слой 11в; чертовской горизонт. 12 — пигидий, экз. № 559/79,  $\times 2$ ; р. Кулюмбэ, обн. Т-722; слой 44; чертовской горизонт.

Фиг. 2, 6, 7. *Ceraurinus icarus* (Billings).

2 — краинидий, экз. № 559/1,  $\times 1,3$ ; 6 — краинидий, экз. № 559/5,  $\times 3,8$ ; р. Подкаменная Тунгуска, обн. К-731, слой 11в; чертовской горизонт. 7 — неполный краинидий, экз. № 559/7,  $\times 2,5$ ; р. Подкаменная Тунгуска, обн. К-731, слой 9б; чертовской горизонт.

Фиг. 3. *Monorakos lopatini* Schmidt.

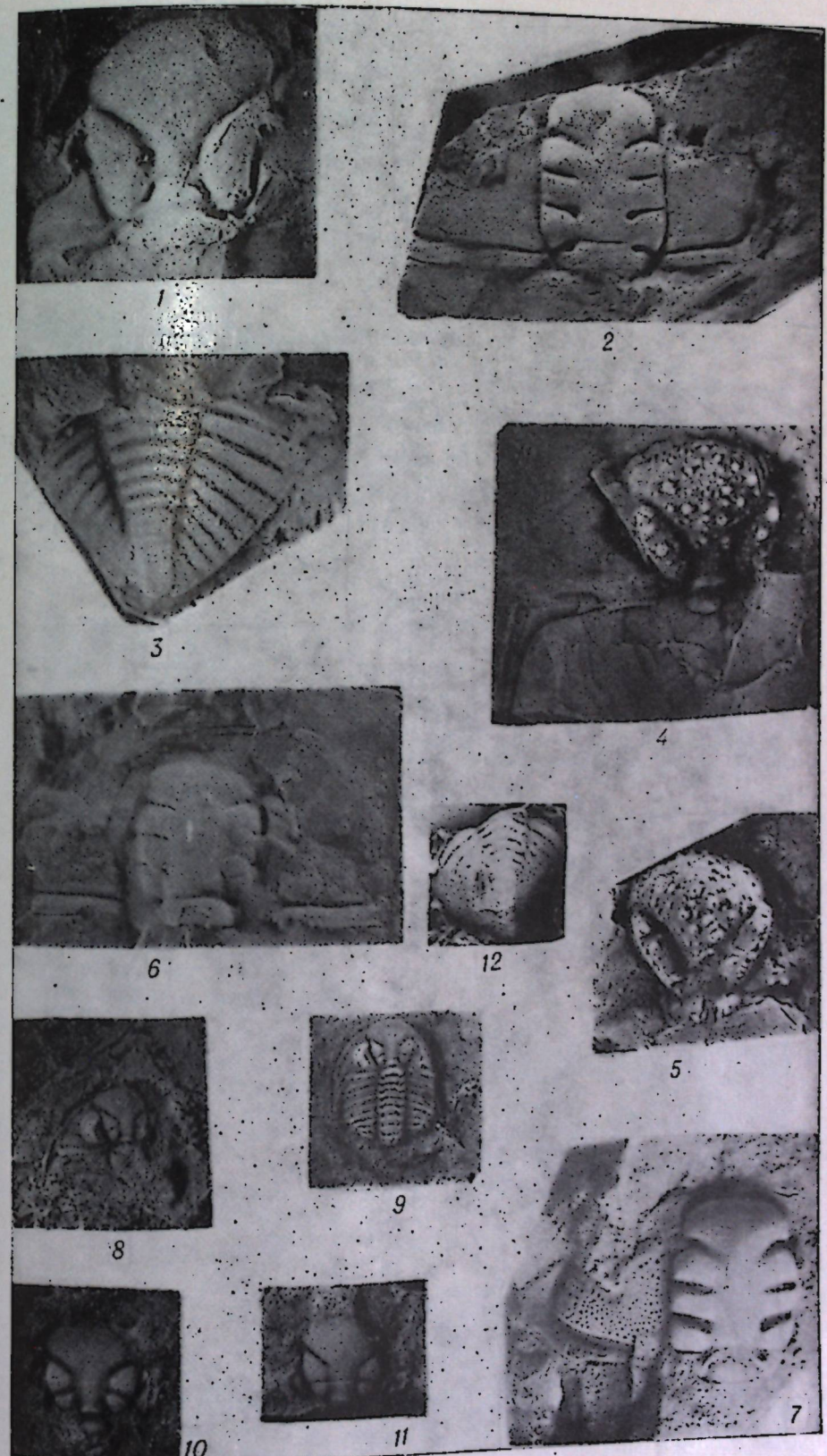
Пигидий, экз. № 559/52,  $\times 3,7$ ; р. Подкаменная Тунгуска, обн. К-731, слой 11в; чертовской горизонт.

Фиг. 4, 5. *Ceralevenkaspis armata* Kramarenko.

4 — краинидий, экз. № 559/45,  $\times 2,5$ ; 5 — гладель, экз. № 559/46,  $\times 2,8$ ; р. Подкаменная Тунгуска, обн. К-731, слой 11в; чертовской горизонт.

Фиг. 8—11. *Isalaux stricta* (Kramarenko).

8 — головной щит, экз. № 559/44,  $\times 3$ ; 9 — головной щит и часть спинного, экз. № 559/10,  $\times 2,4$ ; 10 — гладель, экз. № 559/32а,  $\times 2,3$ ; 11 — гладель, экз. № 559/31,  $\times 4$ ; р. Подкаменная Тунгуска, обн. К-731, слой 9б; чертовской горизонт.



## ТАБЛИЦА VII

Фиг. 1—6. *Isalaix stricta* (Kramarenko).

1 — краинидий, экз. № 559/75,  $\times 2,5$ ; 2 — спинной щит, экз. № 559/76,  $\times 2,0$ ; р. Лена, обн. ВК-748, слой 1б; чертовской горизонт, 3 — краинидий, экз. № 559/59,  $\times 4$ ; 4 — краинидий, экз. № 559/60,  $\times 3,5$ ; 5 — краинидий, экз. № 559/35,  $\times 3,5$ , р. Лена, обн. ВК-747, слой 5а; чертовской горизонт. 6 — гладель, экз. № 559/81,  $\times 3$ ; р. Куюмбэ, обн. Т-722, слой 44 к; чертовской горизонт.

Фиг. 7—11. *Monorakos lopatini* Schmidt.

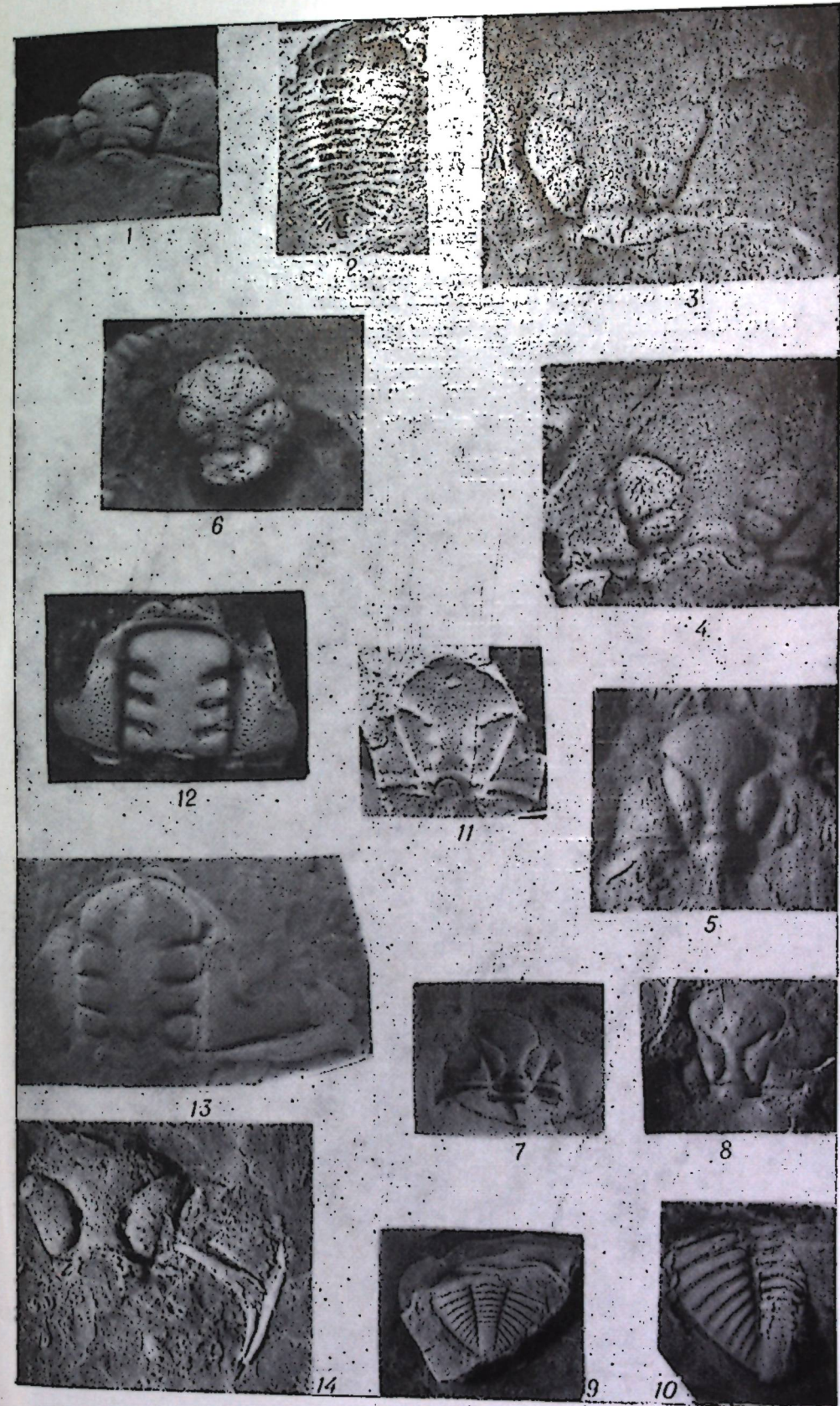
7 — краинидий, экз. № 559/40,  $\times 2,4$ ; 8 — краинидий, экз. № 559/39,  $\times 2,6$ ; 9 — пигидий, экз. № 559/34,  $\times 2,4$ ; 10 — пигидий, экз. № 559/33,  $\times 3$ ; р. Столбовая, обн. К-733, слой 15в; чертовской горизонт. 11 — краинидий, экз. № 559/74,  $\times 2,0$ ; р. Лена, обн. ВК-748, слой 2г; чертовской горизонт.

Фиг. 12, 13. *Ceraurus icarus* (Billings).

12 — краинидий, экз. № 559/80,  $\times 2,0$ ; р. Куюмбэ, обн. Т-722, слой 44; чертовской горизонт. 13 — неполный краинидий, экз. № 559/11,  $\times 2,6$ ; р. Подкаменная Тунгуска, обн. К-732, слой 1а; чертовской горизонт.

Фиг. 14. *Monorakos mutabilis* Kramarenko.

Неполный краинидий, экз. № 559/42,  $\times 4,4$ ; р. Подкаменная Тунгуска, обн. К-732, слой 1а; чертовской горизонт.



## ТАБЛИЦА VIII

Фиг. 1, 2, 3. *Ptiloconus anomalis* (Moskalenko),  $\times 50$ 

1 — элемент *anomalis*, экз. № 537/45, вид сбоку; 2 — элемент *sibiricus*, экз. № 537/46, вид сбоку; 3 — элемент *anoplymus*, экз. № 537/47, вид с внутренней стороны. Р. Подкаменная Тунгуска, обн. К-731, слой 7с; киренский горизонт.

Фиг. 4, 5. *Trichonodella (?) prominens* Moskalenko,  $\times 50$ 

4 — экз. № 537/53, вид сбоку; р. Лена, обн. ВК-741, слой 12 ж; киренский горизонт (стратотип); 5 — экз. № 537/54, вид сзади; там же, обн. ВК-741, слой 12д; киренский горизонт (стратотип).

Фиг. 6, 7. *Bryantodina lenaica* Moskalenko,  $\times 50$ 

6 — элемент *decliva*, экз. № 537/11, вид сбоку; 7 — элемент *lenaica*, экз. № 537/12, вид сбоку; р. Лена, обн. ВК-741, слой 12а; киренский горизонт (стратотип).

Фиг. 8. *Microcoelodus tunguskaensis* Moskalenko,  $\times 55$ 

Экз. № 327/9, вид сзади; р. Подкаменная Тунгуска, обн. К-731, слой 7ж; киренский горизонт.

Фиг. 9. *Plectodina* sp.,  $\times 50$ .

Экз. № 537/38, вид с внутренней стороны; р. Лена, обн. ВК-747, слой 1а; киренский горизонт.

Фиг. 10. *Subcordylodus aculeatus* Stauffer,  $\times 50$ 

Экз. № 537/50, вид сбоку; р. Подкаменная Тунгуска, обн. К-731, слой 7с; киренский горизонт.

Фиг. 11. *Stereococonus bicostatus* Moskalenko,  $\times 30$ 

Экз. № 397/175, вид сбоку; р. Подкаменная Тунгуска, обн. К-731, слой 11б; чертовской горизонт.

Фиг. 12. *Stereococonus aculeiformis* Moskalenko,  $\times 30$ 

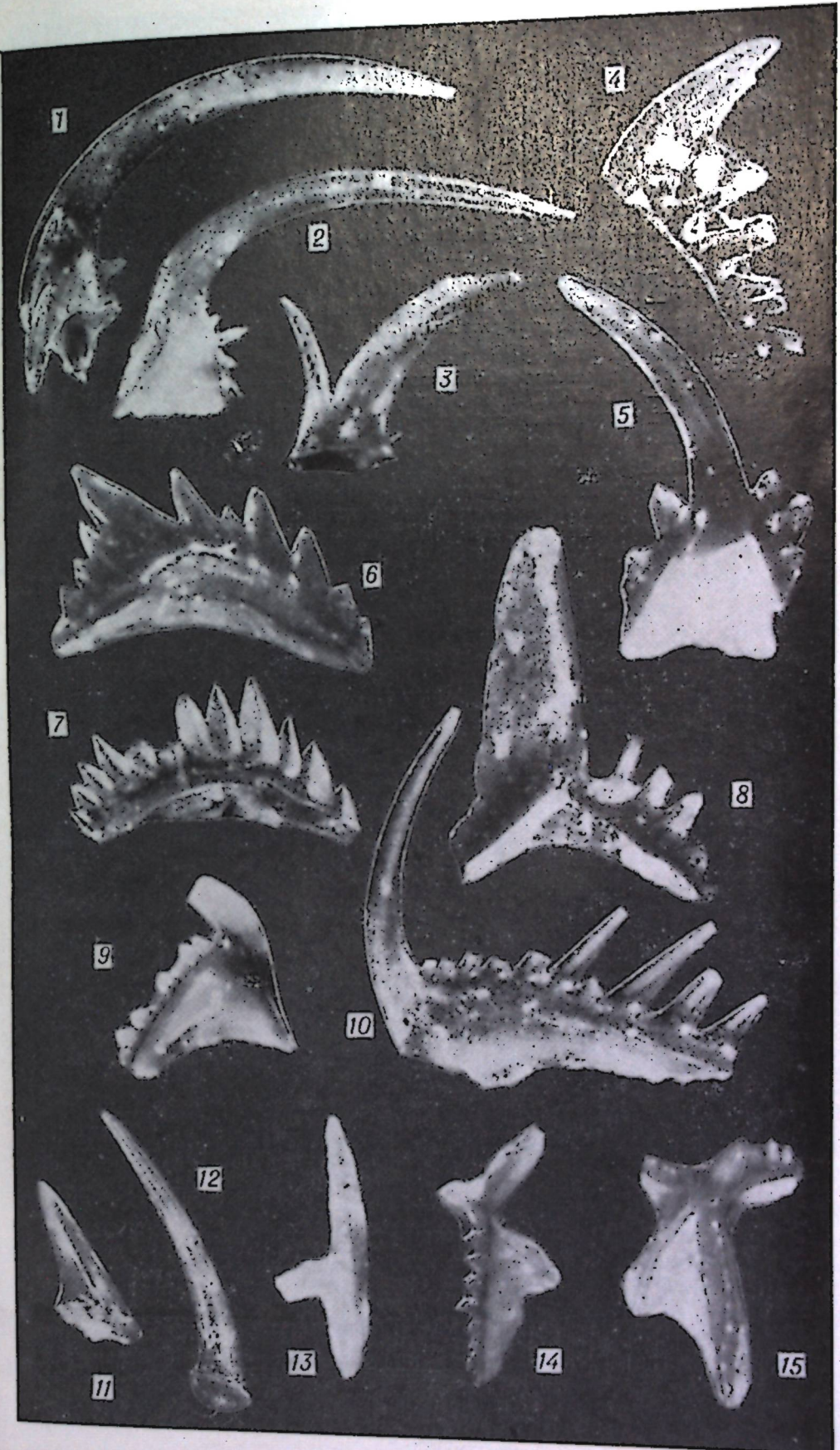
Экз. № 397/176, вид сбоку; р. Подкаменная Тунгуска, обн. К-731, слой 11б; чертовской горизонт.

Фиг. 13. *Euenodus longus* Moskalenko,  $\times 50$ 

Экз. № 537/22, вид сбоку; р. Лена, обн. ВК-747, слой 1л; кудринский горизонт.

Фиг. 14, 15. *Amorphognathus* cf. *inaequalis* Rhodes.

14 — экз. № 537/5, вид сверху,  $\times 50$ ; р. Лена, обн. ВК-741, слой 13а; кудринский горизонт; 15 — экз. № 537/6, вид сверху,  $\times 40$ ; р. Лена, левый берег, 2 км выше дер. Зaborье; остракодовые известняки, кудринский горизонт (?).



## ТАБЛИЦА IX

Фиг. 1. *Oistodus petaloideus* sp. nov.,  $\times 40$ 

Голотип № 537/24, вид сбоку; р. Лена, обн. ВК-748, слой 1и; чертовской горизонт (стратотип).

Фиг. 2, 3. *Phragmodus inflexus* Stauffer,  $\times 40$ 

2 — экз. № 537/33, вид с наружной стороны; 3 — экз. № 537/34, вид с внутренней стороны; р. Лена, обн. ВК-748, слой 1и; чертовской горизонт (стратотип).

Фиг. 4, 5. *Dichognathus typica* Branson et Mehl,  $\times 40$ 

4 — экз. № 537/18, вид с внутренней стороны; 5 — экз. № 537/19, вид с внутренней стороны; р. Лена, обн. ВК-748, слой 1и; чертовской горизонт (стратотип).

Фиг. 6, 7. *Subcordyloodus* sp.,  $\times 40$ .

6 — экз. № 537/51, вид с наружной стороны; р. Лена, обн. ВК-748, слой 1и; чертовской горизонт (стратотип); 7 — экз. № 537/52, вид с внутренней стороны; р. Кулюмбэ, руч. Загорный, обн. ВК-7218, слой 8а; чертовской горизонт.

Фиг. 8. *Gyrognathus primus restrictus* Moskalenko,  $\times 40$ .

Экз. № 537/23, вид с внутренней стороны; р. Кулюмбэ, руч. Загорный, обн. ВК-7218, слой 8а; чертовской горизонт.

Фиг. 9, 10. *Prioniodus gratus* Moskalenko, sp. nov.,  $\times 40$ .

9 — голотип № 537/43, вид сбоку; р. Лена, обн. ВК-748, слой 2а; чертовской горизонт (стратотип), 10 — экз. № 537/44, вид сбоку; р. Лена, обн. ВК-748, слой 1и; чертовской горизонт (стратотип).

Фиг. 11. *Cyrtioniodus complicatus* Stauffer,  $\times 40$ 

Экз. № 537/17, вид сбоку; р. Лена, обн. ВК-748, слой 1и; чертовской горизонт (стратотип).

Фиг. 12. *Chirognathus* sp.,  $\times 40$ 

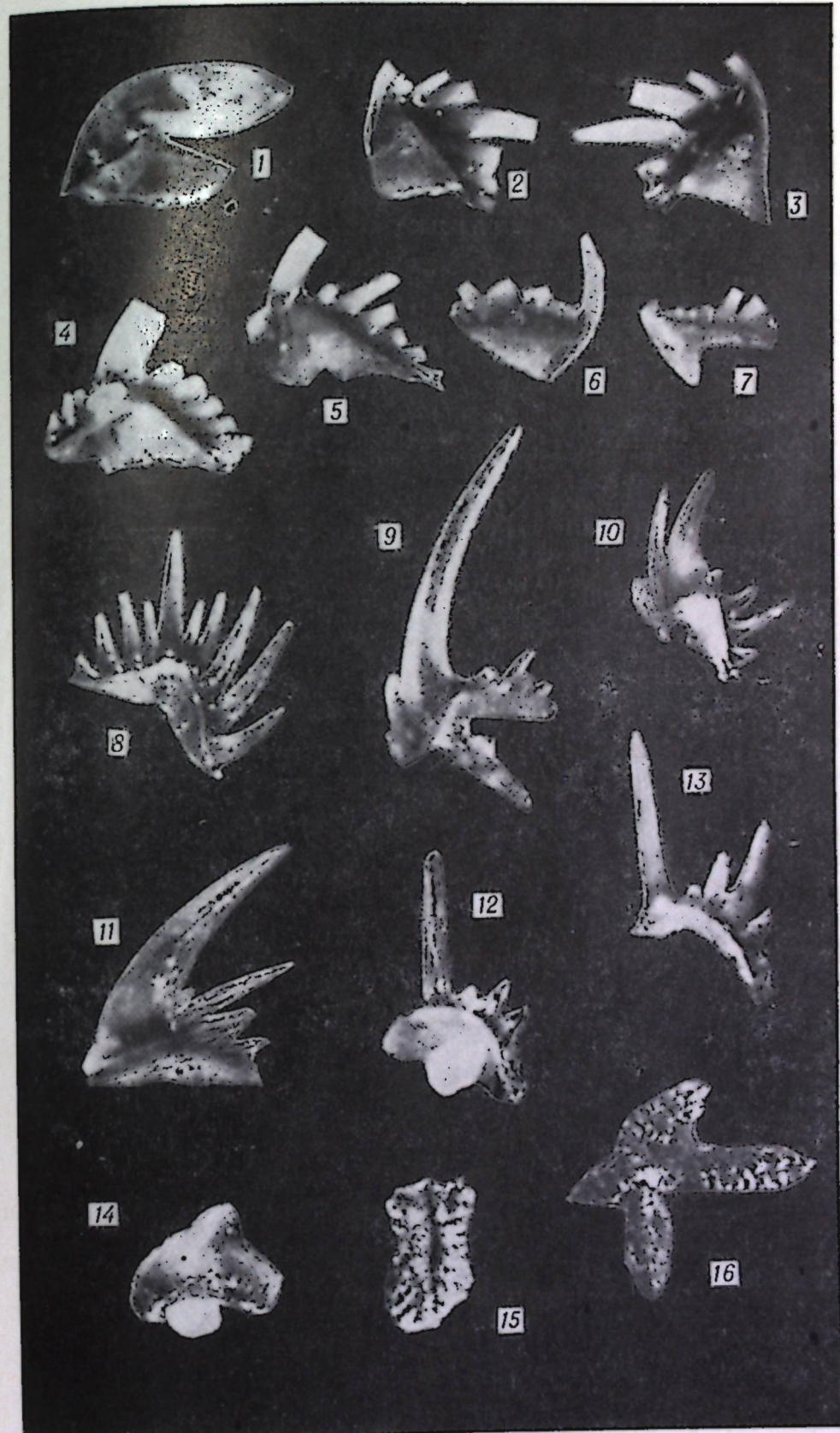
Экз. № 537/13, вид сзади; р. Лена, обн. ВК-748, слой 1д; чертовской горизонт (стратотип).

Фиг. 13. *Chirognathus* sp.,  $\times 40$ 

Экз. № 537/14, вид сзади; р. Лена, обн. ВК-748, слой 1д; чертовской горизонт (стратотип).

Фиг. 14. *Ambalodus mitratus* Moskalenko,  $\times 40$ 

Экз. № 537/3, вид сверху; р. Кулюмбэ, обн. Т-722, слой 44а; чертовской горизонт.

Фиг. 15, 16. *Polyplacognathus sweeti* Bergström,  $\times 40$ 15 — *ambalodiform*, экз. № 537/39, вид сверху; 16 — *polyplacognathiform*, экз. № 537/40, вид сверху; р. Кулюмбэ, обн. Т-722, слой 44; чертовской горизонт.

## ТАБЛИЦА X

Фиг. 1—4. *Periodon sibiricus* Moskalenko, sp. nov.,  $\times 60$

1 — экз. № 537/29, вид сбоку; 2 — голотип № 537/30, несимметричный элемент, вид с внутренней стороны; 3 — голотип № 537/31, симметричный элемент, вид сбоку; 4 — экз. № 537/32, вид с внутренней стороны; р. Чуня, выше руч. Амуткан, обн. М-6518, слой I; чертовской горизонт.

Фиг. 5, 6. *Polyplacognathus sweeti* Bergström,  $\times 60$

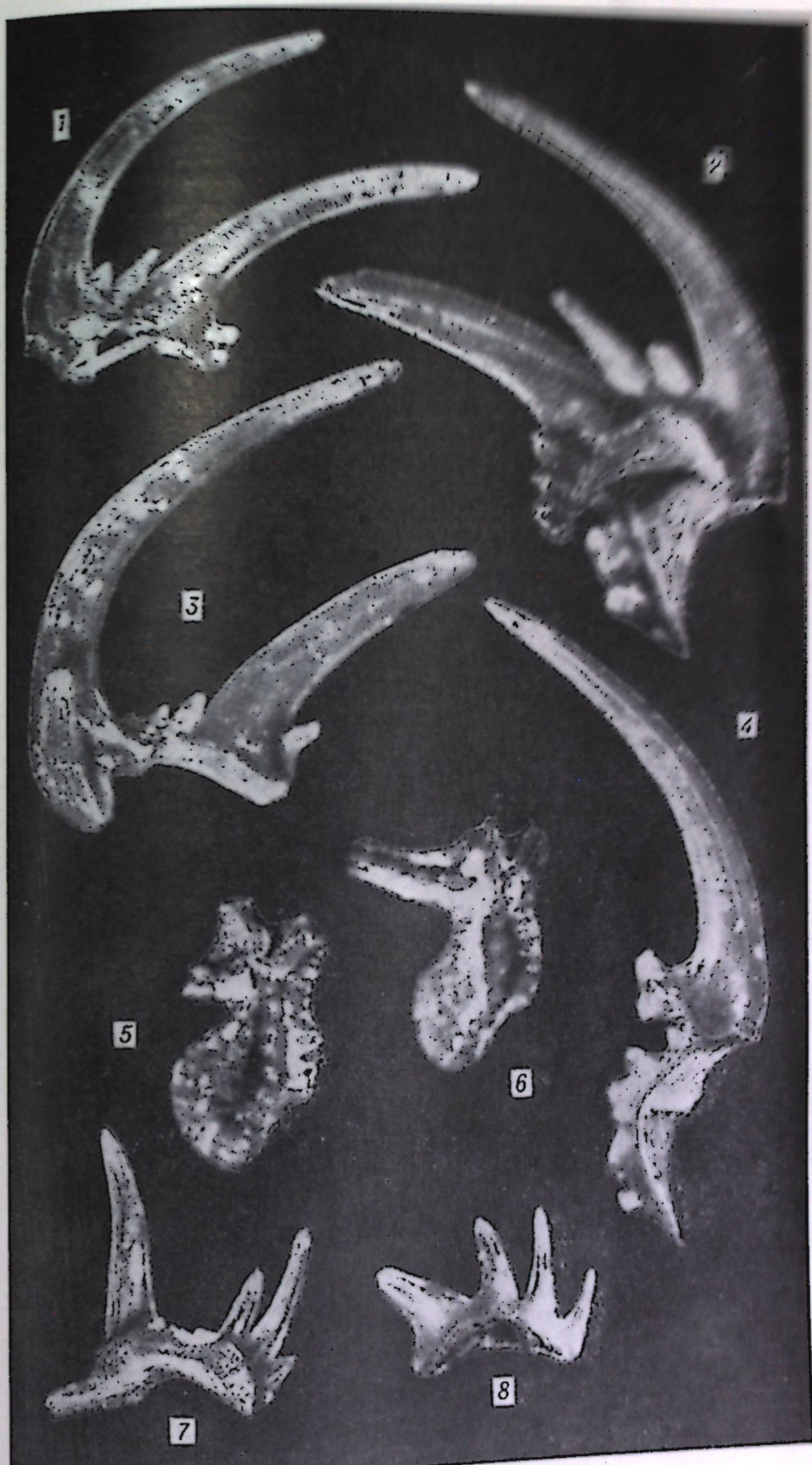
5 — экз. № 537/41, вид сверху; 6 — экз. № 537/42, вид сверху; р. Чуня, выше руч. Амуткан, обн. М-6518, слой I; чертовской горизонт.

Фиг. 7. *Chirognathus* sp.,  $\times 60$

Экз. № 537/15, вид с задней стороны; р. Чуня, выше руч. Амуткан, обн. М-6518, слой I; чертовской горизонт.

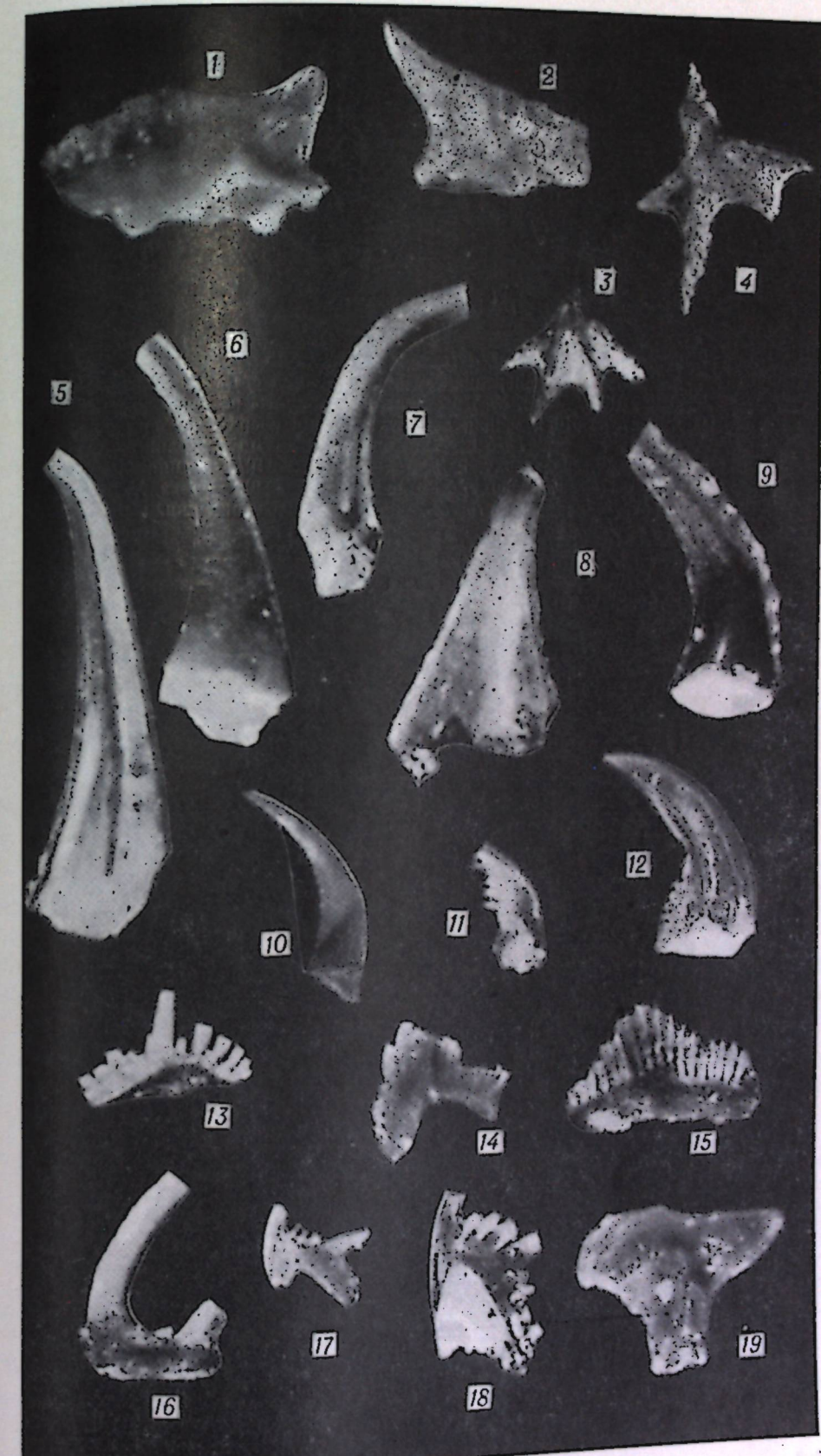
Фиг. 8. *Chirognathus (?)* sp.,  $\times 60$

Экз. № 537/16, вид сзади; р. Чуня, выше руч. Амуткан, обн. М-6518, слой I; чертовской горизонт.



## ТАБЛИЦА XI

- Фиг. 1, 2. *Ambalodus (?) insolens* Moskalenko, sp. nov.,  $\times 40$   
1 — голотип № 537/1, вид сбоку; 2 — экз. № 537/2, вид сбоку;  
р. Лена, обн. ВК-748, слой 1д; чертовской горизонт (стратотип).
- Фиг. 3, 4. *Amorphognathus quinquiradiatus* Moskalenko, sp. nov.  
3 — экз. № 537/7, вид сверху,  $\times 40$ ; р. Кулюмбэ, руч. Загорный,  
обн. ВК-7218, слой 8а; чертовской горизонт; 4 — голотип № 537/8,  
вид сверху,  $\times 50$ ; р. Лена, обн. ВК-748, слой 1и; чертовской го-  
ризонт (стратотип).
- Фиг. 5, 6. *Drepanodiscacodus victrix* (Moskalenko)  
5 — дистаконидный элемент, экз. № 537/20, вид сбоку,  $\times 40$ ; р. Ку-  
люмбэ, руч. Загорный, обн. ВК-7219, слой 1г; баксанский гори-  
зонт; 6 — драпаонидный элемент, экз. № 537/21, вид сбоку,  $\times 50$ ;  
р. Кулюмбэ, обн. ВК-723, слой 1; баксанский горизонт.
- Фиг. 7. *Panderodus gracilis* (Branson et Mehl),  $\times 50$ .  
Экз. № 537/28, вид сбоку; р. Кулюмбэ, обн. ВК-725; слой 1б; бак-  
санский горизонт.
- Фиг. 8. *Scandodus (?) sibiricus* Moskalenko,  $\times 40$   
Экз. № 537/49, вид с внутренней стороны; р. Кулюмбэ, руч. За-  
горный, обн. ВК-7219, слой 1г; баксанский горизонт.
- Фиг. 9. *Scandodus serratus* Moskalenko,  $\times 50$   
Экз. № 537/48, вид с внутренней стороны; р. Кулюмбэ, обн.  
ВК-723, слой 1; баксанский горизонт.
- Фиг. 10. *Belodina (?) alabamensis* Sweet et Bergström,  $\times 40$   
Экз. № 537/9, вид сбоку; р. Кулюмбэ, руч. Загорный, обн. ВК-7219,  
слой 1г; баксанский горизонт.
- Фиг. 11. *Belodina compressa* (Branson et Mehl),  $\times 40$   
Экз. № 537/10, вид сбоку; р. Кулюмбэ, руч. Загорный, обн.  
ВК-7219, слой 1г; баксанский горизонт.
- Фиг. 12. *Culumbodina mangazeica* Moskalenko,  $\times 30$   
Экз. № 537/64, вид сбоку; р. Кулюмбэ, обн. ВК-726, слой 1г; бак-  
санский горизонт.
- Фиг. 13. *Oulodus* sp.,  $\times 40$   
Экз. № 537/25, вид сзади; р. Кулюмбэ, руч. Загорный, обн.  
ВК-7219, слой 1г; баксанский горизонт.
- Фиг. 14, 15. *Ozarkodina kulumbensis* Moskalenko, sp. nov.,  $\times 40$   
14 — голотип, *prioniodiniform*, № 537/26, вид с внутренней сторо-  
ны; 15 — голотип, *ozarkodiniform* № 537/27, вид сбоку; р. Кулюм-  
бэ, руч. Загорный, обн. ВК-7219, слой 1г; баксанский горизонт.
- Фиг. 16. *Phragmodus tunguskaensis* Moskalenko,  $\times 40$   
Экз. № 537/37, вид сбоку; р. Кулюмбэ, руч. Загорный, обн.  
ВК-7219, слой 1г; баксанский горизонт.
- Фиг. 17, 18. *Phragmodus inflexus* Stauffer,  $\times 40$   
17 — экз. № 537/35, вид сбоку; 18 — экз. № 537/36, вид сбоку;  
р. Кулюмбэ, руч. Загорный, обн. ВК-7219, слой 1г; баксанский  
горизонт.
- Фиг. 19. *Ambalodus mitratus* Moskalenko,  $\times 40$   
Экз. № 537/4, вид сверху; р. Кулюмбэ, руч. Загорный, обн.  
ВК-7219, слой 1г; баксанский горизонт.



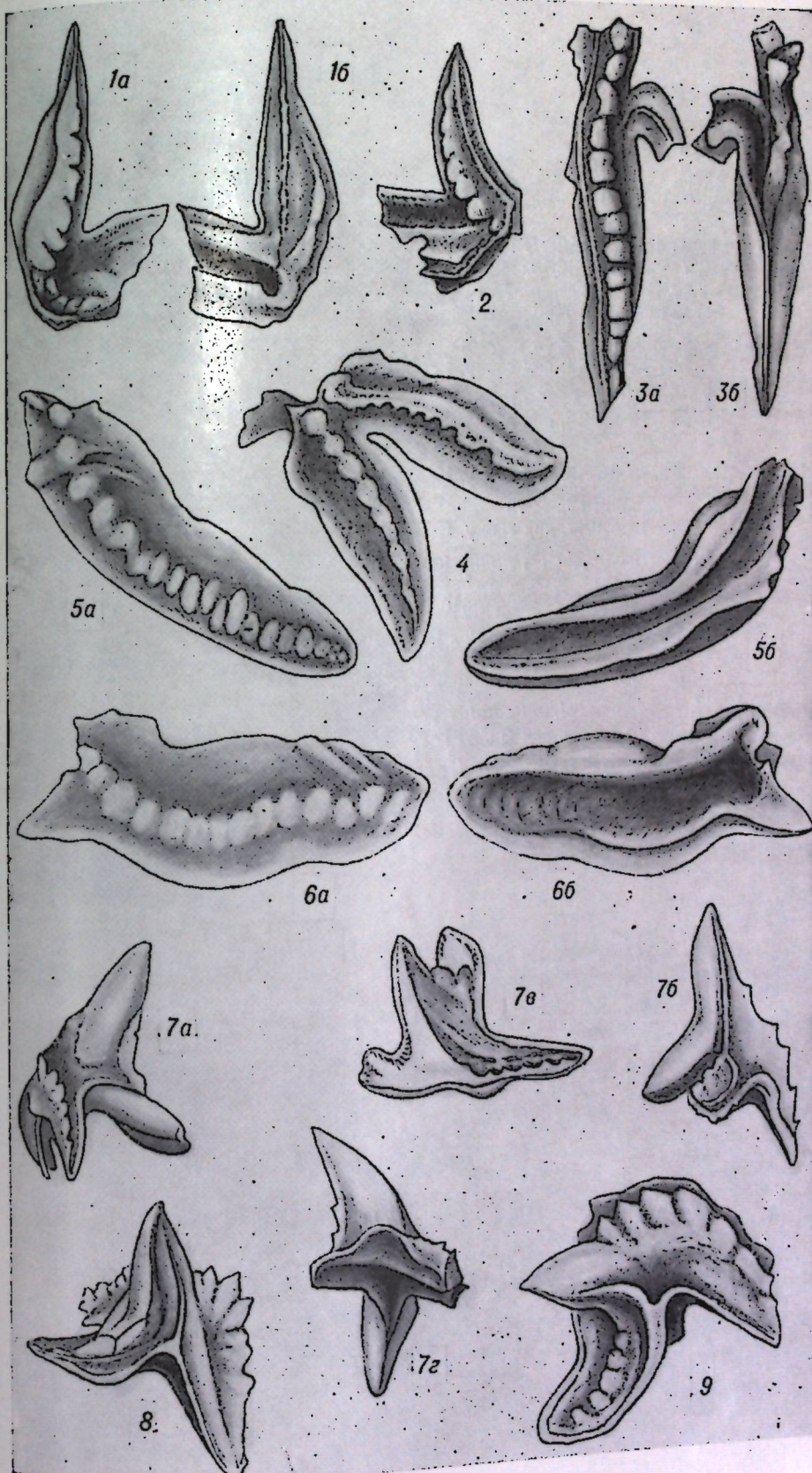
## ТАБЛИЦА XII

Фиг. 1—6. *Amorphognathus cf. duftonus Rhodes*, X75.

1 — экз. № 510/1, передняя лопасть: а — вид сверху, б — вид снизу, E-7040; 2 — экз. № 510/2, передняя лопасть, вид сверху, E-7040; 3 — экз. № 510/3, задняя лопасть: а — вид сверху, б — вид снизу, E-7040; 4 — экз. № 510/4, экземпляр с двумя сохранившимися лопастями, вид сверху, E-7040; 5 — экз. № 510/5, задняя боковая лопасть: а — вид сверху, б — вид снизу, E-7040; 6 — экз. № 510/6, задняя боковая лопасть: а — вид сверху, б — вид снизу, E-7040.

Фиг. 7—9. *Ambalodus triangularis Branson et Mehl*, X75.

7 — экз. № 510/7: а, б — вид сбоку, в — вид сверху, г — вид снизу, E-7040; 8 — экз. № 510/8, вид сбоку, C-7218; 9 — экз. № 510/9, вид сверху, C-7218.



## ТАБЛИЦА XIII

Фиг. 1—4. *Acodus similaris* Rhodes,  $\times 75$ 

1 — экз. № 510/10, вид сбоку, Е-7040; 2 — экз. № 510/11, вид сбоку, Е-7040; 3 — экз. № 510/12, вид сбоку, Е-7040; 4 — экз. № 510/13, вид сбоку, Е-7040.

Фиг. 5. *Belodina* sp.,  $\times 75$ 

Экз. № 510/14, вид сбоку, Е-7040.

Фиг. 6. *Belodina* sp. a.,  $\times 75$ 

Экз. № 510/15, вид сбоку, Е-7040.

Фиг. 7. *Oistodus* sp.,  $\times 75$ 

Экз. № 510/16, вид сбоку, Е-7040.

Фиг. 8. *Drepanodus* sp.,  $\times 75$ 

Экз. № 510/17, вид сбоку, Е-7040.

Фиг. 9—11. *M. Hibbardella* (?) *diminuta* (Rhodes),  $\times 75$ 

9 — экз. № 510/18, вид сбоку, Е-7040; 10 — экз. № 510/19, вид сбоку, Е-7040; 11 — экз. № 510/20, вид сбоку, Е-7040.

Фиг. 12, 13. *Phragmodus insculptus* Branson et Mehl.,  $\times 75$ .

12 — экз. № 510/21: а — вид сбоку, б — сечение зубца, Е-7040; 13 — экз. № 510/22, вид сбоку, Е-7040.

Фиг. 14. *Panderodus* cf. *unicostatus* (Branson et Mehl.),  $\times 75$ .

Экз. № 510/23, вид сбоку, Е-7040.

Фиг. 15. *Panderodus intermedium* (Branson, Mehl et Branson),  $\times 75$ .

Экз. № 510/24, вид сбоку, Е-7040.

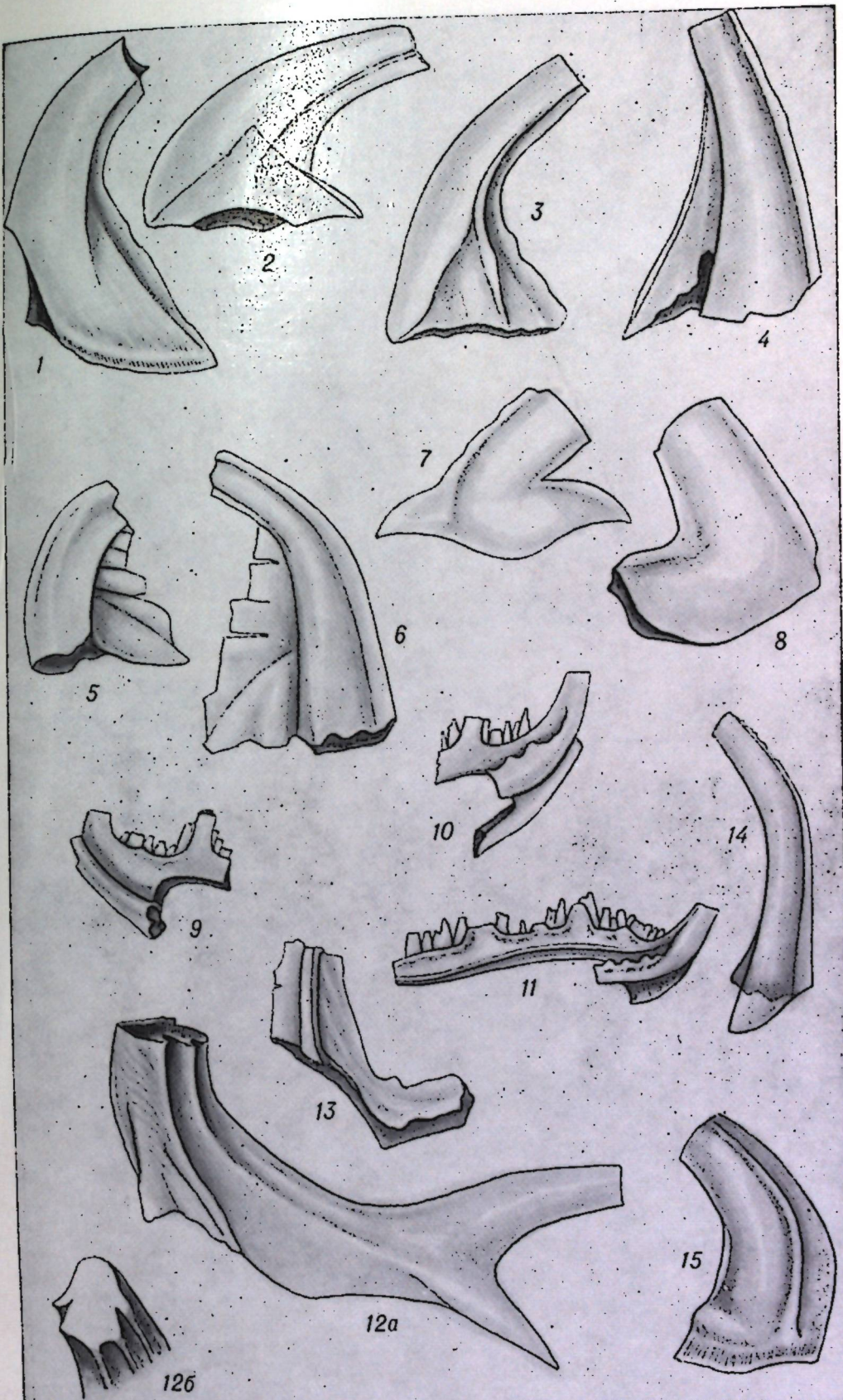


ТАБЛИЦА XIV

- Фиг. 1. *Cordylodus proavus* Müller,  $\times 50$   
Экз. № 67/2437/1а, вид сбоку; р. Лена у пос. Батамай, обн. 203(VI), слой 15, устькутская свита.
- Фиг. 2, 3, 5, 6. *Clavohamulus triangularis* Abaimova,  $\times 50$   
2 — голотип № 68/2039/2а: а — вид сверху, б — вид снизу; р. Джерба, ур. Кыс-Турук, обн. 54(VII), слой 10; 3 — экз. № 67/2431/1, вид сверху; р. Лена у пос. Батамай, обн. 203 (VI), слой 13; 5, 6 — экз. № М-10-5/1а, б, вид сверху; р. Лена у г. Киренска (III), пачка 4; устькутская свита.
- Фиг. 4. *Hirsutodontus rarus* Miller,  $\times 50$   
Экз. № 67/2437/1а: а — вид сверху, б — вид снизу, в — вид сбоку; р. Лена у пос. Батамай, обн. 203 (VII), слой 15, устькутская свита.
- Фиг. 7. *Hirsutodontus cf. rarus* Miller  
Экз. № М-685-12: а — вид сверху,  $\times 50$ ; б — вид снизу,  $\times 50$ , в — вид сбоку,  $\times 40$ ; р. Чуя, 20 км выше устья (V), 50 м выше подошвы устькутской свиты.
- Фиг. 8, 9. *Hirsutodontus dzherbiensis* Abaimova,  $\times 50$   
8 — голотип № 68/2039/1а: а, б — вид сбоку; в — вид сверху; 9 — экз. № 68/2039/1б, вид сверху; р. Джерба, ур. Кыс-Турук, обн. 54 (VII), слой 10, устькутская свита.
- Фиг. 10. *Hirsutodontus cf. hirsutus* Miller,  $\times 50$   
Экз. № И-10-5/2: а — вид сбоку, б — вид спереди, в — вид сверху; р. Лена у г. Киренска (III), пачка 4, близ кровли устькутской свиты.
- Фиг. 11. *Oneotodus variabilis* Lindström,  $\times 50$   
Экз. № М-М-10-5/3а, вид сбоку; р. Лена у г. Киренска (III), пачка 4; близ кровли устькутской свиты.
- Фиг. 12—14, 16. *Oneotodus nakamurae* Nogami.  
12 — экз. № М-805-6/1а, вид сбоку,  $\times 50$ ; 13 — экз. № М-805-6/1в, вид сбоку,  $\times 50$ ; 14 — экз. № М-805-6/12, вид сбоку,  $\times 50$ ; 16 — экз. № М-805-6/16; вид сбоку,  $\times 70$ ; р. Илим, 3 км ниже пос. Аталаево (I), пачка 5, устькутская свита.
- Фиг. 15. *Drepanodus subarcuatus* Furnish,  $\times 50$   
Экз. № М-805-6/2, вид сбоку; р. Илим, 3 км ниже пос. Аталаево (I), пачка 5, устькутская свита.

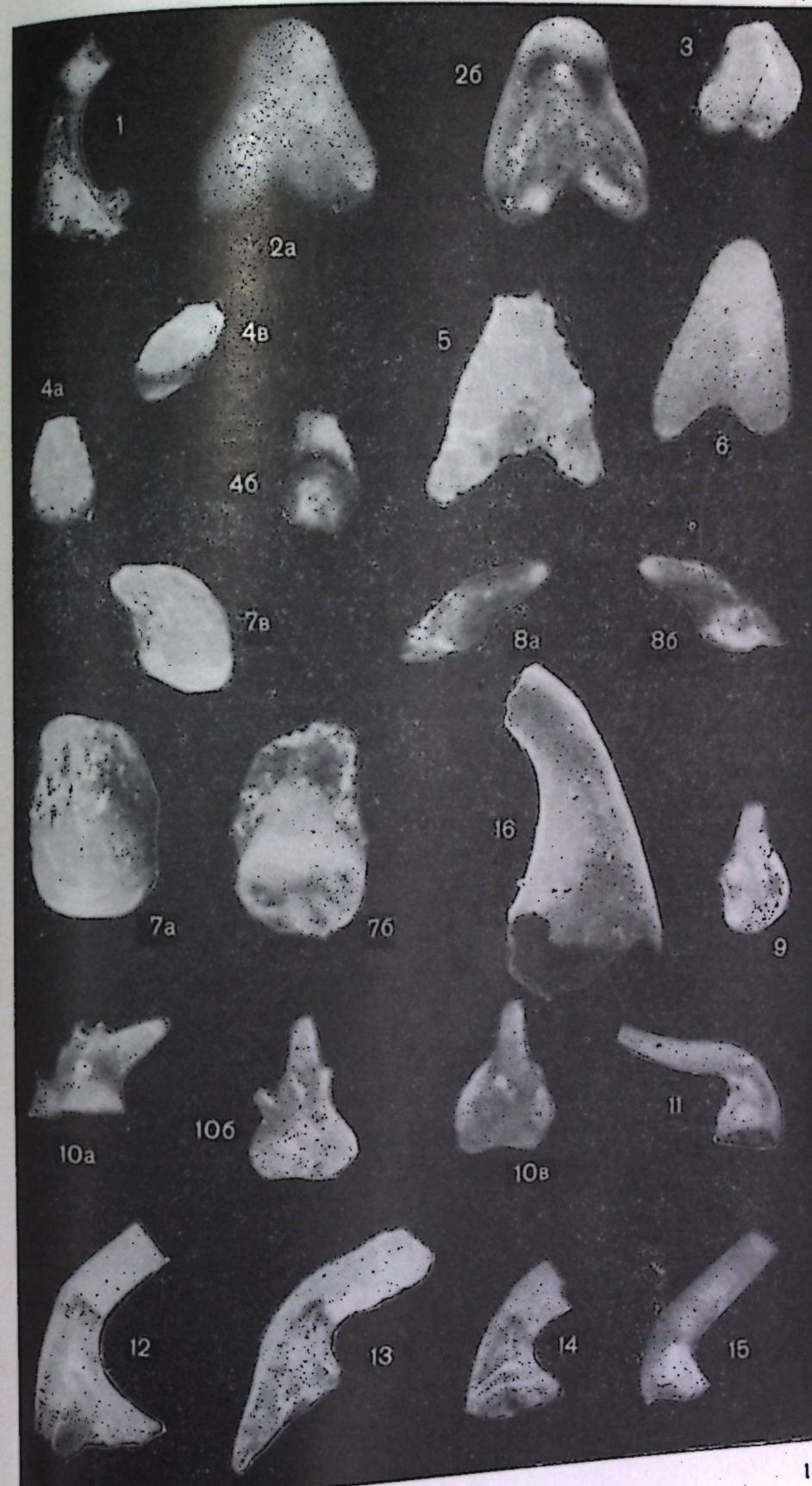


ТАБЛИЦА XV  
Скан-фотографии конодонтов

Фиг. 1, 3. *Clavohamulus triangularis* Abaimova

1 — экз. № M-10-5/1а, вид сверху; а — общий вид,  $\times 80$ , б — наружная поверхность конодонта,  $\times 1000$ ; 3 — экз. № M-10-5/1б; а — вид снизу,  $\times 70$ , б — макушка (недоразвитый зубец?),  $\times 300$ ; р. Лена у г. Киренска (III), пачка 4, устькутская свита.

Фиг. 2, 6, 7. *Hirsutodontus dzherbiensis* Abaimova

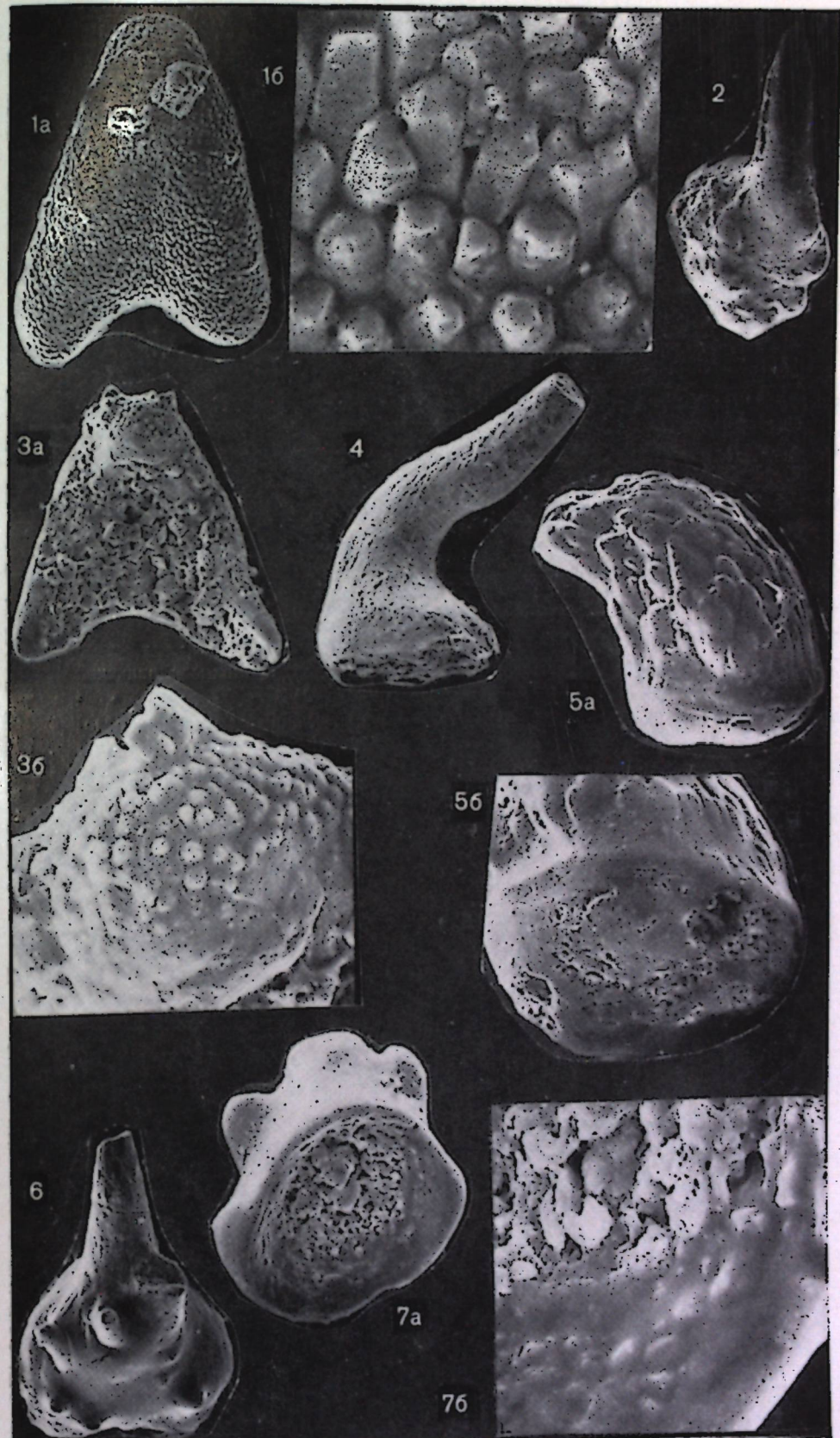
2 — экз. № 68/2039/1в, вид сверху,  $\times 80$ ; 6 — экз. № 68/2039/1г, вид сверху,  $\times 100$ ; 7 — экз. № 68/2039/1д, вид снизу; а — общий вид,  $\times 150$ ; б — базальный край,  $\times 700$ ; р. Джерба, ур. Кыс-Турк, обн. 54 (VIII), слой 10, устькутская свита.

Фиг. 4. *Oneotodus variabilis* Lindström,  $\times 100$

Экз. № M-10-5/3а, вид сбоку — сзади; р. Лена у г. Киренска (III), пачка 4, устькутская свита.

Фиг. 5. *Hirsutodontus cf. rarus* Miller.

Экз. № M-685-12, а — вид сбоку,  $\times 80$ ; б — вид снизу, базальный край,  $\times 120$ ; р. М. Чуя, 20 км выше устья (VI), 50 м выше по-дошвы устькутской свиты.



## СОДЕРЖАНИЕ

Каныгин А. В., Москаленко Т. А., Ядренкина А. Г., Семенова В. С. О стратиграфическом расчленении и корреляции среднего ордовика Сибирской платформы	3
Огченко Л. В. Биостратиграфическое расчленение нижнего ордова в южной части Сибирской платформы	43
Бялый В. И. Биостратиграфия пограничных отложений нижнего и среднего ордова на юге Сибирской платформы	59
Маркова Л. Г., Марков Е. П. Стратиграфия и литология ордовикских отложений центральной части Тунгусской синеклизы	67
Москаленко Т. А. Ашгиллские конодонты на Горном Алтае	74
Волкова К. Н. Позднеордовикские мишанки Селенгинского кряжа	83
Абаимова Г. П., Марков Е. П. Первые находки конодонтов нижнеордовикской зоны <i>Cordyliodus proavus</i> на юге Сибирской платформы	86
Лопушинская Т. В., Петраков В. У. Расчленение и корреляция силурийских отложений в бассейне рек Хантайки и Могохты	94
Марков Е. П. Стратиграфический контроль распределения полезных ископаемых в ордовике Сибирской платформы	98
Приложение	105

## ПРОБЛЕМЫ СТРАТИГРАФИИ ОРДОВИКА И СИЛУРА СИБИРИ

Ответственные редакторы

Борис Сергеевич Соколов,  
Александр Васильевич Каныгин

Редактор Е. Ф. Иванова

Художественный редактор М. Ф. Глазырина

Технический редактор Т. К. Овчинникова

Корректоры А. М. Картавин, А. В. Ноллетова

Сдано в набор 14 декабря 1976 г. Подписано к печати 6 июня 1977 г. №Н 01535. Формат 70×108<sup>1/4</sup>. Бумага типографская № 2, 6,6 печ. л.+2,25 печ. л. на мел. бум., 12,25 усл. печ. л.+2 вкл., 14,3 уч.-изд. л. Тираж 1000 экз. Заказ № 333. Цена 1 р. 20 к.

Издательство «Наука», Сибирское отделение, 630099,  
Новосибирск, 99, Советская, 18.

4-я типография издательства «Наука», 630077,  
Новосибирск, 77, Станиславского, 25.

**СИБИРСКОЕ ОТДЕЛЕНИЕ  
ИЗДАТЕЛЬСТВА «НАУКА»**

**ГОТОВИТ К ВЫПУСКУ следующие книги:**

- Зыкин В. С. Стратиграфия и униониды плиоцена юга Западно-Сибирской равнины.
- Фауна и стратиграфия среднего и верхнего палеозоя Сибири
- Захаров В. А., Шурыгин Б. Н. Биогеография, фации и стратиграфия средней юры Советской Арктики
- Фурсенко А. В. Введение в изучение фраминифер
- Каплан М. Е., Шурыгин Б. Н., Меледина С. В. Келловейские моря Северной Сибири
- Стратиграфия и палинология мезозоя и кайнозоя Сибири
- Фораминиферы дальневосточных морей СССР
- Палеоген и неоген Сибири (палеонтология и стратиграфия)

*Книги высыпаются наложенным платежом.*

*Заказы направляйте по адресу:*

*630090 Новосибирск, 90, Морской проспект, 22.*

*Магазин «Наука».*

**УДК 551.733.12(571)**

О стратиграфическом расчленении и корреляции отложений среднего ордовика Сибирской платформы. Каныгин А. В., Москаленко Т. А., Ядренова А. Г., Семенова В. С.— В кн.: Проблемы стратиграфии ордовика и силура Сибири. Новосибирск, «Наука», 1977, с. 3—43.

Приводятся новейшие данные по палеонтологической характеристике стратотипических и гипостратотипических разрезов среднего ордовика Сибирской платформы, существенно уточняющие объем и границы его подразделений — горизонтов. Описаны брахиоподы и конодонты. Показано распространение трилобитов, остракод, брахиопод и конодонтов в изученных разрезах в бассейне рек Лены, Подкаменной Тунгуски, Кулюмбы, и на этом основании проведена корреляция разрезов.

Илл. 3, фототабл. I—XI, библ. 32.

**УДК 551.733.11(571)**

Биостратиграфическое расчленение нижнего ордовика в южной части Сибирской платформы. Огисенко Л. В.— В кн.: Проблемы ордовика и силура Сибири. Новосибирск, «Наука», 1977, с. 43—59.

Дается детальная биостратиграфическая разбивка разрезов нижнего ордовика Иркутского амфитеатра. На основании изучения трилобитов и сопутствующих групп фауны обосновывается выделение четырех биостратиграфических зон, прослеживающихся по всей Сибирской платформе.

Библ. 19.

**УДК 551.733.11(571)**

Биостратиграфия пограничных отложений нижнего и среднего ордовика на юге Сибирской платформы. Бялы Й. И.— В кн.: Проблемы стратиграфии ордовика и силура Сибири. Новосибирск, «Наука», 1977, с. 59—67.

Впервые дается детальная характеристика пограничных отложений нижнего и среднего ордовика юга Сибирской платформы. Описано 6 разрезов с анализом различных групп фауны (трилобитов, брахиопод, наутилоидов, моноплакофор и др.). Доказывается наличие стратиграфического перерыва на границе нижнего и среднего ордовика.

Илл. 1, библ. 17.

**УДК 551.733(571.51)**

Стратиграфия и литология ордовиковых отложений центральной части Тунгусской синеклизы. Маркова Л. Г., Марков Е. П.— В кн.: Проблемы стратиграфии ордовика и силура Сибири. Новосибирск, «Наука», 1977, с. 67—74.

В статье приводится новый материал по литологии и стратиграфии ордовиковых отложений центральной части Тунгусской синеклизы. Стратиграфическое расчленение проведено по фауне и литологическим признакам, что позволило выделить ряд свит и горизонтов. Даны литологическая характеристика различных типов пород и встречающихся полезных ископаемых.

Илл. 1, библ. 2.

**УДК 551.773.13(571)**

Ашгиллские конодонты из Горном Алтае. Москаленко Т. А.— В кн.: Проблемы стратиграфии ордовика и силура Сибири. Новосибирск, «Наука», 1977, с. 74—83.

В терригенной толще позднеордовикового возраста, развитой на бортах рч. Тачалов (левобережье р. Чагырки), совместно с граптолитами зоны *Dicellograptus ornatus*—*Climacograptus superius* найден комплекс конодонтов, характерный для конодонтовой зоны *Amorphognathus ordovicicus*. Наиболее многочисленны в нем *Ambalodus triangularis* и *Amorphognathus cf. dusonius*, являющиеся составными частями мультиэлементного вида *Amorphognathus ordovicicus*. Реже представлены *Acodus similis*, *Beloïdina* sp., *Drepanodus* sp., *Hibbardella* (?) *dimituta*, *Oistodus* sp., *Panderodus intermedius*, *P. cf. unicostatus*, *Phragmodus insculptus*. Близкий по составу комплекс конодонтов содержится в известняках Кейсли (Англия). Тонфлейзер (Италия) и некоторых других местонахождениях в Западной Европе. Фототабл. XII—XIII, библ. 15.

**УДК 564.7(571.56)+56(113.3)**

Позднеордовиковые мишанки Селенгинского кряжа. Волкова К. Н.— В кн.: Проблемы стратиграфии ордовика и силура Сибири. Новосибирск, «Наука», 1977, с. 83—86.

Дана характеристика впервые установленного на Северо-Востоке СССР позднеордовикового комплекса мишанок, который позволяет коррелировать нальганскую свиту Селенгинского кряжа с долбарским горизонтом Сибирской платформы.

Библ. 12.

УДК 551.733.11(571)

Первые находки конодонтов нижнеордовикской зоны *Cordyloodus proavus* на юге Сибирской платформы. Абаймова Г. П., Марков Е. П.—В кн.: Проблемы стратиграфии ордовика и силура Сибири. Новосибирск, «Наука», 1977, с. 86—94.

Сообщается о находках конодонтов, известных из лизов нижнего тремадока Австралии и Северной Америки. Приводится описание конодонтов и разрезов, в которых они были обнаружены.

Илл. 1. фотогабл. XIV—XV, библ. 12.

УДК 551.733.3 : 001.36(571.51.16)

Расчленение и корреляция силурийских отложений бассейна рек Хантайки и Могокты. Лопушинская Т. В., Петраков В. У.—В кн.: Проблемы стратиграфии ордовика и силура Сибири. Новосибирск, «Наука», 1977, с. 94—98.

Приводится расчленение и корреляция разрезов бассейна рек Хантайки и Могокты. В составе нижнего силура выделено шесть слоев с брахиоподами. Даётся краткая история геологического развития района в силурском периоде.

Илл. 1, Библ. 5.

УДК 553.3.078.7 : 551.733.3(571.51)

Стратиграфический контроль распределения полезных ископаемых в ордовике Сибирской платформы. Марков Е. П.—В кн.: Проблемы стратиграфии ордовика и силура Сибири. Новосибирск, «Наука», 1977, с. 98—104.

Показано, что размещения свинца, меди, цинка, фосфоритов, железа, целестина и флюорита строго приурочены к определенным стратиграфическим горизонтам. При постановке поисковых работ на соответствующие руды необходимо учитывать и руководствоваться этими закономерностями.

Илл. 1, библ. 9.